

Modelación espacio-temporal de polen y esporas de hongos aerovagantes de Catalunya (1994-2015)

Tesis doctoral

Andrés M. Vélez-Pereira

Institut de Ciència i Tecnologia Ambientals – ICTA
Universitat Autònoma de Barcelona

España, 2017

Anexo 2.B Valores de los parámetros del modelo de distribución gamma, días no nulos y su nivel de significación para cada serie anual, estación y esporas de hongos estudiado.

Presentación

En este anexo se presentan los resultados del cálculo de los parámetros de la distribución gamma para el tipo fúngico estudiado, año y estación.

Los táxones se ordenan alfabéticamente.

Para cada taxon se presentan dos tablas:

- ✓ en la primera se observan los resultados de DNN, α , β y nivel de significación por cada serie estación-año, mientras que
- ✓ en la segunda se muestra un resumen de los estadísticos descriptivos de cada uno de estos parámetros por estación de muestreo.

Abreviaturas

α : Parámetro alfa del modelo gamma.

β : Parámetro beta del modelo gamma.

Coef R.: Coeficiente de correlación.

Desv.: Desviación estándar.

DNN: Días No Nulos.

Máx.: Máximo.

Med.: Mediana.

Mín.: Mínimo.

Prom.: Promedio.

Sig.: Nivel de significación.

***: $p \leq 0.001$

**: $0.001 < p \leq 0.01$

*: $0.01 < p \leq 0.05$

†: $0.05 < p \leq 0.1$.

<i>Agaricus</i>												<i>Agrocylbe</i>														
Año	Barcelona			Bellaterra			Girona			Lleida			Manresa			Tarragona			Roquetes-Tortosa			Vielha				
	DNN	α	β	DNN	α	β	DNN	α	β	DNN	α	β	DNN	α	β	DNN	α	β	DNN	α	β	Sig.				
1995																										
1996	18	0.039	487.8	247	0.240	275.8																				
1997	112.4			207	0.331	112.4	15.3	222.6	***	157	0.248	17.5	61	0.108	54.6	***	153	0.291	199.2	162	0.263	77.5				
1998	1.31	0.256	15.3	206	1.06	222.6																				
1999	0.290	17.5	101	0.145	28.0	***	114	0.055	24.3	32	0.055	9.0	0.088	9.0	***	120	0.171	13.4	*	106	0.184	10.8	***			
2000	44.9	***	101	0.67	75.0		101	0.139	31.0	216	0.271	77.8	***	83	0.166	10.7	***	117	0.132	27.1	81	0.104	25.8	**		
2001	41.4		101	0.137	75.0		130	0.266	39.9	61	0.115	11.6	*	182	0.170	63.8	***	205	0.369	29.6	90	0.206	5.5			
2002	23.6	***	201	0.266	39.9		201	0.266	39.9	170	0.115	11.6	*	203	0.297	24.2	***	50	0.175	20.4	187	0.115	8.1	*		
2003	9.8	***	201	0.266	39.9		201	0.266	39.9	170	0.115	11.6	*	203	0.297	24.2	***	50	0.175	20.4	187	0.115	8.1	*		
2004	8.1		101	0.063	10.4	***	141	0.144	46.0	***	77	0.106	21.4	***	117	0.035	177.1	***	146	0.193	24.7	***	50	0.119	8.8	***
2005	10.4	***	101	0.144	46.0		158	0.172	28.8	*	76	0.136	14.3	***	128	0.132	37.3	***	189	0.258	21.4	***	62	0.102	11.1	***
2006	8.1		101	0.117	12.4	*	205	0.236	24.5	***	144	0.179	20.2	***	121	0.045	136.2	***	134	0.225	13.4	***	87	0.180	21.9	***
2007	12.4		101	0.114	12.4	*	135	0.161	24.5	303	0.482	70.7	***	185	0.080	197.6	***	152	0.132	51.1	***	107	0.126	19.5	***	
2008	18.7	***	101	0.210	18.7	***	135	0.161	24.5	275	0.200	260.4	***	170	0.075	150.0	***	235	0.411	20.8	***	84	0.166	14.3	***	
2009	25.2	***	101	0.209	25.2		154	0.523	21.6	287	0.118	508.3	***	170	0.222	32.3	***	238	0.452	25.4	***	191	0.220	35.0	***	
2010	20.0	22.0	101	0.210	44.6	***	154	0.155	144.8	207	0.155	18.7	***	309	0.218	376.5	***	211	0.141	165.8	***	214	0.161	60.2	***	
2011	16.2	***	101	0.103	52.4	***	282	0.207	86.2	236	0.246	41.4	***	192	0.117	190.0	***	187	0.245	27.3	***	186	0.226	31.2	***	
2012	10.7	***	101	0.442	52.4	***	236	0.246	41.4	291	0.379	136.9	***	110	0.291	14.8	***	86	0.220	18.7	***	173	0.447	8.4	***	
2013	18.7	***	101	0.422	10.7	***	236	0.438	18.7	205	0.359	17.7	***	174	0.296	11.4	***	37	0.197	12.4	***	235	0.098	24.4	***	
2014	189.1	***	101	0.095	189.1	***	280	0.081	740.9	***	80	0.374	12.1	***	74	0.19	0.77	0.66	0.77	0.07	0.77	0.64	-0.70	0.36	-0.43	0.53
Min.	0.063	8.1		18	0.039	17.5	32	0.055	11.6	45	0.035	9.0	37	0.132	12.4	28	0.052	5.5	75	0.090	5.4	43	0.049	9.9		
Máx.	263	422	189.1	282	0.523	740.9	309	0.874	508.3	211	0.296	197.6	238	0.452	199.2	235	0.447	244.0	218	0.609	151.6	238	0.333	406.4		
Prom.	143	0.176	44.8	187	0.206	125.4	168	0.227	120.3	134	0.157	62.7	126	0.267	34.4	120	0.173	37.7	177	0.208	32.6	113	0.155	75.6		
Med.	131	0.148	21.1	203	0.172	39.9	171	0.121	191.3	106	0.207	148.1	51	0.079	76.5	56	0.102	44.9	64	0.181	46.4	67	0.092	120.0		
Desv.	67	0.097	54.1	70	0.121	191.3	0.19	0.77	0.07	0.49	0.07	0.13	0.66	0.77	0.07	0.77	0.07	0.77	0.07	0.77	0.07	0.77	0.07	0.77		
Coef R.	0.38	0.77																								

<i>Agaricus</i>												<i>Agrocylbe</i>													
Año	Barcelona			Bellaterra			Girona			Lleida			Manresa			Tarragona			Roquetes-Tortosa			Vielha			
	DNN	α	β	DNN	α	β	DNN	α	β	DNN	α	β	DNN	α	β	DNN	α	β	DNN	α	β	Sig.			
1995																									
1996	20	0.047	18.8	209	0.334	60.5	191	0.291	52.5	140	0.377	28.0	***	159	0.238	37.1	***	215	0.100	144.0	***	127	0.292	6.1	
1997	21.3	***	169	0.356	8.2	149	0.207	24.2	113	0.207	24.2	201	0.268	47.0	***	252	0.308	54.3	*	239	0.438	16.6	***		
1998	12.5	***	196	0.190	50.8	75	0.098	20.5	113	0.207	24.2	221	0.317	30.0	***	313	0.474	82.4	*	210	0.241	50.9	***		
1999	9.4		196	0.190	50.8	75	0.098	20.5	113	0.207	24.2	201	0.268	47.0	***	227	0.309	49.3	*	269	0.247	15.9	***		
2000	59.4		254	0.547	15.8	113	0.207	24.2	221	0.611	30.0	228	0.049	62.3	8.8	270	0.292	71.6	***	190	0.461	8.4			
2001	20.9		254	0.547	15.8	113	0.207	24.2	221	0.611	30.0	228	0.049	62.3	8.8	270	0.292	71.6	***	190	0.461	8.4			
2002	20.1		21.0	0.565	25.0	***	270	0.295	25.3	206	0.286	180.3	***	170	0.167	57.1	*	216	0.328	39.3	***	201	0.210	72.5	***
2003	16.4	***	21.0	0.339	59.9	***	270	0.295	25.3	206	0.286	180.3	***	170	0.167	57.1	*	216	0.241	53.0	***	264	0.210	39.3	***
2004	9.0		273	0.738	13.8	***	270	0.612	18.3	204	0.286	180.3	***	170	0.167	57.1	*	216	0.241	53.0	***	193	0.339	25.4	***
2005	56.5	*	270	0.208	56.5	*	270	0.612	18.3	204	0.286	180.3	***	170	0.167	57.1	*	216	0.241	53.0	***	214	0.179	389.5	***
2006	45.3	*	290	0.236	45.3	*	290	0.691	18.2	198	0.183	334.7	***	198	0.272	42.8	*	259	0.478	33.4	***	191	0.109	912.7	***
2007	13.5	***	279	0.099	341.8	***	279	0.241	233.0	191	0.178	47.0	***	251	0.148	165.4	*	271	0.140	114.4	***	181	0.108	69.0	***
2008	54.5	***	194	0.224	67.5	***	320	0.103	107.4	344	0.212	469.7	***	253	0.384	48.8	*	263	0.430	50.0	***	187	0.114	213.8	***
2009	16.9	***	320	0.103	107.4	***	346	0.154	1233.6	306	0.220	170.0	***	259	0.250	160.8	***	326	0.073	279.0	***	201	0.270	41.6	***
2010	164.2	***	350	0.190	629.7	***	346	0.154																	

Alternaria

Año	Barcelona			Bellaterra			Girona			Lleida			Manresa			Tarragona			Roquetes-Tortosa			Vielha			
	DNN	α	β	Sig.	DNN	α	β	Sig.	DNN	α	β	Sig.	DNN	α	β	Sig.	DNN	α	β	Sig.	DNN	α	β	Sig.	
1995	309	0.445	54.2	*	309	0.670	37.6	***	286	0.507	86.9		231	0.587	73.4	***	245	0.607	48.3	***					
1996	293	0.398	77.0	***	319	0.752	59.8	***	107	0.780	50.0	***	136	0.928	156.7		162	0.388	106.5	*	201	0.634	55.3	***	
1997	292	0.659	47.8	***	290	0.240	116.3	***	272	0.568	32.3	***	201	0.533	133.9		78	1.072	37.3						
1998	267	0.534	50.8	***	290	0.240	116.3	***	272	0.568	32.3	***	265	0.457	118.2	***	334	0.729	74.5	***	301	0.603	50.1	***	
1999	245	0.529	38.7	***	322	0.570	69.1	*	304	0.714	120.3	***	307	0.705	120.3	***	343	0.624	116.3	***	343	0.571	82.0	*	
2000	253	0.685	37.3	***	325	0.581	56.8	***	297	0.415	94.6	***	249	0.352	115.0		325	0.623	142.4	*	342	0.382	202.3	***	
2001	326	0.666	48.7	***	327	0.702	42.8	***	327	0.702	42.8	***	271	0.497	81.3	***	318	0.505	276.7	***	345	0.493	129.3	***	
2002	315	0.513	73.0	*	335	0.566	50.6	***	270	0.415	94.6	***	327	0.705	120.3	***	342	0.382	126.7	***	320	0.424	66.1	***	
2003	311	0.414	67.2	***	326	0.566	50.6	***	270	0.415	94.6	***	327	0.705	120.3	***	342	0.382	202.3	***	320	0.424	66.1	***	
2004	299	0.449	47.9	***	327	0.702	42.8	***	295	0.483	74.8	***	318	0.505	276.7	***	345	0.386	274.5	***	279	0.424	66.1	***	
2005	290	0.448	42.1	***	337	0.555	32.2	***	320	0.315	90.8	***	274	0.646	29.6	***	325	0.628	142.9	***	322	0.300	197.4	***	
2006	283	0.220	77.9	***	320	0.315	90.8	***	320	0.124	23.7	***	302	0.439	78.0	***	313	0.483	127.5	***	338	0.543	76.9	***	
2007	287	0.462	30.0	***	335	0.920	45.4	*	313	0.486	107.1	*	341	0.535	129.8	***	337	0.406	150.3	***	320	0.445	76.0	*	
2008	313	0.574	33.9	***	327	0.207	188.7	***	304	0.489	87.6	*	337	0.441	261.9	***	337	0.636	84.9	*	326	0.445	62.3	*	
2009	310	0.611	51.2	***	324	0.643	44.9	***	322	0.386	96.7	*	327	0.436	366.9		358	0.604	124.9	***	348	0.732	51.3	***	
2010	324	0.627	48.4	***	324	0.593	38.2	***	328	0.499	92.7	*	344	0.436	436.9		347	0.531	162.7	***	333	0.556	65.7	***	
2011	341	0.534	60.7	***	336	0.511	58.8	*	304	0.349	123.0	***	328	0.433	414.3		326	0.531	141.2	***	315	0.520	59.1	*	
2012	323	0.419	61.6	***	333	0.667	45.2	***	320	0.190	57.0	***	320	0.508	58.5	***	314	0.361	118.9	***	327	0.303	712.3	***	
2013	323	0.545	57.0	***	320	0.667	45.2	***	320	0.190	57.0	***	320	0.508	58.5	***	314	0.361	118.9	***	327	0.303	712.3	***	
2014	314	0.573	38.2	*	340	0.508	58.5	***	320	0.190	57.0	***	320	0.508	58.5	***	314	0.361	118.9	***	327	0.303	712.3	***	
Coeff R.	0.06	0.28			0.33	-0.15			-0.50	0.09			-0.69	0.17			-0.69	0.17			-0.78	0.22			

Arthrinium

Año	Barcelona			Bellaterra			Girona			Lleida			Manresa			Tarragona			Roquetes-Tortosa			Vielha		
	DNN	α	β	Sig.	DNN	α	β	Sig.	DNN	α	β	Sig.	DNN	α	β	Sig.	DNN	α	β	Sig.	DNN	α	β	Sig.
1995	57	0.059	31.7	***	154	0.159	28.7	***	207	0.301	23.7		78	0.453	17.8		107	0.205	29.0		69	0.108	31.7	
1996	50	0.104	13.2		70	0.062	77.0		73	0.492	19.4		82	0.453	17.8		147	0.776	21.9		134	0.162	61.2	
1997	189	0.372	25.8		220	0.390	30.1		126	0.185	12.9	***	71	0.184	16.9	***	40	0.239	28.0					
1998	164	0.236	19.6		173	0.262	25.5		126	0.182	30.3	***	106	0.204	18.5		137	0.179	27.4	***	134	0.099	41.0	***
1999	91	0.082	51.8		149	0.166	19.8	***	122	0.243	11.3	***	133	0.214	20.3	***	173	0.178	28.0	***	128	0.171	18.9	***
2000	112	0.180	19.6	***	126	0.182	30.3	***	126	0.244	12.6	***	143	0.350	11.1	***	207	0.221	22.1	***	131	0.245	13.7	***
2001	144	0.231	13.5	**	149	0.302	10.7	***	125	0.310	12.2	***	108	0.207	15.3	***	167	0.225	19.7	***	130	0.123	37.7	***
2002	167	0.291	16.4	***	151	0.302	10.7	***	126	0.310	12.2	***	167	0.255	19.7	***	220	0.174	44.3	***	149	0.213	20.9	***
2003	145	0.216	14.8	**	175	0.321	12.3	***	126	0.213	14.9	***	165	0.229	19.6	***	217	0.196	40.3	***	139	0.146	37.3	***
2004	129	0.071	50.4	***	181	0.173	26.6	***	122	0.183	16.0	***	176	0.231	24.0	***	195	0.285	28.4	***	153	0.189	27.6	***
2005	126	0.190	15.2		175	0.146	36.8	***	89	0.178	13.0	***	167	0.242	25.2	***	110	0.099	36.7	***	165	0.200	15.2	***
2006	87	0.098	20.1		175	0.146	36.8	***	153	0.117	33.0	***	142	0.191	19.8	***	160	0.227	15.3	***	141	0.200	17.8	*
2007	114	0.226	10.0	***	107	0.155	17.9	***	168	0.249	15.0	***	120	0.270	21.2	***	140	0.204	12.9	***	150	0.165	40.5	***
2008	122	0.158	17.0	***	107	0.155	17.9	***	148	0.284	12.6	***	140	0.105	28.5	***	180	0.160	33.3	***	94	0.171	20.7	***
2009	140	0.276	11.7	***	171	0.218	18.4	***	92	0.164	11.4	***	143	0.250	12.8	***	111	0.051	69.7	***	71	0.099	16.6	***
2010	143	0.064	50.9	***	192	0.229	22.8	***	164	0.375	9.6	***	160	0.207	22.5	***	216	0.268	27.3	***	114	0.142	25.8	*
2011	147	0.179	22.4	**	225	0.337	17.4	***	172	0.227	22.6	***	231	0.459	21.0	***	193	0.140	41.6	***	148	0.257	15.8	***
2012	190	0.140	39.4	***	192	0.313	14.9	***	172	0.364	10.6	***	141	0.473	14.9	***	111	0.239	21.1	*	175	0.155	28.5	***
2013	160	0.291	11.9	***	192	0.313	14.9	***	172	0.364	10.6	***	47	0.245	25.7	*	33	0.298	7.3	***	142	0.210	15.5	*
2014	123	0.146	20.6	*	186	0.260	17.1	*	33	0.298	7.3	***	33	0.261	25.7	*	47	0.245	16.5	*	31	0.146	11.4	***
Coeff R.	0.06	0.07			0.72	-0.49			-0.06	0.28			0.66	-0.24			0.66	0.09			0.48	0.15		

Año	Barcelona			Bellaterra			Girona			Lleida			Manresa			Tarragona			Roquetes-Tortosa			Vielha			
	DNN	α	β	Sig.	DNN	α	β	Sig.	DNN	α	β	Sig.	DNN	α	β	Sig.	DNN	α	β	Sig.	DNN	α	β	Sig.	
1995					14	0.021	90.3										129	0.254	326.9		164	0.261	232.4		
1996	79	0.078	209.8		82	0.049	351.8																		
1997	65	0.053	338.2		29	0.053	63.3																		
1998	37	0.046	152.9		12	0.024	32.4		24	0.038	170.5														
1999	2000	54	0.082	95.6	38	0.013	602.6		54	0.050	348.7		52	0.033	250.4		45	0.038	83.0	*	45	0.043	88.2	*	
2001	40	0.073	68.8		21	0.018	241.7		147	0.072	84.5		25	0.023	144.7		95	0.148	97.1		54	0.014	996.6		
2002	57	0.089	107.4		46	0.072	115.5		168	0.149	250.6		32	0.057	91.7		154	0.112	257.2		76	0.118	74.7		
2003	49	0.098	72.9		76	0.107	78.3		33	0.034	159.9		99	0.157	87.0		118	0.156	125.8		18	0.010	400.7		
2004	46	0.086	42.4		106	0.172	96.1		45	0.070	74.9		105	0.186	75.4		124	0.138	136.4		34	0.054	59.5		
2005	64	0.087	66.8		75	0.075	155.6		66	0.070	103.3	***	101	0.204	78.7		108	0.169	77.2		37	0.067	38.0	***	
2006	38	0.069	49.3		83	0.124	105.9		50	0.074	65.3	***	80	0.113	142.4		76	0.077	132.0		37	0.046	66.5		
2007	41	0.047	98.0		87	0.135	91.2		75	0.079	95.2		84	0.114	128.1		63	0.116	60.1		32	0.055	53.4		
2008	117	0.179	79.5		85	0.098	123.1		146	0.233	101.4		110	0.147	126.4		100	0.022	73.6		68	0.086	268.5		
2009	91	0.110	161.8		127	0.134	147.4		142	0.196	121.7		106	0.122	130.1		100	0.068	218.1		47	0.093	56.6		
2010	169	0.091	331.1		178	0.322	67.2		206	0.196	145.3		129	0.153	148.1		83	0.128	92.6		116	0.063	89.6	***	
2011	193	0.270	112.8		222	0.382	125.2		166	0.297	102.5	***	123	0.127	122.7		142	0.037	732.2	***	135	0.171	92.5	***	
2012	186	0.240	121.0	***	190	0.283	106.3		148	0.153	231.4	***	150	0.259	96.7		123	0.152	123.8		143	0.079	309.6		
2013	192	0.267	95.8	***	179	0.178	142.9		224	0.313	133.4		94	0.164	112.2	***	94	0.204	81.9		157	0.040	832.3	***	
2014	195	0.248	100.1	***	246	0.461	76.7	***	79	0.482	87.9	***	92	0.198	186.0	***	65	0.664	33.9	***	191	0.192	141.3	***	
Coeff.R.	0.89	0.09																							

Año	Barcelona			Bellaterra			Girona			Lleida			Manresa			Tarragona			Roquetes-Tortosa			Vielha		
	DNN	α	β	Sig.	DNN	α	β	Sig.	DNN	α	β	Sig.	DNN	α	β	Sig.	DNN	α	β	Sig.	DNN	α	β	Sig.
Min.	37	0.046	42.4		12	0.013	32.4		24	0.034	65.3		25	0.023	75.4		45	0.022	33.7		18	0.010	38.0	
Máx.	195	0.270	338.2		246	0.461	602.6		224	0.482	348.7		166	0.297	250.4		154	0.664	951.2		191	0.261	996.6	
Prom.	95	0.123	128.0		100	0.143	146.4		110	0.151	155.6		95	0.148	126.7		100	0.133	123.3		85	0.085	266.6	
Med.	65	0.088	99.1		83	0.107	105.9		111	0.151	127.6		99	0.153	126.4		100	0.061	88.9		61	0.063	155.9	
Desv.	62	0.079	85.6		72	0.130	131.6		64	0.120	82.0		39	0.077	45.8		29	0.146	218.7		57	0.068	315.3	
Coeff.R.	0.89	0.09																						

Año	Barcelona			Bellaterra			Girona			Lleida			Manresa			Tarragona			Roquetes-Tortosa			Vielha		
	DNN	α	β	Sig.	DNN	α	β	Sig.	DNN	α	β	Sig.	DNN	α	β	Sig.	DNN	α	β	Sig.	DNN	α	β	Sig.
1995	90	0.253	6.1		94	0.128	13.9		80	0.157	15.6		21	0.151	8.2		30	0.218	7.5		65	0.149	12.0	
1996	41	0.086	9.8		39	0.089	9.5										38	0.038	54.2		32	0.110	9.5	
1997	45	0.094	9.6		26	0.064	8.4																	
1998	33	0.052	15.3		17	0.040	4.9		25	0.092	5.4		17	0.254	4.7									
1999	14	0.036	6.9		42	0.089	6.3		32	0.014	78.4		34	0.090	5.6									
2000	48	0.065	13.3		34	0.068	5.5		52	0.112	5.9		51	0.123	5.5									
2001	54	0.086	7.6		36	0.058	6.7		30	0.083	4.0		59	0.166	4.1									
2002	58	0.092	7.7		25	0.055	5.0		29	0.076	4.8		35	0.091	4.2									
2003	52	0.086	6.6		27	0.076	3.0		50	0.119	4.7		36	0.092	3.9									
2004	42	0.095	4.2		31	0.017	6.8		23	0.061	5.2		20	0.071	3.0									
2005	29	0.055	5.3		10	0.023	3.8		36	0.106	3.3		20	0.059	2.7									
2006	34	0.071	5.3		11	0.023	4.0		30	0.068	4.3		49	0.127	4.2									
2007	29	0.050	7.7		22	0.058	3.5		30	0.068	4.3		23	0.038	6.4									
2008	34	0.060	6.4		23	0.058	3.5		33	0.092	3.6		37	0.072	5.7									
2009	48	0.094	5.8		27	0.064	4.8		43	0.058	4.2		60	0.122	6.4									
2010	46	0.107	4.3		24	0.058	4.2		75	0.112	3.9		32	0.011	56.6									
2011	53	0.137	3.7		36	0.102	5.9		46	0.106	4.1		43	0.106	4.1									
2012	80	0.187	4.8		40	0.099	3.8		48	0.168	3.0		75	0.199	4.4									
2013	60	0.166	3.2		37	0.104	3.2		38	0.097	3.9		39	0.014	90.1									
2014	44	0.092	5.1		26	0.070	3.3		4	0.03														

Año	Barcelona			Bellaterra			Girona			Lleida			Manresa			Tarragona			Roquetes-Tortosa			Vielha																		
	DNN	α	β	DNN	α	β	DNN	α	β	DNN	α	β	DNN	α	β	DNN	α	β	DNN	α	β	Sig.																		
1995	224	0.843	512.0	264	0.830	860.0	**	244	0.963	589.0	1.13	1.580	884.0	***	132	2.340	660.0	*	247	0.852	1329.0	225																		
1996	202	0.684	551.0	+	295	0.851	1233.0	**	205	0.597	1318.0	***	189	0.837	1483.0	66	1.210	490.0	166	0.468	4540.0	***	196	1.067	1010.0	*														
1997	247	0.988	661.0	+	268	0.597	1318.0	***	268	0.650	500.0	189	0.837	1483.0	231	0.940	1098.0	***	194	0.743	534.0	130	0.794	259.0																
1998	224	0.651	793.0	+	211	0.850	500.0		254	0.803	838.0	231	0.967	1378.0	285	0.658	1352.0	***	235	0.388	2911.0	*	234	0.802	534.0	***														
1999	208	0.917	448.0		200	0.776	478.0		213	0.653	832.0	***	274	1.052	472.0	288	1.127	860.0	***	261	1.110	633.0	*	204	0.815	462.0														
2000	225	0.794	584.0		202	0.292	463.0		216	0.720	615.0		251	0.783	810.0	188	0.507	1557.0	255	0.762	1388.0	290	0.833	1664.0	204	1.43	6559	409.0												
2001	196	0.776	478.0		204	0.749	427.0	***	287	1.030	676.0	*	238	0.708	724.0	***	304	1.115	1209.0	*	232	0.359	1214.0	*	245	1.176	433.0	***												
2002	232	0.980	630.0		205	1.092	458.0	***	313	1.069	995.0	***	315	0.770	1704.0	***	341	0.486	4143.0	***	322	0.953	937.0	***	286	0.467	1661.0	***	290	0.665	1114.0	***								
2003	216	0.720	615.0		204	0.749	427.0	***	258	0.783	810.0		211	0.850	500.0	188	0.507	1557.0	255	0.762	1388.0	290	0.833	1664.0	204	1.43	6559	409.0												
2004	195	0.749	427.0	***	206	1.092	458.0	***	236	0.679	975.0	*	217	0.541	861.0	***	287	0.261	1479.0	*	285	0.759	1636.0	*	147	1.176	433.0	***												
2005	153	0.951	245.0		206	0.709	544.0		269	0.714	1249.0		230	0.666	1053.0	***	300	0.920	1560.0	279	0.654	2007.0	212	0.520	1176.0	*	243	0.805	1114.0	*	96	0.618	344.0							
2006	189	0.709	544.0		207	1.006	495.0		311	1.04	695.0	***	314	1.119	1013.0	***	289	0.377	3542.0	312	0.662	1510.0	***	273	0.673	1083.0	***	234	0.710	827.0	***	178	0.613	747.0	†					
2007	244	1.006	495.0		208	1.092	458.0	***	343	1.069	995.0	***	315	0.770	1704.0	***	341	0.486	4143.0	***	322	0.953	937.0	***	286	0.467	1661.0	***	290	0.665	1114.0	***								
2008	271	1.092	458.0		209	0.754	1240.0		310	0.648	1769.0	***	282	0.674	1963.0	188	0.762	1388.0	306	0.728	1972.0	188	0.730	892.0	***	271	0.686	1533.0	*	181	0.584	1065.0	***							
2009	258	1.092	458.0		210	1.101	1458.0	*	323	1.007	923.0	***	314	0.558	1658.0	***	339	0.804	4218.0	335	0.534	1062.0	***	348	0.705	2366.0	***	313	1.078	837.0	***	322	0.424	2929.0	***	230	0.661	1063.0		
2010	311	1.458	490.0	*	211	0.921	1024.0	***	358	0.870	1452.0	***	334	0.935	1573.0	***	335	0.324	1062.0	***	319	0.749	4210.0	317	0.724	2306.0	*	293	0.798	1108.0	***	263	0.447	2455.0	***	204	0.672	1269.0	***	
2012	289	0.959	996.0		212	0.901	751.0		300	0.945	1288.0		308	0.895	1676.0	***	320	0.772	4478.0	320	0.772	2127.0	***	276	0.684	1289.0	***	228	0.722	1269.0	***	168	0.482	1146.0	*					
2013	290	1.101	751.0		214	0.702	945.0	***	325	0.883	1218.0	***	317	0.631	2435.0	***	269	0.661	5216.0	***	333	0.491	3902.0	***	283	0.716	967.0	***	305	1.140	856.0	***	189	0.427	1103.0	***				
2014	268	0.702	945.0	***	205	0.56	60.0		325	0.883	1218.0	***	317	0.631	2435.0	***	269	0.661	5216.0	***	333	0.491	3902.0	***	283	0.716	967.0	***	305	1.140	856.0	***	-0.04	0.39	-0.04					

Año	Barcelona			Bellaterra			Girona			Lleida			Manresa			Tarragona			Roquetes-Tortosa			Vielha			
	DNN	α	β	DNN	α	β	DNN	α	β	DNN	α	β	DNN	α	β	DNN	α	β	DNN	α	β	Sig.			
Min.	153	0.651	245.0	211	0.597	472.0	113	0.501	724.0	66	0.324	490.0	166	0.388	534.0	130	0.406	259.0	228	0.424	827.0	96	0.427	307.0	
Máx.	312	1.458	1224.0	358	1.104	1769.0	334	1.580	2435.0	341	2.340	1063.0	361	1.039	4540.0	313	1.115	1661.0	322	1.140	2929.0	230	0.741	1208.0	
Prom.	238	0.888	655.0	283	0.851	1919.9	258	0.827	1483.0	279	0.867	2846.3	292	0.729	1972.0	234	0.769	913.6	271	0.706	1471.8	168	0.602	829.3	
Med.	229	0.880	547.5	281	0.851	949.0	267	0.770	1483.0	300	0.772	1560.0	311	0.743	1972.0	234	0.771	967.0	271	0.710	1449.0	178	0.613	875.0	
Desv.	43	0.193	246.4	41	0.152	373.6	60	0.271	464.9	74	0.456	2538.2	54	0.166	1003.0	52	0.201	407.1	30	0.209	732.3	41	0.089	335.2	
Coeff R.	0.56	0.60		0.40	0.55		-0.17	0.43	-0.69	0.47	-0.39	0.747	-0.19	0.39	0.747	-0.19	0.39	0.747	-0.19	0.39	0.747	-0.19	-0.04	0.39	

Año	Barcelona			Bellaterra			Girona			Lleida			Manresa			Tarragona			Roquetes-Tortosa			Vielha			
	DNN	α	β	DNN	α	β	DNN	α	β	DNN	α	β	DNN	α	β	DNN	α	β	DNN	α	β	Sig.			
1995	208	0.370	135.8	23	0.047	125.0	353	0.362	355.0	201	0.294	322.0	285	0.365	22.2	305	0.347	118.1	279	0.159	265.0	180	0.269	20.0	***
1996	224	0.686	25.2	313	0.249	322.0	205	0.209	177.0	294	0.270	265.0	226	0.365	22.2	305	0.347	118.1	279	0.159	265.0	180	0.269	20.0	***
1997	208	0.370	135.8	313	0.249	322.0	205	0.209	177.0	294	0.270	265.0	226	0.365	22.2	305	0.347	118.1	279	0.159	265.0	180	0.269	20.0	***
1998	227	0.261	92.9	265	0.209	243.0	294	0.270	265.0	301	0.132	973.0	300	0.242	618.8	285	0.146	792.7	288	0.136	579.1	291	0.077	1843.2	***
1999	227	0.358	56.1	263	0.151	452.0	299	0.073	231.7	337	0.333	211.0	313	0.496	94.2	279	0.159	265.0	261	0.189	218.7	261	0.268	255.0	***
2000	259	0.133	152.9	304	0.1																				

Curvularia

Año	Barcelona			Bellaterra			Girona			Lleida			Manresa			Tarragona			Roquetes-Tortosa			Vielha		
	DNN	α	β	DNN	α	β	DNN	α	β	DNN	α	β	DNN	α	β	DNN	α	β	DNN	α	β	Sig.		
1995	9	0.017	7.6	22	0.052	5.0	12	0.073	9.8	4	0.030	5.5	26	0.077	7.0	11	0.034	6.1						
1996	32	0.029	33.2	46	0.063	30.6	15	0.026	14.7	6	0.015	6.0	19	0.114	5.3	12	0.053	5.7						
1997	8	0.023	6.0	15	0.026	10.3	11	0.022	10.3	6	0.013	6.1	1	0.005	2.8									
1998	11	0.022	10.3	6	0.013	9.0																		
1999	3	0.008	5.6	7	0.013	6.1																		
2000	13	0.014	16.5	10	0.024	6.2																		
2001	19	0.033	8.0	17	0.025	10.9																		
2002	8	0.013	7.4	17	0.036	6.0																		
2003	9	0.017	8.8	36	0.062	7.4																		
2004	5	0.009	11.8	22	0.028	17.0																		
2005	1	0.003	2.8	6	0.008	12.2																		
2006	11	0.014	2.7	4	0.010	3.9																		
2007	2	0.006	2.8	2	0.004	7.0																		
2008	3	0.007	4.2	9	0.015	12.7																		
2009	7	0.020	2.8	13	0.036	3.1																		
2010	8	0.021	3.4	3	0.008	2.8																		
2011	5	0.014	2.8	7	0.020	2.8																		
2012	11	0.032	2.7	10	0.028	2.7																		
2013	6	0.017	2.8	2	0.006	2.8																		
2014	6	0.017	2.8	6	0.017	2.8																		
Min.	11	0.014	2.7	10	0.024	2.7																		
Máx.	32	0.033	33.2	46	0.063	30.6																		
Prom.	17	0.026	14.1	21	0.038	10.4																		
Med.	13	0.029	10.3	17	0.032	6.8																		
Desv.	9	0.013	8.7	12	0.022	7.9																		
Coef R.	0.75	0.84	0.93	0.93	0.98	0.89	0.47	0.65	0.54	0.65	0.54	0.65	0.54	0.65	0.54	0.65	0.54	0.65	0.54	0.65	0.54			

Drechslera-Helminthosporium

Año	Barcelona			Bellaterra			Girona			Lleida			Manresa			Tarragona			Roquetes-Tortosa			Vielha		
	DNN	α	β	DNN	α	β	DNN	α	β	DNN	α	β	DNN	α	β	DNN	α	β	DNN	α	β	Sig.		
1995	35	0.090	5.8	122	0.193	14.7	***	98	0.234	2.7	73	0.465	16.9	99	0.782	16.1	217	0.668	33.9	210	0.470	38.7		
1996	75	0.085	23.6	164	0.305	19.0																		
1997	173	0.267	34.2	218	0.358	29.7																		
1998	153	0.383	11.8	164	0.305	19.0																		
1999	10	0.229	13.2	119	0.262	7.4	***	131	0.468	22.5	***	235	0.825	13.8	***	191	0.418	11.8	***	170	0.342	11.1	***	
2000	155	0.330	17.7	152	0.273	23.0	***	146	0.310	16.2	***	235	0.567	25.1	***	243	0.611	16.3	***	219	0.444	16.6	***	
2001	172	0.334	11.2	177	0.373	10.6	**	140	0.332	14.4	**	272	0.642	20.3	**	281	0.973	17.7	**	204	0.366	10.9	***	
2002	282	0.590	28.2	273	0.678	14.8	***	214	0.538	28.7	***	286	0.690	32.2	***	299	0.446	44.7	***	284	0.640	16.4	***	
2003	274	0.403	30.0	273	0.678	14.8	***	214	0.538	28.7	***	314	0.553	41.3	***	289	0.486	38.8	***	285	0.781	18.3	***	
2004	283	0.681	15.0	280	0.567	20.1	***	262	0.640	20.2	***	250	0.536	29.7	***	271	0.715	21.9	***	239	0.639	15.2	***	
2005	269	0.638	12.3	135	0.590	13.5	***	254	0.746	9.3	***	238	0.713	9.0	***	250	0.693	12.1	***	248	0.712	13.2	***	
2006	254	0.709	8.2	254	0.746	14.6	***	260	0.893	12.1	***	250	0.462	22.7	***	253	0.435	18.2	***	287	0.542	19.9	***	
2007	253	0.453	16.8	260	0.306	22.8	***	279	0.553	23.0	***	290	0.413	23.4	***	251	0.481	18.4	***	237	0.405	18.4	***	
2008	246	0.543	12.4	244	0.442	14.9	***	271	0.485	24.3	***	241	0.561	14.4	***	265	0.417	19.2	***	242	0.553	14.6	***	
2009	267	0.577	17.2	241	0.561	14.4	***	243	0.423	22.2	***	274	0.403	40.6	***	265	0.616	18.0	***	170	0.421	24.3	***	
2010	230	0.675	6.5	256	0.522	9.6	***	211	0.273	19.8	***	257	0.423	20.3	***	234	0.455	15.9	***	174	0.322	10.5	***	
2011	201	0.479	7.0	257	0.516	9.6	***	206	0.329	7.9	***	246	0.299	22.7	***	177	0.510	4.8	***	170	0.443	6.0	***	
2012	144	0.368	5.6	169	0.064	45.2	***	128	0.336	8.0	***	198	0.253	17.7	***	182	0.438	6.3	***	127	0.329	4.9	***	
2013	163	0.366	6.2	155	0.337	7.1	***	149	0.384	6.9	***	110	0.076	74.2	***	91	0.381	5.2	***	138	0.375	5.1	***	
2014	122	0.272	6.2	162	0.413	5.4	***	19	0.184	4.7	***	88	0.701	5.4	***	31	0.210	9.3	***	125	0.333	4.8	***	
Min.	35	0.085	5.6	98	0.064	5.4		19	0.184	4.7		88	0.076	5.4		31	0.210	5.2		52	0.322	4.8		
Máx.	283	0.709	34.2	280	0.746	45.2		279	0.713	28.7		314	0.973	74.2		287	0.733	101.7		265	0.712	19.2		
Prom.	193	0.424	14.5	204	0.419	16.2		187	0.452	15.9		232	0.561	27.2		220	0.505	23.8		188	0.487	16.0		
Med.	187	0.393	12.4	222	0.393	14.6		211	0.468	16.6		256	0.560	23.9		243	0.462	17.7		204	0.444	15.2		
Desv.	74	0.187	8.6	58	0.179	9.2		74	0.148	7.1		71	0.248	16.2		53	0.151	10.4		69	0.136	6.0		
Coef R.	0.89	0.26	0.75	0.79	0.69	0.66	0.48	0.65	0.64	0.65	0.65	0.71	0.66	0.65	0.65	0.72	0.36	0.65	0.65	0.65	0.65			

<i>Epicoccum</i>																						
Año	Barcelona			Bellaterra			Girona			Lleida	Manresa	Tarragona	Roquetes-Tortosa	Vielha								
	DNN	α	β	DNN	α	β	DNN	α	β													
1995	1.56	0.223	20.6	176	0.472	6.7	***	111	1.027	18.7	112	0.495	59.4	***	162	0.411	19.3	102	0.204	15.7		
1996	1.46	0.360	12.2	176	0.469	3.8					95	0.395	14.2		79	0.291	11.3					
1997	1.21	0.250	14.5	156	0.384	12.1																
1998	1.25	0.208	18.3	102	0.217	11.8																
1999	5.6	0.151	7.6	69	0.183	3.9																
2000	96	0.127	20.6	119	0.150	22.0	***	135	0.261	30.7	184	0.306	24.7	***	113	0.170	11.7	***	52	0.069	10.9	
2001	148	0.265	15.1	169	0.250	15.9	***	185	0.272	14.5	***	193	0.335	12.8	***	132	0.270	9.0	***			
2002	191	0.217	32.6	185	0.293	14.7	***	231	0.449	24.6	***	245	0.362	37.8	***	252	0.379	24.4	***	117	0.221	8.0
2003	196	0.222	27.9	185	0.424	9.2	***	206	0.389	33.9	***	261	0.512	23.3	***	265	0.445	16.8	***	135	0.171	19.4
2004	154	0.246	14.9	190	0.247	15.7	***	120	0.482	18.6	***	258	0.415	23.2	***	236	0.470	15.4	***	157	0.256	13.1
2005	152	0.184	16.6	162	0.264	10.6	***	216	0.494	13.7	***	246	0.563	16.7	***	202	0.496	8.3	***	131	0.118	24.0
2006	126	0.160	14.3	145	0.330	6.3	***	185	0.218	22.1	***	216	0.614	8.9	***	153	0.346	7.3	***	145	0.295	11.5
2007	131	0.189	18.0	150	0.269	8.8	***	234	0.488	17.7	***	195	0.255	7.4	***	144	0.246	11.9	***	109	0.271	5.6
2008	168	0.211	7.0	206	0.395	13.7	***	235	0.365	32.3	***	263	0.463	22.9	***	195	0.349	11.0	***	139	0.291	9.1
2009	227	0.206	38.2	210	0.145	44.8	***	224	0.375	28.5	***	267	0.264	62.6	***	228	0.277	27.8	***	130	0.324	14.8
2010	176	0.395	9.5	202	0.371	12.2	***	246	0.475	19.4	***	287	0.498	26.0	***	257	0.534	15.1	***	171	0.285	11.4
2011	184	0.170	26.5	234	0.482	10.2	***	257	0.472	24.5	***	305	0.311	69.8	***	282	0.531	17.6	***	144	0.218	12.3
2012	189	0.229	23.6	185	0.303	2.9	***	202	0.473	19.5	***	282	0.249	92.3	***	223	0.365	16.3	***	151	0.225	12.4
2013	19	0.325	15.1	178	0.318	12.3	***	230	0.454	25.0	***	175	0.249	74.1	†	146	0.287	9.9	***	113	0.266	8.1
2014	159	0.247	13.8	193	0.240	18.3	***	38	0.415	4.1	*	110	0.434	29.4	*	49	0.305	32.4	***	29	0.171	4.4
Coeff.R.	0.37	0.64		0.268	0.33			-0.18	0.52			-0.06	0.28			0.65	0.24			0.45	0.04	0.52
																0.39	0.63			0.52	-0.03	

<i>Ganoderma</i>																						
Año	Barcelona			Bellaterra			Girona			Lleida	Manresa	Tarragona	Roquetes-Tortosa	Vielha								
	DNN	α	β	DNN	α	β	DNN	α	β													
1995	10	0.030	5.5	10	0.030	5.5				101	0.617	12.1		160	0.679	15.6						
1996	234	0.379	36.1	166	0.381	14.8																
1997	197	0.476	17.8	122	0.212	10.0	***	109	0.310	35.1	***											
1998	147	0.370	12.5	190	0.204	19.4																
1999	90	0.252	7.9	165	0.327	9.0	***	213	0.361	26.7	***	124	0.270	13.2	***	118	0.267	8.8	***	160	0.356	9.7
2000	87	0.185	10.0	90	0.204	19.4																
2001	147	0.332	9.0	170	0.310	13.9																
2002	184	0.424	10.8	216	0.454	22.1																
2003	186	0.420	8.5	211	0.453	18.0	***	174	0.399	28.8	***	183	0.410	23.8	***	167	0.362	11.9	***	181	0.405	10.4
2004	158	0.381	9.0	210	0.512	19.5	***	216	0.334	55.6	***	184	0.384	25.2	***	136	0.287	13.4	***	178	0.429	9.7
2005	144	0.247	11.1	206	0.513	13.6	***	213	0.217	82.8	***	179	0.526	9.1	***	134	0.276	11.8	***	187	0.554	10.8
2006	165	0.376	23.1	231	0.573	16.7	***	239	0.415	52.5	***	148	0.417	7.2	***	157	0.331	11.8	***	174	0.431	7.9
2007	144	0.261	10.9	220	0.657	9.6	***	232	0.401	57.6	***	163	0.398	9.8	***	117	0.214	9.2	***	172	0.258	15.5
2008	161	0.249	15.5	76	0.117	33.8	***	232	0.401	57.6	***	170	0.404	18.2	***	167	0.362	11.9	***	96	0.123	23.9
2009	208	0.367	19.4	242	0.517	33.6	***	258	0.502	69.8	***	170	0.420	10.8	***	147	0.371	21.9	***	167	0.358	13.0
2010	202	0.493	11.4	244	0.460	54.7	***	179	0.439	13.5	***	162	0.350	15.6	***	189	0.448	15.2	***	146	0.261	16.3
2011	245	0.560	14.1	262	0.480	72.6	***	207	0.406	27.5	***	226	0.559	21.9	***	217	0.482	16.2	***	235	0.385	25.3
2012	191	0.283	21.4	247	0.530	38.3	***	197	0.378	60.7	***	167	0.422	17.5	***	174	0.469	10.1	***	184	0.264	13.6
2013	198	0.389	16.6	235	0.577	34.7	***	253	0.289	134.3	***	70	0.114	28.7	***	55	0.160	17.9	***	141	0.240	17.7
2014	210	0.499	14.1	264	0.558	43.6	***	56	0.537	5.1		63	0.554	8.3		202	0.426	15.3	***	31	0.185	5.9

<i>Penicillium</i>																
Año	Barcelona			Bellaterra			Girona			Lleida	Manresa	Tarragona	Roquetes-Tortosa	Vielha		
	DNN	α	β	DNN	α	β	DNN	α	β							
1995	10	0.030	5.5	39	0.082	5.1	63	0.114	7.2	35	0.069	6.4	31	0.185	5.9	
1996	275	0.669	67.7	262	0.537	14.3	207	0.526	28.7	226	0.617	21.9	238	0.395	25.5	
1997	192	0.412	26.7	195	0.360	59.2	150	0.361	16.2	136	0.336	11.9	161	0.379	12.9	
1998	214	0.373	11.2	213	0.371	55.1	164	0.398	16.2	144	0.406	13.8	143	0.330	14.8	
1999	71	0.193	15.7	69	0.117	32.9	44	0.100	7.3	49	0.143	4.0	44	0.145	4.9	
2000	0															

Leprosphaeria

Año	Barcelona			Bellaterra			Girona			Lleida			Manresa			Tarragona			Roquetes-Tortosa			Vielha			
	DNN	α	β	DNN	α	β	DNN	α	β	DNN	α	β	DNN	α	β	DNN	α	β	DNN	α	β	Sig.			
1995	201	0.268	29.1	***	271	0.209	145.1	***	26	0.115	173.3	19	0.089	103.9	140	0.105	195.4	80	0.088	63.1					
1996	25	0.028	71.5		41	0.050	142.8						99	0.203	120.9	106	0.165	53.3							
1997	216	0.237	75.2		273	0.197	198.7																		
1998	94	0.148	21.2		89	0.096	43.9																		
1999	163	0.138	59.5		175	0.076	182.1	***	171	0.034	1024.1	***	50	0.351	38.8										
2000	107	0.064	99.7	***	135	0.062	151.6	***	244	0.383	119.0	232	0.294	44.1	***	127	0.109	60.1	***	136	0.112	39.0	*		
2001	149	0.088	52.4	***	183	0.088	155.6	***	227	0.228	80.1	253	0.104	187.4	***	222	0.199	517.3	***	235	0.187	62.7	***		
2002	197	0.152	50.4	***	258	0.197	221	***	261	0.221	154.9	***	170	0.364	14.6	***	246	0.285	83.8	***	266	0.195	132.9	***	
2003	193	0.197	23.2	***	261	0.257	154.9	***	200	0.132	194.6	***	142	0.191	19.2	***	215	0.169	389.6	***	204	0.214	31.7	***	
2004	153	0.081	45.0	***	219	0.132	194.6	***	139	0.101	86.7	*	148	0.211	21.0	**	115	0.136	25.4	*	149	0.093	133.3	***	
2005	125	0.125	20.1	***	111	0.083	47.7	*	100	0.067	30.9	***	84	0.069	41.9	+	102	0.169	19.3	***	146	0.074	84.1	***	
2006	108	0.140	14.0		157	0.142	50.9		87	0.102	34.2	***	104	0.162	42.7	*	93	0.104	43.8	*	109	0.114	18.8	*	
2007	74	0.146	6.1		221	0.169	168.2	***	251	0.337	130.2	***	198	0.153	123.5	***	174	0.136	137.4	+	236	0.146	278.6	***	
2008	200	0.280	19.0	***	240	0.151	47.1	***	257	0.259	106.3	***	236	0.184	117.7	***	240	0.177	100.0	***	251	0.161	176.3	***	
2009	260	0.257	47.4	***	240	0.151	145.1	***	181	0.155	47.1	***	206	0.188	77.6	***	224	0.186	77.6	***	243	0.114	96.9	***	
2010	200	0.186	36.2	***	243	0.237	77.9	*	188	0.170	46.6	***	201	0.076	199.8	***	241	0.136	192.3	***	262	0.255	62.7	***	
2011	204	0.242	25.8	*	182	0.131	64.1	***	132	0.133	56.7	***	114	0.172	62.7	***	201	0.193	50.3	***	162	0.146	72.8	***	
2012	169	0.237	16.6		183	0.158	56.7	***	182	0.133	56.4	***	118	0.141	58.4	***	168	0.108	81.8	***	155	0.106	53.2	***	
2013	178	0.229	19.1	**	203	0.118	88.5	***	32	0.411	3.1	82	0.306	19.3	***	41	0.139	25.6	***	173	0.182	43.9	***		
2014	143	0.268	10.2	***	231	0.055	0.34		0.17	0.25	0.06	0.39	0.17	0.06	0.39		0.36	0.74		0.62	0.34	+	13	0.124	3.5
Coeff.R.	0.72	-0.04																					0.74	0.57	

Filomyces

Año	Barcelona			Bellaterra			Girona			Lleida			Manresa			Tarragona			Roquetes-Tortosa			Vielha		
	DNN	α	β	DNN	α	β	DNN	α	β	DNN	α	β	DNN	α	β	DNN	α	β	DNN	α	β	Sig.		
1995	13	0.026	11.0		13	0.030	6.0		2	0.013	11.5	4	0.027	4.6		38	0.075	13.7		14	0.043	5.9		
1996	19	0.050	6.8		17	0.031	14.2						16	0.080	7.3		9	0.035	7.7					
1997	34	0.093	6.9		39	0.108	6.6																	
1998	22	0.049	8.7		23	0.057	7.7																	
1999	4	0.011	5.6		13	0.034	3.4		31	0.089	7.8	1	0.012	5.6		24	0.046	6.5		31	0.043	14.8		
2000	31	0.058	24.3		21	0.036	12.2		51	0.102	21.2	20	0.051	4.6		43	0.104	4.4		36	0.063	7.6		
2001	56	0.107	6.5		65	0.162	4.5		64	0.150	5.3	38	0.102	3.5		76	0.159	5.3		23	0.086	4.2		
2002	44	0.099	5.3		59	0.140	4.6		49	0.112	5.5	43	0.109	4.9		49	0.109	5.2		35	0.085	5.6		
2003	40	0.090	4.5		39	0.086	4.7		51	0.138	4.8	39	0.109	3.9		46	0.126	3.7		32	0.080	3.7		
2004	34	0.080	4.9		19	0.041	4.2		59	0.116	7.5	25	0.069	3.2		45	0.111	4.0		19	0.059	3.2		
2005	20	0.049	4.0		19	0.042	5.3		34	0.069	5.8	42	0.096	5.4		25	0.067	3.5		26	0.051	6.6		
2006	27	0.068	3.5		26	0.066	4.0		35	0.103	3.6	40	0.117	3.5		24	0.064	3.2		35	0.087	3.9		
2007	32	0.074	4.6		39	0.109	3.1		52	0.099	5.7	25	0.069	3.8		30	0.051	5.5		21	0.055	3.3		
2008	25	0.062	3.7		52	0.121	4.8		59	0.146	4.8	36	0.099	3.4		44	0.109	4.6		42	0.102	4.4		
2009	43	0.085	6.2		59	0.153	4.2		71	0.164	5.6	52	0.134	4.0		38	0.096	4.1		34	0.121	4.6		
2010	39	0.102	3.7		46	0.120	3.8		56	0.124	5.7	52	0.100	6.2		66	0.086	10.8		32	0.088	3.3		
2011	43	0.105	4.2		44	0.110	4.3		68	0.145	7.3	68	0.181	4.5		40	0.113	3.3		39	0.085	5.2		
2012	46	0.117	3.9		37	0.083	4.7		42	0.120	4.9	56	0.139	5.0		17	0.048	1.5		29	0.078	3.7		
2013	38	0.099	3.6		33	0.086	4.1		69	0.187	4.3	14	0.050	4.7		18	0.074	3.4		32	0.079	4.3		
2014	32	0.073	4.6		43	0.112	3.7		14	0.107	2.6	3	0.031	2.7		21	0.058	3.3		5	0.035	2.7		
Coeff.R.	0.95	-0.16			0.98	-0.40			0.92	-0.23		0.93	0.62			0.71	-0.02			0.70	0.84	0.66	0.95	

<i>Pleospora</i>													
Año	Barcelona			Bellaterra			Girona			Lleida			
	DNN	α	β	DNN	α	β	DNN	α	β	DNN	α	β	
1995	179	0.474	10.5	20.6	***		183	0.274		183	0.274		
1996	193	0.319	3.2	21.5	0.421	3.13	82	0.495	21.2	***	75	0.195	75.0
1997	195	0.101	79.6	197	0.214	55.5				225	0.513	36.4	
1998	128	0.274	15.1	135	0.289	19.6				161	0.352	93.1	
1999	103	0.210	13.0	126	0.203	12.6	***	128	0.300	24.1	***	50	
2000	120	0.184	18.2	137	0.214	22.6	***	157	0.351	19.8	***	192	
2001	184	0.277	17.2	216	0.259	29.0	***	156	0.361	9.3	***	218	
2002	219	0.389	16.2	224	0.342	22.8	***	161	0.164	29.4	***	224	
2003	217	0.333	17.5	231	0.431	17.1	***	178	0.349	18.8	***	243	
2004	211	0.370	15.2	207	0.214	40.9	***	192	0.260	24.9	***	257	
2005	196	0.290	14.2	*	200	0.214	40.9	***	172	0.227	26.9	***	214
2006	143	0.210	12.7	179	0.275	13.4	***	118	0.145	20.1	***	198	
2007	132	0.251	9.0	149	0.258	12.6	***	147	0.141	23.5	***	158	
2008	196	0.327	13.3	232	0.379	22.5	***	203	0.259	24.6	***	222	
2009	218	0.283	21.7	230	0.241	32.9	***	188	0.303	19.7	***	239	
2010	234	0.375	18.9	251	0.288	39.0	***	213	0.403	16.0	***	264	
2011	232	0.419	14.7	242	0.262	38.2	***	212	0.255	24.0	***	271	
2012	193	0.293	16.2	213	0.175	42.9	***	144	0.203	23.9	***	244	
2013	224	0.219	30.1	222	0.227	36.3	***	214	0.186	40.9	***	160	
2014	233	0.219	28.6	247	0.273	43.7	***	62	0.525	10.1	***	132	
Min.	103	0.101	9.0	126	0.175	12.6	62	0.141	9.3	50	0.089	27.1	
Máx.	234	0.474	79.6	251	0.431	55.5	214	0.525	40.9	271	0.404	397.1	
Prom.	188	0.291	20.2	203	0.277	29.1	160	0.290	22.2	198	0.222	121.6	
Med.	196	0.287	16.2	216	0.268	28.4	161	0.260	23.5	218	0.228	71.7	
Desv.	41	0.089	15.0	40	0.070	11.9	44	0.114	7.2	64	0.082	112.1	
Coef R.	0.41	0.22		0.40	0.51		-0.42	0.43		-0.18	0.33	0.35	

<i>Sympyllum</i>												
Año	Barcelona			Bellaterra			Girona			Lleida		
	DNN	α	β	DNN	α	β	DNN	α	β	DNN	α	β
1995	75	0.165	10.5	129	0.314	6.2	54	0.370	9.3	108	0.748	16.8
1996	142	0.278	14.1	150	0.453	8.9				95	0.415	15.7
1997	128	0.335	10.9	158	0.405	13.0				147	0.383	13.2
1998	112	0.285	9.7	106	0.251	10.4				122	0.579	9.7
1999	71	0.177	8.9	93	0.187	7.9	118	0.533	7.9	37	0.511	7.6
2000	117	0.194	12.9	137	0.289	12.6	139	0.368	11.3	199	0.457	10.2
2001	162	0.378	7.3	154	0.280	10.5	137	0.212	12.6	160	0.333	8.5
2002	184	0.411	9.1	178	0.443	6.3	126	0.321	6.5	200	0.640	8.8
2003	142	0.325	8.1	141	0.260	7.7	128	0.385	7.7	218	0.517	13.9
2004	153	0.402	5.4	149	0.338	7.4	153	0.300	12.9	224	0.466	14.2
2005	116	0.163	11.2	133	0.285	8.0	132	0.258	10.5	202	0.181	18.1
2006	122	0.298	5.5	141	0.327	6.3	135	0.202	6.8	211	0.493	12.4
2007	117	0.236	6.5	138	0.401	4.0	165	0.427	6.4	172	0.357	8.5
2008	140	0.347	5.2	202	0.548	6.4	160	0.425	6.2	153	0.597	10.3
2009	171	0.408	6.5	149	0.307	8.1	148	0.211	15.0	236	0.602	12.1
2010	169	0.411	6.6	156	0.415	5.5	158	0.410	6.8	244	0.254	35.2
2011	176	0.518	4.9	163	0.333	7.5	143	0.340	8.0	248	0.423	19.5
2012	145	0.354	5.7	141	0.293	7.6	118	0.247	9.5	234	0.273	28.3
2013	159	0.377	6.5	152	0.280	9.0	137	0.331	7.0	118	0.291	18.9
2014	147	0.345	6.0	168	0.405	6.6	13	0.071	8.5	101	0.710	9.3
Min.	71	0.163	4.9	93	0.187	4.0	13	0.071	6.2	37	0.254	7.4
Máx.	184	0.518	14.1	202	0.548	13.0	165	0.533	15.0	250	0.748	35.2
Prom.	137	0.320	8.1	148	0.341	8.0	127	0.324	9.0	188	0.490	14.8
Med.	142	0.340	6.9	149	0.321	7.7	137	0.331	8.0	202	0.493	12.4
Desv.	31	0.096	2.7	24	0.086	2.3	39	0.106	2.6	62	0.147	7.5
Coef R.	0.89	-0.41		0.87	-0.06		0.47	0.02		-0.27	0.36	-0.53

<i>Manresa</i>												
Año	Barcelona			Bellaterra			Girona			Lleida		
	DNN	α	β	DNN	α	β	DNN	α	β	DNN	α	β
1995	129	0.314	6.2	54	0.370	9.3	108	0.748	16.8	95	0.415	15.7
1996	150	0.453	8.9							147	0.383	13.2
1997	128	0.335	10.9	158	0.405	13.0				122	0.579	9.7
1998	112	0.285	9.7	106	0.251	10.4				149	0.319	10.0
1999	71	0.177	8.9	93	0.187	7.9	118	0.533	7.9	37	0.511	7.6
2000	117	0.194	12.9	137	0.289	12.6	139	0.368	11.3	199	0.457	10.2
2001	162	0.378	7.3	154	0.280	10.5	137	0.212	12.6	160	0.333	8.5
2002	184	0.411	9.1	178	0.443	6.3	126	0.321	6.5	200	0.640	8.8
2003	142	0.325	8.1	141	0.260	7.7	128	0.385	7.7	227	0.189	48.3
2004	153	0.338	7.4	153	0.300	12.9	132	0.258	10.5	224	0.187	46.5
2005	116	0.163	11.2	133	0.285	8.0	132	0.258	10.5	202	0.205	18.1
2006	122	0.298	5.5	141	0.327	6.3	135	0.202	6.8	211	0.412	6.4
2007	117	0.236	6.5	138	0.401	4.0	165	0.427	6.4	172	0.357	7.6
2008	140	0.347	5.2	202	0.548	6.4	160	0.425	6.2	153	0.597	10.3
2009	171	0.408	6.5	149	0.307	8.1	148	0.211	15.0	236	0.602	12.1
2010	169	0.411	6.6	156	0.415	5.5	158	0.410	6.8	244	0.254	35.2
2011	176	0.518	4.9	163	0.333	7.5	143	0.340	8.0	248	0.423	19.5
2012	145	0.354	5.7	141	0.293	7.6	118	0.247	9.5	234	0.273	28.3
2013	159	0.377	6.5	152	0.280	9.0	137	0.331	7.0	118	0.291	18.9
2014	147	0.345	6.0	168	0.405	6.6	13	0.071	8.5	101	0.710	9.3
Min.	71	0.163	4.9	93	0.187	4.0	13	0.071	6.2	45	0.141	5.6
Máx.	184	0.518	14.1	202	0.548	13.0	165	0.533	15.0	237	0.465	48.3
Prom.	137	0.320	8.1	148	0.341	8.0	127	0.324	9.0	169	0.314	19.3
Med.	142	0.340	6.9	149	0.321	7.7	137	0.331	8.0	202		

	DNN	α	β	DNN	α	β																		
Min.	64	0.096	5.4	22	0.043	8.8	56	0.072	11.3	22	0.051	3.7	61	0.088	7.2	68	0.108	6.0	52	0.120	7.1	0.123		
Máx.	192	0.383	80.5	255	0.451	117.3	261	0.979	607.4	122	0.270	13.6	260	0.696	104.7	185	0.429	51.0	180	0.429	45.7	201	0.306	67.9
Prom.	124	0.218	19.1	161	0.235	36.8	171	0.252	91.2	74	0.168	7.7	167	0.250	47.3	121	0.249	15.3	121	0.249	15.3	127	0.216	32.4
Med.	124	0.201	14.3	170	0.223	26.3	154	0.192	49.8	74	0.171	6.7	167	0.208	40.2	116	0.185	19.4	117	0.250	11.8	130	0.228	26.6
Dev.	37	0.085	1.71	58	0.198	30.4	65	0.225	146.7	32	0.065	3.0	59	0.140	20.8	38	0.079	13.6	38	0.102	11.0	38	0.066	22.9
Coeff.	0.67	1.27	0.59	0.59	0.28	-0.117	0.38	0.67	0.41	0.51	-0.24	0.51	0.22	0.65	-0.21	0.55	-0.21	0.59	-0.27	0.59	0.66	0.59	0.27	

Año	Barcelona				Bellaterra				Girona				Lleida				Manresa				Tarragona				Rocafort-Tortosa				Vilafranca			
	DNN	α	β	Sig.	DNN	α	β	Sig.	DNN	α	β	Sig.	DNN	α	β	Sig.	DNN	α	β	Sig.	DNN	α	β	Sig.	DNN	α	β	Sig.				
1995					59	0.121	9.3	***																								
1996																																
1997	102	0.159	20.8		133	0.310	12.7																									
1998	95	0.187	14.6		64	0.084	22.2																									
1999	43	0.075	20.3		43	0.075	9.4		61	0.212	11.7	***					83	0.484	10.4			28	0.056	20.1								
2000	71	0.112	12.1	***	83	0.123	19.0	***	104	0.263	12.4	***	178	0.276	22.9	***	122	0.215	8.7	***	94	0.164	11.0	***								
2001	95	0.186	8.9	**	118	0.199	11.3	***	125	0.212	13.7	***	152	0.244	22.0	***	127	0.174	17.7	***	95	0.143	14.0	**								
2002	112	0.231	10.2	***	108	0.109	7.9	***	137	0.202	29.2	***	177	0.435	16.7	***	176	0.210	24.3	***	73	0.097	12.2									
2003	105	0.196	10.5	***	135	0.313	6.5	***	133	0.221	16.2	***	214	0.512	18.5	***	158	0.283	14.4	***	110	0.135	19.0	***								
2004	110	0.172	12.2	***	142	0.188	15.3	***	141	0.320	13.8	***	241	0.502	20.6	***	200	0.199	15.3	***	146	0.216	17.3	***								
2005	97	0.205	6.0		127	0.207	12.1	***	110	0.224	7.6	***	232	0.607	17.5	***	196	0.057	98.4	***	97	0.206	10.2	***								
2006	86	0.137	9.5	*	126	0.273	7.3	***	106	0.202	10.4	***	216	0.450	17.1	***	145	0.239	16.7	***	125	0.256	10.7	***								
2007	115	0.201	10.9	**	132	0.311	7.2	***	170	0.226	18.0	***	190	0.344	19.0	***	160	0.345	9.6	***	147	0.201	16.4	***								
2008	92	0.152	9.6	*	63	0.140	6.3	***	170	0.347	13.7	***	185	0.332	18.4	***	113	0.153	14.2	***	72	0.142	8.1	***								
2009	103	0.151	14.5	***	113	0.182	12.4	***	138	0.287	10.7	***	227	0.429	22.5	***	143	0.294	9.4	***	85	0.254	8.3	***	129	0.222	11.5	***				
2010	120	0.287	7.5	**	100	0.209	8.3	***	158	0.332	26.5	***	225	0.451	26.5	***	125	0.207	14.4	***	114	0.237	8.0	***	66	0.261	7.8	***				
2011	140	0.278	10.7		135	0.270	9.6	***	167	0.295	16.3	***	244	0.403	31.4	***	169	0.236	12.6	***	111	0.257	7.9	***	90	0.153	11.5	***				
2012	143	0.257	12.8	***	164	0.398	6.8	***	146	0.377	10.4	***	272	0.752	16.5	***	162	0.355	8.3	***	128	0.207	12.5	***								
2013	116	0.211	11.3	**	123	0.244	9.2	***	169	0.167	38.4	***	120	0.303	21.0	***	76	0.213	12.4	***	110	0.122	20.0	***								
2014	93	0.145	9.0	**	104	0.154	12.1	***	13	0.080	8.5	**	78	0.452	11.6	***	13	0.075	11.4	**	96	0.123	15.9	**	26	0.136	5.9	**	10	0.088	5.7	**

Venturiaceae																					
Año	DNN	α	β	Sig.	DNN	α	β	Sig.	DNN	α	β	Sig.	DNN	α	β	Sig.	DNN	α	β	Sig.	
1995																					
1996	20	0.051	10.8		84	0.269	10.3						80	0.200	42.6		2	24.500	0.8		
1997	73	0.199	8.4		68	0.147	11.1		73	0.130	10.1	1	0.005	5.6		86	0.271	18.5			
1998	54	0.153	6.4		2000	47	0.080	14.2	2	0.006	5.6	2	0.005	11.6	5	0.014	2.8	10	0.026	3.7	
1999	66	0.163	9.8		7	0.017	4.0		80	0.121	21.3	3	0.009	2.8	24	0.028	15.2	3	0.007	4.2	
2001	6	0.015	4.2		14	0.033	4.0		4	0.012	2.8	8	0.023	3.4	4	0.010	3.9	3	0.005	2.0	
2002	10	0.030	2.7		2	0.005	2.8		1	0.003	2.8	2	0.006	2.8	5	0.008	15.4				
2003					2	0.003	28.5		1	0.003	2.8				4	0.011	2.8	2	0.005	4.7	
2004					35	0.028	30.8					19	0.057	3.2	19	0.028	9.6	3	0.009	2.8	
2005	1	0.003	5.6		3	0.008	2.8		1	0.003	2.8	9	0.025	3.3	6	0.013	4.9				
2006	3	0.008	2.8		22	0.005	2.8		3	0.007	4.2	7	0.017	4.6	5	0.014	2.8	3	0.008	2.8	
2007	1	0.003	2.8		22	0.013	38.8		37	0.084	6.2	24	0.063	3.4	38	0.065	8.1	13	0.027	5.7	
2008	23	0.061	3.3		68	0.038	62.0		70	0.110	13.3	30	0.067	5.2	67	0.086	15.1	7	0.025	3.4	
2009	32	0.044	13.2		51	0.052	21.9		22	0.046	6.1	9	0.019	6.9	38	0.022	35.4	13	0.031	5.7	
2010	36	0.085	4.6		33	0.064	6.7		25	0.056	5.9	9	0.021	4.3	58	0.134	5.0	26	0.065	4.6	
2011	22	0.052	4.3		9	0.017	5.7		17	0.044	6.0	14	0.039	3.7	21	0.047	9.5	19	0.041	5.0	
2012	12	0.028	4.4		17	0.047	3.0		30	0.044	9.4	10	0.040	3.6	12	0.043	5.9	16	0.052	3.3	
2013	25	0.054	4.9		14	0.036	3.9		5	0.042	7.1	3	0.021	2.8	4	0.037	3.8	16	0.052	2.7	
2014	14	0.036	3.9															7	0.058	2.7	
Coeff R.	0.98	0.62																		4	
																				0.032	
																				0.61	

Xylariaceae																				
Año	DNN	α	β	Sig.	DNN	α	β	Sig.	DNN	α	β	Sig.	DNN	α	β	Sig.	DNN	α	β	Sig.
1995	13	0.013	2.7		17	0.044	5.9		10	0.039	3.2	12	0.022	5.0	10	0.026	3.7	12	0.017	3.3
1996	84	0.209	88.2		80	0.121	21.3		30	0.067	5.2	80	0.200	42.6	86	0.271	18.5	25	0.097	10.0
1997	40	0.069	20.0		40	0.072	9.7		19	0.053	3.8	40	0.040	16.3	26	0.067	18.5	26	0.051	6.7
1998	34	0.049	10.5		30	0.056	6.2		19	0.057	3.6	38	0.043	9.6	15	0.036	5.2	23	0.045	6.0
1999	25	0.056	33.2		25	0.043	6.3		8	0.028	1.9	24	0.057	12.9	25	0.068	4.8	14	0.035	3.9
2000	17	0.042	2.1		0.96	0.91			0.95	-0.13		0.89	0.066		0.16	0.52		0.82	0.46	0.83

Bellaterra																					
Año	DNN	α	β	Sig.	DNN	α	β	Sig.	DNN	α	β	Sig.	DNN	α	β	Sig.	DNN	α	β	Sig.	
1995	74	0.101	11.4		100	0.586	35.7		58	0.347	9.1	***	99	0.451	13.3	65	0.237	9.3			
1996	81	0.208	10.8																		
1997	47	0.089	14.3		28	0.054	12.8		105	0.232	22.9	***	22	0.022	269.3						
1998	17	0.141	9.7		56	0.075	11.7		156	0.352	27.9	***	100	0.035	81.1	59	0.142	5.0	45	0.079	6.3
1999	117	0.267	6.2		131	0.178	14.9	**	118	0.269	7.3	***	132	0.198	13.6	***	113	0.155	12.4	*	
2000	21.4	0.340	21.6		225	0.244	48.3	***	114	0.250	7.5	***	178	0.388	10.3	***	108	0.230	6.9	***	
2001	154	0.354	12.0		126	0.220	11.6	***	81	0.133	8.5	106	0.279	6.5	***	76	0.140	11.9			
2002	221	0.406	16.4		197	0.244	21.5	***	82	0.227	4.8	122	0.257	7.1	***	97	0.034	64.0	***		
2003	130	0.257	10.4		240	0.318	26.2	***	116	0.276	5.5	***	136	0.236	8.7	***	109	0.178	9.0	***	
2004	191	0.322	24.9		197	0.244	23.7	***	165	0.398	7.6	***	166	0.444	8.9	***	101	0.041	50.3	***	
2005	154	0.343	8.5		152	0.264	12.7	***	59	0.276	6.0	106	0.229	6.5	***	126	0.336	5.0	***		
2006	181	0.354	12.0		126	0.220	11.6	***	81	0.133	8.5	122	0.257	7.1	***	97	0.034	64.0	***		
2007	123	0.239	6.9	*	221	0.406	16.4	***	197	0.244	21.5	***	136	0.236	8.7	***	111	0.113	15.2	***	
2008	131	0.213	8.5	*	130	0.257	10.4	***	240	0.318	26.2	***	119	0.241	7.8	***	91	0.196	7.0	***	
2009	191	0.322	20.7		212	0.370	19.9	***	110	0.276	6.4	***	164	0.284	13.5	***	55	0.171	5.2	***	
2010	217	0.443	17.6	***	198	0.322	31.8	***	99	0.183	10.0	***	162	0.372	10.5	***	58	0.139	6.3	***	
2011	244	0.491	25.8	***	260	0.486	30.4	***	117	0.236	8.2	***	213	0.261	29.0	***	43	0.119	18.6	***	
2012	195	0.341	15.7	***	199	0.312	36.3	***	111	0.239	8.5	***	167	0.420	7.0	***	135	0.272	8.0	***	
2013	180	0.341	9.9	***	215	0.453	16.8	***	265	0.177	239.3	***	82	0.236	9.1	*	146	0.381	6.2	***	
2014	179	0.317	12.6	***	260	0.320	38.4	***	55	0.212	40.4	***	50	0.338	4.7	***	27	0.252	4.9	***	

Manresa																				
Año	DNN	α	β	Sig.																
1995	28	0.054	6.2		265	0.622	239.3		22	0.022	8.6		213	0.549	44.2		45	0.034	5.0	
1996	260	0.491	38.4		177	0.327	38.3		3	0.017	4.2		135	0.297	12.6		3	0.005	22.0	
1997	160	0.286	17.2		197	0.312	15.7		100	0.239	26.2		136	0.257	8.9		98	0.201	13.6	
1998	191	0.320	15.7		191	0.341	52.9		35	0.117	6.5		51	0.120	10.0		30	0.190	8.0	
1999	72	0.130	8.1</td																	

Capítulo 3

**Modelos de predicción por umbrales de concentración de
polen y esporas de hongos en Catalunya mediante
regresión logística y árboles de regresión**

Resumen

El desarrollo de modelos predictivos aerobiológicos cada vez tiene mayor interés a pesar de que la distribución y variabilidad de los datos, así como las limitaciones de los métodos estadísticos dificultan la consecución de los mismos. Para reducir estos problemas, se ha planteado el desarrollo de los modelos por umbrales de concentración, donde se emplean una respuesta binaria que permite establecer la ocurrencia o no del nivel de concentración modelado. El objetivo del presente capítulo es evaluar la regresión logística y los árboles de regresión como modelos de predicción basados en umbrales de concentración de polen y esporas de hongos en Catalunya. Para ello se emplean seis táxones polínicos y seis fúngicos seleccionados a partir de la clasificación genérica del modelo gamma. Los modelos se desarrollan para ocho localidades y cuatro umbrales de concentración (bajo, medio, alto y muy alto) con datos desde 1994 a 2011 y se validan con datos de 2012 a 2014. El potencial predictivo de cada modelo se analiza mediante los parámetros de sensibilidad y especificidad. Los dos modelos presentan resultados similares en cuanto a la relación y/o influencia de los parámetros meteorológicos en los diferentes umbrales, presentando unos resultados de validación altamente satisfactorios. No obstante, se observa que la regresión logística ofrece una mayor precisión para establecer la superación de un umbral de concentración, además de ser más sencillo de aplicar.

Capítulo 3 _____ 143

Modelos de predicción por umbrales de concentración de polen y esporas de hongos en Catalunya mediante regresión logística y árboles de regresión	143
3.1. Introducción	145
3.1.1. Regresión logística	146
3.1.2. Árboles de regresión	147
3.2. Material y métodos	148
3.2.1. Datos aerobiológicos	148
3.2.2. Área de estudio	149
3.2.3. Método estadístico	149
3.3. Resultados y discusión	150
3.3.1. Polen	151
3.3.2. Eспорas de hongos	159
3.4. Conclusión	167
3.5. Referencias bibliográficas	167
3.6. Anexos	175

3.1. Introducción

El estudio de las partículas biológicas atmosféricas tiene cada vez más importancia, en especial aquellos enfocados en la identificación y cuantificación del polen y esporas de hongos con alto potencial alergénico y en los que se desarrollan modelos de predicción (Makra *et al.* 2011). Esto es debido a que informar sobre el nivel actual y futuro de estas partículas permite establecer medidas de prevención a personas alérgicas así como reducir los costes humanos y económicos asociados (Ranzi *et al.* 2003). Tal como se ha mencionado en el capítulo 1 sección 1.2.1., los principales inconvenientes de los modelos de predicción más comunes son elegir los predictores adecuados y el tipo de distribución estadística de las variables incluidas en la ecuación del modelo (De Linares *et al.* 2010).

Como alternativa a estos inconvenientes, se plantea cada vez más la implementación de métodos basados en la inteligencia computacional como redes neuronales, máquinas de soporte vectorial, entre otros. Ésto se debe principalmente, a que dichas metodologías pueden realizar múltiples tareas como la clasificación, la predicción numérica y/o el clustering, mejorando las predicciones resultantes de los modelos (Scheifinger *et al.* 2013). No obstante, la interpretación de los resultados no siempre es clara, pese a los buenos niveles de ajuste que presentan. Un ejemplo son las redes neuronales, que se establecen como un buen método de clasificación y regresión para los procesos ambientales, pero que por su forma de ejecución es considerado como una “caja negra” que no permite identificar los criterios que se han empleado para dicha clasificación, así como estimar la influencia de las variables independientes en el modelo (Tu 1996). En este mismo sentido, otro de los aspectos que pueden estar limitando el uso de estos métodos de inteligencia computacional son los altos requerimientos informáticos necesarios para su desarrollo (Tu 1996), situación que es más preocupante si se tiene en cuenta que dichos métodos tampoco evidencian mejores resultados que las metodologías tradicionales (Aznarte *et al.* 2007, Verma & Pathak 2009).

Otra de las alternativas ha sido el desarrollo de los modelos de predicción mediante umbrales de concentración, puesto que para evaluar el riesgo de padecer síntomas alérgicos es suficiente predecir la posibilidad de superar un determinado nivel de concentración (Belmonte *et al.* 2000, Castellano-Méndez *et al.* 2005, Makra *et al.* 2011, Myszkowska & Majewska 2014). Ello permite que las predicciones sean mucho más eficientes (Ranzi *et al.* 2003) y disminuye el problema sobre el tipo de distribución que siguen los datos aerobiológicos (Cotos-Yáñez *et al.* 2004). Además, dado que los modelos de predicción involucran ecuaciones no lineales unidimensionales para establecer la correlación de niveles de polen con variables meteorológicas y buscan emplear las variables con mayor capacidad de predicción (Norris-Hill 1995), algunos autores han propuesto también la implementación de otras metodologías estadísticas como la regresión logística y los árboles de regresión (Anexo 1.A). Éstas se caracterizan por una respuesta binaria, que permite establecer la ocurrencia o no del nivel de concentración o evento modelado, y resultan ser las más ajustadas cuando se plantean las predicciones por umbrales de concentración (Vélez-Pereira *et al.* 2014, 2015).

La regresión logística, en el caso del polen, se ha empleado para predecir el inicio y fin de la polinización (Ribeiro *et al.* 2007, Myszkowska & Majewska 2014), así como valores semanales (Escabias *et al.* 2013) o diarios (Vélez-Pereira *et al.* 2015). Entretanto, para las esporas de hongos, se

ha empleado para predecir los incrementos anuales de las concentraciones (De Linares *et al.* 2010) y la predicción de niveles de concentración diaria (Vélez-Pereira *et al.* 2014). Por otro lado, los árboles de regresión, con un mayor número de aplicaciones que la regresión logística, han sido empleados para predecir valores diarios (Sabariego *et al.* 2008, Voukantsis *et al.* 2010, Csépe *et al.* 2014) y la intensidad de emisión (Oteros *et al.* 2013) en el caso del polen, mientras que para esporas de hongos, sólo se han reportado en la predicción de concentraciones diarias (Grinn-Gofroń & Strzelczak 2011, Jedryczka *et al.* 2015, Sadyś *et al.* 2016).

3.1.1. Regresión logística

El modelo Logit o regresión logística es una técnica de modelación en la cual se obtiene una probabilidad de ocurrencia con relación a una cantidad n de variables potenciales de predicción (Tu 1996). Ésta se describe en muchos libros de texto estadísticos, siendo la referencia estándar Hosmer & Lemeshow (2000). La ecuación matemática genérica que describe una regresión logística es:

$$f(x) = \log \left[\frac{p}{1-p} \right] = \beta_0 + \beta_1 x_1 + \cdots + \beta_n x_n$$

Ecuación 3.1

donde X_1, \dots, X_n son los predictores o variables explicativas, y p es la proporción en la que se observa un determinado resultado.

La regresión logística es un método binario, paramétrico, aditivo, flexible desde el punto de vista matemático y de fácil interpretación. Esta última característica, se atribuye a que en la ecuación resultante se evidencia el tipo de relación (signo del coeficiente β_n) y la unidad de cambio (valor del coeficiente) de los predictores. No obstante, el proceso de incorporación o eliminación de las variables independientes empleado por este método tiende a generar problemas de convergencia en el modelo (Tu 1996, Hosmer & Lemeshow 2000).

Aunque los modelos Logit no son óptimos para la predicción en tiempo real, se pueden utilizar para este propósito después de especificar un punto de corte que permite transformar las probabilidades obtenidas en predicciones positivas/negativas (De Linares *et al.* 2010). Sin embargo, el establecimiento del punto de corte suele ser uno de los aspectos difíciles en la modelación de datos aerobiológicos, puesto que la proporción de presencia/ausencia en las muestras no suele seguir la curva simétrica ideal de probabilidad del 50%, situación que también ocurre en la aplicación de otros procesos ambientales (Hosmer & Lemeshow 2000, Rojas *et al.* 2001). Algunas estrategias para corregir este inconveniente han sido la selección de una submuestra en la que la proporción sea la deseada (Brito *et al.* 1999) o el uso de factores de ponderación (Teixeira *et al.* 2001). No obstante, estas estrategias tienden a generar una gran pérdida de información o simplemente alteran la base de datos original, por lo que determinar el punto de corte óptimo mediante el desarrollo del modelo con diferentes valores críticos resulta ser una de las estrategias mejor aceptadas en el desarrollo de este tipo de modelos (Rojas *et al.* 2001, Barbosa *et al.* 2003).

3.1.2. Árboles de regresión

Los árboles de regresión se desarrollan de manera similar a la regresión lineal tradicional, empleando una o diversas variables independientes que modelan una variable dependiente. No obstante, los árboles de regresión emplean un sistema de clasificación binario y jerarquizado, generando regiones y subregiones de modelación con la mayor homogeneidad posible, que serán ajustadas a un modelo de regresión simple similar al criterio de partición (como una constante). En este sentido, la metodología toma el conjunto de datos y hace una primera modelación, calculando la media de cada región y dividiendo los datos en dos regiones. A continuación, dependiendo de la respuesta obtenida, una o ambas de estas regiones se subdividen en dos nuevas regiones (como subregiones de la anterior) y así sucesivamente. El proceso se seguirá desarrollando hasta alcanzar el criterio de detención preestablecido o hasta cuando no se puedan distinguir más grupos homogéneos. La elección de la(s) variable(s) y punto(s) de división(es) para lograr el mejor ajuste se establece por diferentes metodologías, dichas metodologías estiman la impureza en las particiones como un indicador de la homogeneidad y generalmente se asocian al criterio empleado para detener la división (Calle & Sánchez-Espigares 2007, Hastie *et al.* 2009), ejemplo de estas metodologías de estimación es el índice Gini (Calle & Sánchez-Espigares 2007).

La simplicidad conceptual de los árboles de regresión le brinda su mayor ventaja, puesto que facilitan su interpretación, siendo una herramienta poderosa e intuitiva para el desarrollo de modelos en diversas áreas del conocimiento (Hastie *et al.* 2009). Matemáticamente, el árbol de regresión suele representarse con la siguiente ecuación:

$$f(x) = \sum_{m=1}^M c_m I(x \in R_m)$$

Ecuación 3.2

donde c_m se entiende como la constante m de regresión en la región R , x representa la variable que genera una partición del conjunto de n observaciones (variables independientes) y R_m representa la m región uniforme obtenida de la partición del conjunto de n observaciones y que responden a la constante de regresión c_m . Una mayor explicación sobre los aspectos teóricos de esta metodología pueden ser encontrados en textos de estadística, siendo Hastie *et al.* (2009) la referencia más utilizada.

Los árboles de regresión se caracterizan por ser una prueba no paramétrica y no aditiva que establece una clasificación jerarquizada que facilita la interpretación de los resultados. Su aplicación se fundamenta en la exploración de los datos y no en la inferencia de los mismos como en los métodos tradicionales, por lo que sus resultados permiten establecer una o más formas de exploración (Murthy 1998). La primera de ellas corresponde a una exploración descriptiva, que puede reducir el volumen de datos a una forma compacta de R regiones preservando las características iniciales de la muestra. La segunda corresponde a un análisis exploratorio de clasificación, de manera que las regiones R pueden ser interpretadas de manera significativa en el contexto de la muestra o hipótesis planteada. Por último, un análisis exploratorio de generalización permite mapear desde las variables

independientes hacia las variables dependientes por medio del conjunto de R regiones, estableciéndose una predicción de la variable dependiente en el futuro (Murthy 1998).

Otra de las ventajas que presentan los árboles de regresión es el hecho de ser una prueba no paramétrica, que sirve, por tanto, para explorar conjuntos de datos donde no hay conocimiento previo sobre las distribuciones de probabilidad, hecho habitual en los datos aerobiológicos. Asimismo, requieren bajos costos computacionales para su desarrollo, almacenamiento y posterior aplicación (Murthy 1998, Tzima *et al.* 2007). Adicionalmente, esta metodología implica un mejor uso de las características disponibles en los datos, generando una clasificación más eficiente de los procesos de descomposición jerárquica en la que se basa. Finalmente, los árboles de regresión pueden tratar datos unimodales o multimodales de la misma manera, y no se ven afectados por la presencia de “*missing*” o datos perdidos (Murthy 1998, Tzima *et al.* 2007, Hastie *et al.* 2009).

Los árboles de regresión presentan también algunas desventajas. Una de ellas está relacionada con las variables independientes, las cuales, si presentan una alta variabilidad, tienden a ser favorecidas en la jerarquización del árbol. Por otro lado, los árboles presentan una carencia de flexibilidad en su respuesta (si o no) que se asocia con problemas de clasificación, generando en algunas ocasiones una sobreestimación. Finalmente, al ser un modelo con estructura no aditiva, no se puede obtener una significación y relación entre las variables independientes y la dependiente (Hastie *et al.* 2009). Este último inconveniente puede ser parcialmente solventado si se analiza la jerarquía de los parámetros obtenidos en la partición.

Teniendo en cuenta las similitudes entre la regresión logística y los árboles de regresión, en el presente capítulo se plantea evaluar el comportamiento de ambos métodos como modelos de predicción basados en umbrales de concentración de polen y de esporas de hongos en Catalunya, para determinar cuál de ellas es la mejor herramienta de predicción.

3.2. Material y métodos

3.2.1. Datos aerobiológicos

Para el presente capítulo se tomaron como referencia la base de datos aerobiológica propuesta en la sección IV de la introducción de la presente tesis, así como los resultados de la clasificación genérica propuesta en el capítulo 2 (Tabla 2.5 y 2.8). De esta manera se han seleccionado seis táxones por cada tipo de bioaerosol estudiado. En el caso de los táxones arbóreos se seleccionaron Cupressaceae, *Olea* y *Platanus*, y como herbáceos, Chenopodiaceae-Amaranthaceae, Poaceae y Urticaceae. Para las esporas de hongos se seleccionaron dos Ascósporas: *Leptosphaeria* y *Pleospora*, dos Basidiósporas: *Ganoderma* y *Agaricus*, y dos Conidiósporas: *Alternaria* y *Cladosporium*. Para el desarrollo de los modelos se han empleado los registros históricos hasta el 2011, mientras que los registros del 2012 en adelante se han empleado para la validación de los modelos.

3.2.2. Área de estudio

El área de estudio del presente capítulo se corresponde con las ocho estaciones aerobiológicas distribuidas en cuatro fitoclimas de Catalunya descritas a detalle en la sección III de la Introducción.

3.2.3. Método estadístico

En el presente capítulo se aplicarán la regresión logística y los árboles de regresión para establecer la predicción de las concentraciones de los táxones estudiados. Dicha predicción se realizará de forma binaria (probabilidad de ocurrencia) teniendo en cuenta los umbrales de concentración propuestos en las Tablas IV y V de la Introducción de esta tesis.

Antes de establecer las particularidades de interpretación de cada uno de los métodos, se describirán los aspectos metodológicos que tienen en común. El primero de ellos se corresponde con el establecimiento del punto de corte a partir del cual se establecerá la probabilidad de superación del umbral modelado. Este ajuste metodológico se toma teniendo en cuenta lo planteado por Real *et al.* (2006) sobre la incidencia de las proporciones de presencia/ausencia en el éxito del modelo. En nuestro caso, al haberse verificado que los modelos con un valor crítico estándar de 0.5 generan una sobreestimación, se propone la aplicación de un punto de corte variable para cada taxon, estación y umbral de concentración modelado. Éste se corresponderá con el porcentaje de veces en que el umbral propuesto es superado, estableciendo la probabilidad real de que el evento ocurra.

Como segundo aspecto en común entre la distribución logística y los árboles de regresión, se establecen los parámetros estadísticos empleados para evaluar el grado de predicción de los modelos utilizando la sensibilidad y especificidad, muy populares en Bioestadística, como medidas del poder predictivo. Ésto se hace teniendo en cuenta que una validación cruzada no representa un valor real de ajuste de la predicción, en especial para los táxones polínicos con menos de un 20% de días presentes en el año, puesto que en estos casos, la proporción de valores en la que el modelo debe establecer una predicción verdadera positiva es muy baja con respecto a los verdaderos negativos, generando así que los valores de validación que no reflejen su verdadero poder de predicción (Miquel Canela, comunicación verbal).

En este sentido se empleará la sensibilidad como el porcentaje de verdaderos positivos con respecto al total de los positivos observados, mientras que la especificidad representará los verdaderos negativos con respecto al total de los negativos obtenidos. La comparación de los modelos se realizará siempre en función de estos parámetros con el fin de determinar qué modelo logra establecer el mejor potencial predictivo.

En el desarrollo de los modelos, se emplearon los parámetros meteorológicos de temperatura, precipitación y humedad relativa para establecer las variables independientes o predictores del modelo: cuatro variables para la temperatura (máxima, mínima, y el cuadrado de cada una de ellas) y la precipitación (la del mismo día y la de uno, dos y tres días antes), y la humedad relativa del mismo día.

Los cálculos se desarrollaron con R, empleando la función *GML* (Fitting Generalized Linear Models) para el desarrollo de la regresión logística y el paquete *rpart* para el desarrollo de los árboles de regresión.

En la Regresión logística, como ya se ha mencionado, los resultados del modelo logístico informan sobre el tipo de relación (directa: signo positivo o indirecta: signo negativo), la proporción de cambio (odd ratios) y un nivel de significación de cada una de las variables independientes. Para establecer la incidencia de la variable en el umbral de concentración modelado se contará el número de veces que dicha variable presenta algún tipo de significación, variando la frecuencia entre cero (ninguna estación) y ocho (todas las estaciones). Así se podrá establecer el(s) parámetro(s) con un tipo de relación y frecuencia de significación sobre un umbral determinado.

En el caso de los árboles de regresión, fundamentados en una clasificación jerarquizada hereditaria de las variables independientes, la influencia de cada una de estas variables se calculará en función de su frecuencia en cada nivel del árbol (Figura 3.1). Ésto se hace teniendo en cuenta que las variables que aparezcan en los primeros niveles tienen una mayor influencia en el desarrollo del mismo, lo cual es equiparable a la significancia que se presenta en el modelo logístico. Así mismo, esta metodología permite establecer el valor crítico promedio que presenta dicha variable en cada uno de los nodos del árbol empleados en el proceso de clasificación y regresión.

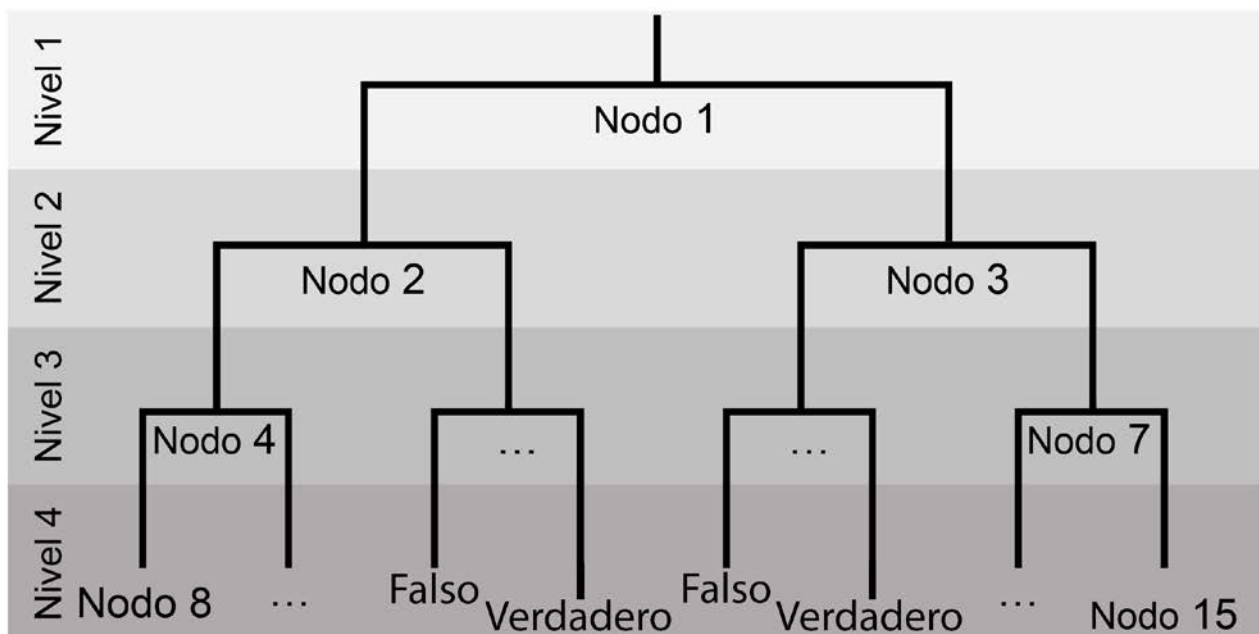


Figura 3.1 – Representación de los niveles y nodos en un árbol de regresión.

Cada nodo presentará una variable meteorológica con su respectivo valor crítico empleado para la partición. La respuesta del nodo verdadero indica la superación del umbral y la falso la no superación.

3.3. Resultados y discusión

En la Tabla 3.1 se presentan la fracción porcentual de los días que superan un umbral de concentración por taxón y estación estudiados. Dichas fracciones son empleadas como punto de corte para establecer la probabilidad de superación o no del umbral en los modelos de regresión aplicados.

Tabla 3.1 – Valor crítico para los táxones polínicos y fúngicos por cada umbral de concentración en las estaciones de muestreo aerobiológicas.

		Taxones polínicos						Taxones fúngicos			
		Estación	Umbral de concentración				Estación	Umbral de concentración			
			Bajo	Medio	Alto			Bajo	Medio	Alto	
Árbol	Olea	Barcelona	0.514	0.165	0.086	0.048	Barcelona	0.438	0.293	0.192	0.117
		Bellaterra	0.512	0.151	0.076	0.047	Bellaterra	0.533	0.404	0.320	0.229
		Girona	0.497	0.160	0.089	0.054	Girona	0.542	0.393	0.303	0.224
		Lleida	0.455	0.140	0.087	0.058	Lleida	0.541	0.390	0.296	0.201
		Manresa	0.517	0.164	0.086	0.052	Manresa	0.537	0.408	0.328	0.246
		Roquetes-Tortosa	0.522	0.221	0.157	0.123	Tarragona	0.534	0.369	0.268	0.178
		Tarragona	0.571	0.206	0.116	0.068	Roquetes-Tortosa	0.496	0.333	0.255	0.172
		Vielha	0.300	0.074	0.021	0.008	Vielha	0.412	0.260	0.184	0.108
	Platanus	Barcelona	0.160	0.051	0.021	0.007	Barcelona	0.520	0.353	0.218	0.119
		Bellaterra	0.142	0.046	0.018	0.004	Bellaterra	0.564	0.396	0.276	0.173
		Girona	0.141	0.041	0.012	0.004	Girona	0.528	0.339	0.235	0.134
		Lleida	0.153	0.063	0.036	0.019	Lleida	0.669	0.496	0.382	0.269
		Manresa	0.138	0.051	0.028	0.017	Manresa	0.639	0.485	0.369	0.261
		Roquetes-Tortosa	0.191	0.092	0.071	0.048	Tarragona	0.616	0.431	0.307	0.192
		Tarragona	0.178	0.070	0.041	0.024	Roquetes-Tortosa	0.601	0.396	0.288	0.185
		Vielha	0.037	0.004	0.001		Vielha	0.371	0.189	0.115	0.048
	Cheno.-Amar.	Barcelona	0.293	0.119	0.094	0.076	Barcelona	0.395	0.271	0.184	0.117
		Bellaterra	0.149	0.079	0.059	0.040	Bellaterra	0.518	0.389	0.295	0.202
		Girona	0.162	0.090	0.068	0.050	Girona	0.535	0.426	0.362	0.281
		Lleida	0.105	0.044	0.026	0.015	Lleida	0.410	0.264	0.186	0.116
		Manresa	0.154	0.080	0.055	0.037	Manresa	0.501	0.345	0.262	0.164
		Roquetes-Tortosa	0.094	0.020	0.005	0.000	Tarragona	0.356	0.219	0.150	0.087
		Tarragona	0.128	0.051	0.025	0.011	Roquetes-Tortosa	0.545	0.341	0.246	0.134
		Vielha	0.020	0.001	0.000		Vielha	0.344	0.253	0.194	0.123
	Hierba	Barcelona	0.255	0.091	0.025	0.011	Barcelona	0.472	0.331	0.217	0.122
		Bellaterra	0.236	0.073	0.016	0.007	Bellaterra	0.532	0.446	0.368	0.268
		Girona	0.232	0.073	0.016	0.004	Girona	0.621	0.528	0.460	0.366
		Lleida	0.514	0.395	0.313	0.259	Lleida	0.459	0.326	0.251	0.153
		Manresa	0.349	0.187	0.074	0.041	Manresa	0.394	0.269	0.192	0.102
		Roquetes-Tortosa	0.311	0.122	0.034	0.013	Tarragona	0.477	0.325	0.235	0.128
		Tarragona	0.253	0.096	0.036	0.019	Roquetes-Tortosa	0.439	0.270	0.191	0.102
		Vielha	0.039	0.005	0.001	0.000	Vielha	0.497	0.441	0.407	0.366
	Poaceae	Barcelona	0.311	0.172	0.105	0.072	Barcelona	0.834	0.559	0.288	0.161
		Bellaterra	0.340	0.194	0.129	0.099	Bellaterra	0.890	0.634	0.349	0.213
		Girona	0.388	0.247	0.177	0.145	Girona	0.870	0.603	0.374	0.261
		Lleida	0.511	0.340	0.204	0.149	Lleida	0.971	0.869	0.670	0.538
		Manresa	0.436	0.263	0.163	0.126	Manresa	0.932	0.738	0.495	0.359
		Roquetes-Tortosa	0.339	0.171	0.106	0.085	Tarragona	0.886	0.615	0.309	0.177
		Tarragona	0.338	0.175	0.100	0.070	Roquetes-Tortosa	0.922	0.691	0.427	0.281
		Vielha	0.288	0.200	0.159	0.135	Vielha	0.498	0.194	0.046	0.015
	Urticaceae	Barcelona	0.612	0.393	0.256	0.192	Barcelona	0.659	0.367	0.155	0.077
		Bellaterra	0.517	0.338	0.220	0.159	Bellaterra	0.784	0.519	0.276	0.160
		Girona	0.590	0.414	0.285	0.216	Girona	0.810	0.572	0.364	0.246
		Lleida	0.421	0.218	0.100	0.056	Lleida	0.904	0.730	0.506	0.380
		Manresa	0.618	0.417	0.276	0.210	Manresa	0.847	0.643	0.414	0.287
		Roquetes-Tortosa	0.692	0.469	0.316	0.248	Tarragona	0.693	0.400	0.185	0.102
		Tarragona	0.692	0.460	0.298	0.222	Roquetes-Tortosa	0.781	0.542	0.310	0.189
		Vielha	0.319	0.243	0.189	0.164	Vielha	0.509	0.304	0.151	0.079

3.3.1. Polen

En la Figura 3.2 se presentan la significación y relación (directo: favorecedor o indirecto: supresor) de los parámetros meteorológicos obtenidos mediante regresión logística para cada uno de los tipos polínicos estudiados por umbral de concentración; los valores variaran entre cero y ocho dependiendo del número de estaciones (ocho en estudio) que reporten algún tipo de significación (al 99.9%, 99%

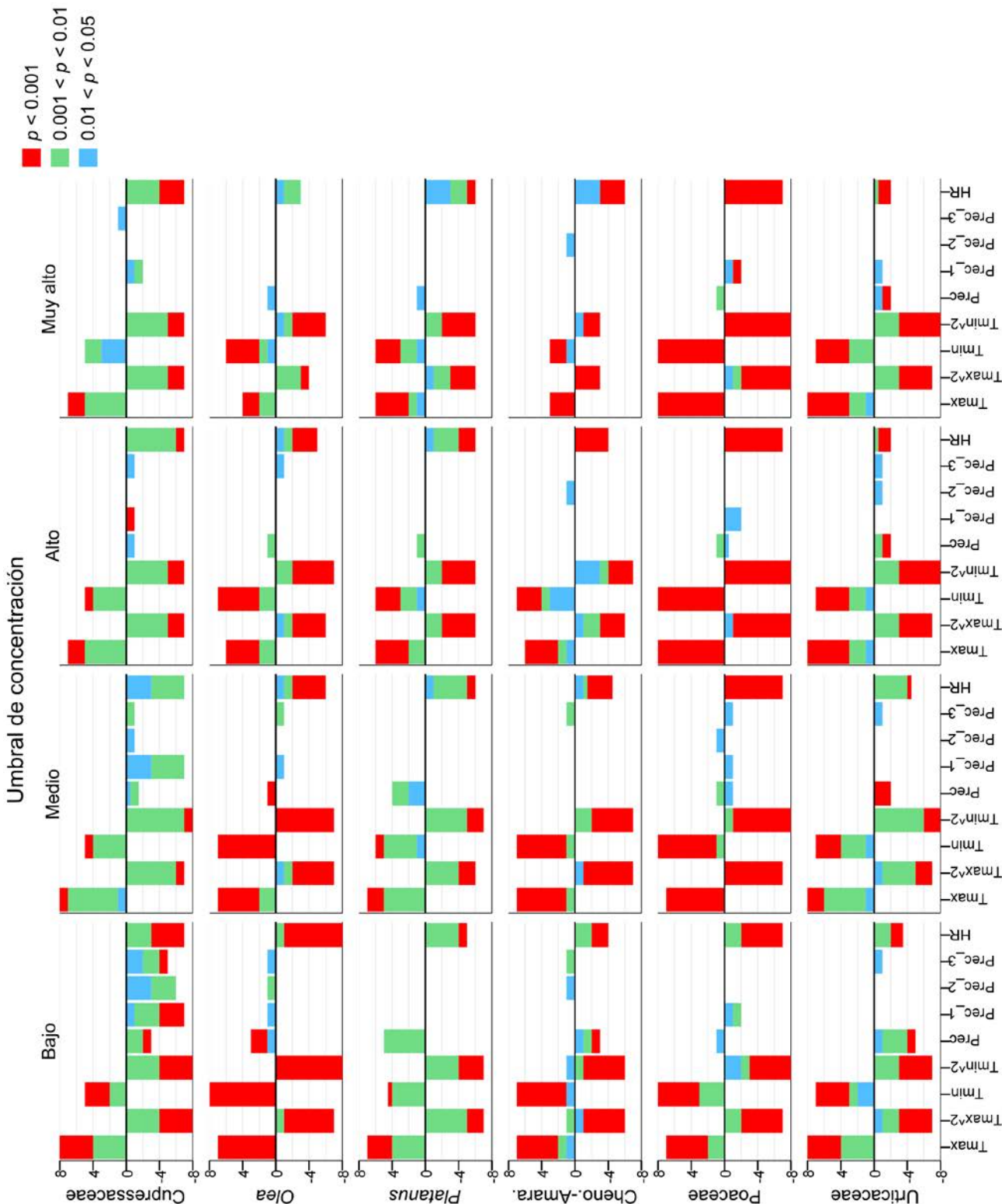


Figura 3.2 – Frecuencia y nivel de significación de las variables meteorológicas por tipo polínico y umbral de concentración estudiado.

Tmax: temperatura máxima; **Tmax²:** cuadrado de la temperatura máxima; **Tmin:** temperatura mínima; **Tmin²:** cuadrado de la temperatura mínima; **Prec:** precipitación; **Prec_1:** precipitación del día anterior; **Prec_2:** precipitación de dos días anteriores; **Prec_3:** precipitación de tres días anteriores; **HR:** humedad relativa.

o 95%). Para los tipos polínicos arbóreos, la temperatura muestra una mayor frecuencia de significación con respecto al resto de parámetros analizados, siendo el cuadrado de la temperatura mínima la variable más frecuente. Las variables de temperatura máxima y mínima presentan una relación directa con la emisión de polen, mientras que para los cuadrados de este parámetro su relación describe una parábola cóncava, lo que puede ser explicado como un efecto dual; en un primer momento los aumentos de la temperatura máxima/mínima favorecen la emisión del polen hasta alcanzar un valor crítico a partir del cual el efecto tiende a ser “contrario”. Por su parte, la precipitación muestra poca significancia; solo en Cupressaceae se observa un efecto supresor en los dos primeros umbrales de concentración para las variables de este parámetro. Por último, la humedad relativa se reporta como el tercer parámetro con mayor número de significancia, con una relación indirecta con los umbrales de concentración estableciéndose como un supresor de las emisiones.

Para los tipos polínicos herbáceos se observan resultados similares a los tipos polínicos arbóreos. No obstante, en este caso el efecto “supresor” de la humedad relativa es mucho menos significativo y frecuente, exceptuando en el umbral de concentración muy alto donde se establece como el parámetro más influyente. Asimismo, la precipitación en el mismo día empieza a tomar mayor relevancia como un supresor en los primeros umbrales de concentración (bajo y medio).

Los resultados de los árboles de regresión (Tabla 3.2 y Tabla 3.3) muestran, para el caso de los tipos polínicos arbóreos, que la temperatura mínima es la variable que más afecta las concentraciones, exceptuando el caso de *Olea* donde es la temperatura máxima. Estos resultados son consistentes con lo reportado en los resultados de la regresión logística. Asimismo, en el segundo y tercer nivel del árbol de regresión se presenta un comportamiento similar al primero, corroborándose la significancia y comportamiento de la variable cuadrado de la temperara máxima/mínima reportado por los resultados del modelo Logit. Finalmente, en el cuarto nivel se observa que la humedad relativa es el factor que más cambios aporta y ello es consistente con el resultado de la metodología anterior. En cuanto al valor crítico promedio establecido por los niveles del árbol de regresión, se observa que para el caso de Cupressaceae y *Platanus*, el valor de la variable temperatura mínima tiende a disminuir mientras que el umbral de concentración aumenta, situación contraria a la observada en *Olea*.

En cuanto a los tipos polínicos herbáceos, sólo en el primer nivel se observa que la temperatura máxima es el parámetro que más influencia en los distintos umbrales de concentración, lo que difiere a lo reportado por los modelos de regresión logística. Por su parte, los resultados del valor crítico para la temperatura máxima muestran un comportamiento similar al descrito para *Olea*, aumentando el valor a medida que aumenta el umbral de concentración modelado. En los siguientes subniveles se observa que, dependiendo del taxon, la temperatura mínima y máxima y la humedad relativa influyen en el comportamiento de las concentraciones. No obstante, para el caso particular de la humedad relativa, se observa que a medida que aumenta el nivel en el árbol de regresión y el umbral de concentración, este parámetro meteorológico gana importancia en el comportamiento de las emisiones de estos tipos polínicos.

Tabla 3.2 – Frecuencia y valor crítico (VC) promedio, mínimo y máximo de las variables meteorológicas en los primeros cuatro niveles del árbol de regresión por taxón arbóreo y umbral de concentración.

Nivel	Parámetro	Umbrales de concentración								
		Bajo		Medio		Alto		Muy alto		
		Frec.	VC	Frec.	VC	Frec.	VC	Frec.	VC	
Cupressaceae	1	Tmin	7	13.5 (10.0-16.4)	6	11.4 (8.6-12.6)	5	10.2 (7.7-12.6)	5	10.1 (7.7-12.4)
		Tmin^2			1	91.2	1	95.1	2	97.1
		HR	1	69.3	1	64.0	1	49.1		
		Tmax					1	23.8		
	2	Tmax	5	12.5 (11.1-14.9)	12	17.4 (12.6-25.9)	9	16.2 (12.9-25.2)	7	14.5 (12.9-16.1)
		Tmin	6	16.9 (14.4-18.6)	1	12.9	2	12.7		
		HR	2	86.0			1	63.0		
		Prec_1	1	3.4						
		Prec	1	3.1						
	3	Tmin	9	8.1 (-1.1-13.8)	11	5.9 (-0.1-10.9)	6	6.2 (3.4-9.3)	4	4.4 (0.7-6.7)
Olea		HR	5	80.4 (70.8-87.5)	3	65.8 (51.3-94.7)	8	61.7 (50.2-73.2)	3	58.6 (54.5-61.0)
		Tmax	4	17.4 (11.6-26.4)	1	21.1	1	17.4	1	22.6
		Prec_1	5	1.1 (0.2-2.9)						
		Prec			3	0.1 (0.1-0.2)			1	0.0
		Tmin^2					1	14.1		
	4	Tmin	9	7.6 (0.7-14.6)	5	6.8 (1.4-13.6)	5	5.1 (-0.3-10.0)	5	5.9 (1.7-9.5)
		HR	6	70.5 (46.9-92.8)	7	70.0 (47.8-87.3)	6	63.7 (41.5-84.9)	4	72.6 (54.5-85.0)
		Tmax	7	16.2 (7.0-24.6)	6	20.0 (8.0-26.1)	3	22.0 (20.4-23.7)	3	21.1 (18.2-24.1)
		Prec_1	8	2.1 (0.1-5.1)	3	1.2 (0.1-3.1)	5	0.5 (0.1-1.1)	1	0.6
		Prec	5	3.4 (0.3-7.9)	2	0.3	3	0.1 (0.0-0.2)		
Platanus	1	Prec_2	2	1.9	2	2.1	1	0.1	1	0.2
		Prec_3			1	0.3				
		Tmin^2			1	2.7				
	2	Tmax	4	21.6 (19.8-22.6)	5	22.3 (20.1-23.6)	4	24.0 (22.2-27.4)	4	23.9 (20.9-27.8)
		Tmin	4	9.3 (6.5-11.8)	2	11.1	2	11.0		
	3	Tmin	7	15.5 (11.6-17.6)	7	16.6 (14.6-17.9)	6	16.4 (14.6-17.9)	4	16.2 (14.6-17.4)
		HR	3	69.6 (62.0-76.2)						
		Tmax	3	23.5 (21.1-26.6)						
		Prec_1	8	13.3 (8.5-19.1)	3	10.1 (9.7-10.9)	2	15.0	1	12.9
		HR	6	61.8 (40.5-82.8)	2	60.8	3	67.0 (55.3-76.3)	2	72.0
Ficus	4	Tmax	4	23.6 (20.8-26.4)	2	23.5	1	28.9	1	27.6
		Prec_1	1	2.7			1	0.2		
		Prec	1	0.3	1	13.5				
		Prec_2	1	7.5						
		HR	9	69.3 (45.5-85.5)	5	74.2 (69.5-78.3)	1	74.9	2	68.4
		Tmax	6	26.5 (22.1-33.5)	1	22.1	3	27.5 (20.6-31.9)	1	30.2
		Tmin	6	12.5 (6.5-21.6)	3	11.6 (10.2-14.2)	1	9.6	1	10.4
		Prec_2	3	11.8 (0.2-35.0)			2	1.3		
		Prec	2	1.2			1	8.0		
		Prec_1	1	1.3	1	1.3				
Quercus	1	Prec_3	2	0.4						
	2	Tmin	5	12.7 (11.6-13.8)	6	11.5 (10.1-12.6)	5	11.5 (10.0-12.6)	5	11.1 (9.0-12.1)
		Tmin^2	2	70.3			1	113.0		
		Tmax	1	14.9						
	3	Tmax	7	16.0 (12.4-19.1)	6	17.3 (15.9-21.4)	6	16.5 (14.9-17.9)	4	17.6 (15.9-20.4)
		Tmin	4	11.8 (5.0-14.6)					2	8.6
		HR	1	62.0	1	58.1				
		Tmin	7	8.2 (2.6-14.6)	6	8.1 (2.6-14.2)	6	7.9 (4.6-10.4)	2	8.5
		HR	5	68.1 (46.5-76.2)	3	72.1 (67.1-75.2)	2	76.5	5	62.1 (34.8-76.5)
		Tmax	5	19.4 (13.4-28.8)	1	12.4	1	12.4	1	12.4
Pinus	4	Prec	1	0.8						
		Tmin^2	1	2.1						
		HR	6	50.4 (25.2-70.1)	7	71.2 (49.9-86.8)	5	73.8 (67.1-81.7)	3	63.2 (45.0-80.5)
		Tmin	10	8.0 (1.2-10.8)	4	6.3 (2.6-9.6)	2	4.6	4	9.3 (6.7-11.9)
		Prec	3	0.7 (0.1-1.9)	2	6.3	2	6.3	3	1.1 (0.0-1.8)
		Tmax	5	18.7 (12.8-24.1)	1	17.4	1	16.6		
		Prec_1	1	4.1	1	0.2			1	12.2
		Prec_2	2	1.4					1	4.0

Frec: frecuencia; **Tmax:** temperatura máxima; **Tmax²:** cuadrado de la temperatura máxima; **Tmin:** temperatura mínima; **Tmin²:** cuadrado de la temperatura mínima; **Prec:** precipitación; **Prec_1:** precipitación del día anterior; **Prec_2:** precipitación de dos días anteriores; **Prec_3:** precipitación de tres días anteriores; **HR:** humedad relativa.

Tabla 3.3 – Frecuencia y valor crítico (VC) promedio, mínimo y máximo de las variables meteorológicas en los primeros cuatro niveles del árbol de regresión por taxón herbáceo y umbral de concentración.

Parámetro	Frec.	Umbral de concentración						
		Bajo		Medio		Alto		
		VC	Prom. (mín.-máx.)	VC	Prom. (mín.-máx.)	VC	Prom. (mín.-máx.)	
Tmax	7	22.6 (20.6-23.9)	7	23.7 (20.6-26.6)	5	23.5 (21.9-25.2)	3	24.5 (22.9-25.4)
Tmin	1	12.6						
Tmin	5	10.6 (7.8-13.8)	4	10.7 (9.3-13.6)	2	15.1	3	11.8 (9.7-14.6)
HR	3	64.6 (59.5-69.0)	4	64.2 (56.5-69.8)	2	50.2	1	57.2
Tmax	4	20.5 (18.1-23.4)	2	21.0	3	25.8 (20.8-33.5)	1	30.4
Tmin	6	8.8 (7.5-12.8)	5	11.4 (6.3-17.6)	4	13.1 (9.6-17.6)	1	9.3
Tmax	7	26.4 (20.6-31.2)	4	28.3 (23.1-33.0)	2	28.8	1	28.2
HR	2	82.4	4	58.9 (49.5-64.0)	1	70.2	4	68.7 (58.5-77.8)
Prec	1	2.1	1	0.1	1	0.0		
Prec_1			1	1.3			1	0.1
Prec_2	1	0.1			1	0.5		
Prec_3			1	25.4				
HR	9	68.8 (44.0-85.5)	8	69.3 (50.8-80.5)	5	64.1 (42.1-76.2)	3	68.2 (60.2-76.8)
Tmin	9	14.8 (4.4-23.2)	4	14.9 (10.8-21.1)	1	6.2	3	14.2 (11.9-15.6)
Tmax	2	23.8	5	30.0 (25.1-37.6)	1	30.6		
Prec_1			2	2.0	2	3.1	2	5.5
Prec_2	2	11.3	1	5.9	1	2.3		
Prec_3	1	0.3			1	0.2	1	0.4
Prec			3	0.7 (0.1-2.1)				
Tmax	7	20.9 (18.4-23.6)	8	21.9 (20.4-24.8)	8	22.1 (20.6-24.8)	8	22.6 (20.8-25.4)
Tmin	1	5.2						
HR	7	73.9 (66.3-81.3)	5	68.5 (59.8-75.8)	5	64.6 (51.4-74.0)	2	72.3
Tmax	8	17.8 (13.4-22.8)	3	21.7 (18.6-26.8)	1	21.2	3	19.8 (16.9-21.4)
Tmin			3	13.9 (5.1-19.1)	4	14.5 (5.2-17.9)	5	17.2 (16.1-18.1)
Prec_1							1	3.7
HR	8	77.4 (64.8-86.5)	8	73.7 (60.0-85.0)	5	66.0 (41.8-83.7)	10	65.2 (50.2-85.3)
Tmin	6	8.9 (4.9-14.6)	7	12.6 (7.5-17.6)	9	14.0 (7.5-21.1)	4	15.1 (9.5-18.9)
Tmax	5	24.3 (21.9-27.9)	2	25.4	2	27.7	1	22.2
Prec_2	1	9.2	1	0.1	1	0.8		
Prec_3	2	4.5					1	2.0
Prec	1	12.5	1	0.7				
Prec_1	1	0.0						
Tmin	16	11.2 (2.9-19.9)	10	12.5 (7.1-19.6)	9	11.4 (7.6-17.6)	9	9.2 (3.8-18.9)
Tmax	7	24.2 (16.2-35.1)	9	28.4 (14.6-35.7)	5	30.4 (21.8-33.8)	4	30.9 (28.8-33.2)
HR	5	69.7 (56.7-87.0)	6	68.3 (52.2-85.8)	5	63.0 (38.9-79.7)	6	66.9 (44.0-79.3)
Prec	6	1.1 (0.1-3.9)	1	2.9	5	2.1 (0.1-7.1)	1	0.3
Prec_1	1	3.9	1	0.1			1	0.3
Prec_2			3	3.8 (0.1-11.2)				
Prec_3	2	1.3						
Tmax	7	16.0 (13.4-18.6)	7	18.0 (15.6-22.2)	7	18.6 (15.9-22.4)	6	18.4 (15.9-22.1)
Tmin	1	7.6	1	8.7	1	8.1	1	9.2
Tmax	8	17.5 (11.1-25.6)	5	18.2 (13.1-23.6)	3	20.5 (16.1-23.6)	4	20.1 (16.1-23.4)
HR	5	69.0 (58.1-74.2)	6	69.9 (59.8-74.3)	4	68.7 (59.5-73.8)	3	65.3 (60.2-70.6)
Tmin	2	9.6	2	10.8	3	17.0 (16.6-17.6)	3	17.0 (16.6-17.4)
Tmin	11	6.4 (1.5-16.2)	11	11.7 (2.6-19.9)	5	12.3 (7.4-17.2)	3	13.0 (8.4-16.6)
HR	4	79.0 (70.8-87.9)	7	76.2 (65.2-85.0)	8	68.8 (54.9-78.1)	8	70.2 (58.2-78.1)
Tmax	4	18.6 (16.4-22.2)	5	20.7 (16.1-27.4)	3	20.6 (18.8-23.9)	3	22.7 (18.9-26.4)
Prec	3	5.5 (2.3-10.9)			1	3.3	1	3.3
Prec_3	2	1.8	1	0.2				
Prec_1							1	13.1
HR	13	77.0 (48.2-92.5)	15	67.3 (50.5-86.5)	6	66.5 (50.5-87.1)	9	70.6 (57.4-84.7)
Tmax	12	21.1 (10.2-33.5)	6	24.6 (20.9-31.4)	9	25.1 (18.6-33.6)	9	26.9 (20.2-33.2)
Tmin	5	13.5 (6.1-19.6)	8	6.8 (2.7-19.9)	5	10.8 (3.8-18.8)	3	14.2 (3.9-19.8)
Prec	2	8.9	4	3.0 (0.5-7.0)	1	0.3	2	1.1
Prec_1	4	6.0 (0.1-17.2)	2	0.2			2	1.2
Prec_2			2	9.2	1	1.3		
Prec_3					1	5.5		
Tmin^2	1	1.6						

Frec: frecuencia; **Tmax:** temperatura máxima; **Tmax²:** cuadrado de la temperatura máxima; **Tmin:** temperatura mínima; **Tmin²:** cuadrado de la temperatura mínima; **Prec:** precipitación; **Prec_1:** precipitación del día anterior; **Prec_2:** precipitación de dos días anteriores; **Prec_3:** precipitación de tres días anteriores; **HR:** humedad relativa.

El efecto positivo de la temperatura sobre la cantidad de polen presente en la atmósfera descrito en los resultados del modelo Logit, ya ha sido demostrado por varios autores mediante otras metodologías para Cupressaceae (Galán *et al.* 1998b, 1998a, Díaz de la Guardia *et al.* 2006, Aira *et al.* 2011, Sabariego *et al.* 2012), *Olea* (Galán *et al.* 2001, Vázquez *et al.* 2003, García-Mozo *et al.* 2008), *Platanus* (Jato *et al.* 2001, Iglesias *et al.* 2007, Sabariego *et al.* 2008, Sánchez-Reyes *et al.* 2009, Alcázar *et al.* 2011, Fernández-González *et al.* 2013), Chenopodiaceae-Amaranthaceae (González Minero *et al.* 2000, Moreno-Grau *et al.* 2000, Elvira-Rendueles *et al.* 2017), Poaceae (Green *et al.* 2004, Sánchez-Mesa *et al.* 2005, Jato *et al.* 2009) y Urticaceae (Trigo *et al.* 1996, Galán *et al.* 2000, Vega-Maray *et al.* 2003, Crimi *et al.* 2004, Recio *et al.* 2009). No obstante, para Cupressaceae, Galán *et al.* (1998b) afirmaron que la temperatura mínima antes del inicio del periodo de polinización tiene un gran efecto en la cantidad de polen que se libera. Por otro lado, para *Olea*, García-Mozo *et al.* (2008) manifestaron que la temperatura máxima es la que más influye en el desarrollo de la floración del olivo y, por tanto, puede estar asociada a las cantidades de polen generadas. Este último hallazgo también permite explicar porqué las variables de temperatura mínima y máxima al cuadrado en *Olea* presentan un mismo número de significación. Finalmente, para el caso de *Platanus*, pese a existir una gran número de estudios, no se ha podido establecer qué variable influye en mayor medida en la generación de su polen, aunque en varios estudios se reporta que la temperatura media y máxima tienen un efecto positivo en el polen, sobre todo la registrada antes del periodo de polinización (Sánchez-Reyes *et al.* 2009). En cuanto a los tipos polínicos herbáceos, la escasa o variable significación entre la temperatura y la concentración de polen puede ser debida a que la mayoría de las hierbas presentan una alta la tolerancia a las altas temperaturas (Trigo *et al.* 1998).

El efecto dual descrito por el cuadrado de la temperatura máxima y mínima, y presentado en este estudio está acorde con lo explicado por Sánchez-Reyes *et al.* (2009) y la relación que describen de la temperatura con la concentración de polen de *Platanus* durante las etapas pre y post pico de la polinización. Ellos manifestaron que durante el periodo pre-pico la etapa fenológica de floración está en desarrollo, incrementando la cantidad de polen que está disponible para la emisión, favorecido por el aumento de las temperaturas que se da desde el invierno hacia la primavera, pero que posterior al pico de emisión (periodo post-pico) la floración ya ha empezado a disminuir o ha cesado, limitando la cantidad de polen emitido, mientras que las temperaturas siguen describiendo un aumento hasta el verano; ésto se traduce que en el periodo post-pico la cantidad de polen atmosférico y los valores de temperatura presenten una relación indirecta para este periodo. Para el caso de las hierbas este mismo fenómeno ha sido descrito por Trigo *et al.* (1998).

Por otro lado, el comportamiento del valor crítico de la temperatura reportado por los árboles de regresión se puede atribuir al hecho de que las altas temperaturas posteriores a los procesos de desarrollo del botón floral acortan el periodo de floración en muchas de las plantas (De Melo-Abreu *et al.* 2004); caso contrario a lo que sucede con la floración de *Olea* y los tipos polínicos herbáceos, que según Orlandi *et al.* (2010) y Trigo *et al.* (1998) presentan resistencia a las altas temperaturas.

Los resultados obtenidos para la precipitación son análogos con otras publicaciones (Galán *et al.* 1998b, 1998a, Díaz de la Guardia *et al.* 2006, Aira *et al.* 2011, Sabariego *et al.* 2012). Sin embargo, *Olea* muestra el caso contrario; la precipitación el mismo día tiene un efecto positivo significativo en

Lleida, lo que puede estar relacionado con el hecho de que esta estación reporta los menores valores de precipitación anual. Según datos publicados, las precipitaciones previas al inicio de la temporada de floración es uno de los factores que más afecta positivamente a la cantidad de polen durante la temporada de polinización (Galán *et al.* 2001, Vázquez *et al.* 2003, Rodríguez-Rajo *et al.* 2004), por tanto, se puede inferir que las precipitaciones del mismo día para esta zona seca, pueden estar asociadas a incrementos en los niveles de polen. Finalmente, *Platanus* presenta una influencia positiva significativa, principalmente en los dos primeros umbrales, siendo estos resultados contrarios a los presentados por Jato *et al.* (2001) quienes presentan una relación negativa y con Sánchez-Reyes *et al.* (2009) quienes afirmaron que la lluvia del día anterior incrementa los valores de este tipo polínico. No obstante, nuestros resultados se pueden explicar por lo manifestado en Alcázar *et al.* (2011), quienes proponen que la precipitación no debe afectar a la cantidad de este tipo de polen puesto que al ser un árbol ornamental, su fenología se encuentra más regulada por el régimen de riego que por las precipitaciones. Otro aspecto que puede explicar la falta de significación de la precipitación en los umbrales de concentración de polen de *Platanus* es el momento del día en que llueve, puesto que el efecto de la precipitación puede tener mayor o menor influencia en la cantidad de polen aerovagante. Si llueve durante las horas del día, tiempo en que las flores están abiertas, se podría estar favoreciendo la emisión y dispersión el polen. Contrario si precipita durante la noche, donde las flores están cerradas y se podría generar más un efecto de lavado atmosférico disminuyendo la concentración de polen en el aire.

Finalmente, para los tipos polínicos arbóreos, los resultados de la humedad relativa son coherentes con diversos estudios (Galán *et al.* 1998b, 1998a, 2001, Jato *et al.* 2001, Aira *et al.* 2011, Vázquez *et al.* 2003, Díaz de la Guardia *et al.* 2006, Iglesias *et al.* 2007, García-Mozo *et al.* 2008, Sabariego *et al.* 2008, 2012, Sánchez-Reyes *et al.* 2009, Alcázar *et al.* 2011, Fernández-González *et al.* 2013) y pueden estar justificados en las características físicas de harmomégato e higroscopia que presentan los pólenes, permitiéndoles aumentar su masa por efecto de acumulación de agua, y por ende aumentar su velocidad de sedimentación.

En cuanto a los tipos polínicos herbáceos, el efecto de la humedad relativa y la precipitación descritos en este capítulo son similares con algunos estudios ya citados (Galán *et al.* 2000, Laaidi 2001, Jato *et al.* 2002, 2009, Green *et al.* 2004, Crimi *et al.* 2004, Sánchez-Mesa *et al.* 2005, Alcázar *et al.* 2009, Elvira-Rendueles *et al.* 2017). No obstante, varios de estos estudios aseguran que precipitaciones ligeras (<20 mm por semana) y su acumulación en días previos, así como valores de humedad relativa bajos (<55%) favorecen la emisión del polen de plantas herbáceas (González Merino *et al.* 1997, Galán *et al.* 2000, Vega-Maray *et al.* 2003, Green *et al.* 2004). Esta situación no se refleja en nuestros resultados de regresión logística y árboles de regresión, posiblemente porque no se emplea la precipitación acumulada como una variable para el desarrollo de los modelos y porque los valores de humedad relativa en zonas con influencia marina (zonas costeras) son variables y elevados (Trigo *et al.* 1996).

En la Tabla 3.4 se presentan los resultados de sensibilidad y especificidad obtenidos en la validación de los modelos para cada umbral de concentración y estación estudiada. En general los resultados son satisfactorios. En el caso de la regresión logística, se observan valores promedio mínimos y máximos

entre 77% y 88% de sensibilidad, y entre 64% y 73% de especificidad. Por otro lado, los árboles de regresión, en comparación con la regresión logística, muestran valores más bajos de sensibilidad (49

Tabla 3.4 – Sensibilidad (Sen) y especificidad (Esp) de la regresión logística y de los árboles de regresión para cada umbral de concentración y estación de estudio.

Taxón	Estación	Umbrales de concentración																
		Bajo				Medio				Alto				Muy alto				
		Logit		Árbol		Logit		Árbol		Logit		Árbol		Logit		Árbol		
Árboles	Sen	Esp	Sen	Esp	Sen	Esp	Sen	Esp	Sen	Esp	Sen	Esp	Sen	Esp	Sen	Esp	Sen	Esp
	Cupressaceae	Barcelona	80%	68%	76%	70%	80%	61%	64%	71%	87%	62%	84%	59%	88%	64%	80%	71%
		Bellaterra	77%	74%	73%	76%	80%	65%	62%	78%	91%	67%	77%	67%	88%	69%	73%	78%
	Olea	Girona	76%	69%	67%	69%	83%	63%	51%	82%	88%	63%	72%	72%	84%	64%	60%	82%
		Lleida	76%	64%	61%	73%	79%	67%	55%	85%	86%	71%	80%	78%	89%	72%	72%	79%
		Manresa	78%	72%	70%	77%	82%	65%	63%	83%	93%	70%	69%	84%	95%	71%	71%	87%
		Roquetes-Tortosa	83%	74%	80%	74%	85%	66%	63%	79%	88%	69%	68%	81%	88%	69%	70%	81%
		Tarragona	82%	69%	84%	65%	82%	60%	60%	77%	85%	62%	69%	74%	89%	64%	64%	73%
		Vielha	77%	64%	55%	80%	84%	70%	68%	82%	90%	74%	81%	86%	82%	77%		
Platanus	Barcelona	78%	60%	61%	75%	76%	69%	77%	69%	79%	72%	59%	82%	72%	74%			
	Bellaterra	87%	68%	78%	75%	88%	74%	79%	78%	84%	76%	72%	81%	77%	74%			
	Olea	Girona	74%	68%	69%	76%	66%	71%	64%	69%	63%	70%			67%	84%		
		Lleida	91%	60%	79%	68%	85%	69%	58%	82%	88%	73%	43%	88%	87%	77%	50%	89%
		Manresa	86%	67%	67%	81%	86%	72%	65%	83%	87%	73%	78%	75%	87%	72%	77%	79%
		Roquetes-Tortosa	88%	65%	70%	77%	89%	73%	71%	85%	90%	74%	80%	82%	90%	74%	84%	81%
		Tarragona	86%	61%	63%	79%	86%	69%	73%	80%	87%	71%	60%	76%	89%	71%	78%	74%
		Vielha	84%	62%	78%	59%	50%	81%			50%	91%						
Chenopodiaceae- Amaranthaceae	Barcelona	79%	51%	51%	80%	88%	63%	66%	81%	86%	64%	63%	77%	81%	64%	83%	68%	
	Bellaterra	81%	69%	65%	78%	87%	70%	73%	74%	84%	68%	74%	80%	86%	69%	63%	87%	
	Olea	Girona	69%	67%	38%	89%	72%	75%	43%	85%	79%	74%	68%	72%	80%	74%	48%	86%
		Lleida	90%	66%	77%	78%	86%	68%			83%	70%	83%	74%	73%	71%		
		Manresa	78%	74%	66%	83%	84%	74%	86%	75%	86%	74%	90%	74%	87%	73%	87%	75%
		Roquetes-Tortosa	90%	67%	91%	67%	83%	78%	67%	91%	86%	82%						
		Tarragona	87%	65%	60%	80%	84%	70%	81%	73%	76%	72%	68%	80%	76%	28%	87%	
		Vielha	78%	63%	22%	90%	50%	84%			0%	100%						
Hierbas	Barcelona	84%	65%	75%	73%	83%	58%	79%	60%	89%	61%	79%	63%	83%	62%			
	Bellaterra	92%	61%	79%	68%	91%	59%	81%	65%	100%	61%			100%	67%	0%	100%	
	Olea	Girona	87%	72%	77%	76%	95%	68%	82%	75%	100%	73%			50%	85%		
		Lleida	86%	84%	86%	83%	91%	83%	89%	85%	89%	79%	82%	84%	88%	76%	85%	76%
		Manresa	91%	73%	84%	80%	94%	63%	82%	71%	89%	62%	74%	72%	85%	64%	82%	64%
		Roquetes-Tortosa	90%	74%	65%	83%	87%	66%	65%	79%	83%	67%	66%	80%	89%	70%		
		Tarragona	91%	63%	70%	76%	94%	65%	73%	71%	89%	73%	74%	87%	93%	75%	86%	83%
		Vielha	88%	74%	28%	93%	67%	86%			0%	100%						
Poaceae	Barcelona	85%	62%	67%	75%	80%	60%	59%	80%	78%	60%	65%	74%	77%	62%	70%	73%	
	Bellaterra	88%	64%	73%	74%	88%	65%	78%	70%	87%	67%	82%	66%	87%	69%	62%	85%	
	Olea	Girona	77%	80%	57%	90%	74%	77%	50%	92%	78%	76%	61%	87%	74%	74%	57%	90%
		Lleida	93%	72%	91%	74%	92%	64%	86%	70%	88%	62%	76%	72%	88%	61%	80%	68%
		Manresa	87%	63%	77%	70%	89%	63%	65%	77%	91%	66%	73%	77%	90%	69%	68%	82%
		Roquetes-Tortosa	89%	68%	63%	76%	85%	69%	65%	79%	90%	74%	71%	76%	87%	78%	67%	83%
		Tarragona	87%	62%	66%	81%	91%	64%	67%	81%	89%	67%	71%	79%	84%	68%	82%	73%
		Vielha	83%	73%	64%	84%	86%	70%	75%	81%	88%	69%	63%	82%	87%	71%	73%	82%
Urticaceae	Barcelona	79%	55%	82%	50%	82%	55%	62%	75%	84%	56%	73%	74%	88%	58%	76%	76%	
	Bellaterra	80%	61%	80%	60%	80%	63%	63%	72%	84%	65%	77%	63%	86%	65%	68%	78%	
	Olea	Girona	74%	76%	75%	75%	72%	72%	49%	89%	73%	71%	48%	88%	74%	71%	53%	87%
		Lleida	83%	59%	80%	60%	85%	57%	67%	68%	87%	57%	79%	66%	88%	59%		
		Manresa	83%	64%	87%	59%	81%	59%	74%	67%	84%	63%	66%	73%	85%	61%	78%	70%
		Roquetes-Tortosa	71%	57%	82%	43%	71%	64%	67%	67%	72%	68%	49%	80%	75%	70%	56%	83%
		Tarragona	70%	65%	81%	42%	78%	63%	71%	67%	78%	64%	64%	65%	79%	65%	61%	75%
		Vielha	90%	86%	81%	87%	92%	84%	81%	88%	93%	82%	83%	87%	95%	81%	74%	88%

Las celdas en blanco se presentan en estaciones que por el comportamiento de periodo de polinización y la fracción porcentual que supera el umbral objeto de estudio no permite establecer un conjunto de muestras mínimo para el desarrollo del modelo.

– 82%) y de especificidad (43 – 76%) exceptuando los valores máximos de especificidad (76% frente a 73%).

Al comparar los modelos para los tipos polínicos arbóreos, se observa que la regresión logística tiende a presentar mayores valores de sensibilidad en comparación con el árbol de regresión en un mismo caso; siendo esta situación contraria en el parámetro de especificidad. Recordando que la sensibilidad

representa el porcentaje de verdaderos positivos, se puede afirmar que el modelo de regresión logística tiende a predecir con mayor eficiencia los casos en que el umbral de concentración simulado será superado, mientras que los árboles de regresión tienden a predecir los casos en que no se superará dicho umbral. Por otro lado, la regresión logística para Cupressaceae reporta los mayores valores de sensibilidad y para *Olea* los de especificidad. Este mismo análisis por umbrales de concentración muestra que el nivel muy alto es el que presenta los mayores valores de sensibilidad y especificidad para Logit. En cuanto a los árboles de regresión, los resultados muestran nuevamente que Cupressaceae presenta los mayores valores de sensibilidad, además de los de especificidad, mientras que el umbral bajo presenta los mayores valores de sensibilidad y especificidad, siendo este último resultado opuesto a lo presentado en la regresión logística (Tabla 3.4).

En el caso de los tipos polínicos herbáceos (Tabla 3.4), la regresión logística muestra que Poaceae presenta los valores más altos de sensibilidad mientras Chenopodiaceae–Amaranthaceae, los de especificidad. Asimismo, el umbral medio es quien reporta los mayores valores de sensibilidad y el umbral alto los de especificidad. En cuanto a los resultados de los árboles de regresión, el taxon Poaceae es quien reporta los mayores valores de ambos parámetros, así como el umbral bajo. Al comparar ambos modelos, se observa un comportamiento similar en los tipos polínicos arbóreos pero no así en los tipos polínicos herbáceos, donde se observa que los primeros umbrales de concentración en los árboles de regresión presentan mayores valores en especificidad.

3.3.2. Esporas de hongos

En la Figura 3.3 se presentan la significación y relación de los parámetros meteorológicos obtenidos por los modelos Logit para cada umbral de concentración de cada uno de los tipos fúngicos estudiados; los valores variaran entre cero y ocho dependiendo del número de estaciones que reporten algún tipo de significación. La precipitación muestra la mayor significación positiva en las ascósporas, así como un efecto positivo y significativo en la temperatura mínima, la humedad relativa y la precipitación de un día antes (umbrales bajo, medio y alto) y de dos días antes (umbral bajo). Por otro lado, las basidiósporas mostraron que la temperatura mínima al cuadrado es la que presenta la mayor influencia y significación (curva convexa) en los procesos de esporulación, exceptuando en el umbral bajo donde es la temperatura mínima. Adicional al parámetro de la temperatura mínima, las basidiósporas también mostraron una alta frecuencia de significación directa con las variables de temperatura máxima y la humedad. En cuanto a la variable precipitación, ésta mostró ser poco significativa. Por último, en el caso de las conidiósporas, los resultados no muestran una clara influencia de ninguna de las variables meteorológicas. Además, mientras que en *Alternaria* el parámetro con mayor frecuencia de significación es la temperatura máxima, en *Cladosporium* es la temperatura mínima. No obstante, se observa que en los umbrales de concentración medio y alto la influencia de la temperatura máxima en *Alternaria* es equiparable a la de la temperatura mínima. En cuanto a los restantes parámetros, los resultados muestran que la humedad relativa tiene un efecto negativo sobre *Alternaria*. En cuanto a *Cladosporium* el efecto de la humedad relativa es positivo, así como también lo es la precipitación de días anteriores (especialmente la de tres días atrás – Prec_3).

Los resultados de los árboles de regresión para los tipos fúngicos (de la Tabla 3.5 a la Tabla 3.7), muestran que las ascósporas y basidiósporas son muy similares a los presentados por el modelo

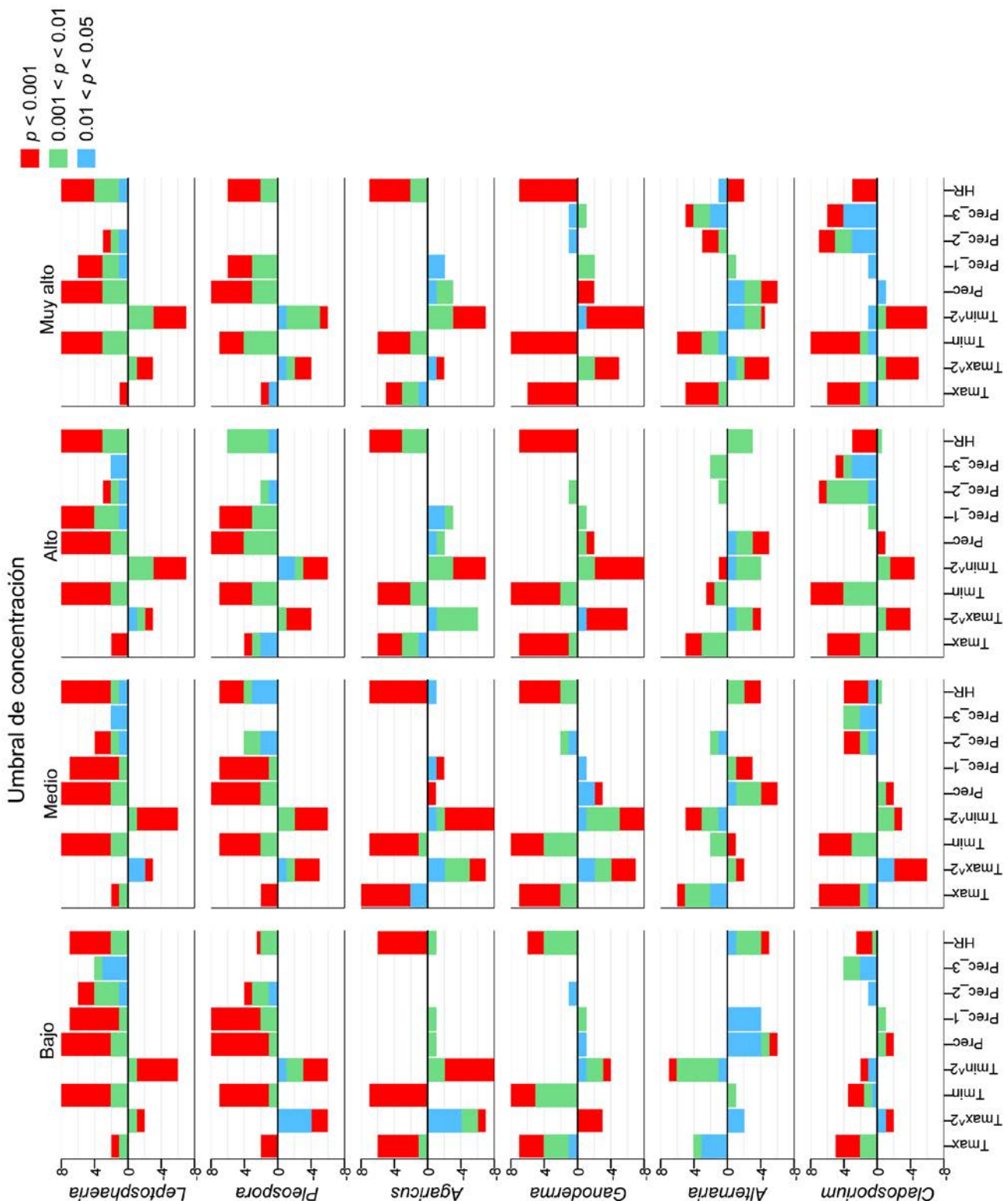


Figura 3.3 – Frecuencia y nivel de significación de las variables meteorológicas por tipo fúngico y umbral de concentración estudiado.

Tmax: temperatura máxima; **Tmax²:** cuadrado de la temperatura máxima; **Tmin:** temperatura mínima; **Tmin²:** cuadrado de la temperatura mínima; **Prec:** precipitación; **Prec_1:** precipitación del día anterior; **Prec_2:** precipitación de dos días anteriores; **Prec_3:** precipitación de tres días anteriores; **HR:** humedad relativa.

Tabla 3.5 – Frecuencia y valor crítico (VC) promedio, mínimo y máximo de las variables meteorológicas en los cuatro primeros niveles del árbol de regresión para ascósporas y umbral de concentración.

Nivel	Parámetro	Umbral de concentración								
		Bajo		Medio		Alto		Muy alto		
		Frec.	VC Prom. (mín.-máx.)	Frec.	VC Prom. (mín.-máx.)	Frec.	VC Prom. (mín.-máx.)	Frec.	VC Prom. (mín.-máx.)	
<i>Leptosphaeria</i>	1	Prec	6	0.2 (0.1-0.3)	7	0.2 (0.1-0.4)	7	0.3 (0.1-0.4)	7	0.4 (0.3-0.9)
		Tmin	1	2.3	1	4.1	1	4.1	1	4.0
		Prec_1	1	0.1						
	2	Prec_1	6	0.9 (0.1-2.5)	8	0.5 (0.3-1.1)	7	0.7 (0.1-2.6)	7	0.7 (0.2-2.7)
		Tmin	5	1.6 (-0.5-5.1)	2	2.9	5	3.3 (2.0-5.6)	5	6.2 (2.0-10.9)
		Prec	2	0.2	6	1.4 (0.1-2.5)	3	1.2 (0.1-1.9)	3	1.9 (0.1-4.6)
		Tmax	2	6.8			1	12.9		
	3	Tmin	10	7.3 (-1.9-20.8)	12	5.5 (0.3-9.4)	11	6.5 (3.8-14.0)	9	6.9 (-0.9-19.6)
		Prec_1	4	1.8 (0.1-6.3)	4	2.5 (0.3-5.4)	6	1.3 (0.1-5.3)	5	2.5 (0.2-6.5)
		Prec	6	2.4 (0.1-5.7)	2	3.6	5	3.2 (0.7-9.6)	6	3.3 (1.1-6.9)
		HR	2	58.8	3	79.4 (63.8-90.1)	7	73.3 (53.8-84.8)	4	67.4 (53.8-77.0)
		Tmax	1	9.1	4	14.0 (11.8-17.2)	1	16.4	3	17.9 (15.8-19.1)
		Prec_2	1	1.1	1	0.0	1	0.9	1	0.3
		Tmin^2			1	2.4			1	17.2
	4	HR	7	66.9 (47.5-77.5)	7	66.4 (41.8-81.0)	10	75.2 (44.2-96.0)	12	75.1 (49.8-92.0)
<i>Pleospora</i>		Prec_1	3	0.7 (0.1-1.7)	9	4.7 (0.1-22.4)	10	5.0 (0.2-24.6)	7	6.0 (0.5-23.5)
		Tmin	5	7.2 (-0.5-20.4)	6	6.9 (-0.8-19.6)	9	7.4 (0.4-15.4)	8	10.6 (1.3-19.8)
		Tmax	3	19.4 (13.4-28.6)	8	14.3 (8.9-28.1)	9	17.6 (4.9-27.8)	7	19.9 (8.6-29.6)
		Prec_2	5	1.6 (0.0-5.3)	7	0.7 (0.2-2.0)	5	6.9 (1.0-27.8)	4	3.0 (0.2-8.3)
		Prec	2	7.3	5	7.6 (0.1-19.6)	3	2.7 (0.1-6.9)	6	3.5 (0.1-15.2)
		Prec_3	1	11.2	1	5.3	2	5.5		
		Tmin^2	3	5.3 (0.0-14.8)						
	1	Prec	7	0.2 (0.1-0.6)	7	0.2 (0.1-0.7)	7	0.4 (0.1-1.2)	7	0.8 (0.2-4.0)
		Prec_1	1	0.0	1	0.0	1	0.0	1	0.0
	2	Prec_1	7	0.1 (0.1-0.4)	7	0.6 (0.1-3.6)	7	0.3 (0.1-1.4)	6	0.4 (0.2-0.9)
		Prec	2	0.2	2	0.7	1	0.4	1	0.4
		HR	1	99.8			1	93.5	2	97.3
		Tmax			1	7.2	1	10.9	2	12.6
		Tmin	3	6.6 (0.1-16.6)	6	5.7 (0.6-15.9)	5	4.9 (0.6-9.2)	4	8.5 (3.6-12.6)
		Tmin^2	1	2.1						
	3	Prec_1	4	1.6 (0.3-2.9)	5	3.6 (1.4-8.6)	5	8.4 (0.2-24.2)	4	7.9 (1.5-19.0)
		Prec_2			2	1.5	2	0.1	1	0.2
		Prec	1	1.1	6	2.1 (0.1-7.7)	6	3.2 (0.3-7.3)	7	2.2 (0.0-8.3)
		HR	4	58.6 (38.5-78.5)	2	65.8	1	43		
		Tmax	6	12.2 (2.3-27.1)	6	19.0 (3.6-29.2)	8	19.1 (5.3-27.8)	6	23.3 (14.2-30.8)
		Tmin	7	3.9 (-0.1-16.6)	8	7.3 (-1.3-21.1)	5	2.8 (0.8-4.5)	4	4.5 (-0.9-10.9)
		Tmin^2	1	14.1					1	9.9
	4	Prec_1	5	3.0 (0.0-8.6)	7	1.3 (0.1-7.4)	6	6.9 (0.1-23.6)	2	10.9
		Prec_2	8	7.4 (0.1-17.8)			4	9.7 (3.3-20.1)	4	6.2 (0.1-19.6)
		Prec_3	1	11.2	1	13.1	1	2.4	3	3.0 (1.0-5.0)
		Prec	5	2.4 (0.2-5.1)	4	2.4 (0.1-7.1)	8	6.3 (0.0-16.0)	7	6.1 (0.2-14.6)
		HR	3	68.7 (52.6-81.5)	4	64.8 (57.5-79.2)	7	82.0 (57.5-90.6)	9	68.8 (46.7-89.9)
		Tmax	8	21.3 (12.9-29.9)	8	14.8 (8.1-29.8)	11	17.4 (8.3-28.4)	5	17.6 (5.1-25.2)
		Tmin	2	2.8	9	7.4 (-1.6-17.7)	5	2.7 (0.7-4.7)	6	10.3 (2.0-19.6)
		Tmin^2			1	0.0				

Frec.: Frecuencia; **Tmax:** temperatura máxima; **Tmax^2:** cuadrado de la temperatura máxima; **Tmin:** temperatura mínima; **Tmin^2:** cuadrado de la temperatura mínima; **Prec:** precipitación; **Prec_1:** precipitación del día anterior; **Prec_2:** precipitación de dos días anteriores; **Prec_3:** precipitación de tres días anteriores; **HR:** humedad relativa.

Tabla 3.6 – Frecuencia y valor crítico (VC) promedio, mínimo y máximo de las variables meteorológicas en los cuatro primeros niveles del árbol de regresión para basidiósporas y umbral de concentración.

Nivel	Parámetro	Umbral de concentración									
		Bajo		Medio		Alto		Muy alto			
		Frec.	VC Prom. (mín.-máx.)	Frec.	VC Prom. (mín.-máx.)	Frec.	VC Prom. (mín.-máx.)	Frec.	VC Prom. (mín.-máx.)		
<i>Agaricus</i>	1	Tmin	5	6.3 (3.1-10.4)	4	5.4 (3.3-7.8)	3	4.9 (3.3-7.8)	4	5.5 (3.8-7.0)	
		Tmax	3	17.6 (16.4-18.6)	4	18.0 (17.4-18.6)	4	17.2 (15.9-18.6)	1	19.9	
		HR							3	80.4 (78.5-82.8)	
	2	HR	4	63.4 (49.1-82.5)	7	73.8 (64.2-83.5)	8	74.1 (61.3-83.8)	3	69.2 (62.5-80.7)	
		Tmax	5	22.0 (15.6-31.2)	2	23.3	1	15.6	5	19.0 (14.4-26.6)	
		Tmin	5	9.4 (0.5-19.6)	4	6.1 (1.2-15.6)	1	19.6	3	9.3 (1.5-19.6)	
		Prec			1	25.9			1	0.2	
		Prec_2							1	0.1	
		Tmin^2	1	13.3							
	3	HR	10	71.1 (46.8-91.4)	5	67.8 (48.2-92.2)	3	58.6 (51.5-63)	6	73.9 (60.1-95.6)	
		Tmin	5	8.8 (-0.1-20.6)	7	14.8 (3.6-21.9)	4	13.8 (1.9-19.6)	4	16.4 (11.2-21.4)	
		Tmax	6	20.1 (11.6-32.5)	5	14.9 (10.4-20.4)	4	16.8 (14.2-19.4)	2	26.8	
		Prec_1	1	0.2	2	6.2	1	0.8	2	0.2	
		Prec_3			1	34.9	3	0.2 (0.1-0.3)	2	5.0	
		Prec_2	3	7.7 (1.7-14.3)	2	0.2					
		Prec			1	1.4	1	1.3	2	0.8	
<i>Ganoderma</i>	4	Tmax	9	20.8 (14.9-35.0)	9	21.3 (10.9-37.5)	9	26.0 (16.2-37.5)	8	27.2 (17.1-38.5)	
		HR	10	75.8 (55.8-99.9)	8	69.0 (48.5-95.6)	8	73.2 (55.2-95.6)	8	76.3 (49.2-96.9)	
		Tmin	4	7.6 (1.6-19.2)	7	12.7 (-1.1-21.7)	3	9.9 (2.6-17.9)	7	11.5 (-0.9-19.9)	
		Prec_1	3	6.2 (0.2-12.9)	6	8.0 (0.0-32.8)	2	0.2	1	0.4	
		Prec	4	8.6 (0.1-33.1)	3	0.7 (0.3-1.3)	1	1.3	2	0.7	
		Prec_3	5	1.4 (0.0-4.4)	1	7.7	2	1.6			
		Prec_2	5	4.4 (0.2-10.9)	2	0.6					
		Tmin^2	1	0.1							
	1	Tmax	5	20.5 (20.1-21.4)	4	20.8 (20.1-21.6)	4	21.4 (20.1-22.1)	3	22.2 (21.9-22.6)	
		Tmin	3	9.5 (3.5-13.8)	4	9.9 (5.0-13.8)	4	10.3 (5.0-14.1)	5	10.3 (6.1-13.8)	
		2	Tmin	9	9.8 (1.6-17.4)	9	8.8 (1.8-14.2)	7	9.5 (1.8-14.1)	4	10.2 (2.4-14.9)
			Tmax	7	19.0 (15.4-26.9)	4	19.7 (15.9-23.2)	6	20.9 (16.9-26.9)	5	22.1 (19.2-25.1)
			HR			1	48.5	2	52.2	3	58.4 (47.5-72.0)
		3	HR	8	67.5 (45.0-91.2)	6	66.4 (49.8-85.9)	9	69.8 (51.5-83.5)	8	65.1 (47.7-84.2)
			Tmax	11	20.3 (13.4-29.6)	6	22.7 (14.1-31.4)	6	22.1 (14.1-31.4)	8	22.5 (14.1-34.2)
			Tmin	10	8.0 (3.7-17.1)	7	9.8 (5.0-17.6)	7	9.3 (5.4-14.4)	3	17.7 (14.6-20.4)
			Prec			1	0.2	2	16.4	1	6.9
			Prec_2			2	12.6				
			Prec_3					1	16.0		
	4	HR	16	68.3 (42.1-93.5)	15	69.5 (37.5-92.1)	10	68.1 (45.2-93.1)	12	73.0 (49.9-89.8)	
		Tmax	5	21.2 (13.8-27.3)	10	27.5 (21.2-35.5)	10	25.8 (19.8-32.7)	7	25.8 (20.9-31.6)	
		Tmin	6	8.5 (3.0-13.7)	2	15.2	6	10.5 (5.7-19.9)	5	16.8 (11.7-20.4)	
		Prec	5	9.8 (0.2-33.1)	2	6.7	6	6.8 (0.4-16.3)	1	0.3	
		Prec_3	3	0.1 (0.0-0.2)			2	2.6	3	10.3 (0.3-21.8)	
		Prec_2	3	12.9 (9.3-14.8)			1	6.5	1	0.1	
		Prec_1			1	17.9	1	0.1	1	3.2	

Frec.: Frecuencia; **Tmax:** temperatura máxima; **Tmax^2:** cuadrado de la temperatura máxima; **Tmin:** temperatura mínima; **Tmin^2:** cuadrado de la temperatura mínima; **Prec:** precipitación; **Prec_1:** precipitación del día anterior; **Prec_2:** precipitación de dos días anteriores; **Prec_3:** precipitación de tres días anteriores; **HR:** humedad relativa.

Tabla 3.7 – Frecuencia y valor crítico (VC) promedio, mínimo y máximo de las variables meteorológicas en los cuatro primeros niveles del árbol de regresión para conidiósporas y umbral de concentración.

Nivel	Parámetro	Umbral de concentración								
		Bajo		Medio		Alto		Muy alto		
		Frec.	VC Prom. (mín.-máx.)	Frec.	VC Prom. (mín.-máx.)	Frec.	VC Prom. (mín.-máx.)	Frec.	VC Prom. (mín.-máx.)	
Alternaria	1	Tmax	6	16.9 (13.2-20.1)	5	20.8 (17.4-22.1)	6	22.1 (20.6-23.9)	4	22.9 (20.6-26.2)
		Tmin	1	5.0	2	11.4	2	12.1	4	11.9 (9.7-13.6)
		HR	1	98.0	1	93.8				
	2	Tmax	4	16.7 (7.5-21.9)	8	18.6 (8.9-27.2)	6	19.9 (9.5-33.3)	8	22.4 (14.6-33.5)
		Tmin	2	8.2	6	9.5 (6.7-14.9)	6	11.8 (9.6-14.4)	4	10.8 (7.6-14.8)
		HR	6	83.0 (70.3-92.7)	2	69.5	2	69.1	3	67.4 (55.5-78.9)
		Prec	1	4.7						
	3	HR	5	67.3 (52.8-84.7)	9	76.3 (55.4-98.2)	4	78.9 (72.7-87.5)	4	69.4 (61.6-73.2)
		Tmin	2	5.8	8	6.4 (0.5-12.9)	7	8.2 (3.2-12.6)	5	11.4 (5.5-22.9)
		Tmax	5	13.9 (11.9-16.9)	4	16.6 (15.6-17.9)	5	23.2 (14.4-31.4)	4	21.8 (17.8-29.8)
		Prec	3	18.5 (0.7-39.6)	4	11.9 (0.1-32.9)	2	3.7	3	1.0 (0.0-2.4)
Cladosporium	4	Prec_1	3	2.9 (0.4-4.4)	1	7.2	2	10.0	2	0.2
		Prec_2							2	0.7
		Prec_3							2	8.0
		Tmin^2	1	10.6					1	3.1
	1	HR	8	81.5 (52.0-95.3)	9	63.9 (50.4-77.5)	9	73.4 (50.1-87.2)	7	69.0 (49.1-85.8)
		Tmax	8	14.0 (9.6-20)	7	22.0 (15.6-30.6)	1	27.1	6	24.5 (21.1-28.8)
		Prec_2	1	0.4	1	0.3	8	1.2 (0.3-3.6)	7	6.0 (0.1-24.7)
		Tmin	2	6.1	8	4.9 (-4.1-15.3)	2	11.6	4	11.7 (3.3-22.4)
		Prec	2	24.6	4	3.3 (0.1-6.7)	6	1.3 (0.0-4.5)	2	1.6
		Prec_1	1	16.4	5	2.5 (0.0-5.5)			3	0.6 (0.1-1.4)
		Prec_3	2	5.7	1	11.0	3	4.1 (1.2-9.3)	3	2.0 (0.1-5.3)
		Tmin^2	2	1.3	1	2.4				
		Tmax^2	1	1.8						
Alternaria	1	Tmin	5	7.5 (3.9-11.4)	6	8.5 (5.2-11.6)	6	9.6 (6.4-11.6)	7	9.3 (6.5-11.6)
		Tmax	3	18.3 (17.1-20.1)	2	21.9	2	19.8	1	21.1
	2	Tmin	7	5.0 (0.5-10.9)	6	8.4 (2.0-14.6)	5	6.0 (1.7-10.6)	1	2.8
		Tmax	7	16.0 (1.9-22.9)	6	18.0 (13.4-22.9)	1	16.9		
		Prec_2					4	0.3 (0.1-0.9)	7	4.2 (0.1-16.3)
		HR	2	64.2	4	77.5 (60.5-95.2)	3	64.5 (60.1-72.8)	1	58.5
		Prec_3					1	0.1		
	3	HR	10	65.4 (43.2-97.5)	5	65.2 (57.2-73.2)	6	71.5 (53.5-93.5)	3	74.0 (68.8-79.5)
		Tmax	8	15.2 (11.4-24.2)	5	13.7 (8.6-17.8)	9	22.4 (13.4-34.5)	2	18.4
		Tmin	3	5.6 (2.4-9.0)	6	8.5 (-0.9-12.8)	4	8.6 (7.1-10.6)	3	11.9 (9.5-16.1)
		Prec_3	1	0.1	1	0.2	2	0.2	4	3.4 (0.1-11.5)
		Prec_2			5	0.5 (0.1-2.3)	2	1.2		
		Prec	2	9.6	1	8.6			2	0.2
		Prec_1			1	0.1			1	0.1
Cladosporium	4	Tmax	4	16.0 (7.7-23.4)	7	24.8 (12.9-34.7)	5	23.5 (15.4-32.2)	9	23.4 (14.9-34.5)
		HR	13	72.2 (39.5-95.2)	6	69.2 (35.5-81.1)	3	61.4 (43.5-91.7)	2	64.6
		Tmin	4	8.5 (5.6-12.6)	10	10.4 (2.2-21.1)	5	15.6 (13.4-18.6)	5	9.6 (6.4-15.8)
		Prec_1	6	0.6 (0.0-1.8)	3	0.3 (0.1-0.5)	6	11.1 (0.1-25.9)	3	7.3 (0.1-15)
		Prec_3	4	0.3 (0.0-0.7)	4	4.2 (0.1-14.8)	7	5.3 (0.2-17.0)	3	1.8 (0.1-3.1)
		Prec_2	3	0.2 (0.1-0.6)	1	0.2	5	2.1 (0.1-4.1)	2	6.6
		Prec	2	0.5	4	10.1 (0.1-31.6)	4	0.7 (0.3-1.3)	1	0.5
		Tmin^2	3	4.2 (2.4-6.5)	1	11.9	1	0.1		

Frec.: Frecuencia; **Tmax**: temperatura máxima; **Tmax^2**: cuadrado de la temperatura máxima; **Tmin**: temperatura mínima; **Tmin^2**: cuadrado de la temperatura mínima; **Prec**: precipitación; **Prec_1**: precipitación del día anterior; **Prec_2**: precipitación de dos días anteriores; **Prec_3**: precipitación de tres días anteriores; **HR**: humedad relativa.

logístico. No obstante, para el caso de las ascósporas se remarca con mayor frecuencia la influencia de las precipitaciones del día anterior, especialmente para *Pleospora*. Para el caso de las conidiósporas, los árboles de regresión muestran que el parámetro temperatura es el que más afecta los procesos de esporulación. Sin embargo, para *Alternaria* la variable es la temperatura máxima mientras que para el *Cladosporium* es la temperatura mínima.

En cuanto al valor crítico promedio establecido por niveles en los árboles de regresión, las ascósporas muestran que a medida que el umbral de concentración es mayor, el valor crítico de precipitación presenta un ligero aumento. Así mismo, se observan mayores variaciones de la temperatura mínima y la humedad relativa en los siguientes subniveles, posiblemente relacionado con un aumento del umbral de concentración de *Leptosphaeria* y *Pleospora*; siendo coherente con los resultados reportados en Logit. Entretanto, las basidiósporas presentan un mismo comportamiento, solo que la variable meteorológica implicada es la temperatura máxima, puesto que se observa un aumento en el valor crítico de ésta a medida que aumenta el umbral de concentración. Este resultado coincide nuevamente con los presentados en la regresión logística. Por último, dentro de las conidiosporas, sólo *Alternaria* muestra que el aumento de la temperatura está asociado con el nivel de concentración.

La alta respuesta de las ascósporas a la precipitación se debe a que la liberación de las esporas de este tipo es favorecida por la lluvia, generándose la mayor emisión después de que la precipitación se haya detenido (Burch & Levetin 2002, Magyar 2002, Hernández-Trejo *et al.* 2012, Rivera-Mariani & Bolaños-Rosero 2012, Rúa-Giraldo 2013). Así mismo, los resultados para este tipo de esporas fúngicas son similares en el caso de la humedad relativa y diferentes para la temperatura mínima a lo reportado en varios estudios (Ho *et al.* 2005, Díez *et al.* 2006, Oliveira *et al.* 2009, Hernández-Trejo *et al.* 2012). No obstante, nuestros resultados de temperatura están acordes con lo planteado por Toscano-Underwood *et al.* (2003), quien asegura que el ascoma se puede desarrollar en un rango amplio de temperatura (5-20 °C), pero que su óptimo rango está entre los 15 – 20 °C, lo cual es también afirmado por el estudio desarrollado por Kaczmarek *et al.* (2016) quienes aseguran que un aumento en las temperaturas se ve asociado con la tendencia creciente de las concentraciones de ascósporas en Polonia.

Para las basidiósporas los resultados de la temperatura obtenidos coinciden con lo presentado por otros estudios (Craig & Levetin 2000, Stępalska & Wołek 2009, Hernández *et al.* 2013, Almaguer *et al.* 2014). Como un complemento a estos resultados, Hernández *et al.* (2013) evidenciaron el requerimiento de temperaturas templadas para el proceso de esporulación, aunque un incremento (temperaturas calidas) lo puede limitar, esto es soportado en sus resultados que muestran los picos de estos tipos de esporas durante la primavera o posterior al verano. Este comportamiento es corroborado por Calderon *et al.* (1995) quienes reportan las mayores concentraciones entre 20 – 24 °C en condiciones secas y 24 – 26 °C en condiciones húmedas. Incluso el comportamiento intradiario de la mayoría de las basidiósporas muestran estas restricciones, ya que los mayores valores se dan durante la noche y primeras horas del día, cuando la temperatura es templada y los valores de humedad suelen ser los más altos (Burch & Levetin 2002, Hasnain *et al.* 2005, Quintero *et al.* 2010). Para el caso puntual de Catalunya, los resultados presentados por Vélez-Pereira *et al.* (2016) corroboran la relación entre la presencia de basidiósporas y la temperatura, puesto que en el análisis de tendencias desarrollado se observa que éstas esporas tienden a incrementar sus valores anuales cuando las

tendencias de la temperatura también aumentan, especialmente en las zonas geográficas con temperaturas medias frías y/o templadas.

En cuanto a los resultados de humedad relativa obtenidos, son similares a los presentados por varios estudios (Crotzer & Levetin 1996, González *et al.* 1997, Craig & Levetin 2000, Burch & Levetin 2002, Hasnain *et al.* 2005, Quintero *et al.* 2010, Hernández *et al.* 2013). Hasnain *et al.* (2005) y Quintero *et al.* (2010) aseguran que altos niveles de humedad y precipitaciones ligeras facilitan la liberación de las basidiósporas. Entretanto, la poca influencia de la precipitación es coherente con lo citado por González *et al.* (1997), quienes aseguran que el desarrollo del basidioma se puede dar en períodos con ausencia de precipitación, mientras que Burch & Levetin (2002) y Quintero *et al.* (2010) manifestaron lo mismo pero relacionando la precipitación con los procesos esporulación de las basidiosporas.

Los resultados para las conidiósporas coinciden con lo reportado por otros estudios (Herrero *et al.* 1996, Sabariego *et al.* 2000, Hollins *et al.* 2004) en los que también se muestra que este tipo de esporas se ven favorecidas por la temperatura y la ausencia de precipitación, pese a que eventos meteorológicos puntuales pueden tener un efecto diferente en su esporulación (Grinn-Gofroń & Strzelczak 2013, Damialis *et al.* 2015, Grinn-Gofroń & Bosiacka 2015, Sousa *et al.* 2016). Las relaciones obtenidas entre las variables meteorológicas con *Alternaria* y *Cladosporium* están en concordancia con Recio *et al.* (2012), quienes aseguran que sus fluctuaciones ocurren en un periodo corto de tiempo como resultado de las variaciones de la temperatura que afecta los procesos fisiológicos de la formación, mientras que los demás parámetros (precipitación y humedad relativa) afectan a los procesos físicos de emisión, dispersión y suspensión en la atmósfera.

En la Tabla 3.8 se presentan los resultados de sensibilidad y especificidad obtenidos durante la validación de los modelos para cada taxón, umbral de concentración y estación estudiada. Al igual que en el caso del polen, se presentan valores satisfactorios donde el promedio de mínimos y máximos en los umbrales de concentración en la regresión logística varían entre 62% y 76% para la sensibilidad, y entre 72% y 81% para la especificidad. Entretanto, los árboles de regresión muestran valores de sensibilidad (68 – 88%) y especificidad (50 – 69%) muy cercanos a los reportados en la regresión logística, siendo algo mayores en el primer parámetro mencionado y menores en el segundo.

En el caso de las ascósporas, los resultados muestran que *Leptosphaeria* presenta los mayores promedios de sensibilidad y especificidad en los dos modelos. Asimismo, *Ganoderma* es la basidióspora que presenta el mayor valor en ambos parámetros y modelos. Por último, los resultados de las conidiósporas muestran que, en el modelo logístico, *Alternaria* presenta los mayores valores en ambos parámetros mientras que, en los árboles de regresión, el mayor promedio en la sensibilidad lo presenta *Alternaria* y en especificidad, *Cladosporium* (Tabla 3.8).

En cuanto a los resultados por umbral de concentración, éstos no son muy precisos puesto que, sólo en el caso de los modelos de regresión logística, la sensibilidad reporta los mayores valores en el umbral muy alto para todos los tipos de esporas, mientras que sólo en las basidiósporas y conidiósporas los mayores valores de especificidad los reportan el umbral bajo. Los árboles de regresión muestran que sólo las basidiósporas y conidiósporas coinciden en presentar los mayores valores de sensibilidad en el umbral bajo.

Tabla 3.8 – Sensibilidad (Sen) y especificidad (Esp) de la regresión logística y de los árboles de regresión para cada umbral de concentración y estación de estudio.

Taxón	Estación	Umbrales de concentración															
		Bajo				Medio				Alto				Muy alto			
		Logit		Árbol		Logit		Árbol		Logit		Árbol		Logit		Árbol	
Leptosphaeria	Barcelona	50%	75%	51%	73%	58%	74%	48%	88%	59%	76%	59%	83%	67%	74%	57%	85%
	Bellaterra	67%	65%	56%	77%	69%	68%	64%	87%	74%	68%	65%	87%	80%	68%	71%	87%
	Girona	57%	77%	65%	71%	67%	75%	60%	81%	69%	71%	62%	88%	75%	71%	70%	86%
	Lleida	47%	82%	62%	65%	54%	86%	51%	85%	58%	85%	55%	85%	61%	85%	66%	86%
	Manresa	57%	82%	61%	78%	65%	81%	54%	89%	69%	77%	57%	89%	75%	79%	76%	87%
	Roquetes-Tortosa	55%	78%	55%	73%	64%	77%	58%	85%	66%	78%	59%	85%	72%	79%	67%	93%
	Tarragona	58%	74%	65%	61%	63%	73%	60%	82%	66%	73%	57%	87%	70%	75%	68%	86%
	Vielha	68%	78%	56%	83%	73%	80%	47%	90%	74%	80%	51%	92%	75%	79%	50%	90%
Ascosporas	Barcelona	54%	69%	60%	71%	54%	68%	46%	82%	59%	67%	45%	86%	61%	67%	48%	83%
	Bellaterra	56%	73%	61%	68%	58%	72%	51%	85%	62%	71%	48%	92%	63%	72%	57%	90%
	Girona	41%	86%	49%	77%	50%	86%	40%	92%	49%	83%	52%	89%	53%	82%	64%	88%
	Lleida	67%	49%	80%	33%	65%	64%	53%	74%	71%	66%	55%	81%	70%	67%	64%	81%
	Manresa	53%	74%	70%	57%	57%	76%	55%	84%	60%	79%	57%	87%	65%	80%	59%	94%
	Roquetes-Tortosa	54%	83%	61%	67%	57%	81%	58%	86%	61%	83%	58%	90%	67%	76%	70%	90%
	Tarragona	48%	77%	68%	53%	55%	74%	45%	87%	56%	73%	50%	86%	63%	71%	63%	89%
	Vielha	54%	72%	46%	76%	60%	78%	50%	85%	60%	81%	48%	92%	73%	83%	50%	95%
Agaricus	Barcelona	70%	49%	36%	73%	75%	51%	27%	87%	73%	52%			77%	54%	45%	79%
	Bellaterra	72%	68%	52%	77%	70%	69%	43%	83%	73%	68%	41%	85%	71%	68%	53%	78%
	Girona	65%	52%	63%	52%	68%	57%	35%	83%	70%	58%	32%	86%	71%	61%	45%	83%
	Lleida	59%	67%	33%	73%	58%	74%	33%	82%	57%	73%	34%	81%	61%	76%	29%	90%
	Manresa	60%	65%	54%	68%	64%	68%	36%	81%	64%	68%	69%	54%	59%	68%	33%	91%
	Roquetes-Tortosa	65%	69%	61%	54%	65%	63%	44%	74%	63%	67%	39%	77%	72%	69%	52%	78%
	Tarragona	68%	56%	25%	87%	73%	56%	44%	72%	75%	57%	43%	77%	77%	56%	63%	61%
	Vielha	72%	85%	43%	84%	77%	85%	46%	89%	78%	81%	50%	87%	76%	80%	59%	84%
Basidioplasmas	Barcelona	78%	80%	76%	82%	88%	75%	82%	75%	91%	71%	74%	76%	96%	65%	91%	62%
	Bellaterra	77%	93%	76%	92%	80%	91%	74%	92%	82%	87%	69%	92%	86%	83%	63%	90%
	Girona	64%	93%	67%	89%	74%	94%	75%	93%	80%	93%	76%	93%	85%	89%	69%	93%
	Lleida	63%	85%	57%	84%	68%	84%	56%	88%	65%	84%	43%	92%	66%	85%	37%	93%
	Manresa	74%	87%	65%	88%	79%	85%	59%	89%	75%	82%	59%	88%	69%	77%	42%	88%
	Roquetes-Tortosa	69%	77%	58%	84%	78%	78%	71%	84%	82%	78%	71%	79%	74%	77%	77%	73%
	Tarragona	81%	82%	77%	80%	88%	73%	76%	79%	92%	0%	100%	89%	66%	81%	71%	
	Vielha	74%	92%	74%	87%	80%	92%	83%	90%	81%	92%	78%	91%	82%	93%	75%	94%
Alternaria	Barcelona	68%	80%	71%	67%	72%	78%	75%	66%	83%	66%	61%	82%	87%	60%	68%	69%
	Bellaterra	68%	86%	83%	47%	76%	81%	83%	69%	86%	67%	78%	75%	90%	63%	70%	72%
	Girona	52%	92%	58%	84%	67%	92%	74%	87%	83%	91%	65%	93%	82%	85%	64%	88%
	Lleida	79%	75%	96%	50%	64%	79%	61%	83%	59%	91%	71%	71%	64%	93%	64%	87%
	Manresa	55%	88%	74%	68%	59%	93%	75%	66%	68%	89%	65%	88%	75%	85%	58%	88%
	Roquetes-Tortosa	60%	85%	68%	80%	63%	92%	73%	76%	73%	84%	67%	82%	80%	76%	61%	83%
	Tarragona	71%	72%	79%	61%	74%	73%	84%	55%	81%	67%	58%	77%	80%	64%	59%	74%
	Vielha	57%	89%	57%	90%	84%	88%	74%	90%	82%	85%	62%	93%	75%	86%	50%	94%
Conidiosporas	Barcelona	66%	85%	79%	57%	76%	73%	57%	81%	83%	59%	59%	74%	85%	54%	70%	72%
	Bellaterra	67%	91%	72%	78%	76%	79%	73%	81%	83%	65%	49%	80%	89%	59%	80%	62%
	Girona	54%	96%	69%	68%	67%	93%	65%	93%	76%	88%	57%	92%	81%	80%	49%	89%
	Lleida	44%	95%	64%	67%	45%	97%	62%	57%	53%	85%	49%	87%	54%	87%	33%	93%
	Manresa	55%	95%	77%	78%	63%	84%	66%	77%	72%	82%	44%	91%	75%	77%	41%	88%
	Roquetes-Tortosa	67%	95%	77%	65%	72%	88%	62%	85%	75%	74%	50%	85%	81%	73%	42%	85%
	Tarragona	61%	90%	74%	55%	75%	75%	50%	85%	89%	62%	58%	75%	92%	53%	70%	64%
	Vielha	74%	94%	70%	92%	79%	92%	55%	94%	76%	87%	58%	90%	77%	83%	62%	88%

Las celdas en blanco se presentan en estaciones que por el comportamiento de periodo de polinización y la fracción porcentual que supera el umbral objeto de estudio no permite establecer un conjunto de muestras mínimo para el desarrollo del modelo.

Al comparar ambos modelos para esporas de hongos, se observa que en general presentan mayores valores de especificidad en todos los umbrales de concentración, exceptuando en el umbral bajo de *Agaricus* en los modelos Logit y en *Cladosporium* y *Alternaria* para los modelos de árboles de regresión. No obstante, y al igual que en el caso anterior, se observa que la regresión logística tiende a presentar mayores valores de sensibilidad en comparación con los árboles de regresión, exceptuando el umbral de concentración bajo. Estos resultados resaltan de nuevo que la regresión logística tiene

una mayor precisión al predecir cuando los umbrales de concentración serán superados mientras que los árboles tienden a predecir cuando no se supera.

3.4. Conclusión

Las predicciones aerobiológicas basadas en umbrales de concentración facilitan la aplicación de metodologías estadísticas para la construcción de modelos OBM (sección 1.2.1 del capítulo 1). En este sentido, las metodologías implementadas en este capítulo resultan ser sencillas e intuitivas a la hora de interpretar sus resultados. Ambos modelos arrojan resultados similares en cuanto a la relación y/o influencia de los parámetros meteorológicos en los diferentes umbrales simulados, presentando resultados altamente satisfactorios en los procesos de validación. No obstante, al observar que la regresión logística presenta una mayor precisión en establecer una predicción positiva y teniendo en cuenta que ésta es mucho más sencilla de almacenar y aplicar, se puede concluir que es el modelo ideal para establecer las predicciones de superación de un umbral de concentración en las estaciones aerobiológicas de Catalunya.

3.5. Referencias bibliográficas

- Aira MJ, Dopazo A, & Jato V (2011) Aerobiological monitoring of Cupressaceae pollen in Santiago de Compostela (NW Iberian Peninsula) over six years. *Aerobiologia* 17:319–325. doi: 10.1023/A:1013019215808
- Alcázar P, García-Mozo H, Trigo MM, Ruiz L, González-Minero F, Hidalgo P, Díaz de la Guardia C, & Galán C (2011) *Platanus* pollen season in Andalusia (southern Spain): trends and modeling. *J Environ Monitor* 13:2502–2510. doi: 10.1039/C1EM10355E
- Alcázar P, Stach A, Nowak M, & Galán C (2009) Comparison of airborne herb pollen types in Córdoba (Southwestern Spain) and Poznan (Western Poland). *Aerobiologia* 25:55–63. doi: 10.1007/s10453-009-9109-7
- Almaguer M, Rojas-Flores TI, Rodríguez-Rajo FJ, & Aira M-J (2014) Airborne basidiospores of *Coprinus* and *Ganoderma* in a Caribbean region. *Aerobiologia* 30:197–204. doi: 10.1007/s10453-013-9318-y
- Aznarte JLM, Benítez Sánchez JM, Lugilde DN, De Linares C, Díaz de la Guardia C, & Sánchez FA (2007) Forecasting airborne pollen concentration time series with neural and neuro-fuzzy models. *Expert Syst Appl* 32:1218–1225. doi: 10.1016/j.eswa.2006.02.011
- Barbosa AM, Real R, Olivero J, & Vargas JM (2003) Otter (*Lutra lutra*) distribution modeling at two resolution scales suited to conservation planning in the Iberian Peninsula. *Biol Conserv* 114:377–387. doi: 10.1016/S0006-3207(03)00066-1
- Belmonte J, Canela MA, & Guàrdia R-A (2000) Comparison between categorical pollen data obtained by Hirst and Cour sampling methods. *Aerobiologia* 16:177–185. doi: 10.1023/A:1007628214350
- Brito C, Crespo EG, & Paulo OS (1999) Modelling wildlife distributions: logistic multiple regression vs overlap analysis. *Ecography* 22:251–260. doi: 10.1111/j.1600-0587.1999.tb00500.x

- Burch M, & Levetin E (2002) Effects of meteorological conditions on spore plumes. *Int J Biometeorol* 46:107–117. doi: 10.1007/s00484-002-0127-1
- Calderon C, Lacey J, McCartney HA, & Rosas I (1995) Seasonal and diurnal variation of airborne basidiomycete spore concentrations in Mexico city. *Grana* 34:260–268. doi: 10.1080/00173139509429055
- Calle ML, & Sánchez-Espigares JA (2007) Árboles de clasificación y regresión en la investigación biomédica. *Med Clin* 129:702–706. doi: 10.1157/13112516
- Castellano-Méndez M, Aira MJ, Iglesias I, Jato V, & González-Manteiga W (2005) Artificial neural networks as a useful tool to predict the risk level of *Betula* pollen in the air. *Int J Biometeorol* 49:310–316. doi: 10.1007/s00484-004-0247-x
- Cotos-Yáñez TR, Rodríguez-Rajo FJ, & Jato V (2004) Short-term prediction of *Betula* airborne pollen concentration in Vigo (NW Spain) using logistic additive models and partially linear models. *Int J Biometeorol* 48:179–185. doi: 10.1007/s00484-004-0203-9
- Craig RL, & Levetin E (2000) Multi-year study of *Ganoderma* aerobiology. *Aerobiologia* 16:75–81. doi: 10.1023/A:1007682600175
- Crimi P, Macrina G, Folli C, Bertoluzzo L, Brichetto L, Caviglia I, & Fiorina A (2004) Correlation between meteorological conditions and *Parietaria* pollen concentration in Alassio, north-west Italy. *Int J Biometeorol* 49:13–17. doi: 10.1007/s00484-004-0212-8
- Crotzer V, & Levetin E (1996) The aerobiological significance of smut spores in Tulsa, Oklahoma. *Aerobiologia* 12:177. doi: 10.1007/BF02447410
- Csépe Z, Makra L, Voukantsis D, Matyasovszky I, Tusnády G, Karatzas K, & Thibaudon M (2014) Predicting daily ragweed pollen concentrations using computational intelligence techniques over two heavily polluted areas in Europe. *Sci Total Environ* 476–477:542–552. doi: 10.1016/j.scitotenv.2014.01.056
- Damialis A, Mohammad AB, Halley JM, & Gange AC (2015) Fungi in a changing world: growth rates will be elevated, but spore production may decrease in future climates. *Int J Biometeorol* 59:1157–1167. doi: 10.1007/s00484-014-0927-0
- De Linares C, Belmonte J, Canela M, Díaz de la Guardia C, Alba-Sánchez F, Sabariego S, & Alonso-Pérez S (2010) Dispersal patterns of *Alternaria* conidia in Spain. *Agric For Meteorol* 150:1491–1500. doi: 10.1016/j.agrformet.2010.07.004
- De Melo-Abreu JP, Barranco D, Cordeiro AM, Tous J, Rogado BM, & Villalobos FJ (2004) Modelling olive flowering date using chilling for dormancy release and thermal time. *Agric For Meteorol* 125:117–127. doi: 10.1016/j.agrformet.2004.02.009
- Díaz de la Guardia C, Alba-Sánchez F, De Linares C, Nieto-Lugilde D, & López Caballero J (2006) Aerobiological and allergenic analysis of Cupressaceae pollen in Granada (Southern Spain). *J Invest Allergol Clin Immunol* 16:24–33.
- Díez AH, Sabariego S, Gutiérrez MB, & Cervigón PM (2006) Study of airborne fungal spores in Madrid, Spain. *Aerobiologia* 22:133. doi: 10.1007/s10453-006-9025-z
- Elvira-Rendueles B, Zapata JJ, Miralles JC, Moreno JM, García-Sánchez A, Negral L, & Moreno-Grau S (2017) Aerobiological importance and allergic sensitization to Amaranthaceae under arid climate conditions. *Sci Total Environ* 583:478–486. doi: 10.1016/j.scitotenv.2017.01.119

- Escabias M, Valderrama MJ, Aguilera AM, Santofimia ME, & Aguilera-Morillo MC (2013) Stepwise selection of functional covariates in forecasting peak levels of olive pollen. *Stoch Environ Res Risk Assess* 27:367–376. doi: 10.1007/s00477-012-0655-0
- Fernández-González M, Guedes A, Abreu I, & Rodríguez-Rajo FJ (2013) Pla a_1 aeroallergen immunodetection related to the airborne *Platanus* pollen content. *Sci Total Environ* 463–464:855–860. doi: 10.1016/j.scitotenv.2013.06.062
- Galán C, Alcázar P, Cariñanos P, García H, & Domínguez-Vilches E (2000) Meteorological factors affecting daily Urticaceae pollen counts in southwest Spain. *Int J Biometeorol* 43:191–195. doi: 10.1007/s004840050008
- Galán C, Cariñanos P, García-Mozo H, Alcázar P, & Domínguez-Vilches E (2001) Model for forecasting *Olea europaea* L. airborne pollen in South-West Andalusia, Spain. *Int J Biometeorol* 45:59–63. doi: 10.1007/s004840100089
- Galán C, Fuillerat MJ, Comtois P, & Domínguez E (1998a) A predictive study of Cupressaceae pollen season onset, severity, maximum value and maximum value date. *Aerobiologia* 14:195. doi: 10.1007/BF02694206
- Galán C, Fuillerat MJ, Comtois P, & Domínguez-Vilches E (1998b) Bioclimatic factors affecting daily Cupressaceae flowering in southwest Spain. *Int J Biometeorol* 41:95–100. doi: 10.1007/s004840050059
- García-Mozo H, Pérez-Badía R, & Galán C (2008) Aerobiological and meteorological factors' influence on olive (*Olea europaea* L.) crop yield in Castilla-La Mancha (Central Spain). *Aerobiologia* 24:13–18. doi: 10.1007/s10453-007-9075-x
- González Merino FJ, Candau P, Tomás C, & Morales J (1997) Variación anual y estacional del polen de Urticaceae en el aire de Sevilla y su relación con los factores meteorológicos. *Polén* 8:69–77.
- González Minero P, Candau P, Morales J, & Pérez AM (2000) Aerobiología en Andalucía: estación de Huelva (1999). *Rea* 6:35–38.
- Gonzalo MA, Paredes MM, Muñoz AF, Tormo R, & Silva I (1997) Dinámica de dispersión de basidiosporas en la atmósfera de Badajoz. *Rev Esp Alergol Inmunol Clín* 12:294–300.
- Green BJ, Dettmann M, Yli-Panula E, Rutherford S, & Simpson R (2004) Atmospheric Poaceae pollen frequencies and associations with meteorological parameters in Brisbane, Australia: a 5-year record, 1994–1999. *Int J Biometeorol* 48:172–178. doi: 10.1007/s00484-004-0204-8
- Grinn-Gofroń A, & Bosiacka B (2015) Effects of meteorological factors on the composition of selected fungal spores in the air. *Aerobiologia* 31:63–72. doi: 10.1007/s10453-014-9347-1
- Grinn-Gofroń A, & Strzelczak A (2011) The effects of meteorological factors on the occurrence of *Ganoderma* sp. spores in the air. *Int J Biometeorol* 55:235–241. doi: 10.1007/s00484-010-0329-x
- Grinn-Gofroń A, & Strzelczak A (2013) Changes in concentration of *Alternaria* and *Cladosporium* spores during summer storms. *Int J Biometeorol* 57:759–768. doi: 10.1007/s00484-012-0604-0
- Hasnain SM, Fatima K, Al-Frayh A, & Al-Sedairy ST (2005) Prevalence of airborne basidiospores in three coastal cities of Saudi Arabia. *Aerobiologia* 21:139–145. doi: 10.1007/s10453-005-4184-x

- Hastie T, Tibshirani R, & Friedman J (2009) *The Elements of statistical learning - data mining, inference*, 2nd edn. Springer, Verlag New York
- Hernández FT, Muñoz AF, Tormo RM, & Silva IP (2013) Airborne spores of basidiomycetes in Merida (SW Spain). *Ann Agric Enviro Med* 20:657–663.
- Hernández-Trejo F, Muñoz FR, Tormo RM, & Silva IP (2012) Airborne ascospores in Mérida (SW Spain) and the effect of rain and other meteorological parameters on their concentration. *Aerobiologia* 28:13–26. doi: 10.1007/s10453-011-9207-1
- Herrero B, Fombella-Blanco MA, Fernández-González D, & Valencia-Barrera RM (1996) The role of meteorological factors in determining the annual variation of *Alternaria* and *Cladosporium* spores in the atmosphere of Palencia, 1990–1992. *Int J Biometeorol* 39:139–142. doi: 10.1007/BF01211226
- Ho H-M, Rao CY, Hsu H-H, Chiu Y-H, Liu C-M, & Chao HJ (2005) Characteristics and determinants of ambient fungal spores in Hualien, Taiwan. *Atmos Environ* 39:5839–5850. doi: 10.1016/j.atmosenv.2005.06.034
- Hollins PD, Kettlewell PS, Atkinson MD, Stephenson DB, Corden JM, Millington WM, & Mullins J (2004) Relationships between airborne fungal spore concentration of *Cladosporium* and the summer climate at two sites in Britain. *Int J Biometeorol* 48:137–141. doi: 10.1007/s00484-003-0188-9
- Hosmer DW, & Lemeshow S (2000) *Multiple logistic regression*, Second edition. John Wiley & Sons, Inc., Hoboken, NJ, EEUU
- Iglesias I, Rodríguez-Rajo FJ, & Méndez J (2007) Behavior of *Platanus hispanica* pollen, an important spring aeroallergen in northwestern Spain. *J Invest Allergol Clin Immunol* 17:145.
- Jato V, Dopazo A, & Aira MJ (2001) Airborne pollen data of Platanaceae in Santiago de Compostela (Iberian Peninsula). *Aerobiologia* 17:143–149. doi: 10.1023/A:1010885102491
- Jato V, Dopazo A, & Aira MJ (2002) Influence of precipitation and temperature on airborne pollen concentration in Santiago de Compostela (Spain). *Grana* 41:232–241. doi: 10.1080/001731302321012022
- Jato V, Rodríguez-Rajo FJ, Seijo MC, & Aira MJ (2009) Poaceae pollen in Galicia (N.W. Spain): characterisation and recent trends in atmospheric pollen season. *Int J Biometeorol* 53:333. doi: 10.1007/s00484-009-0220-9
- Jedryczka M, Strzelczak A, Grinn-Gofron A, Nowak M, Wolski T, Siwulski M, Sobieralski K, & Kaczmarek J (2015) Advanced statistical models commonly applied in aerobiology cannot accurately predict the exposure of people to *Ganoderma* spore-related allergies. *Agric For Meteorol* 201:209–217. doi: 10.1016/j.agrformet.2014.11.015
- Kaczmarek J, Kedziora A, Brachaczek A, Latunde-Dada AO, Dakowska S, Karg G, & Jedryczka M (2016) Effect of climate change on sporulation of the teleomorphs of *Leptosphaeria* species causing stem canker of brassicas. *Aerobiologia* 32:39–51. doi: 10.1007/s10453-015-9404-4
- Laaidi M (2001) Forecasting the start of the pollen season of Poaceae: evaluation of some methods based on meteorological factors. *Int J Biometeorol* 45:1–7. doi: 10.1007/s004840000079
- Magyar D (2002) The aerobiology of the ascospores. *Acta Microbiol Imm H* 49:227–234. doi: 10.1556/AMicr.49.2002.2-3.8

- Makra L, Matyasovszky I, Thibaudon M, & Bonini M (2011) Forecasting ragweed pollen characteristics with nonparametric regression methods over the most polluted areas in Europe. *Int J Biometeorol* 55:361–371. doi: 10.1007/s00484-010-0346-9
- Moreno-Grau S, Elvira-Rendueles B, Angosto JM, Bayo J, Moreno J, Belchí J, & Moreno-Clavel J (2000) Aerobiología en Murcia: estación de Cartagena (1999). *Rea* 6:139–142.
- Murthy SK (1998) Automatic construction of decision trees from data: a multi-disciplinary survey. *Data Min Knowl Disc* 2:345–389. doi: 10.1023/A:1009744630224
- Myszkowska D, & Majewska R (2014) Pollen grains as allergenic environmental factors—new approach to the forecasting of the pollen concentration during the season. *Ann Agric Enviro Med* 21:681–688. doi: 10.5604/12321966.1129914
- Norris-Hill J (1995) The modelling of daily Poaceae pollen concentrations. *Grana* 34:182–188. doi: 10.1080/00173139509429041
- Oliveira M, Ribeiro H, Delgado JL, & Abreu I (2009) The effects of meteorological factors on airborne fungal spore concentration in two areas differing in urbanisation level. *Int J Biometeorol* 53:61–73. doi: 10.1007/s00484-008-0191-2
- Orlandi F, Garcia-Mozo H, Galán C, Romano B, Díaz de la Guardia C, Ruiz L, Trigo MM, Dominguez-Vilches E, & Fornaciari M (2010) Olive flowering trends in a large Mediterranean area (Italy and Spain). *Int J Biometeorol* 54:151–163. doi: 10.1007/s00484-009-0264-x
- Oteros J, García-Mozo H, Hervás-Martínez C, & Galán C (2013) Year clustering analysis for modelling olive flowering phenology. *Int J Biometeorol* 57:545–555. doi: 10.1007/s00484-012-0581-3
- Quintero E, Rivera-Mariani F, & Bolaños-Rosero B (2010) Analysis of environmental factors and their effects on fungal spores in the atmosphere of a tropical urban area (San Juan, Puerto Rico). *Aerobiologia* 26:113–124. doi: 10.1007/s10453-009-9148-0
- Ranzi A, Lauriola P, Marletto V, & Zinoni F (2003) Forecasting airborne pollen concentrations: development of local models. *Aerobiologia* 19:39–45. doi: 10.1023/A:1022626107746
- Real R, Barbosa AM, & Vargas JM (2006) Obtaining environmental favourability functions from logistic regression. *Environ Ecol Stat* 13:237–245. doi: 10.1007/s10651-005-0003-3
- Recio M, Rodríguez-Rajo FJ, Jato V, Trigo MM, & Cabezudo B (2009) The effect of recent climatic trends on Urticaceae pollination in two bioclimatically different areas in the Iberian Peninsula: Malaga and Vigo. *Climatic Change* 97:215–228. doi: 10.1007/s10584-009-9620-4
- Recio M, Trigo MM, Docampo S, Melgar M, García-Sánchez J, Bootello L, & Cabezudo B (2012) Analysis of the predicting variables for daily and weekly fluctuations of two airborne fungal spores: *Alternaria* and *Cladosporium*. *Int J Biometeorol* 56:983–991. doi: 10.1007/s00484-011-0509-3
- Ribeiro H, Cunha M, & Abreu I (2007) Definition of main pollen season using a logistic model. *Ann Agric Enviro Med* 14:259.
- Rivera-Mariani FE, & Bolaños-Rosero B (2012) Allergenicity of airborne basidiospores and ascospores: need for further studies. *Aerobiologia* 28:83–97. doi: 10.1007/s10453-011-9234-y

- Rodríguez-Rajo FJ, Dacosta N, & Jato V (2004) Airborne olive pollen in Vigo (Northwest Spain): a survey to forecast the onset and daily concentrations of the pollen season. *Grana* 43:101–110. doi: 10.1080/00173130410019622
- Rojas AB, Cotilla I, Real R, & Palomo LJ (2001) Determinación de las áreas probables de distribución de los mamíferos terrestres en la provincia de Málaga. *Galemys* 13:217–229.
- Rúa-Giraldo AL (2013) Aerobiología de las esporas de Pleosporales en ambientes intra y extradomiciliarios de Barcelona. Aplicación a la clínica en población alérgica. Info:eurepo/semantics/doctoralThesis, Universitat Autònoma de Barcelona
- Sabariego S, Cuesta P, Fernández-González F, & Pérez-Badia R (2012) Models for forecasting airborne Cupressaceae pollen levels in central Spain. *Int J Biometeorol* 56:253–258. doi: 10.1007/s00484-011-0423-8
- Sabariego S, Guardia CD de la, & Alba F (2000) The effect of meteorological factors on the daily variation of airborne fungal spores in Granada (southern Spain). *Int J Biometeorol* 44:1–5. doi: 10.1007/s004840050131
- Sabariego SR, Gutiérrez Bustillo AM, Cervigón PM, & Cuesta P (2008) Forecasting airborne *Platanus* pollen in the Madrid region. *Grana* 47:234–240. doi: 10.1080/00173130802218574
- Sadyś M, Skjøth CA, & Kennedy R (2016) Forecasting methodologies for *Ganoderma* spore concentration using combined statistical approaches and model evaluations. *Int J Biometeorol* 60:489–498. doi: 10.1007/s00484-015-1045-3
- Sánchez-Mesa J, Galán C, & Hervás C (2005) The use of discriminant analysis and neural networks to forecast the severity of the Poaceae pollen season in a region with a typical Mediterranean climate. *Int J Biometeorol* 49:355–362. doi: 10.1007/s00484-005-0260-8
- Sánchez-Reyes E, Rodríguez De La Cruz D, Sanchís-Merino ME, & Sánchez-Sánchez J (2009) First results of *Platanus* pollen airborne content in the middle-west of the Iberian Peninsula. *Aerobiologia* 25:209. doi: 10.1007/s10453-009-9126-6
- Scheifinger H, Belmonte J, Buters J, Celenk S, Damialis A, Dechamp C, García-Mozo H, Gehrig R, Grewling L, Halley JM, Hogda K-A, Jäger S, Karatzas K, Karlsen S-R, Koch E, Pauling A, Peel R, Sikoparija B, Smith M, Galán C, Thibaudon M, Vokou D, & De Weger LA (2013) Monitoring, modelling and forecasting of the pollen season. In: Sofiev M, & Bergmann K-C (eds) Allergenic pollen, 1st edn. Springer Netherlands, New York, London, pp 71–126
- Sousa L, Camacho IC, Grinn-Gofroń A, & Camacho R (2016) Monitoring of anamorphic fungal spores in Madeira region (Portugal), 2003–2008. *Aerobiologia* 32:303–315. doi: 10.1007/s10453-015-9400-8
- Stępalska D, & Wołek J (2009) Intradiurnal periodicity of fungal spore concentrations (*Alternaria*, *Botrytis*, *Cladosporium*, *Didymella*, *Ganoderma*) in Cracow, Poland. *Aerobiologia* 25:333. doi: 10.1007/s10453-009-9137-3
- Teixeira J, Ferrand N, & Arntzen JW (2001) Biogeography of the golden-striped salamander *Chioglossa lusitanica*: a field survey and spatial modelling approach. *Ecography* 24:618–624. doi: 10.1111/j.1600-0587.2001.tb00495.x

- Toscano-Underwood C, Huang YJ, Fitt BDL, & Hall AM (2003) Effects of temperature on maturation of pseudothecia of *Leptosphaeria maculans* and *L. biglobosa* on oilseed rape stem debris. *Plant Pathol* 52:726–736. doi: 10.1111/j.1365-3059.2003.00930.x
- Trigo M del M, Recio M, Toro FJ, & Cabezudo B (1998) Incidencia del polen de Chenopodiaceae-Amaranthaceae en la atmósfera de Málaga y su relación con los parámetros meteorológicos. *Acta Botanica Malacitana* 23:121–131.
- Trigo MM, Cabezudo B, Recio M, & Toro FJ (1996) Annual, daily and dirunal variations of Urticaceae airborne pollen in Málaga (Spain). *Aerobiologia* 12:85. doi: 10.1007/BF02446599
- Tu JV (1996) Advantages and disadvantages of using artificial neural networks versus logistic regression for predicting medical outcomes. *J Clin Epidemiol* 49:1225–1231. doi: 10.1016/S0895-4356(96)00002-9
- Tzima FA, Karatzas KD, Mitkas PA, & Karathanasis S (2007) Using data-mining techniques for PM 10 forecasting in the metropolitan area of Thessaloniki, Greece. In: *Neural Networks, 2007. IJCNN 2007. International Joint Conference on*. IEEE, pp 2752–2757
- Vázquez LM, Galán C, & Domínguez-Vilches E (2003) Influence of meteorological parameters on *Olea* pollen concentrations in Córdoba (South-western Spain). *Int J Biometeorol* 48:83–90. doi: 10.1007/s00484-003-0187-x
- Vega-Maray AM, Valencia-Barrera RM, Fernández-González D, & Fraile R (2003) Urticaceae pollen concentration in the atmosphere of north-western Spain. *Ann Agric Enviro Med* 10:249–256.
- Vélez-Pereira AM, De Linares C, Canela MA, & Belmonte J (2014) Predicción de los niveles diarios de esporas de *Cladosporium* en el aire aplicando modelos de regresión logística. In: *XXII Congreso Latinoamericano de Microbiología y 4 Congreso Colombiano de Microbiología. Revista Hechos Microbiológicos*, Cartagena, Colombia, p 68
- Vélez-Pereira AM, De Linares C, Canela MA, & Belmonte J (2015) Logistic regression models to predict daily levels of airborne Urticaceae pollen. In: *XIII Congreso Español de Salud Ambiental. Revista de Salud Ambiental*, Cartagena, España, p 114
- Vélez-Pereira AM, De Linares C, Delgado R, & Belmonte J (2016) Temporal trends of the airborne fungal spores in Catalonia (NE Spain), 1995–2013. *Aerobiologia* 32:23–37. doi: 10.1007/s10453-015-9410-6
- Verma KS, & Pathak AK (2009) A comparative analysis of forecasting methods for aerobiological studies. *Asian J Exp Sci* 23:193–198.
- Voukantsis D, Karatzas KD, Damialis A, & Vokou D (2010) Forecasting airborne pollen concentration of Poaceae (Grass) and Oleaceae (Olive), using artificial neural networks and genetic algorithms, in Thessaloniki, Greece. In: *The 2010 International Joint Conference on Neural Networks (IJCNN)*. Barcelona, pp 1–6

3.6. Anexos

Anexo 3.A Ecuaciones generadas por el modelo logístico para los umbrales de concentración de polen y esporas de hongos estudiados.

Abreviaturas

- Tmax β_1 :** Temperatura máxima (°C).
Tmax $^2 \beta_2$: Cuadrado de la temperatura máxima.
Tmin β_3 : Temperatura mínima (°C).
Tmin $^2 \beta_4$: Cuadrado de la temperatura mínima.
Prec β_5 : Precipitación (mm).
Prec_1 β_6 : Precipitación del día anterior (mm).
Prec_2 β_7 : Precipitación de dos días atrás (mm).
Prec_3 β_8 : Precipitación de tres días atrás (mm).
HR β_9 : Humedad relativa (%).
Cte β_0 : Constante (Cte.).

3.A.1. Polen

3.A.1.1. Cupressaceae

	Umbrales de concentración				Umbrales de concentración				
	Bajo	Medio	Alto	Muy alto	Bajo	Medio	Alto	Muy alto	
	Tmax β_1	0.47	0.74	0.86	0.93	0.35	0.64	1.01	1.44
Barcelona	Tmax ² β_2	-0.01	-0.02	-0.02	-0.02	-0.01	-0.02	-0.03	-0.04
	Tmin β_3	-0.02	0.03	0.18	0.29	0.11	0.10	0.12	0.10
	Tmin ² β_4	-0.01	-0.01	-0.02	-0.03	-0.02	-0.02	-0.02	-0.02
	Prec β_5	-0.03	-0.08	-0.06	-0.07	-0.02	-0.03	-0.04	-0.07
	Prec ₁ β_6	-0.03	-0.06	-0.04	-0.10	-0.04	-0.06	-0.03	-0.01
	Prec ₂ β_7	-0.01	-0.02	-0.01	-0.03	-0.01	-0.02	-0.01	0.00
	Prec ₃ β_8	-0.01	-0.01	-0.01	-0.01	-0.02	-0.04	-0.04	-0.02
	HR β_9	-0.03	-0.01	-0.02	-0.02	-0.02	-0.01	-0.02	-0.02
	Cte β_0	-0.62	-5.79	-7.32	-8.89	-0.32	-5.42	-8.96	-13.30
Belleterra	Tmax β_1	0.30	0.52	0.87	1.02	0.40	0.87	0.86	0.76
	Tmax ² β_2	-0.01	-0.01	-0.02	-0.03	-0.01	-0.02	-0.02	-0.02
	Tmin β_3	0.23	0.20	0.26	0.29	0.43	0.28	0.30	0.34
	Tmin ² β_4	-0.02	-0.03	-0.03	-0.04	-0.03	-0.02	-0.03	-0.03
	Prec β_5	-0.02	-0.05	-0.03	-0.04	-0.06	-0.03	-0.04	-0.03
	Prec ₁ β_6	-0.03	-0.05	-0.05	-0.10	-0.05	-0.05	-0.04	-0.05
	Prec ₂ β_7	-0.02	-0.03	-0.01	0.01	-0.03	-0.01	-0.05	-0.04
	Prec ₃ β_8	-0.01	-0.01	0.00	0.00	-0.03	-0.01	0.00	-0.02
	HR β_9	-0.04	-0.02	-0.02	-0.03	0.00	0.00	0.00	0.00
	Cte β_0	0.46	-4.74	-7.92	-9.25	-4.17	-9.47	-9.71	-9.06
Girona	Tmax β_1	0.24	0.44	0.81	1.00	0.41	0.53	0.56	0.78
	Tmax ² β_2	-0.01	-0.01	-0.02	-0.03	-0.01	-0.01	-0.02	-0.02
	Tmin β_3	0.15	0.18	0.14	0.14	0.17	0.24	0.25	0.27
	Tmin ² β_4	-0.01	-0.02	-0.02	-0.03	-0.01	-0.02	-0.03	-0.03
	Prec β_5	-0.03	-0.01	0.00	-0.01	-0.02	-0.03	-0.07	-0.05
	Prec ₁ β_6	-0.02	-0.04	-0.03	-0.05	-0.03	-0.04	-0.04	-0.03
	Prec ₂ β_7	-0.01	-0.03	-0.03	-0.05	-0.02	-0.01	-0.01	0.01
	Prec ₃ β_8	0.00	-0.01	0.00	-0.02	-0.02	-0.02	-0.03	-0.02
	HR β_9	-0.04	-0.03	-0.03	-0.03	-0.01	-0.01	-0.01	-0.03
	Cte β_0	1.05	-2.90	-6.36	-8.95	-1.63	-4.96	-5.50	-7.44
Lleida	Tmax β_1	0.22	0.67	1.11	1.57	0.19	0.32	0.29	0.60
	Tmax ² β_2	-0.01	-0.02	-0.03	-0.04	0.00	-0.01	0.00	-0.01
	Tmin β_3	0.01	0.01	0.05	0.08	0.08	0.19	0.17	-0.12
	Tmin ² β_4	-0.01	-0.01	-0.02	-0.02	-0.01	-0.02	-0.02	0.00
	Prec β_5	-0.02	-0.02	0.00	0.02	0.04	0.06	0.04	-0.02
	Prec ₁ β_6	-0.05	-0.09	-0.26	-0.20	-0.02	-0.10	-0.10	-131.00
	Prec ₂ β_7	-0.03	-0.05	-0.03	-0.01	-0.01	0.00	0.01	0.05
	Prec ₃ β_8	-0.02	-0.05	-0.05	-0.03	0.00	0.00	0.01	0.05
	HR β_9	-0.02	-0.01	-0.02	-0.03	-0.06	-0.08	-0.10	-0.10
	Cte β_0	0.83	-5.47	-9.55	-13.67	1.39	-1.03	-1.87	-5.47
Manresa	Tmax β_1	0.35	0.64	1.01	1.44				
	Tmax ² β_2	-0.01	-0.02	-0.03	-0.04				
	Tmin β_3	0.11	0.10	0.12	0.10				
	Tmin ² β_4	-0.02	-0.02	-0.02	-0.02				
	Prec β_5	-0.02	-0.03	-0.04	-0.07				
	Prec ₁ β_6	-0.04	-0.06	-0.03	-0.01				
	Prec ₂ β_7	-0.01	-0.02	-0.01	0.00				
	Prec ₃ β_8	-0.02	-0.04	-0.04	-0.02				
	HR β_9	-0.02	-0.01	-0.02	-0.02				
	Cte β_0	-0.32	-5.42	-8.96	-13.30				
Roquetes-Tortosa	Tmax β_1	0.40	0.87	0.86	0.76				
	Tmax ² β_2	-0.01	-0.02	-0.02	-0.02				
	Tmin β_3	0.43	0.28	0.30	0.34				
	Tmin ² β_4	-0.03	-0.02	-0.03	-0.03				
	Prec β_5	-0.06	-0.03	-0.04	-0.03				
	Prec ₁ β_6	-0.05	-0.05	-0.04	-0.05				
	Prec ₂ β_7	-0.03	-0.01	-0.05	-0.04				
	Prec ₃ β_8	-0.03	-0.01	0.00	-0.02				
	HR β_9	0.00	0.00	0.00	0.00				
	Cte β_0	-4.17	-9.47	-9.71	-9.06				
Tarragona	Tmax β_1	0.41	0.53	0.56	0.78				
	Tmax ² β_2	-0.01	-0.01	-0.02	-0.02				
	Tmin β_3	0.17	0.24	0.25	0.27				
	Tmin ² β_4	-0.01	-0.02	-0.03	-0.03				
	Prec β_5	-0.02	-0.03	-0.07	-0.05				
	Prec ₁ β_6	-0.03	-0.04	-0.04	-0.03				
	Prec ₂ β_7	-0.02	-0.01	-0.01	0.01				
	Prec ₃ β_8	-0.02	-0.02	-0.03	-0.02				
	HR β_9	-0.01	-0.01	-0.01	-0.01				
	Cte β_0	-1.63	-4.96	-5.50	-7.44				
Vielha	Tmax β_1	0.19	0.32	0.29	0.60				
	Tmax ² β_2	0.00	-0.01	0.00	-0.01				
	Tmin β_3	0.08	0.19	0.17	-0.12				
	Tmin ² β_4	-0.01	-0.02	-0.02	0.00				
	Prec β_5	0.04	0.06	0.04	-0.02				
	Prec ₁ β_6	-0.02	-0.10	-0.10	-131.00				
	Prec ₂ β_7	-0.01	0.00	0.01	0.05				
	Prec ₃ β_8	0.00	0.00	0.01	0.05				
	HR β_9	-0.06	-0.08	-0.10	-0.10				
	Cte β_0	1.39	-1.03	-1.87	-5.47				

3.A.1.2. *Olea*

		Umbral de concentración						Umbral de concentración			
		Bajo	Medio	Alto	Muy alto			Bajo	Medio	Alto	Muy alto
Barcelona	Tmax β_1	0.55	0.73	0.44	-0.41	Manresa	Tmax β_1	0.77	1.32	1.59	1.61
	Tmax ² β_2	-0.01	-0.01	-0.01	0.01		Tmax ² β_2	-0.01	-0.02	-0.03	-0.03
	Tmin β_3	0.72	1.69	3.33	5.57		Tmin β_3	0.97	1.64	2.03	2.18
	Tmin ² β_4	-0.03	-0.06	-0.12	-0.19		Tmin ² β_4	-0.04	-0.07	-0.08	-0.09
	Prec β_5	0.00	-0.04	-0.06	-0.03		Prec β_5	0.02	0.02	0.02	0.03
	Prec ₁ β_6	0.00	-0.03	-0.12	-0.18		Prec ₁ β_6	-0.01	-0.01	-0.04	-0.04
	Prec ₂ β_7	-0.01	-0.04	-0.07	-0.05		Prec ₂ β_7	0.01	-0.02	-0.01	0.00
	Prec ₃ β_8	0.00	-0.02	-0.03	-0.15		Prec ₃ β_8	0.00	-0.03	-0.03	-0.02
	HR β_9	-0.02	-0.01	-0.02	-0.01		HR β_9	-0.04	-0.04	-0.03	-0.03
	Cte $\beta 0$	-12.00	-22.48	-31.07	-38.70		Cte $\beta 0$	-14.80	-27.38	-34.93	-37.52
Bellaterra	Tmax β_1	0.72	1.34	1.84	1.02	Roquetes-Tortosa	Tmax β_1	0.61	0.96	1.02	1.34
	Tmax ² β_2	-0.01	-0.03	-0.04	-0.02		Tmax ² β_2	-0.01	-0.02	-0.02	-0.02
	Tmin β_3	1.14	2.16	2.42	2.99		Tmin β_3	1.18	3.05	2.68	2.34
	Tmin ² β_4	-0.04	-0.08	-0.09	-0.11		Tmin ² β_4	-0.04	-0.10	-0.09	-0.08
	Prec β_5	0.01	-0.02	-0.03	-0.74		Prec β_5	0.01	-0.02	-0.06	-0.22
	Prec ₁ β_6	-0.02	-0.05	-0.16	-0.03		Prec ₁ β_6	0.00	-0.01	-0.01	0.01
	Prec ₂ β_7	-0.01	-0.02	-0.02	-0.03		Prec ₂ β_7	-0.01	-0.01	0.00	-0.04
	Prec ₃ β_8	-0.01	-0.04	-0.03	-0.44		Prec ₃ β_8	-0.01	-0.02	-0.07	-0.14
	HR β_9	-0.06	-0.05	-0.04	-0.04		HR β_9	-0.02	-0.01	-0.01	-0.01
	Cte $\beta 0$	-13.33	-29.19	-39.32	-32.54		Cte $\beta 0$	-17.86	-36.76	-35.16	-36.94
Girona	Tmax β_1	0.61	1.69	3.25	3.52	Tarragona	Tmax β_1	0.64	1.45	1.44	1.18
	Tmax ² β_2	-0.01	-0.03	-0.06	-0.07		Tmax ² β_2	-0.01	-0.03	-0.03	-0.02
	Tmin β_3	0.87	1.80	1.18	1.15		Tmin β_3	0.85	1.63	2.02	1.79
	Tmin ² β_4	-0.03	-0.07	-0.04	-0.04		Tmin ² β_4	-0.03	-0.06	-0.08	-0.07
	Prec β_5	0.01	0.01	0.00	-113.06		Prec β_5	0.01	0.01	0.01	0.02
	Prec ₁ β_6	-0.02	-0.03	-0.03	0.08		Prec ₁ β_6	0.00	-0.01	-0.01	-0.01
	Prec ₂ β_7	-0.01	-0.02	-0.01	-100.45		Prec ₂ β_7	0.00	-0.01	-0.03	-0.05
	Prec ₃ β_8	-0.02	-0.01	-0.02	-0.14		Prec ₃ β_8	0.01	-0.05	-0.08	-0.07
	HR β_9	-0.04	-0.05	-0.04	-0.03		HR β_9	-0.03	-0.01	-0.02	-0.03
	Cte $\beta 0$	-12.42	-34.06	-54.58	-56.36		Cte $\beta 0$	-12.90	-28.74	-31.36	-27.46
Lleida	Tmax β_1	0.83	1.53	2.30	2.86	Vielha	Tmax β_1	0.07	2.21	-0.11	
	Tmax ² β_2	-0.01	-0.03	-0.04	-0.05		Tmax ² β_2	0.00	-0.04	0.00	
	Tmin β_3	0.40	1.55	1.78	3.03		Tmin β_3	1.34	3.49	19.83	
	Tmin ² β_4	-0.02	-0.06	-0.07	-0.12		Tmin ² β_4	-0.06	-0.18	-1.17	
	Prec β_5	0.07	0.09	0.08	0.11		Prec β_5	0.02	0.07	-0.11	
	Prec ₁ β_6	0.04	0.02	0.05	0.06		Prec ₁ β_6	0.02	0.09	-0.21	
	Prec ₂ β_7	0.04	0.01	0.00	0.05		Prec ₂ β_7	0.00	0.06	0.04	
	Prec ₃ β_8	0.03	0.03	0.04	0.03		Prec ₃ β_8	0.01	0.05	0.06	
	HR β_9	-0.04	-0.03	-0.05	-0.06		HR β_9	-0.05	-0.11	-0.13	
	Cte $\beta 0$	-13.41	-31.70	-45.86	-63.45		Cte $\beta 0$	-7.10	-43.60	-80.22	

3.A.1.3. *Platanus*

	Umbral de concentración				Umbral de concentración					
	Bajo	Medio	Alto	Muy alto	Bajo	Medio	Alto	Muy alto		
	Tmax β_1	0.85	1.04	1.14	1.26	Tmax β_1	0.74	0.87	0.79	0.64
Barcelona	Tmax ² β_2	-0.02	-0.02	-0.03	-0.03	Tmax ² β_2	-0.02	-0.02	-0.02	-0.02
	Tmin β_3	-0.19	0.08	0.21	0.31	Tmin β_3	0.43	0.62	0.72	0.83
	Tmin ² β_4	0.00	-0.02	-0.03	-0.03	Tmin ² β_4	-0.04	-0.05	-0.06	-0.07
	Prec β_5	0.01	0.01	0.02	0.00	Prec β_5	0.03	0.03	0.03	0.02
	Prec ₁ β_6	0.00	0.00	-0.01	-0.02	Prec ₁ β_6	0.00	-0.01	-0.01	0.00
	Prec ₂ β_7	-0.01	0.00	-0.01	-0.01	Prec ₂ β_7	0.00	-0.01	0.00	0.00
	Prec ₃ β_8	-0.01	-0.02	-0.01	-0.03	Prec ₃ β_8	-0.01	-0.01	-0.01	-0.01
	HR β_9	0.00	-0.01	-0.01	-0.01	HR β_9	-0.05	-0.04	-0.03	-0.02
	Cte β_0	-8.60	-10.61	-11.89	-13.54	Cte β_0	-6.58	-9.42	-10.02	-10.15
Bellaterra	Tmax β_1	0.70	0.65	0.56	0.52	Tmax β_1	0.71	1.65	4.89	
	Tmax ² β_2	-0.02	-0.02	-0.01	-0.01	Tmax ² β_2	-0.01	-0.03	-0.11	
	Tmin β_3	0.46	0.61	0.58	0.58	Tmin β_3	1.07	1.04	0.61	
	Tmin ² β_4	-0.03	-0.05	-0.05	-0.05	Tmin ² β_4	-0.06	-0.08	-0.05	
	Prec β_5	0.03	0.02	0.01	-0.01	Prec β_5	0.03	0.06	0.07	
	Prec ₁ β_6	-0.01	-0.01	-0.02	-0.02	Prec ₁ β_6	0.00	0.00	-0.26	
	Prec ₂ β_7	-0.01	-0.01	-0.02	-0.01	Prec ₂ β_7	0.00	-0.24	0.00	
	Prec ₃ β_8	-0.01	-0.03	-0.03	-0.03	Prec ₃ β_8	0.01	0.03	-1.36	
	HR β_9	-0.04	-0.04	-0.03	-0.02	HR β_9	-0.01	0.00	0.04	
	Cte β_0	-6.47	-7.01	-6.97	-7.72	Cte β_0	-13.52	-26.05	-63.31	
Girona	Tmax β_1	0.36	0.70	0.58	0.54	Tmax β_1	0.81	1.00	1.40	2.01
	Tmax ² β_2	-0.01	-0.02	-0.01	-0.01	Tmax ² β_2	-0.02	-0.02	-0.03	-0.04
	Tmin β_3	0.42	0.83	0.82	0.80	Tmin β_3	0.48	0.82	0.76	0.48
	Tmin ² β_4	-0.03	-0.06	-0.06	-0.06	Tmin ² β_4	-0.03	-0.06	-0.06	-0.05
	Prec β_5	0.03	0.03	0.02	0.03	Prec β_5	0.01	0.03	0.02	0.02
	Prec ₁ β_6	0.01	0.01	0.01	0.01	Prec ₁ β_6	0.00	-0.02	-0.01	0.01
	Prec ₂ β_7	0.00	0.01	0.01	-0.01	Prec ₂ β_7	0.00	-0.01	-0.03	-0.06
	Prec ₃ β_8	0.00	0.00	0.01	0.00	Prec ₃ β_8	-0.01	-0.02	-0.02	0.00
	HR β_9	-0.05	-0.05	-0.05	-0.04	HR β_9	-0.02	-0.02	-0.03	-0.04
	Cte β_0	-2.94	-7.50	-6.87	-7.05	Cte β_0	-10.10	-13.53	-18.33	-25.27
Lleida	Tmax β_1	0.93	0.85	0.94	0.96	Tmax β_1	0.16	-1.18		
	Tmax ² β_2	-0.02	-0.02	-0.02	-0.02	Tmax ² β_2	0.00	0.03		
	Tmin β_3	0.34	0.49	0.55	0.79	Tmin β_3	0.18	1.52		
	Tmin ² β_4	-0.04	-0.05	-0.06	-0.07	Tmin ² β_4	-0.05	-0.11		
	Prec β_5	0.07	0.06	0.05	-0.10	Prec β_5	0.02	0.07		
	Prec ₁ β_6	0.00	-0.02	-0.01	-0.01	Prec ₁ β_6	0.01	-82.83		
	Prec ₂ β_7	0.00	-0.02	-0.08	-0.10	Prec ₂ β_7	0.01	-61.49		
	Prec ₃ β_8	-0.01	-0.03	-0.04	-0.10	Prec ₃ β_8	0.00	-85.07		
	HR β_9	-0.05	-0.03	-0.03	-0.03	HR β_9	-0.01	-0.08		
	Cte β_0	-8.00	-9.56	-12.04	-12.96	Cte β_0	-4.12	6.48		
Vielha	Tmax β_1					Tmax β_1				
	Tmax ² β_2					Tmax ² β_2				
	Tmin β_3					Tmin β_3				
	Tmin ² β_4					Tmin ² β_4				
	Prec β_5					Prec β_5				
	Prec ₁ β_6					Prec ₁ β_6				
	Prec ₂ β_7					Prec ₂ β_7				
	Prec ₃ β_8					Prec ₃ β_8				
	HR β_9					HR β_9				
	Cte β_0					Cte β_0				

3.A.1.4. Chenopodiaceae-Amaranthaceae

		Umbral de concentración						Umbral de concentración			
		Bajo	Medio	Alto	Muy alto		Bajo	Medio	Alto	Muy alto	
Barcelona	Tmax β_1	0.79	1.02	1.17	1.07		0.83	1.23	1.70	1.86	
	Tmax^2 β_2	-0.01	-0.02	-0.02	-0.02		-0.01	-0.02	-0.03	-0.03	
	Tmin β_3	0.32	0.40	0.60	0.68		0.33	0.54	0.59	0.94	
	Tmin^2 β_4	-0.01	-0.01	-0.02	-0.02		-0.01	-0.02	-0.02	-0.03	
	Prec β_5	-0.01	-0.02	-0.11	-0.28		-0.03	-0.02	-0.02	-0.02	
	Prec_1 β_6	0.00	-0.01	0.01	0.02		0.00	-0.01	-0.02	-0.04	
	Prec_2 β_7	0.01	0.00	0.00	0.01		0.01	0.01	0.01	0.01	
	Prec_3 β_8	0.00	-0.01	-0.02	-0.01		0.02	0.01	0.01	0.01	
	HR β_9	0.00	-0.01	-0.01	0.00		-0.01	-0.01	-0.02	-0.03	
	Cte β_0	-13.70	-17.51	-23.42	-24.60		-14.13	-21.32	-28.08	-32.93	
Bellaterra	Tmax β_1	1.09	1.13	1.33	2.02		0.41	0.62	0.69	0.62	
	Tmax^2 β_2	-0.02	-0.02	-0.02	-0.04		-0.01	-0.01	-0.01	-0.01	
	Tmin β_3	0.46	0.76	0.81	0.95		0.79	0.80	0.72	0.42	
	Tmin^2 β_4	-0.02	-0.03	-0.03	-0.03		-0.02	-0.03	-0.02	-0.02	
	Prec β_5	-0.02	-0.01	-0.05	-5.00		0.00	-0.01	0.01	0.03	
	Prec_1 β_6	0.00	-0.02	0.02	0.02		-0.01	-0.01	0.01	0.01	
	Prec_2 β_7	0.01	0.00	0.01	0.04		0.00	-0.01	-0.08	-0.01	
	Prec_3 β_8	0.00	0.01	0.00	0.02		0.02	-0.02	-0.07	-0.44	
	HR β_9	-0.01	0.00	-0.01	-0.05		-0.03	-0.02	-0.04	-0.04	
	Cte β_0	-18.42	-23.29	-27.33	-35.51		-12.23	-16.99	-17.20	-14.92	
Girona	Tmax β_1	0.97	1.64	2.94	0.69		0.79	1.33	1.56	1.72	
	Tmax^2 β_2	-0.02	-0.03	-0.05	-0.02		-0.01	-0.02	-0.03	-0.03	
	Tmin β_3	0.31	0.66	1.56	2.25		0.41	0.42	0.68	0.52	
	Tmin^2 β_4	-0.01	-0.02	-0.05	-0.07		-0.01	-0.01	-0.02	-0.02	
	Prec β_5	-0.03	-0.03	-0.07	-0.11		-0.01	0.01	-0.02	-0.05	
	Prec_1 β_6	-0.02	-0.04	-0.08	-0.41		0.01	0.01	0.01	0.01	
	Prec_2 β_7	0.01	-0.01	-0.03	-95.87		0.01	0.00	0.02	0.02	
	Prec_3 β_8	0.00	0.00	-0.02	-0.37		0.01	0.02	0.01	-0.01	
	HR β_9	0.00	0.02	-0.01	-0.07		-0.03	-0.05	-0.08	-0.08	
	Cte β_0	-17.60	-32.50	-55.35	-24.72		-12.18	-19.89	-23.90	-24.89	
Lleida	Tmax β_1	-0.10	0.78	1.00	1.03		0.52	4.50	26.60	26.60	
	Tmax^2 β_2	0.01	-0.01	-0.02	-0.02		-0.01	-0.09	-0.63	-0.63	
	Tmin β_3	0.07	0.33	0.49	0.49		0.56	1.12	33.20	33.20	
	Tmin^2 β_4	0.01	-0.01	-0.01	-0.01		-0.01	-0.03	-0.84	-0.84	
	Prec β_5	0.00	-0.02	-0.01	-0.03		-0.03	-0.12	-22.00	-22.00	
	Prec_1 β_6	0.00	0.00	-0.04	-0.02		0.01	0.03	-1.73	-1.73	
	Prec_2 β_7	0.01	0.02	0.00	-0.01		0.00	0.05	1.77	1.77	
	Prec_3 β_8	0.01	-0.01	-0.02	-0.01		0.01	-0.48	-8.22	-8.22	
	HR β_9	-0.04	-0.04	-0.04	-0.03		-0.03	-0.10	-1.25	-1.25	
	Cte β_0	0.00	-12.28	-17.00	-18.16		-11.34	-64.53	-515.00	-515.00	
Manresa	Tmax β_1	0.83	1.23	1.70	1.86						
	Tmax^2 β_2	-0.01	-0.02	-0.03	-0.03						
	Tmin β_3	0.33	0.54	0.59	0.94						
	Tmin^2 β_4	-0.01	-0.02	-0.02	-0.03						
	Prec β_5	-0.03	-0.02	-0.02	-0.02						
	Prec_1 β_6	0.00	-0.01	-0.02	-0.04						
	Prec_2 β_7	0.01	0.01	0.01	0.01						
	Prec_3 β_8	0.02	0.01	0.01	0.01						
	HR β_9	-0.01	-0.01	-0.02	-0.03						
	Cte β_0	-14.13	-21.32	-28.08	-32.93						
Roquetes-Tortosa	Tmax β_1	0.41	0.62	0.69	0.62						
	Tmax^2 β_2	-0.01	-0.01	-0.01	-0.01						
	Tmin β_3	0.79	0.80	0.72	0.42						
	Tmin^2 β_4	-0.02	-0.03	-0.02	-0.02						
	Prec β_5	0.00	-0.01	0.01	0.03						
	Prec_1 β_6	-0.01	-0.01	0.01	0.01						
	Prec_2 β_7	0.00	-0.01	-0.08	-0.01						
	Prec_3 β_8	0.02	-0.02	-0.07	-0.44						
	HR β_9	-0.03	-0.02	-0.04	-0.04						
	Cte β_0	-12.23	-16.99	-17.20	-14.92						
Tarragona	Tmax β_1	0.79	1.33	1.56	1.72						
	Tmax^2 β_2	-0.01	-0.02	-0.03	-0.03						
	Tmin β_3	0.41	0.42	0.68	0.52						
	Tmin^2 β_4	-0.01	-0.01	-0.02	-0.02						
	Prec β_5	-0.01	0.01	-0.02	-0.05						
	Prec_1 β_6	0.01	0.01	0.01	0.01						
	Prec_2 β_7	0.01	0.00	0.02	0.02						
	Prec_3 β_8	0.01	0.02	0.01	-0.01						
	HR β_9	-0.03	-0.05	-0.08	-0.08						
	Cte β_0	-12.18	-19.89	-23.90	-24.89						
Vielha	Tmax β_1	0.52	4.50	26.60	26.60						
	Tmax^2 β_2	-0.01	-0.09	-0.63	-0.63						
	Tmin β_3	0.56	1.12	33.20	33.20						
	Tmin^2 β_4	-0.01	-0.03	-0.84	-0.84						
	Prec β_5	-0.03	-0.12	-22.00	-22.00						
	Prec_1 β_6	0.01	0.03	-1.73	-1.73						
	Prec_2 β_7	0.00	0.05	1.77	1.77						
	Prec_3 β_8	0.01	-0.48	-8.22	-8.22						
	HR β_9	-0.03	-0.10	-1.25	-1.25						
	Cte β_0	-11.34	-64.53	-515.00	-515.00						

3.A.1.5. Poaceae

		Umbral de concentración						Umbral de concentración			
		Bajo	Medio	Alto	Muy alto		Bajo	Medio	Alto	Muy alto	
Barcelona	Tmax β_1	0.73	0.82	0.88	0.69		Tmax β_1	0.60	0.78	0.89	0.99
	Tmax ² β_2	-0.01	-0.01	-0.02	-0.01		Tmax ² β_2	-0.01	-0.01	-0.02	-0.02
	Tmin β_3	0.24	0.62	0.82	1.12		Tmin β_3	0.25	0.36	0.73	0.87
	Tmin ² β_4	-0.01	-0.02	-0.03	-0.04		Tmin ² β_4	-0.01	-0.01	-0.03	-0.04
	Prec β_5	-0.01	-0.02	-0.04	-0.06		Prec β_5	0.00	0.01	0.02	0.00
	Prec ₁ β_6	0.00	-0.01	-0.03	-0.03		Prec ₁ β_6	-0.01	-0.01	-0.01	-0.01
	Prec ₂ β_7	-0.01	-0.01	-0.01	-0.01		Prec ₂ β_7	0.00	0.00	-0.01	0.00
	Prec ₃ β_8	0.00	-0.02	-0.02	-0.02		Prec ₃ β_8	0.00	0.00	0.00	-0.01
	HR β_9	-0.02	-0.02	-0.02	-0.02		HR β_9	-0.06	-0.05	-0.05	-0.05
	Cte β_0	-10.29	-14.98	-17.55	-17.96		Cte β_0	-5.16	-9.77	-14.12	-16.90
Bellaterra	Tmax β_1	0.78	0.78	0.90	1.04		Tmax β_1	0.64	0.94	1.24	1.78
	Tmax ² β_2	-0.01	-0.01	-0.02	-0.02		Tmax ² β_2	-0.01	-0.01	-0.02	-0.03
	Tmin β_3	0.43	0.89	1.24	1.36		Tmin β_3	0.37	1.07	1.73	2.08
	Tmin ² β_4	-0.02	-0.03	-0.05	-0.05		Tmin ² β_4	-0.01	-0.04	-0.06	-0.07
	Prec β_5	0.00	-0.02	-0.03	-0.03		Prec β_5	-0.01	0.00	-0.02	-0.03
	Prec ₁ β_6	-0.02	-0.01	-0.03	-0.08		Prec ₁ β_6	0.00	-0.02	-0.03	-0.07
	Prec ₂ β_7	0.01	0.00	-0.01	-0.01		Prec ₂ β_7	0.00	-0.03	-0.06	-0.05
	Prec ₃ β_8	-0.01	-0.01	-0.01	-0.01		Prec ₃ β_8	-0.01	-0.03	-0.05	-0.07
	HR β_9	-0.04	-0.05	-0.06	-0.06		HR β_9	-0.02	-0.03	-0.04	-0.04
	Cte β_0	-10.20	-13.06	-16.33	-19.13		Cte β_0	-12.26	-22.01	-30.63	-41.06
Girona	Tmax β_1	0.51	0.71	0.92	1.06		Tmax β_1	0.81	1.15	1.51	1.70
	Tmax ² β_2	-0.01	-0.01	-0.02	-0.02		Tmax ² β_2	-0.02	-0.02	-0.03	-0.03
	Tmin β_3	0.38	0.56	0.77	0.89		Tmin β_3	0.42	0.87	1.24	1.31
	Tmin ² β_4	-0.01	-0.02	-0.03	-0.03		Tmin ² β_4	-0.02	-0.03	-0.04	-0.05
	Prec β_5	0.00	0.00	0.01	0.00		Prec β_5	-0.01	-0.03	-0.04	-0.04
	Prec ₁ β_6	-0.02	-0.01	-0.01	-0.02		Prec ₁ β_6	-0.02	-0.02	-0.02	-0.05
	Prec ₂ β_7	0.00	0.00	0.00	0.00		Prec ₂ β_7	0.00	0.00	0.00	-0.02
	Prec ₃ β_8	0.01	0.01	0.00	-0.01		Prec ₃ β_8	0.00	-0.01	-0.02	-0.02
	HR β_9	-0.07	-0.07	-0.07	-0.07		HR β_9	-0.04	-0.03	-0.03	-0.03
	Cte β_0	-4.94	-9.53	-14.30	-17.32		Cte β_0	-10.80	-19.12	-26.99	-30.58
Lleida	Tmax β_1	0.64	1.04	1.13	1.17		Tmax β_1	0.07	0.14	0.38	0.43
	Tmax ² β_2	-0.01	-0.02	-0.02	-0.02		Tmax ² β_2	0.00	0.00	-0.01	-0.01
	Tmin β_3	0.13	0.27	0.53	0.51		Tmin β_3	0.23	0.37	0.57	0.57
	Tmin ² β_4	0.00	-0.01	-0.02	-0.02		Tmin ² β_4	-0.01	-0.02	-0.03	-0.03
	Prec β_5	0.04	0.04	0.05	0.05		Prec β_5	-0.02	-0.03	-0.02	-0.01
	Prec ₁ β_6	0.02	0.01	0.01	0.02		Prec ₁ β_6	0.01	0.00	-0.01	-0.03
	Prec ₂ β_7	0.03	0.03	0.02	0.02		Prec ₂ β_7	0.01	0.01	0.01	0.02
	Prec ₃ β_8	0.02	0.02	0.03	0.02		Prec ₃ β_8	0.01	0.01	0.01	0.00
	HR β_9	-0.07	-0.07	-0.06	-0.05		HR β_9	0.01	0.01	0.01	0.01
	Cte β_0	-4.93	-11.62	-15.98	-17.43		Cte β_0	-4.16	-6.59	-10.19	-10.86
Vilanova i la Geltrú	Tmax β_1	0.07	0.14	0.38	0.43		Tmax β_1	0.07	0.14	0.38	0.43
	Tmax ² β_2	0.00	0.00	-0.01	-0.01		Tmax ² β_2	0.00	0.00	-0.01	-0.01
	Tmin β_3	0.23	0.37	0.57	0.57		Tmin β_3	0.23	0.37	0.57	0.57
	Tmin ² β_4	-0.01	-0.02	-0.03	-0.03		Tmin ² β_4	-0.01	-0.02	-0.03	-0.03
	Prec β_5	-0.02	-0.03	-0.02	-0.01		Prec β_5	-0.02	-0.03	-0.02	-0.01
	Prec ₁ β_6	0.01	0.00	-0.01	-0.03		Prec ₁ β_6	0.01	0.00	-0.01	-0.03
	Prec ₂ β_7	0.01	0.01	0.01	0.02		Prec ₂ β_7	0.01	0.01	0.01	0.02
	Prec ₃ β_8	0.01	0.01	0.01	0.01		Prec ₃ β_8	0.01	0.01	0.01	0.00
	HR β_9	0.01	0.01	0.01	0.01		HR β_9	0.01	0.01	0.01	0.01
	Cte β_0	-4.16	-6.59	-10.19	-10.86		Cte β_0	-4.16	-6.59	-10.19	-10.86

3.A.1.6. Urticaceae

		Umbral de concentración						Umbral de concentración			
		Bajo	Medio	Alto	Muy alto			Bajo	Medio	Alto	Muy alto
Barcelona	Tmax β_1	0.48	0.71	0.86	0.85	Manresa	Tmax β_1	0.51	0.56	0.56	0.57
	Tmax^2 β_2	-0.01	-0.01	-0.02	-0.02		Tmax^2 β_2	-0.01	-0.01	-0.01	-0.01
	Tmin β_3	0.06	0.03	0.07	0.13		Tmin β_3	0.22	0.28	0.35	0.36
	Tmin^2 β_4	-0.01	-0.01	-0.01	-0.01		Tmin^2 β_4	-0.01	-0.01	-0.02	-0.02
	Prec β_5	-0.02	-0.02	-0.01	-0.01		Prec β_5	-0.01	0.00	0.01	0.01
	Prec_1 β_6	-0.01	0.00	0.00	0.00		Prec_1 β_6	0.00	0.01	0.00	0.00
	Prec_2 β_7	-0.01	-0.01	-0.01	-0.01		Prec_2 β_7	0.01	0.01	0.01	0.01
	Prec_3 β_8	-0.01	-0.01	-0.02	-0.01		Prec_3 β_8	0.01	0.01	0.00	0.00
	HR β_9	-0.02	-0.03	-0.04	-0.05		HR β_9	-0.04	-0.04	-0.05	-0.05
	Cte $\beta 0$	-3.96	-6.92	-8.76	-9.07		Cte $\beta 0$	-4.08	-5.54	-6.31	-6.84
Bellaterra	Tmax β_1	0.51	0.61	0.79	0.92	Roquetes-Tortosa	Tmax β_1	0.35	0.37	0.51	0.55
	Tmax^2 β_2	-0.01	-0.01	-0.01	-0.02		Tmax^2 β_2	0.00	0.00	-0.01	-0.01
	Tmin β_3	0.17	0.26	0.34	0.39		Tmin β_3	0.15	0.16	0.30	0.37
	Tmin^2 β_4	-0.01	-0.01	-0.02	-0.02		Tmin^2 β_4	-0.01	-0.01	-0.02	-0.02
	Prec β_5	-0.02	-0.01	-0.02	-0.03		Prec β_5	-0.04	-0.02	-0.01	-0.01
	Prec_1 β_6	-0.01	-0.01	-0.01	-0.03		Prec_1 β_6	-0.01	-0.01	-0.01	0.00
	Prec_2 β_7	0.00	-0.01	-0.02	-0.02		Prec_2 β_7	-0.01	-0.02	-0.01	-0.02
	Prec_3 β_8	-0.01	-0.01	-0.01	-0.01		Prec_3 β_8	-0.01	-0.01	-0.01	-0.02
	HR β_9	-0.02	-0.03	-0.03	-0.02		HR β_9	0.00	0.01	0.01	0.01
	Cte $\beta 0$	-5.98	-7.64	-10.88	-13.31		Cte $\beta 0$	-4.59	-6.36	-10.30	-12.10
Girona	Tmax β_1	0.33	0.43	0.64	0.70	Tarragona	Tmax β_1	0.36	0.39	0.51	0.59
	Tmax^2 β_2	-0.01	-0.01	-0.01	-0.01		Tmax^2 β_2	-0.01	-0.01	-0.01	-0.01
	Tmin β_3	0.23	0.35	0.33	0.37		Tmin β_3	0.13	0.23	0.37	0.41
	Tmin^2 β_4	-0.01	-0.01	-0.01	-0.01		Tmin^2 β_4	-0.01	-0.01	-0.02	-0.02
	Prec β_5	-0.01	0.01	0.01	0.00		Prec β_5	-0.02	-0.03	-0.03	-0.02
	Prec_1 β_6	0.00	-0.01	-0.01	0.00		Prec_1 β_6	-0.01	-0.01	-0.01	-0.01
	Prec_2 β_7	0.01	0.01	0.01	0.01		Prec_2 β_7	0.00	-0.01	-0.01	-0.01
	Prec_3 β_8	0.01	0.01	0.00	0.00		Prec_3 β_8	-0.01	-0.01	-0.01	-0.02
	HR β_9	-0.04	-0.06	-0.06	-0.06		HR β_9	-0.03	-0.03	-0.03	-0.02
	Cte $\beta 0$	-2.68	-4.30	-7.97	-9.39		Cte $\beta 0$	-1.06	-3.09	-6.46	-8.28
Lleida	Tmax β_1	0.60	0.60	0.70	0.80	Vielha	Tmax β_1	0.35	0.27	0.28	0.33
	Tmax^2 β_2	-0.01	-0.01	-0.01	-0.01		Tmax^2 β_2	0.00	0.00	0.00	0.00
	Tmin β_3	0.06	0.13	0.14	0.29		Tmin β_3	0.30	0.62	0.66	0.59
	Tmin^2 β_4	0.00	-0.01	-0.01	-0.02		Tmin^2 β_4	0.00	-0.02	-0.02	-0.02
	Prec β_5	0.02	0.03	0.02	0.02		Prec β_5	-0.06	-0.08	-0.07	-0.09
	Prec_1 β_6	-0.01	-0.01	-0.01	0.00		Prec_1 β_6	0.00	0.00	0.01	0.02
	Prec_2 β_7	-0.01	-0.01	-0.01	-0.04		Prec_2 β_7	-0.01	0.01	0.01	0.01
	Prec_3 β_8	0.01	0.00	0.00	-0.02		Prec_3 β_8	-0.01	0.00	0.01	0.01
	HR β_9	-0.02	-0.03	-0.03	-0.04		HR β_9	0.06	0.06	0.05	0.05
	Cte $\beta 0$	-7.46	-8.68	-11.04	-13.68		Cte $\beta 0$	-13.04	-13.90	-14.01	-14.18

3.A.2. Esporas de hongos

3.A.2.1. Leptosphaeria

	Umbral de concentración				Umbral de concentración				
	Bajo	Medio	Alto	Muy alto	Bajo	Medio	Alto	Muy alto	
	Tmax β_1	0.01	-0.01	-0.05	-0.02	-0.04	0.01	-0.01	0.05
Barcelona	Tmax ² β_2	0.00	0.00	0.00	0.00	0.00	0.00	0.00	0.00
	Tmin β_3	0.19	0.22	0.26	0.31	0.22	0.25	0.31	0.33
	Tmin ² β_4	-0.01	-0.01	-0.01	-0.01	-0.01	-0.01	-0.01	-0.01
	Prec β_5	0.04	0.04	0.03	0.03	0.06	0.07	0.08	0.08
	Prec ₁ β_6	0.05	0.04	0.04	0.03	0.08	0.08	0.08	0.06
	Prec ₂ β_7	0.02	0.02	0.02	0.01	0.04	0.04	0.03	0.02
	Prec ₃ β_8	0.02	0.01	0.01	0.01	0.02	0.02	0.02	0.01
	HR β_9	0.01	0.01	0.02	0.02	0.02	0.03	0.02	0.03
	Cte β_0	-2.34	-3.20	-4.04	-5.54	-1.88	-3.26	-3.54	-4.96
Belleterra	Tmax β_1	-0.07	-0.05	-0.06	0.01	-0.09	-0.05	-0.09	0.07
	Tmax ² β_2	0.00	0.00	0.00	0.00	0.00	0.00	0.00	0.00
	Tmin β_3	0.29	0.32	0.35	0.36	0.29	0.39	0.45	0.43
	Tmin ² β_4	-0.01	-0.01	-0.01	-0.01	-0.01	-0.01	-0.01	-0.01
	Prec β_5	0.04	0.06	0.05	0.06	0.12	0.16	0.16	0.14
	Prec ₁ β_6	0.05	0.06	0.06	0.06	0.08	0.08	0.03	0.01
	Prec ₂ β_7	0.02	0.02	0.02	0.02	0.01	0.01	0.02	-0.02
	Prec ₃ β_8	0.01	0.01	0.01	0.01	-0.01	-0.02	-0.02	-0.01
	HR β_9	0.01	0.02	0.02	0.03	0.03	0.04	0.04	0.05
	Cte β_0	-0.67	-2.40	-2.89	-4.60	-2.78	-4.72	-5.57	-8.31
Girona	Tmax β_1	-0.01	0.04	0.07	0.08	0.04	0.02	-0.07	-0.13
	Tmax ² β_2	0.00	0.00	0.00	0.00	0.00	0.00	0.00	0.00
	Tmin β_3	0.27	0.26	0.32	0.35	0.19	0.24	0.34	0.42
	Tmin ² β_4	-0.01	-0.01	-0.01	-0.01	-0.01	-0.01	-0.01	-0.01
	Prec β_5	0.05	0.03	0.03	0.03	0.11	0.10	0.08	0.08
	Prec ₁ β_6	0.06	0.04	0.03	0.01	0.09	0.08	0.07	0.06
	Prec ₂ β_7	0.02	0.01	0.01	0.01	0.03	0.01	0.01	0.01
	Prec ₃ β_8	0.00	0.00	0.00	0.00	0.01	0.01	0.01	0.00
	HR β_9	0.01	0.02	0.03	0.03	0.01	0.01	0.01	0.01
	Cte β_0	-1.64	-3.18	-4.86	-5.59	-1.55	-2.43	-2.53	-2.84
Lleida	Tmax β_1	0.10	0.16	0.15	0.17	0.18	0.16	0.20	0.15
	Tmax ² β_2	0.00	-0.01	-0.01	-0.01	0.00	0.00	0.00	0.00
	Tmin β_3	0.09	0.09	0.15	0.15	0.13	0.16	0.24	0.38
	Tmin ² β_4	0.00	0.00	0.00	0.00	0.00	-0.01	-0.01	-0.02
	Prec β_5	0.11	0.11	0.09	0.10	0.04	0.05	0.06	0.05
	Prec ₁ β_6	0.18	0.14	0.13	0.09	0.01	0.01	0.03	0.02
	Prec ₂ β_7	0.03	0.02	0.01	0.00	0.02	0.02	0.02	0.03
	Prec ₃ β_8	0.03	0.00	0.00	0.00	0.01	0.00	0.01	-0.01
	HR β_9	0.03	0.04	0.04	0.05	0.06	0.07	0.07	0.08
	Cte β_0	-3.14	-4.94	-5.87	-6.82	-6.73	-8.67	-10.05	-11.92
Manresa	Tmax β_1	-0.04	0.01	-0.01	0.05				
	Tmax ² β_2	0.00	0.00	0.00	0.00				
	Tmin β_3	0.22	0.25	0.31	0.33				
	Tmin ² β_4	-0.01	-0.01	-0.01	-0.01				
	Prec β_5	0.06	0.07	0.08	0.08				
	Prec ₁ β_6	0.08	0.08	0.08	0.06				
	Prec ₂ β_7	0.04	0.04	0.03	0.02				
	Prec ₃ β_8	0.02	0.02	0.02	0.01				
	HR β_9	0.02	0.03	0.02	0.03				
	Cte β_0	-1.88	-3.26	-3.54	-4.96				
Roquetes-Tortosa	Tmax β_1	-0.09	-0.05	-0.09	0.07				
	Tmax ² β_2	0.00	0.00	0.00	0.00				
	Tmin β_3	0.29	0.39	0.45	0.43				
	Tmin ² β_4	-0.01	-0.01	-0.01	-0.01				
	Prec β_5	0.12	0.16	0.16	0.14				
	Prec ₁ β_6	0.08	0.08	0.03	0.01				
	Prec ₂ β_7	0.01	0.01	0.02	-0.02				
	Prec ₃ β_8	-0.01	-0.02	-0.02	-0.01				
	HR β_9	0.03	0.04	0.04	0.05				
	Cte β_0	-2.78	-4.72	-5.57	-8.31				
Tarragona	Tmax β_1	0.04	0.02	-0.07	-0.13				
	Tmax ² β_2	0.00	0.00	0.00	0.00				
	Tmin β_3	0.19	0.24	0.34	0.42				
	Tmin ² β_4	-0.01	-0.01	-0.01	-0.01				
	Prec β_5	0.11	0.10	0.08	0.08				
	Prec ₁ β_6	0.09	0.08	0.07	0.06				
	Prec ₂ β_7	0.03	0.01	0.01	0.01				
	Prec ₃ β_8	0.01	0.01	0.01	0.00				
	HR β_9	0.01	0.01	0.01	0.01				
	Cte β_0	-1.55	-2.43	-2.53	-2.84				
Vielha	Tmax β_1	0.18	0.16	0.20	0.15				
	Tmax ² β_2	0.00	0.00	0.00	0.00				
	Tmin β_3	0.13	0.16	0.24	0.38				
	Tmin ² β_4	0.00	-0.01	-0.01	-0.02				
	Prec β_5	0.04	0.05	0.06	0.05				
	Prec ₁ β_6	0.01	0.01	0.03	0.02				
	Prec ₂ β_7	0.02	0.02	0.02	0.03				
	Prec ₃ β_8	0.01	0.00	0.01	-0.01				
	HR β_9	0.06	0.07	0.07	0.08				
	Cte β_0	-6.73	-8.67	-10.05	-11.92				

3.A.2.2. *Pleospora*

	Umbral de concentración				Umbral de concentración				
	Bajo	Medio	Alto	Muy alto	Bajo	Medio	Alto	Muy alto	
	Tmax β_1	0.15	0.18	0.18	0.16	-0.01	0.05	0.02	0.04
Barcelona	Tmax ² β_2	0.00	0.00	0.00	0.00	0.00	0.00	0.00	0.00
	Tmin β_3	0.00	0.00	0.01	0.03	0.15	0.19	0.21	0.24
	Tmin ² β_4	0.00	-0.01	-0.01	-0.01	0.00	-0.01	0.00	0.00
	Prec β_5	0.03	0.03	0.03	0.02	0.05	0.07	0.08	0.07
	Prec ₁ β_6	0.04	0.03	0.03	0.03	0.11	0.12	0.09	0.06
	Prec ₂ β_7	0.02	0.01	0.01	0.01	0.04	0.02	0.01	0.00
	Prec ₃ β_8	0.01	0.01	0.00	0.00	0.00	0.00	0.01	0.00
	HR β_9	0.01	0.02	0.01	0.02	0.01	0.01	0.01	0.01
	Cte β_0	-1.95	-3.45	-4.02	-4.89	-0.07	-1.44	-1.64	-2.69
Bellaterra	Tmax β_1	-0.03	0.02	0.09	0.12	-0.04	-0.02	0.03	-0.07
	Tmax ² β_2	0.00	0.00	-0.01	-0.01	0.00	0.00	0.00	0.00
	Tmin β_3	0.22	0.25	0.25	0.24	0.24	0.35	0.35	0.58
	Tmin ² β_4	-0.01	-0.01	-0.01	-0.01	-0.01	-0.01	-0.01	-0.02
	Prec β_5	0.10	0.09	0.09	0.06	0.22	0.23	0.24	0.08
	Prec ₁ β_6	0.06	0.06	0.04	0.03	0.11	0.11	0.07	0.03
	Prec ₂ β_7	0.00	0.01	0.00	-0.01	0.01	0.01	0.02	0.01
	Prec ₃ β_8	0.01	0.00	0.00	-0.01	0.00	-0.01	-0.02	-0.02
	HR β_9	-0.01	0.01	0.01	0.02	0.01	0.02	0.02	0.03
	Cte β_0	0.77	-1.57	-2.72	-4.48	-1.02	-3.36	-4.74	-5.83
Girona	Tmax β_1	0.06	0.09	0.13	0.07	-0.05	-0.12	-0.07	0.02
	Tmax ² β_2	0.00	0.00	-0.01	0.00	0.00	0.00	0.00	0.00
	Tmin β_3	0.14	0.22	0.25	0.31	0.18	0.26	0.29	0.31
	Tmin ² β_4	0.00	0.00	0.00	-0.01	-0.01	-0.01	-0.01	-0.01
	Prec β_5	0.05	0.06	0.04	0.02	0.08	0.04	0.03	0.04
	Prec ₁ β_6	0.04	0.04	0.03	0.01	0.06	0.06	0.05	0.04
	Prec ₂ β_7	0.01	0.02	0.00	0.00	0.02	0.01	0.02	0.00
	Prec ₃ β_8	0.00	-0.01	0.00	-0.02	0.01	0.01	0.00	0.00
	HR β_9	0.00	0.01	0.02	0.03	0.01	0.01	0.01	0.00
	Cte β_0	-1.17	-3.08	-4.53	-6.30	-0.15	-0.48	-1.70	-2.82
Lleida	Tmax β_1	0.11	0.16	0.14	0.15	0.04	0.06	0.12	0.04
	Tmax ² β_2	0.00	-0.01	-0.01	-0.01	0.00	0.00	0.00	0.00
	Tmin β_3	0.07	0.07	0.12	0.13	0.18	0.25	0.25	0.32
	Tmin ² β_4	0.00	0.00	0.00	0.00	0.00	-0.01	-0.01	-0.01
	Prec β_5	0.20	0.19	0.14	0.12	0.09	0.09	0.09	0.07
	Prec ₁ β_6	0.16	0.16	0.09	0.06	0.03	0.02	0.01	0.00
	Prec ₂ β_7	0.04	0.03	0.02	-0.01	0.01	-0.01	-0.03	-0.03
	Prec ₃ β_8	0.00	0.00	0.00	-0.01	-0.01	-0.03	-0.03	-0.03
	HR β_9	-0.01	-0.01	0.00	0.00	0.03	0.05	0.07	0.07
	Cte β_0	0.74	-0.85	-1.20	-2.20	-3.68	-6.85	-9.42	-10.10
Vielha	Tmax β_1	0.11	0.16	0.14	0.15	0.04	0.06	0.12	0.04
	Tmax ² β_2	0.00	-0.01	-0.01	-0.01	0.00	0.00	0.00	0.00
	Tmin β_3	0.07	0.07	0.12	0.13	0.18	0.25	0.25	0.32
	Tmin ² β_4	0.00	0.00	0.00	0.00	0.00	-0.01	-0.01	-0.01
	Prec β_5	0.20	0.19	0.14	0.12	0.09	0.09	0.09	0.07
	Prec ₁ β_6	0.16	0.16	0.09	0.06	0.03	0.02	0.01	0.00
	Prec ₂ β_7	0.04	0.03	0.02	-0.01	0.01	-0.01	-0.03	-0.03
	Prec ₃ β_8	0.00	0.00	0.00	-0.01	-0.01	-0.03	-0.03	-0.03
	HR β_9	-0.01	-0.01	0.00	0.00	0.03	0.05	0.07	0.07
	Cte β_0	0.74	-0.85	-1.20	-2.20	-3.68	-6.85	-9.42	-10.10

3.A.2.3. Agaricus

		Umbral de concentración						Umbral de concentración			
		Bajo	Medio	Alto	Muy alto			Bajo	Medio	Alto	Muy alto
Barcelona	Tmax β_1	0.04	0.18	0.10	0.03	Mantesa	Tmax β_1	0.16	0.20	0.20	0.18
	Tmax^2 β_2	0.00	-0.01	-0.01	0.00		Tmax^2 β_2	0.00	0.00	0.00	0.00
	Tmin β_3	0.27	0.27	0.31	0.34		Tmin β_3	0.12	0.13	0.15	0.17
	Tmin^2 β_4	-0.01	-0.01	-0.01	-0.01		Tmin^2 β_4	-0.01	-0.01	-0.01	-0.01
	Prec β_5	0.00	0.00	0.00	-0.03		Prec β_5	0.00	-0.01	-0.01	-0.02
	Prec_1 β_6	0.00	0.00	0.00	0.00		Prec_1 β_6	-0.01	-0.02	-0.02	-0.02
	Prec_2 β_7	0.00	0.01	0.01	0.00		Prec_2 β_7	0.00	0.01	0.00	0.00
	Prec_3 β_8	0.01	0.01	0.01	0.01		Prec_3 β_8	0.01	0.01	0.01	0.01
	HR β_9	-0.01	-0.01	-0.01	0.00		HR β_9	0.03	0.04	0.04	0.05
	Cte β_0	-1.77	-3.73	-3.62	-3.82		Cte β_0	-4.47	-6.21	-6.95	-7.93
Belleterra	Tmax β_1	0.14	0.15	0.21	0.17	Roquetes-Tortosa	Tmax β_1	0.19	0.28	0.31	0.40
	Tmax^2 β_2	0.00	0.00	0.00	0.00		Tmax^2 β_2	0.00	-0.01	-0.01	-0.01
	Tmin β_3	0.10	0.14	0.15	0.18		Tmin β_3	0.16	0.26	0.31	0.47
	Tmin^2 β_4	0.00	-0.01	-0.01	-0.01		Tmin^2 β_4	-0.01	-0.01	-0.01	-0.02
	Prec β_5	-0.02	-0.02	-0.02	-0.03		Prec β_5	-0.01	-0.01	-0.01	0.00
	Prec_1 β_6	-0.01	-0.01	-0.01	-0.02		Prec_1 β_6	0.00	0.00	-0.01	-0.01
	Prec_2 β_7	0.00	0.00	0.00	0.00		Prec_2 β_7	0.00	0.00	0.01	0.00
	Prec_3 β_8	0.00	0.00	0.00	0.00		Prec_3 β_8	0.01	0.00	0.01	0.01
	HR β_9	0.02	0.04	0.05	0.06		HR β_9	0.03	0.03	0.04	0.04
	Cte β_0	-3.41	-5.91	-7.68	-8.99		Cte β_0	-5.11	-7.48	-9.43	-11.90
Girona	Tmax β_1	0.15	0.24	0.29	0.29	Tarragona	Tmax β_1	0.15	0.21	0.19	0.06
	Tmax^2 β_2	0.00	0.00	0.00	0.00		Tmax^2 β_2	0.00	0.00	0.00	0.00
	Tmin β_3	0.01	0.01	0.02	0.05		Tmin β_3	0.08	0.11	0.09	0.08
	Tmin^2 β_4	0.00	0.00	0.00	-0.01		Tmin^2 β_4	-0.01	-0.01	-0.01	-0.01
	Prec β_5	0.00	-0.01	-0.01	0.00		Prec β_5	0.01	0.00	0.00	-0.01
	Prec_1 β_6	-0.01	-0.01	-0.01	-0.01		Prec_1 β_6	0.00	0.00	0.00	0.00
	Prec_2 β_7	0.00	0.00	0.01	0.01		Prec_2 β_7	0.00	0.01	0.01	0.00
	Prec_3 β_8	0.00	0.00	0.00	0.00		Prec_3 β_8	0.00	0.00	0.01	0.00
	HR β_9	0.01	0.02	0.02	0.03		HR β_9	0.00	0.01	0.02	0.04
	Cte β_0	-2.93	-4.85	-6.44	-7.62		Cte β_0	-3.37	-5.71	-6.58	-7.47
Lleida	Tmax β_1	0.14	0.13	0.15	0.11	Vielha	Tmax β_1	0.05	0.11	0.13	0.09
	Tmax^2 β_2	0.00	0.00	0.00	0.00		Tmax^2 β_2	0.00	0.00	0.00	0.00
	Tmin β_3	0.11	0.14	0.21	0.29		Tmin β_3	0.13	0.18	0.18	0.29
	Tmin^2 β_4	0.00	-0.01	-0.01	-0.01		Tmin^2 β_4	-0.01	-0.01	-0.01	-0.02
	Prec β_5	-0.02	-0.03	-0.03	-0.02		Prec β_5	-0.01	-0.02	-0.01	-0.03
	Prec_1 β_6	0.00	0.00	-0.01	-0.01		Prec_1 β_6	-0.01	-0.02	-0.03	-0.02
	Prec_2 β_7	0.00	-0.01	0.00	0.00		Prec_2 β_7	-0.01	-0.02	-0.02	0.00
	Prec_3 β_8	-0.01	0.00	0.00	0.00		Prec_3 β_8	0.00	0.00	0.01	0.00
	HR β_9	0.01	0.02	0.03	0.03		HR β_9	0.02	0.04	0.04	0.04
	Cte β_0	-3.63	-5.02	-6.37	-7.02		Cte β_0	-3.26	-5.72	-6.85	-7.18

3.A.2.4. Ganoderma

		Umbral de concentración						Umbral de concentración			
		Bajo	Medio	Alto	Muy alto			Bajo	Medio	Alto	Muy alto
Barcelona	Tmax β_1	0.08	0.14	0.13	0.15	Manresa	Tmax β_1	0.35	0.45	0.49	0.37
	Tmax^2 β_2	0.00	0.00	0.00	0.00		Tmax^2 β_2	0.00	-0.01	-0.01	0.00
	Tmin β_3	0.37	0.53	0.72	0.78		Tmin β_3	0.16	0.21	0.25	0.34
	Tmin^2 β_4	-0.01	-0.01	-0.02	-0.02		Tmin^2 β_4	0.00	-0.01	-0.01	-0.01
	Prec β_5	0.00	0.00	0.00	0.00		Prec β_5	-0.01	-0.01	-0.01	-0.01
	Prec_1 β_6	0.01	0.01	0.01	-0.01		Prec_1 β_6	0.00	0.00	-0.01	-0.04
	Prec_2 β_7	0.02	0.02	0.01	-0.01		Prec_2 β_7	0.00	0.00	0.01	0.00
	Prec_3 β_8	0.01	0.01	0.01	0.01		Prec_3 β_8	0.00	0.01	0.01	0.01
	HR β_9	0.00	0.00	0.00	0.00		HR β_9	0.03	0.04	0.04	0.04
	Cte β_0	-4.01	-7.11	-8.61	-10.20		Cte β_0	-8.81	-11.89	-13.37	-13.49
Bellaterra	Tmax β_1	0.34	0.40	0.51	0.49	Roquetes-Tortosa	Tmax β_1	0.28	0.50	0.49	0.38
	Tmax^2 β_2	-0.01	-0.01	-0.01	-0.01		Tmax^2 β_2	0.00	-0.01	-0.01	0.00
	Tmin β_3	0.21	0.27	0.36	0.39		Tmin β_3	0.27	0.32	0.49	1.13
	Tmin^2 β_4	-0.01	-0.01	-0.01	-0.01		Tmin^2 β_4	-0.01	-0.01	-0.01	-0.03
	Prec β_5	0.00	-0.01	0.00	-0.01		Prec β_5	0.02	0.00	0.01	0.00
	Prec_1 β_6	0.00	0.00	0.00	-0.01		Prec_1 β_6	-0.01	0.00	0.00	-0.02
	Prec_2 β_7	0.00	0.01	0.01	0.01		Prec_2 β_7	0.01	0.00	0.01	0.01
	Prec_3 β_8	0.01	0.01	0.01	0.01		Prec_3 β_8	0.01	0.01	0.02	0.02
	HR β_9	0.00	0.01	0.01	0.03		HR β_9	0.02	0.04	0.05	0.06
	Cte β_0	-6.19	-8.96	-11.38	-13.59		Cte β_0	-9.24	-15.44	-18.29	-24.03
Girona	Tmax β_1	0.31	0.50	0.46	0.52	Tarragona	Tmax β_1	0.31	0.42	0.56	0.60
	Tmax^2 β_2	0.00	-0.01	-0.01	-0.01		Tmax^2 β_2	0.00	0.00	-0.01	-0.01
	Tmin β_3	0.18	0.19	0.23	0.21		Tmin β_3	0.09	0.19	0.21	0.26
	Tmin^2 β_4	-0.01	-0.01	-0.01	-0.01		Tmin^2 β_4	-0.01	-0.01	-0.01	-0.01
	Prec β_5	0.00	0.00	-0.01	-0.01		Prec β_5	0.00	0.00	-0.01	-0.01
	Prec_1 β_6	0.00	-0.01	-0.01	0.00		Prec_1 β_6	0.01	0.01	0.01	0.01
	Prec_2 β_7	0.01	0.00	0.00	0.01		Prec_2 β_7	0.01	0.02	0.02	0.01
	Prec_3 β_8	0.00	0.00	0.00	0.00		Prec_3 β_8	0.00	0.00	0.01	0.00
	HR β_9	0.02	0.03	0.03	0.04		HR β_9	0.02	0.04	0.04	0.04
	Cte β_0	-7.15	-10.42	-10.90	-13.02		Cte β_0	-7.54	-11.12	-13.94	-16.30
Lleida	Tmax β_1	0.33	0.43	0.38	0.36	Vielha	Tmax β_1	0.21	0.28	0.28	0.32
	Tmax^2 β_2	0.00	-0.01	-0.01	-0.01		Tmax^2 β_2	0.00	0.00	0.00	0.00
	Tmin β_3	0.14	0.22	0.28	0.30		Tmin β_3	0.27	0.33	0.34	0.27
	Tmin^2 β_4	0.00	0.00	-0.01	-0.01		Tmin^2 β_4	-0.01	-0.01	-0.01	-0.01
	Prec β_5	-0.03	-0.06	-0.08	-0.09		Prec β_5	-0.02	-0.03	-0.04	-0.05
	Prec_1 β_6	-0.04	-0.04	-0.05	-0.08		Prec_1 β_6	0.01	0.00	-0.01	-0.02
	Prec_2 β_7	0.00	-0.01	-0.01	-0.02		Prec_2 β_7	-0.01	-0.01	-0.01	0.00
	Prec_3 β_8	-0.01	-0.01	-0.01	0.00		Prec_3 β_8	-0.01	-0.02	-0.03	-0.03
	HR β_9	0.04	0.05	0.06	0.06		HR β_9	0.05	0.07	0.08	0.09
	Cte β_0	-8.98	-12.44	-13.20	-14.00		Cte β_0	-7.52	-9.77	-10.97	-12.76

3.A.2.5. Alternaria

		Umbral de concentración						Umbral de concentración			
		Bajo	Medio	Alto	Muy alto			Bajo	Medio	Alto	Muy alto
Barcelona	Tmax β_1	0.19	0.28	0.44	0.46	Mantesa	Tmax β_1	0.15	0.10	0.14	0.19
	Tmax^2 β_2	-0.01	-0.01	-0.01	-0.01		Tmax^2 β_2	0.00	0.00	0.00	0.00
	Tmin β_3	-0.13	-0.10	0.02	0.12		Tmin β_3	-0.05	0.03	0.13	0.17
	Tmin^2 β_4	0.02	0.01	0.00	0.00		Tmin^2 β_4	0.01	0.00	0.00	0.00
	Prec β_5	-0.02	-0.02	-0.04	-0.03		Prec β_5	-0.02	-0.04	-0.04	-0.04
	Prec_1 β_6	0.00	0.00	0.01	0.01		Prec_1 β_6	-0.01	-0.02	-0.01	0.00
	Prec_2 β_7	0.01	0.02	0.01	0.02		Prec_2 β_7	0.00	0.02	0.01	0.01
	Prec_3 β_8	0.00	0.01	0.01	0.02		Prec_3 β_8	0.02	0.01	0.02	0.02
	HR β_9	-0.03	-0.02	-0.01	-0.02		HR β_9	-0.01	-0.01	0.00	0.00
	Cte β_0	1.50	-1.75	-5.93	-7.52		Cte β_0	1.61	-0.94	-3.85	-5.26
Bellaterra	Tmax β_1	0.10	0.15	0.25	0.36	Roquetes-Tortosa	Tmax β_1	0.10	-0.07	-0.09	-0.04
	Tmax^2 β_2	0.00	0.00	0.00	-0.01		Tmax^2 β_2	0.00	0.00	0.00	0.00
	Tmin β_3	0.04	0.08	0.34	0.47		Tmin β_3	-0.09	0.13	0.38	0.70
	Tmin^2 β_4	0.00	0.00	-0.01	-0.01		Tmin^2 β_4	0.02	0.00	-0.01	-0.02
	Prec β_5	-0.02	-0.04	-0.05	-0.04		Prec β_5	-0.03	-0.02	0.00	-0.03
	Prec_1 β_6	-0.01	-0.01	0.00	0.01		Prec_1 β_6	-0.02	0.00	0.00	-0.01
	Prec_2 β_7	0.01	0.00	0.01	0.03		Prec_2 β_7	0.03	0.01	0.00	0.02
	Prec_3 β_8	0.01	0.01	0.01	0.02		Prec_3 β_8	-0.02	0.02	0.04	0.03
	HR β_9	-0.04	-0.03	-0.01	-0.01		HR β_9	-0.02	-0.01	-0.01	0.00
	Cte β_0	2.39	-0.81	-6.32	-9.37		Cte β_0	0.88	-0.97	-3.82	-7.45
Girona	Tmax β_1	0.07	0.16	0.45	0.54	Tarragona	Tmax β_1	0.06	0.11	0.13	0.09
	Tmax^2 β_2	0.00	0.00	-0.01	-0.01		Tmax^2 β_2	0.00	0.00	0.00	0.00
	Tmin β_3	-0.04	0.02	0.29	0.46		Tmin β_3	-0.03	0.03	0.18	0.24
	Tmin^2 β_4	0.01	0.01	-0.01	-0.01		Tmin^2 β_4	0.00	0.00	0.00	-0.01
	Prec β_5	-0.03	-0.04	-0.02	-0.04		Prec β_5	-0.02	-0.01	-0.01	-0.01
	Prec_1 β_6	-0.02	-0.02	-0.01	0.01		Prec_1 β_6	-0.01	0.00	0.00	0.00
	Prec_2 β_7	-0.01	-0.01	0.01	0.01		Prec_2 β_7	0.01	0.01	0.02	0.03
	Prec_3 β_8	0.00	0.01	0.01	0.01		Prec_3 β_8	0.01	0.01	0.01	0.02
	HR β_9	-0.01	-0.01	-0.02	-0.01		HR β_9	-0.04	-0.04	-0.05	-0.05
	Cte β_0	0.59	-2.41	-8.36	-12.59		Cte β_0	3.13	0.72	-1.12	-1.64
Lleida	Tmax β_1	0.25	0.30	0.25	0.30	Vielha	Tmax β_1	0.09	0.23	0.09	0.50
	Tmax^2 β_2	-0.01	-0.01	0.00	-0.01		Tmax^2 β_2	0.00	0.00	0.00	-0.01
	Tmin β_3	-0.15	-0.11	-0.06	0.02		Tmin β_3	0.05	0.30	0.17	1.72
	Tmin^2 β_4	0.02	0.01	0.01	0.01		Tmin^2 β_4	0.01	-0.01	0.00	-0.07
	Prec β_5	-0.03	-0.05	-0.05	-0.07		Prec β_5	-0.02	-0.06	-0.18	-1.14
	Prec_1 β_6	-0.05	-0.05	-0.02	-0.04		Prec_1 β_6	-0.02	-0.03	-0.03	-0.12
	Prec_2 β_7	0.02	-0.02	0.00	0.01		Prec_2 β_7	0.01	-0.01	0.03	0.02
	Prec_3 β_8	0.01	-0.01	0.01	0.00		Prec_3 β_8	-0.01	0.01	-0.02	-0.03
	HR β_9	-0.04	0.00	0.00	0.01		HR β_9	0.00	0.02	0.04	0.03
	Cte β_0	3.93	-1.32	-2.97	-5.02		Cte β_0	-2.45	-7.83	-9.14	-22.97

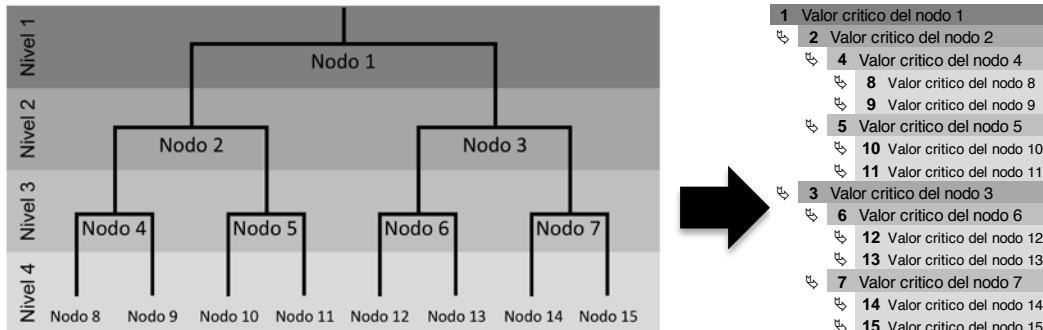
3.A.2.6. *Cladosporium*

		Umbral de concentración						Umbral de concentración			
		Bajo	Medio	Alto	Muy alto			Bajo	Medio	Alto	Muy alto
Barcelona	Tmax β_1	0.17	0.14	0.13	0.17	Manresa	Tmax β_1	0.14	0.20	0.20	0.23
	Tmax^2 β_2	0.00	0.00	0.00	0.00		Tmax^2 β_2	0.00	0.00	0.00	0.00
	Tmin β_3	0.05	0.17	0.35	0.28		Tmin β_3	0.09	0.17	0.29	0.35
	Tmin^2 β_4	0.01	0.00	-0.01	-0.01		Tmin^2 β_4	0.00	-0.01	-0.01	-0.01
	Prec β_5	-0.01	-0.02	-0.02	-0.01		Prec β_5	0.00	-0.01	-0.01	0.00
	Prec_1 β_6	0.00	0.01	0.01	0.02		Prec_1 β_6	0.01	0.01	0.02	0.01
	Prec_2 β_7	0.02	0.02	0.03	0.03		Prec_2 β_7	0.02	0.03	0.02	0.03
	Prec_3 β_8	0.03	0.02	0.02	0.02		Prec_3 β_8	0.03	0.01	0.03	0.03
	HR β_9	-0.02	-0.02	-0.02	-0.03		HR β_9	0.01	0.02	0.01	0.01
	Cte β_0	-0.93	-2.48	-4.33	-4.98		Cte β_0	-1.66	-4.11	-5.86	-7.06
Bellaterra	Tmax β_1	0.03	0.19	0.22	0.32	Roquetes-Tortosa	Tmax β_1	0.05	0.00	-0.12	-0.14
	Tmax^2 β_2	0.00	0.00	0.00	-0.01		Tmax^2 β_2	0.00	0.00	0.01	0.01
	Tmin β_3	0.17	0.25	0.37	0.49		Tmin β_3	0.17	0.35	0.45	0.65
	Tmin^2 β_4	0.00	-0.01	-0.01	-0.02		Tmin^2 β_4	0.00	-0.01	-0.01	-0.02
	Prec β_5	-0.01	-0.01	0.00	0.00		Prec β_5	0.00	-0.01	0.00	0.01
	Prec_1 β_6	0.00	0.00	0.00	0.01		Prec_1 β_6	0.01	0.02	-0.01	-0.03
	Prec_2 β_7	0.01	0.02	0.03	0.02		Prec_2 β_7	0.05	0.03	0.04	0.04
	Prec_3 β_8	0.02	0.01	0.02	0.03		Prec_3 β_8	0.02	0.04	0.06	0.03
	HR β_9	-0.01	0.00	0.00	0.00		HR β_9	0.03	0.03	0.03	0.04
	Cte β_0	-0.43	-3.97	-6.66	-9.21		Cte β_0	-4.04	-5.71	-6.33	-8.56
Girona	Tmax β_1	0.24	0.31	0.50	0.51	Tarragona	Tmax β_1	0.01	0.18	0.27	0.30
	Tmax^2 β_2	0.00	0.00	-0.01	-0.01		Tmax^2 β_2	0.00	0.00	-0.01	-0.01
	Tmin β_3	0.04	0.12	0.32	0.58		Tmin β_3	0.07	0.10	0.21	0.30
	Tmin^2 β_4	0.00	0.00	-0.01	-0.02		Tmin^2 β_4	0.00	0.00	-0.01	-0.01
	Prec β_5	-0.01	0.00	-0.01	-0.01		Prec β_5	0.00	0.00	0.00	0.01
	Prec_1 β_6	-0.01	0.00	0.01	0.00		Prec_1 β_6	-0.01	0.00	0.00	0.00
	Prec_2 β_7	0.00	0.01	0.02	0.02		Prec_2 β_7	0.02	0.01	0.02	0.02
	Prec_3 β_8	0.01	0.01	0.01	0.02		Prec_3 β_8	0.02	0.02	0.01	0.02
	HR β_9	0.01	0.01	0.01	0.01		HR β_9	-0.01	-0.02	-0.02	-0.01
	Cte β_0	-3.69	-5.93	-10.44	-13.31		Cte β_0	-0.29	-3.08	-5.71	-7.21
Lleida	Tmax β_1	0.23	0.16	0.19	0.22	Vielha	Tmax β_1	0.18	0.33	0.36	0.34
	Tmax^2 β_2	0.00	0.00	0.00	-0.01		Tmax^2 β_2	0.00	0.00	0.00	-0.01
	Tmin β_3	-0.04	0.02	0.07	0.08		Tmin β_3	0.12	0.18	0.30	0.59
	Tmin^2 β_4	0.01	0.01	0.00	0.00		Tmin^2 β_4	0.00	-0.01	-0.02	-0.03
	Prec β_5	-0.05	-0.03	-0.01	-0.01		Prec β_5	-0.06	-0.08	-0.09	-0.08
	Prec_1 β_6	-0.03	-0.01	-0.01	0.01		Prec_1 β_6	-0.03	-0.03	-0.01	-0.01
	Prec_2 β_7	0.02	0.02	0.03	0.03		Prec_2 β_7	0.01	0.00	0.01	0.02
	Prec_3 β_8	0.01	0.02	0.02	0.02		Prec_3 β_8	0.01	0.01	0.00	0.00
	HR β_9	0.02	0.02	0.02	0.02		HR β_9	0.05	0.06	0.06	0.06
	Cte β_0	-2.67	-3.10	-4.32	-5.32		Cte β_0	-6.61	-10.59	-12.66	-14.20

Anexo 3.B Árboles de regresión para los umbrales de concentración de polen y esporas de hongos estudiados.

Presentación

Los resultados mostrados en este anexo representan los primeros cuatro niveles del árbol.



Abreviaturas

Tmax: Temperatura máxima (°C).

Tmax²: Cuadrado de la temperatura máxima.

Tmin: Temperatura mínima (°C).

Tmin²: Cuadrado de la temperatura mínima.

Prec: Precipitación (mm).

Prec_1: Precipitación del día anterior (mm).

Prec_2: Precipitación de dos días anteriores (mm).

Prec_3: Precipitación de tres días anteriores (mm).

RH: Humedad relativa (%).

3.B.1. Polen

3.B.1.1. Cupressaceae

		Umbrales de concentración			Bajo	Medio	Alto	Umbrales de concentración				Muy alto
Bao	Medio	1 Tmn≥ 12.6			1 Tmn≥ 11.9			1 Tmn≥ 13.9			1 Tmn≥ 2.95.1	
		2 Tmn≥ 25.1	2 Tmn≥ 12.8		2	4		2	Tmn≥ 23.9	4	4	4
		4	4			4				8	8	8
		8	8			8				9	9	9
		9	9			9						
		5 11. Prec≥ 0.15	5 RH≥ 51.5			5				5 Prec≥ 0.05		
		10	10			10				10		
		11 RH≥ 46.9	11 B_Prec≥ 0.25			11				11 Tmn≥ 19.9		
		3 Prec≥ 3.1	3 Tmn≥ 12.9			3	Tmn≥ 13.1			3 Tmn< 11.4		
		6	6			6				6 RH≥ 70.8		
		12	12			12				12 RH≥ 92.8		
		13 11. Prec≥ 0.75	13 Tmn≤ 7.95			13				13 Tmn< 0.65		
		7	7			7				7 Tmn≥ 6.95		
		13 11. Trmn≤ 11.6	13 Tmn≤ 6.95			13				13 RH≥ 47.8		
		14	14			14				14 Tmn≥ 2.16		
		15 Tmn≥ 11.9	15 Tmn≥ 10.1			15				15 RH≥ 79.5		
						1	Tmn≥ 13.4			1 Tmn≥ 12.6		
						2	Tmn≥ 16.1			2 Tmn≥ 18.6		
						4				4		
						8				8		
						9				9		
						5	RH≥ 51.3			5 Pre≥ 0.45		
						10				10		
						10				10		
						11	Tmn≤ 23.2			11 RH≥ 63.5		
						3	Tmn≤ 14.9			3 Tmn< 14.9		
						6	Tmn≤ 2.05			6 Tmn< 2.35		
						12				12		
						13 11. Pre≥ 0.55				13 12. Pre≥ 3.55		
						7	Tmn≥ 10.2			7 Tmn≥ 9.5		
						14 11. Prec≥ 2.35				14 11. Pre≥ 0.25		
						15 11. Pre≥ 0.05				15 Tmn≥ 3.85		
						1	Tmn≥ 7.65			1 Tmn≥ 12.6		
						2	Tmn≥ 12.9			2 Tmn≥ 18.6		
						4				4		
						8				8		
						9				9		
						5				5 Pre≥ 0.05		
						10				10		
						11				11 Tmn≥ 21.3		
						3	Tmn≤ 15.6			3 Tmn< 14.9		
						6				6 Tmn< 2.65		
						12				12		
						13 11. Pre≥ 0.55				13 12. Pre≥ 3.75		
						7	Tmn≥ 6.05			7 Tmn≥ 12.8		
						14 11. Prec≥ 0.35				14 11. Pre≥ 2.61		
						15 RH≥ 81.8				15 Tmn≥ 6.65		
						1	Tmn≥ 7.35			1 Tmn≥ 11.6		
						2				2 Tmn≥ 16.4		
						4				4		
						8				8		
						9				9		
						5				5 RH≥ 60.8		
						10				10		
						11				11 Tmn≥ 23.7		
						3	Tmn≤ 14.9			3 Tmn< 14.1		
						6				6		
						12				12		
						13 12. Pre≥ 0.55				13 12. Pre≥ 3.75		
						7	Tmn≥ 9.5			7 Tmn≥ 7.95		
						14 12. Pre≥ 0.05				14 11. Pre≥ 1.1		
						15 RH≥ 71.1				15 RH≥ 61.2		
						1	Tmn≥ 9.25			1 Tmn≥ 13.6		
						2				2 Tmn≥ 12.6		
						4				4		
						8				8		
						9				9		
						5				5 RH≥ 60.8		
						10				10		
						11				11 Tmn≥ 23.7		
						3	Tmn≤ 14.9			3 Tmn< 14.1		
						6				6		
						12				12		
						13 11. Pre≥ 0.55				13 12. Pre≥ 3.75		
						7	Tmn≥ 7.5			7 Tmn≥ 12.8		
						14 12. Pre≥ 0.05				14 11. Pre≥ 2.05		
						15 RH≥ 70.8				15 Tmn≤ 10.1		
						1	Tmn≥ 11.4			1 Tmn≥ 11.6		
						2				2 Tmn≥ 16.4		
						4				4		
						8				8		
						9				9		
						5				5 RH≥ 60.8		
						10				10		
						11				11 Tmn≥ 23.7		
						3	Tmn≤ 14.9			3 Tmn< 14.1		
						6				6		
						12				12		
						13 11. Pre≥ 0.55				13 12. Pre≥ 3.75		
						7	Tmn≥ 4.85			7 Tmn≥ 12.8		
						14 12. Pre≥ 0.05				14 11. Pre≥ 2.05		
						15 RH≥ 71.1				15 Tmn≤ 10.1		
						1	Tmn≥ 9.25			1 RH≥ 64.2		
						2				2 Tmn≥ 21.6		
						4				4		
						8				8		
						9				9		
						5				5 RH≥ 60.8		
						10				10		
						11				11 Tmn≥ 23.7		
						3	Tmn≤ 14.9			3 Tmn< 14.1		
						6				6		
						12				12		
						13 11. Pre≥ 0.55				13 12. Pre≥ 3.75		
						7	Tmn≥ 7.5			7 Tmn≥ 12.8		
						14 12. Pre≥ 0.05				14 11. Pre≥ 2.05		
						15 RH≥ 71.1				15 Tmn≤ 10.1		
						1	Tmn≥ 9.25			1 RH≥ 49.1		
						2				2 Tmn≥ 63.2		
						4				4		
						8				8		
						9				9		
						5				5 RH≥ 60.8		
						10				10		
						11				11 Tmn≥ 23.7		
						3	Tmn≤ 14.9			3 Tmn< 14.1		
						6				6		
						12				12		
						13 11. Pre≥ 0.55				13 12. Pre≥ 3.75		
						7	Tmn≥ 7.5			7 Tmn≥ 12.8		
						14 12. Pre≥ 0.05				14 11. Pre≥ 2.05		
						15 RH≥ 71.1				15 Tmn≤ 10.1		
						1	Tmn≥ 2.991			1 RH≥ 64.2		
						2				2 Tmn≥ 21.6		
						4				4		
						8				8		
						9				9		
						5				5 RH≥ 60.8		
						10				10		
						11				11 Tmn≥ 23.7		

3.B.1.2. *Olea*

Bajo		Medio		Alto		May alto		Umbral de concentración		Umbral de concentración		Alto	
1	Tmax< 19.8			1 Tmin< 10.2		1 Tmax< 11.9		1 Tmin< 21.6		1 Tmax< 23.1		1 Tmax< 22.4	
2				2		2		2	Tmin< 12.6	2		2	Tmax< 22.8
3	RH≥ 54.5			4		4		4		4		4	
4				5		5		5	RH≥ 82.8	5		5	
5	RH≥ 63.1			6		6		6		6		6	
6				7		7		7	Prec≤ 0.15	7		7	Prec≤ 1.35
7	Tmax< 20.8			8		8		8		8		8	
8	Tmax< 22.2			9		9		9		9		9	
9	RH≥ 81.6			10		10		10		10		10	
10				11		11		11	B Prec≥ 0.05	11		11	
11	RH≥ 74.9			12		12		12		12		12	
12	RH≥ 70.9			13		13		13	RH≥ 45.5	13		13	Tmax< 31.9
13	Tmax< 32.3			14		14		14		14		14	Tmax< 28.9
14	Tmax< 20.8			15		15		15	Prec≤ 1.25	15		15	Prec< 8.05
15	RH≥ 81.6								RH≥ 59.8				RH≥ 61.2
Mesa		Mesa		Mesa		Mesa		Mesa		Mesa		Mesa	
1	Tmax< 17.6			2		2		2	Tmin≥ 17.9	2		2	Tmin≥ 14.6
2				3		3		3		3		3	
3	Tmin≥ 17.7			4		4		4		4		4	
4				5		5		5		5		5	
5	RH≥ 82.8			6		6		6		6		6	
6				7		7		7		7		7	
7	Tmax< 17.1			8		8		8		8		8	
8	RH≥ 65.5			9		9		9		9		9	
9				10		10		10		10		10	
10	Tmin< 6.45			11		11		11		11		11	
11				12		12		12		12		12	
12	Tmin< 16.1			13		13		13		13		13	
13	RH≥ 65.5			14		14		14		14		14	
14				15		15		15		15		15	
15	RH≥ 69.5								RH≥ 69.5				RH≥ 74.5
Rodales-Torosa		Rodales-Torosa		Rodales-Torosa		Rodales-Torosa		Rodales-Torosa		Rodales-Torosa		Rodales-Torosa	
1	Tmax< 20.1			2		2		2		2		2	
2	RH≥ 22.9			3		3		3		3		3	
3				4		4		4		4		4	
4				5		5		5		5		5	
5	RH≥ 40.5			6		6		6		6		6	
6				7		7		7		7		7	
7	Tmin< 15.9			8		8		8		8		8	
8	RH≥ 40.5			9		9		9		9		9	
9				10		10		10		10		10	
10	Tmin< 16.1			11		11		11		11		11	
11				12		12		12		12		12	
12	RH≥ 40.5			13		13		13		13		13	
13				14		14		14		14		14	
14	RH≥ 26.1			15		15		15		15		15	
15									RH≥ 69.5				RH≥ 74.5
Targonea		Targonea		Targonea		Targonea		Targonea		Targonea		Targonea	
1	Tmax< 23.4			2		2		2		2		2	
2				3		3		3		3		3	
3	RH≥ 22.2			4		4		4		4		4	
4				5		5		5		5		5	
5	Tmin< 10.1			6		6		6		6		6	
6	RH≥ 21.1			7		7		7		7		7	
7				8		8		8		8		8	
8	Tmin< 21.1			9		9		9		9		9	
9	RH≥ 21.1			10		10		10		10		10	
10				11		11		11		11		11	
11	RH≥ 21.1			12		12		12		12		12	
12				13		13		13		13		13	
13	RH≥ 21.1			14		14		14		14		14	
14				15		15		15		15		15	
15	Tmin< 21.1								RH≥ 85.5				RH≥ 10.4
Vetella		Vetella		Vetella		Vetella		Vetella		Vetella		Vetella	
1	Tmax< 22.6			2		2		2		2		2	
2				3		3		3		3		3	
3	RH≥ 6.45			4		4		4		4		4	
4				5		5		5		5		5	
5	Tmin< 27.8			6		6		6		6		6	
6	RH≥ 6.45			7		7		7		7		7	
7				8		8		8		8		8	
8	Tmin< 27.8			9		9		9		9		9	
9	RH≥ 6.45			10		10		10		10		10	
10				11		11		11		11		11	
11	RH≥ 6.45			12		12		12		12		12	
12				13		13		13		13		13	
13	RH≥ 6.45			14		14		14		14		14	
14				15		15		15		15		15	
15	Tmin< 13.3								RH≥ 76.3				RH≥ 76.2
Urb		Urb		Urb		Urb		Urb		Urb		Urb	
1	Tmax< 23.6			2		2		2		2		2	
2				3		3		3		3		3	
3	RH≥ 6.45			4		4		4		4		4	
4				5		5		5		5		5	
5	Tmin< 27.8			6		6		6		6		6	
6	RH≥ 6.45			7		7		7		7		7	
7				8		8		8		8		8	
8	Tmin< 27.8			9		9		9		9		9	
9	RH≥ 6.45			10		10		10		10		10	
10				11		11		11		11		11	
11	RH≥ 6.45			12		12		12		12		12	
12				13		13		13		13		13	
13	RH≥ 6.45			14		14		14		14		14	
14				15		15		15		15		15	
15	Tmax< 30.2								RH≥ 76.7				RH≥ 76.2

3.B.1.3. *Platanus*

Ciudad	Medio	Umbrales de concentración	Alto															Umbrales de concentración	Alto	May alto
			Bajo					Medio					Alto							
Balaguer	1	Tmin< 14.9	1	Tmn≥ 12.6	1	Tmn≥ 11.8	1	Tmn≥ 11.9	1	Tmn≥ 11.9	1	Tmn≥ 11.9	1	Tmn≥ 11.9	1	Tmn≥ 11.9	1	Tmn≥ 11.9		
	2	RH≥ 58.1	2	RH≥ 58.1	2	RH≥ 14.2	2	RH≥ 14.1	2	RH≥ 14.1	2	RH≥ 14.1	2	RH≥ 14.1	2	RH≥ 14.1	2	RH≥ 14.1		
Barcelona	4	2	4	4	4	4	4	4	4	4	4	4	4	4	4	4	4	4		
	8	8	8	8	8	8	8	8	8	8	8	8	8	8	8	8	8	8		
	9	9	9	9	9	9	9	9	9	9	9	9	9	9	9	9	9	9		
	5	Prec< 0.75	5	Tmn≥ 14.2	5	RH≥ 55.3	5	RH≥ 46.5	5	RH≥ 46.5	5	RH≥ 46.5	5	RH≥ 46.5	5	RH≥ 46.5	5	RH≥ 46.5		
	3	Tmn≥ 14.6	11	Tl Prec≥ 0.15	10	Tmn≥ 14.9	11	Tmn≥ 11.9	10	Tmn≥ 11.9	10	Tmn≥ 11.9	10	Tmn≥ 11.9	10	Tmn≥ 11.9	10	Tmn≥ 11.9		
	6	Tmn≥ 28.8	3	Tmn≥ 15.9	6	Tmn≥ 12.4	3	Tmn≥ 15.9	6	Tmn≥ 12.4	3	Tmn≥ 16.1	6	Tmn≥ 16.1	3	Tmn≥ 16.1	3	Tmn≥ 16.1		
	12	12	12	12	12	12	12	12	12	12	12	12	12	12	12	12	12	12		
	13	RH≥ 48.1	13	Tmn≥ 4.4	12	Prec< 11.9	12	Prec< 11.9	13	Prec< 0.00	13	Prec< 1.85	12	Prec< 1.85	13	Prec< 1.85	12	Prec< 1.85		
	7	Tmn< 18.1	7	Tmn≥ 10.8	7	Tmn≥ 10.4	7	Tmn≥ 10.6	7	RH≥ 67.8	7	RH≥ 67.8	7	RH≥ 67.8	7	RH≥ 67.8	7	RH≥ 67.8		
	14	Tmn≥ 10.6	14	RH≥ 62.2	14	Tmn≥ 17.4	15	Tmn≥ 16.6	14	RH≥ 45.2	14	RH≥ 45.2	14	RH≥ 45.2	14	RH≥ 45.2	14	RH≥ 45.2		
	15	Tmn≥ 10.8	15	Tmn≥ 9.95	15	Tmn≥ 9.95	15	Tmn≥ 9.95	15	RH≥ 67.8	15	RH≥ 67.8	15	RH≥ 67.8	15	RH≥ 67.8	15	RH≥ 67.8		
Maresme	1	Tmn≥ 11.9	1	Tmn≥ 10.1	1	Tmn≥ 9.95	1	Tmn≥ 9.95	1	Tmn≥ 11.6	1	Tmn≥ 11.6	1	Tmn≥ 11.6	1	Tmn≥ 11.6	1	Tmn≥ 11.6		
	2	Tmn≥ 13.6	2	Tmn≥ 13.6	2	Tmn≥ 13.6	2	Tmn≥ 13.6	2	Tmn≥ 13.6	2	Tmn≥ 13.6	2	Tmn≥ 13.6	2	Tmn≥ 13.6	2	Tmn≥ 13.6		
	4	4	4	4	4	4	4	4	4	4	4	4	4	4	4	4	4	4		
	8	8	8	8	8	8	8	8	8	8	8	8	8	8	8	8	8	8		
	9	9	9	9	9	9	9	9	9	9	9	9	9	9	9	9	9	9		
	5	Tmn≥ 17.6	5	Tmn≥ 17.6	5	Tmn≥ 17.6	5	Tmn≥ 17.6	5	Tmn≥ 17.6	5	Tmn≥ 17.6	5	Tmn≥ 17.6	5	Tmn≥ 17.6	5	Tmn≥ 17.6		
	10	10	10	10	10	10	10	10	10	10	10	10	10	10	10	10	10	10		
	11	11	11	11	11	11	11	11	11	11	11	11	11	11	11	11	11	11		
	12	RH≥ 0.3	12	Tmn< 16.2	12	Tmn< 16.2	12	Tmn< 16.2	12	Tmn< 16.2	12	Tmn< 16.2	12	Tmn< 16.2	12	Tmn< 16.2	12	Tmn< 16.2		
	6	Tmn< 2.55	6	Tmn< 2.55	6	Tmn< 2.55	6	Tmn< 2.55	6	Tmn< 2.55	6	Tmn< 2.55	6	Tmn< 2.55	6	Tmn< 2.55	6	Tmn< 2.55		
	12	12	12	12	12	12	12	12	12	12	12	12	12	12	12	12	12	12		
	13	Tmn< 13.9	13	RH≥ 81.7	13	RH≥ 81.7	13	RH≥ 81.7	13	RH≥ 81.7	13	RH≥ 81.7	13	RH≥ 81.7	13	RH≥ 81.7	13	RH≥ 81.7		
	7	RH≥ 75.2	7	Tmn≥ 75.2	7	Tmn≥ 75.2	7	Tmn≥ 75.2	7	RH≥ 69.8	7	RH≥ 69.8	7	RH≥ 69.8	7	RH≥ 69.8	7	RH≥ 69.8		
	14	Tmn< 20.6	14	Tmn≥ 8.65	14	Tmn≥ 8.65	15	Tmn≥ 8.65	14	Tl Prec≥ 4.59	14	Tl Prec≥ 4.59	15	Tmn≥ 8.65	14	Tmn≥ 8.65	14	Tmn≥ 8.65		
	15	Tmn≥ 9.55	15	Tmn≥ 9.55	15	Tmn≥ 9.55	15	Tmn≥ 9.55	15	RH≥ 75.2	15	RH≥ 75.2	15	RH≥ 75.2	15	RH≥ 75.2	15	RH≥ 75.2		
Requena-Tortosa	1	Tmn≥ 10.9	1	Tmn≥ 10.9	1	Tmn≥ 10.9	1	Tmn≥ 10.9	1	Tmn≥ 10.9	1	Tmn≥ 10.9	1	Tmn≥ 10.9	1	Tmn≥ 10.9	1	Tmn≥ 10.9		
	2	Tmn≥ 11.4	2	Tmn≥ 11.4	2	Tmn≥ 11.4	2	Tmn≥ 11.4	2	Tmn≥ 11.4	2	Tmn≥ 11.4	2	Tmn≥ 11.4	2	Tmn≥ 11.4	2	Tmn≥ 11.4		
	4	4	4	4	4	4	4	4	4	4	4	4	4	4	4	4	4	4		
	8	8	8	8	8	8	8	8	8	8	8	8	8	8	8	8	8	8		
	9	9	9	9	9	9	9	9	9	9	9	9	9	9	9	9	9	9		
	5	Tmn≥ 14.6	5	Tmn≥ 14.6	5	Tmn≥ 14.6	5	Tmn≥ 14.6	5	Tmn≥ 14.6	5	Tmn≥ 14.6	5	Tmn≥ 14.6	5	Tmn≥ 14.6	5	Tmn≥ 14.6		
	10	10	10	10	10	10	10	10	10	10	10	10	10	10	10	10	10	10		
	11	RH< 60.4	11	RH< 60.4	11	RH< 60.4	11	RH< 60.4	11	RH< 60.4	11	RH< 60.4	11	RH< 60.4	11	RH< 60.4	11	RH< 60.4		
	3	Tmn< 4.95	3	Tmn< 17.6	3	Tmn< 17.6	3	Tmn< 17.6	3	Tmn< 17.6	3	Tmn< 17.6	3	Tmn< 17.6	3	Tmn< 17.6	3	Tmn< 17.6		
	6	Tmn< 18.9	6	Tmn< 4.55	6	Tmn< 4.55	6	Tmn< 4.55	6	Tmn< 4.55	6	Tmn< 4.55	6	Tmn< 4.55	6	Tmn< 4.55	6	Tmn< 4.55		
	12	12	12	12	12	12	12	12	12	12	12	12	12	12	12	12	12	12		
	13	RH≥ 70.1	13	RH≥ 86.8	13	RH≥ 86.8	13	RH≥ 86.8	13	RH≥ 86.8	13	RH≥ 86.8	13	RH≥ 86.8	13	RH≥ 86.8	13	RH≥ 86.8		
	7	RH≥ 74.9	7	RH≥ 74.4	7	RH≥ 74.4	7	RH≥ 74.4	7	RH≥ 74.4	7	RH≥ 74.4	7	RH≥ 74.4	7	RH≥ 74.4	7	RH≥ 74.4		
	14	Prec< 0.25	14	Prec< 0.25	14	Prec< 0.25	15	Prec< 0.25	14	Prec< 0.25	14	Prec< 0.25	15	Prec< 0.25	14	Prec< 0.25	14	Prec< 0.25		
	15	Tmn≥ 10.6	15	Tmn≥ 10.6	15	Tmn≥ 10.6	15	Tmn≥ 10.6	15	Tmn≥ 10.6	15	Tmn≥ 10.6	15	Tmn≥ 10.6	15	Tmn≥ 10.6	15	Tmn≥ 10.6		
Girona	1	Tmn≥ 13.4	2	RH≥ 62.9	2	Tmn≥ 11.4	2	Tmn≥ 11.4	2	Tmn≥ 11.4	2	Tmn≥ 11.4	2	Tmn≥ 11.4	2	Tmn≥ 11.4	2	Tmn≥ 11.4		
	4	4	4	4	4	4	4	4	4	4	4	4	4	4	4	4	4	4		
	8	8	8	8	8	8	8	8	8	8	8	8	8	8	8	8	8	8		
	9	9	9	9	9	9	9	9	9	9	9	9	9	9	9	9	9	9		
	5	Tmn≥ 14.6	5	Tmn≥ 14.6	5	Tmn≥ 14.6	5	Tmn≥ 14.6	5	Tmn≥ 14.6	5	Tmn≥ 14.6	5	Tmn≥ 14.6	5	Tmn≥ 14.6	5	Tmn≥ 14.6		
	10	10	10	10	10	10	10	10	10	10	10	10	10	10	10	10	10	10		
	11	RH< 60.4	11	RH< 60.4	11	RH< 60.4	11	RH< 60.4	11	RH< 60.4	11	RH< 60.4	11	RH< 60.4	11	RH< 60.4	11	RH< 60.4		
	3	Tmn< 4.95	3	Tmn< 17.6	3	Tmn< 17.6	3	Tmn< 17.6	3	Tmn< 17.6	3	Tmn< 17.6	3	Tmn< 17.6	3	Tmn< 17.6	3	Tmn< 17.6		
	6	Tmn< 18.9	6	Tmn< 4.55	6	Tmn< 4.55	6	Tmn< 4.55	6	Tmn< 4.55	6	Tmn< 4.55	6	Tmn< 4.55	6	Tmn< 4.55	6	Tmn< 4.55		
	12	12	12	12	12	12	12	12	12	12	12	12	12	12	12	12	12	12		
	13	RH≥ 70.1	13	RH≥ 86.8	13	RH≥ 86.8	13	RH≥ 86.8	13	RH≥ 86.8	13	RH≥ 86.8	13	RH≥ 86.8	13	RH≥ 86.8	13	RH≥ 86.8		
	7	RH≥ 74.9	7	RH≥ 74.4	7	RH≥ 74.4	7	RH≥ 74.4	7	RH≥ 74.4	7	RH≥ 74.4	7	RH≥ 74.4	7	RH≥ 74.4	7	RH≥ 74.4		
	14	Prec< 0.25	14	Prec< 0.25	14	Prec< 0.25	15	Prec< 0.25	14	Prec< 0.25	14	Prec< 0.25	15	Prec< 0.25	14	Prec< 0.25	14	Prec< 0.25		
	15	Tmn≥ 10.6	15	Tmn≥ 10.6	15	Tmn≥ 10.6	15	Tmn≥ 10.6	15	Tmn≥ 10.6	15	Tmn≥ 10.6	15	Tmn≥ 10.6	15	Tmn≥ 10.6	15	Tmn≥ 10.6		
Tarregaona	1	Tmn≥ 10.9	2	Tmn≥ 11.4	2	Tmn≥ 11.4	2	Tmn≥ 11.4	2	Tmn≥ 11.4	2	Tmn≥ 11.4	2	Tmn≥ 11.4	2	Tmn≥ 11.4	2	Tmn≥ 11.4		
	4	4	4	4	4	4	4	4	4	4	4	4	4	4	4	4	4	4		
	8	8	8	8	8	8	8	8	8	8	8	8	8	8	8	8	8	8		
	9	9	9	9	9	9	9	9	9	9	9	9	9	9	9	9	9	9		
	5	Tmn≥ 14.6	5	Tmn≥ 14.6	5	Tmn≥ 14.6	5	Tmn≥ 14.6	5	Tmn≥ 14.6	5	Tmn≥ 14.6	5	Tmn≥ 14.6	5	Tmn≥ 14.6	5	Tmn≥ 14.6		
	10	10	10	10	10	10	10	10	10	10	10	10	10	10	10	10	10	10		
	11	RH< 60.4	11	RH< 60.4	11	RH< 60.4	11	RH< 60.4	11	RH< 60.4	11	RH< 60.4	11	RH< 60.4	11	RH< 60.4	11	RH< 60.4		
	3	Tmn< 4.95	3	Tmn< 17.6	3	Tmn< 17.6	3	Tmn< 17.6	3	Tmn< 17.6	3	Tmn< 17.6	3	Tmn< 17.6	3	Tmn< 17.6	3	Tmn< 17.6		
	6	Tmn< 18.9	6	Tmn< 4.55	6	Tmn<														

3.B.1.4. Chenopodiaceae-Amaranthaceae

	Bajo	Medio	Alto	Umbral de concentración	Muy alto									
					Bajo	Medio	Alto	Umbral de concentración	Muy alto					
Barcelona	1 Tmax< 20.6 ψ 2	1 Tmax< 22.1 ψ 2	1 Tmax< 24.4 ψ 2	1 Tmax< 22.8 ψ 2	1 Tmax< 22.9 ψ 2	1 Tmax< 20.6 ψ 2	1 Tmax< 24.4 ψ 2	Tmax< 20.8 ψ 4	Tmax< 25.4 ψ 4					
	ψ 4	ψ 4	ψ 4	ψ 4	ψ 4	ψ 4	ψ 4	ψ 4	ψ 4					
	ψ 8	ψ 8	ψ 8	ψ 8	ψ 8	ψ 8	ψ 8	ψ 8	ψ 8					
	ψ 9	ψ 9	ψ 9	ψ 9	ψ 9	ψ 9	ψ 9	ψ 9	ψ 9					
	ψ 5	ψ 5	ψ 5	ψ 5	ψ 5	ψ 5	ψ 5	ψ 5	ψ 5					
	ψ 10	ψ 10	ψ 10											
	ψ 11	ψ 11	ψ 11											
	ψ 6	ψ 6	ψ 6	ψ 6	ψ 6	ψ 6	ψ 6	ψ 6	ψ 6					
	ψ 12	ψ 12	ψ 12											
	ψ 13	ψ 13	ψ 13											
	ψ 50.5	ψ 50.5	ψ 50.5											
	ψ 7	ψ 7	ψ 7	ψ 7	ψ 7	ψ 7	ψ 7	ψ 7	ψ 7					
	ψ 12_Prec< 0.05	ψ 12_Prec< 0.05	ψ 12_Prec< 0.05											
	ψ 14	ψ 14	ψ 14											
	ψ 15	ψ 15	ψ 15											
Maresma	3 RH< 64.3 ψ 6	3 RH< 64.3 ψ 6	3 RH< 64.3 ψ 6											
	ψ 11	ψ 11	ψ 11											
	ψ 10	ψ 10	ψ 10											
	ψ 11	ψ 11	ψ 11											
	ψ 12	ψ 12	ψ 12											
	ψ 13	ψ 13	ψ 13											
	ψ 5.9	ψ 5.9	ψ 5.9											
	ψ 10.2	ψ 10.2	ψ 10.2											
	ψ 11.1	ψ 11.1	ψ 11.1											
	ψ 12.2	ψ 12.2	ψ 12.2											
	ψ 13.2	ψ 13.2	ψ 13.2											
	ψ 14.2	ψ 14.2	ψ 14.2											
	ψ 15.1	ψ 15.1	ψ 15.1											
Reus-Tortosa	1 Tmax< 22.6 ψ 2	1 Tmax< 22.9 ψ 2	1 Tmax< 23.6 ψ 2	1 Tmax< 23.8 ψ 2	1 Tmax< 23.9 ψ 2	1 Tmax< 20.6 ψ 2	1 Tmax< 22.8 ψ 2	Tmax< 24.4 ψ 4	Tmax< 25.4 ψ 4					
	ψ 3	ψ 3	ψ 3	ψ 3	ψ 3	ψ 3	ψ 3	ψ 3	ψ 3					
	ψ 4	ψ 4	ψ 4	ψ 4	ψ 4	ψ 4	ψ 4	ψ 4	ψ 4					
	ψ 8	ψ 8	ψ 8	ψ 8	ψ 8	ψ 8	ψ 8	ψ 8	ψ 8					
	ψ 9	ψ 9	ψ 9	ψ 9	ψ 9	ψ 9	ψ 9	ψ 9	ψ 9					
	ψ 5	ψ 5	ψ 5	ψ 5	ψ 5	ψ 5	ψ 5	ψ 5	ψ 5					
	ψ 10	ψ 10	ψ 10											
	ψ 11	ψ 11	ψ 11											
	ψ 12	ψ 12	ψ 12											
	ψ 13	ψ 13	ψ 13											
	ψ 7	ψ 7	ψ 7	ψ 7	ψ 7	ψ 7	ψ 7	ψ 7	ψ 7					
	ψ 14	ψ 14	ψ 14											
	ψ 15	ψ 15	ψ 15											
Taragona	1 Tmax< 23.9 ψ 2	1 Tmax< 23.6 ψ 2	1 Tmax< 21.9 ψ 2	1 Tmax< 21.9 ψ 2	1 Tmax< 21.9 ψ 2	1 Tmax< 21.4 ψ 2	1 Tmax< 21.4 ψ 2	Tmax< 22.9 ψ 4	Tmax< 22.9 ψ 4					
	ψ 3	ψ 3	ψ 3	ψ 3	ψ 3	ψ 3	ψ 3	ψ 3	ψ 3					
	ψ 4	ψ 4	ψ 4	ψ 4	ψ 4	ψ 4	ψ 4	ψ 4	ψ 4					
	ψ 8	ψ 8	ψ 8	ψ 8	ψ 8	ψ 8	ψ 8	ψ 8	ψ 8					
	ψ 9	ψ 9	ψ 9	ψ 9	ψ 9	ψ 9	ψ 9	ψ 9	ψ 9					
	ψ 5	ψ 5	ψ 5	ψ 5	ψ 5	ψ 5	ψ 5	ψ 5	ψ 5					
	ψ 10	ψ 10	ψ 10											
	ψ 11	ψ 11	ψ 11											
	ψ 12	ψ 12	ψ 12											
	ψ 13	ψ 13	ψ 13											
	ψ 7	ψ 7	ψ 7	ψ 7	ψ 7	ψ 7	ψ 7	ψ 7	ψ 7					
	ψ 14	ψ 14	ψ 14											
	ψ 15	ψ 15	ψ 15											
Vilanova	1 Tmax< 22.4 ψ 2	1 Tmax< 25.2 ψ 2	Tmax< 22.4 ψ 4	Tmax< 22.4 ψ 4										
	ψ 4	ψ 4	ψ 4	ψ 4	ψ 4	ψ 4	ψ 4	ψ 4	ψ 4					
	ψ 8	ψ 8	ψ 8	ψ 8	ψ 8	ψ 8	ψ 8	ψ 8	ψ 8					
	ψ 9	ψ 9	ψ 9	ψ 9	ψ 9	ψ 9	ψ 9	ψ 9	ψ 9					
	ψ 5	ψ 5	ψ 5	ψ 5	ψ 5	ψ 5	ψ 5	ψ 5	ψ 5					
	ψ 10	ψ 10	ψ 10											
	ψ 11	ψ 11	ψ 11											
	ψ 12	ψ 12	ψ 12											
	ψ 13	ψ 13	ψ 13											
	ψ 7	ψ 7	ψ 7	ψ 7	ψ 7	ψ 7	ψ 7	ψ 7	ψ 7					
	ψ 14	ψ 14	ψ 14											
	ψ 15	ψ 15	ψ 15											
Lleida	3 Tmin< 9.95 ψ 3	3 Tmin< 11.1 ψ 3	3 RH< 65.2 ψ 6	3 RH< 65.2 ψ 6	Tmin< 11.9 ψ 10	Tmin< 11.9 ψ 10								
	ψ 4	ψ 4	ψ 4	ψ 4	ψ 4	ψ 4	ψ 4	ψ 4	ψ 4					
	ψ 8	ψ 8	ψ 8	ψ 8	ψ 8	ψ 8	ψ 8	ψ 8	ψ 8					
	ψ 9	ψ 9	ψ 9	ψ 9	ψ 9	ψ 9	ψ 9	ψ 9	ψ 9					
	ψ 5	ψ 5	ψ 5	ψ 5	ψ 5	ψ 5	ψ 5	ψ 5	ψ 5					
	ψ 10	ψ 10	ψ 10											
	ψ 11	ψ 11	ψ 11											
	ψ 12	ψ 12	ψ 12											
	ψ 13	ψ 13	ψ 13											
	ψ 7	ψ 7	ψ 7	ψ 7	ψ 7	ψ 7	ψ 7	ψ 7	ψ 7					
	ψ 14	ψ 14	ψ 14											
	ψ 15	ψ 15	ψ 15											

3.B.1.5. Poaceae

3.B.1.6. Urticaceae

	Umbral de concentración		Bajo	Medio	Alto	Umbral de concentración	Bajo	Medio	Alto	Umbral de concentración	Bajo	Medio	Alto	Umbral de concentración	Bajo	Medio	Alto
	Muy bajo	Bajo															
Barcelona	1 Tmax< 13.9 ψ 2 Tmax< 11.1 ψ 4	1 Tmax< 15.9 ψ 2	1 Tmax< 15.9 ψ 2	1 Tmax< 15.9 ψ 2	1 Tmax< 15.9 ψ 2	1 Tmax< 15.9 ψ 2	1 Tmax< 15.9 ψ 2	1 Tmax< 15.9 ψ 2	1 Tmax< 15.9 ψ 2	1 Tmax< 15.9 ψ 2	1 Tmax< 15.9 ψ 2	1 Tmax< 15.9 ψ 2	1 Tmax< 15.9 ψ 2	1 Tmax< 15.9 ψ 2	1 Tmax< 15.9 ψ 2	1 Tmax< 15.9 ψ 2	1 Tmax< 15.9 ψ 2
Elchea	1 Tmax< 18.6 ψ 2 Tmax< 14.9 ψ 4	1 Tmax< 19.9 ψ 2 Tmax< 18.2 ψ 4	1 Tmax< 20.1 ψ 2														
Girona	1 Tmax< 18.6 ψ 2 Tmax< 14.9 ψ 4	1 Tmax< 19.9 ψ 2 Tmax< 16.7 ψ 8	1 Tmax< 20.1 ψ 2														
Lleida	1 Tmax< 18.4 ψ 2	1 Tmax< 22.2 ψ 2	1 Tmax< 22.4 ψ 2	1 Tmax< 22.4 ψ 2	1 Tmax< 22.4 ψ 2	1 Tmax< 22.4 ψ 2	1 Tmax< 22.4 ψ 2	1 Tmax< 22.4 ψ 2	1 Tmax< 22.4 ψ 2	1 Tmax< 22.4 ψ 2	1 Tmax< 22.4 ψ 2	1 Tmax< 22.4 ψ 2	1 Tmax< 22.4 ψ 2	1 Tmax< 22.4 ψ 2	1 Tmax< 22.4 ψ 2	1 Tmax< 22.4 ψ 2	1 Tmax< 22.4 ψ 2
Maresma	1 Tmax< 16.6 ψ 2 Tmax< 13.9 ψ 4	1 Tmax< 17.9 ψ 2	1 Tmax< 17.9 ψ 2	1 Tmax< 17.9 ψ 2	1 Tmax< 17.9 ψ 2	1 Tmax< 17.9 ψ 2	1 Tmax< 17.9 ψ 2	1 Tmax< 17.9 ψ 2	1 Tmax< 17.9 ψ 2	1 Tmax< 17.9 ψ 2	1 Tmax< 17.9 ψ 2	1 Tmax< 17.9 ψ 2	1 Tmax< 17.9 ψ 2	1 Tmax< 17.9 ψ 2	1 Tmax< 17.9 ψ 2	1 Tmax< 17.9 ψ 2	1 Tmax< 17.9 ψ 2
Poblet-Torosa	1 Tmax< 18.4 ψ 2 Tmax< 15.1 ψ 4	1 Tmax< 18.4 ψ 2 Tmax< 15.1 ψ 4	1 Tmax< 18.4 ψ 2														
Taragona	1 Tmax< 16.6 ψ 2 Tmax< 13.9 ψ 4	1 Tmax< 17.9 ψ 2	1 Tmax< 17.9 ψ 2	1 Tmax< 17.9 ψ 2	1 Tmax< 17.9 ψ 2	1 Tmax< 17.9 ψ 2	1 Tmax< 17.9 ψ 2	1 Tmax< 17.9 ψ 2	1 Tmax< 17.9 ψ 2	1 Tmax< 17.9 ψ 2	1 Tmax< 17.9 ψ 2	1 Tmax< 17.9 ψ 2	1 Tmax< 17.9 ψ 2	1 Tmax< 17.9 ψ 2	1 Tmax< 17.9 ψ 2	1 Tmax< 17.9 ψ 2	1 Tmax< 17.9 ψ 2
Vilanova	1 Tmax< 16.6 ψ 2 Tmax< 13.9 ψ 4	1 Tmax< 17.9 ψ 2	1 Tmax< 17.9 ψ 2	1 Tmax< 17.9 ψ 2	1 Tmax< 17.9 ψ 2	1 Tmax< 17.9 ψ 2	1 Tmax< 17.9 ψ 2	1 Tmax< 17.9 ψ 2	1 Tmax< 17.9 ψ 2	1 Tmax< 17.9 ψ 2	1 Tmax< 17.9 ψ 2	1 Tmax< 17.9 ψ 2	1 Tmax< 17.9 ψ 2	1 Tmax< 17.9 ψ 2	1 Tmax< 17.9 ψ 2	1 Tmax< 17.9 ψ 2	1 Tmax< 17.9 ψ 2

3.B.2. Esporas de hongos

3.B.2.1. *Leptosphaeria*

Bajo		Medio		Alto		Muy alto	
Umbral de concentración				Bajo			
1 Il_Prec< 0.05		1 Prec< 0.05		1 Prec< 0.25		1 Prec< 0.25	
2 Prec< 0.25		2 Il_Prec< 0.25		2 Il_Prec< 0.5		2 Il_Prec< 0.5	
4 Trin< 6.95		4		4		4	
8		8		8		8	
9 12_Prec< 0.00		9		9 RH< 83.3		9 12_Prec< 0.5	
5 Trin< 2.3		5		5 Trin< 6.55		5 Trin< 5.55	
10		10		10 Trin< 12.4		10 Trin< 4.75	
11 Prec< 5.55		11		11 Il_Prec< 1.5		11 Il_Prec< 3.95	
3 Il_Prec< 1.25		3		3 Trin< 5.55		3 Trin< -0.1	
6 Trin< 3.15		6		6 Il_Prec< 6.5		6 Il_Prec< 5.55	
12		12		12 Il_Prec< 0.3		12 Il_Prec< 0.15	
13		13		13 Trin< 6.05		13 Trin< 90.1	
7 Trin< 18.6		7		7 Prec< 3.05		7 Trin< 2.55	
14		14		14 Trin< 8.85		14 Trin< 15.4	
15 Trin< 16.2		15		15 Trin< 10.6		15 Trin< 88.5	
1 Prec< 0.15		1 Prec< 0.35		1 Prec< 0.5		1 Prec< 0.35	
2 Il_Prec< 0.35		2 Il_Prec< 0.25		2 Il_Prec< 0.5		2 Il_Prec< 2.45	
4 Trin< 4.45		4		4 Trin< 0.5		4 Il_Prec< 1.05	
8		8		8		8 Trin< 8.35	
9 12_Prec< 0.25		9		9 Trin< 79.4		9 RH< 47.5	
5		5		5 Trin< 5.05		5	
10		10		10 Il_Prec< 0.85		10	
11		11		11 Trin< 28.1		11 RH< 65.3	
3 Trin< 0.45		3		3 Trin< 1.95		3 Trin< 10.1	
6 Prec< 6.68		6		6 Prec< 6.9		6 Trin< 9.1	
12		12		12		12	
13		13		13 Prec< 15.2		13 Trin< 12.4	
7 Prec< 0.95		7		7 Prec< 1.05		7 Trin< 12.9	
14 Il_Prec< 0.35		14		14 Il_Prec< 0.45		14 Il_Prec< 77.5	
15		15		15 Trin< 89.2		15	
1 Prec< 0.15		1 Prec< 0.25		1 Prec< 0.25		1 Prec< 0.25	
2 Trin< 5.05		2 Il_Prec< 0.55		2 Il_Prec< 1.25		2 Il_Prec< 0.85	
4 Trin< 5.05		4		4 Trin< 5.25		4 Trin< 5.15	
8		8		8		8 Trin< 6.85	
9 RH< 67.3		9		9 12_Prec< 2.15		9 Trin< 11.2	
5 Trin< 0.05		5		5 Trin< 7.95		5 Trin< 20.8	
10 Trin< 28.6		10		10 Il_Prec< 0.65		10	
11 Trin< 19.6		11		11 Trin< 15.4		11 Trin< 13.4	
3 Prec< 3.95		3		3 Trin< 7.81		3 Trin< 7.05	
6 Trin< 17.2		6		6 RH< 81.8		6 Trin< 17.2	
12 Trin< 14.1		12		12		12	
13 12_Prec< 15.2		13		13 Il_Prec< 0.15		13 Trin< 3.35	
7 Prec< 2.41		7		7 Trin< 2.41		7 Trin< 2.05	
14 Il_Prec< 1.7		14		14 Trin< 19.9		14 B_Prec< 2.25	
15 RH< 64.1		15		15 D_Prec< 27.8		15	
1 Prec< 0.25		1 Prec< 0.25		1 Prec< 0.25		1 Prec< 0.25	
2 Il_Prec< 0.35		2		2 Il_Prec< 0.35		2 Il_Prec< 0.35	
4 Trin< 1.9		4		4 RH< 63.8		4 RH< 67.2	
8		8		8 D_Prec< 1.45		8	
9 RH< 67.3		9		9 Trin< 3.55		9 Trin< 5.5	
5 Trin< 14.1		5		5 Il_Prec< 5.3		5 Il_Prec< 5.3	
10 Trin< 14.8		10		10 Trin< 4.05		10 Trin< 67.7	
11		11		11 RH< 64.8		11 Trin< 25.1	
3 Prec< 3.45		3		3 Prec< 1.85		3 Prec< 1.05	
6 Trin< 0.65		6		6 Il_Prec< 0.25		6 Il_Prec< 0.05	
12 Trin< 0.35		12		12 Trin< 8.35		12 Trin< 6.98	
13 B_Prec< 0.25		13		13 Trin< 0.6		13 RH< 65.2	
7 Trin< 4.2		7		7 Trin< 4.1		7 Trin< 6.15	
14 Trin< 2.72		14		14 Trin< 2.72		14 Trin< 67.7	
15 Trin< 1.5		15		15 Trin< 1.5		15 Trin< 5.9	
1 Trin< 4.05		1 Trin< 2.25		1 Trin< 4.05		1 Trin< 3.95	
2 Il_Prec< 2.5		2		2 Trin< -0.5		2 Trin< 2.05	
4		4		4		4	
8		8		8		8	
9		9		9		9	
5		5		5		5	
10		10		10		10	
11		11		11		11	
3 Prec< 0.05		3		3 Prec< 0.05		3 Prec< 0.05	
6 Il_Prec< 0.25		6		6 Il_Prec< 0.25		6 Il_Prec< 0.25	
12 Trin< 1.25		12		12 Trin< 1.25		12 Trin< 1.25	
13 RH< 68.5		13		13 RH< 68.5		13 RH< 68.5	
7 RH< 77.2		7		7 RH< 77.2		7 RH< 77.2	
14 Trin< 13.1		14		14 Trin< 13.1		14 Trin< 13.1	
15 Trin< 1.26		15		15 Trin< 1.26		15 Trin< 1.26	

3.B.2.2. Pleospora

Umbrales de concentración	Medio	Bajo		Alto		Muy alto	
		1 Il. Prec< 0.00	2 Il. Prec< 0.45	1 Il. Prec< 0.00	2 Il. Prec< 0.35	1 Il. Prec< 0.00	2 Il. Prec< 0.35
1 Il. Prec< 0.00	1 Il. Prec< 0.00	ψ 1 Il. Prec< 0.00	ψ 2 Il. Prec< 0.45	ψ 1 Il. Prec< 0.00	ψ 2 Il. Prec< 0.35	ψ 1 Il. Prec< 0.00	ψ 2 Il. Prec< 0.35
ψ 2 Il. Prec< 0.00	ψ 2 Il. Prec< 0.45	ψ 4 Il. Prec< 16.4	ψ 4 Il. Prec< 29.2	ψ 4 Il. Prec< 0.05	ψ 2 Il. Prec< 0.05	ψ 2 Il. Prec< 0.05	ψ 4 Il. Prec< 0.05
ψ 4 Il. Prec< 16.6	ψ 8 Il. Prec< 13.7	ψ 9 Trmax< 13.9	ψ 9 Trmax< 11.9	ψ 9 Trmax< 29.1	ψ 4 RH< 48.2	ψ 8 Trmax< 28.1	ψ 4 Trmax< 23.6
ψ 8 Il. Prec< 13.7	ψ 5 Trmax< 11.9	ψ 10 Trmax< 11.6	ψ 11 Trmax< 7.05	ψ 9 Trmax< 14.2	ψ 12 Trmax< 38.5	ψ 9 Trmax< 1.6	ψ 11 Trmax< 20.1
ψ 10 Trmax< 10.5	ψ 11 Trmax< 15.6	ψ 11 Trmax< 15.1	ψ 3 Trmax< 10.9	ψ 11 Trmax< 10.6	ψ 10 Trmax< 90.5	ψ 10 RH< 45.5	ψ 11 Trmax< 19.6
ψ 11 Trmax< 16.6	ψ 6 RH< 69.2	ψ 6 Trmax< 19.6	ψ 6 Trmax< 24.2	ψ 6 Trmax< 95.7	ψ 3 Trmax< 0.55	ψ 3 Trmax< 0.55	ψ 3 Trmax< 3.55
ψ 6 RH< 72.1	ψ 12 RH< 22.6	ψ 12 Trmax< 13.0	ψ 13 Trmax< 12.6	ψ 13 Trmax< 10.9	ψ 12 Trmax< 3.6	ψ 12 Trmax< 5.3	ψ 6 Trmax< -0.9
ψ 13 Trmax< 0.1	ψ 7 Trmax< 1.26	ψ 7 Trmax< 0.25	ψ 7 Trmax< 0.05	ψ 7 Trmax< 20.8	ψ 7 Trmax< 43.1	ψ 13 Trmax< 8.25	ψ 13 Trmax< 1.45
ψ 14 Trmax< 61.2	ψ 15 Trmax< 0.25	ψ 14 Trmax< 18.9	ψ 15 Trmax< 77.2	ψ 14 Trmax< 0.65	ψ 14 Trmax< 14	ψ 14 RH< 46.7	ψ 15 RH< 54.2
1 Il. Prec< 0.35	ψ 2 Il. Prec< 0.35	ψ 2 Il. Prec< 0.35	ψ 2 Il. Prec< 0.35	ψ 2 Il. Prec< 0.35	ψ 2 Il. Prec< 0.35	ψ 2 Il. Prec< 0.35	ψ 2 Il. Prec< 0.35
ψ 4 Il. Prec< 27.1	ψ 8 Prec< 0.15	ψ 8 Trmax< 28.6	ψ 4 Trmax< 27.8	ψ 4 Trmax< 17.3	ψ 4 Trmax< 1.35	ψ 4 Trmax< 0.05	ψ 4 Trmax< 0.85
ψ 8 Prec< 0.15	ψ 9 Trmax< 3.55	ψ 9 Trmin< 4.35	ψ 8 Trmax< 9	ψ 8 Trmax< 0.00	ψ 8 Trmax< 12.8	ψ 8 Trmax< 0.00	ψ 8 Trmax< 0.00
ψ 9 Trmax< 1.6	ψ 5 Trmax< 0.35	ψ 5 Trmax< 15.1	ψ 5 Trmax< 29.2	ψ 5 Trmax< 78.9	ψ 5 Trmax< 0.05	ψ 5 Trmax< 18.1	ψ 5 Trmax< 22.5
ψ 10 Il. Prec< 2.79	ψ 11 Trmax< 29.8	ψ 10 Il. Prec< 23.6	ψ 10 Trmax< 3.25	ψ 10 Trmax< 8.6	ψ 10 Trmax< 57.5	ψ 10 RH< 57.5	ψ 10 Il. Prec< 10.2
ψ 11 Trmax< 7.25	ψ 3 Trmax< 6.85	ψ 3 Trmax< 28.4	ψ 3 Trmax< 15.4	ψ 3 Trmax< 2.21	ψ 3 Trmax< 2.85	ψ 11 Il. Prec< 5.1	ψ 3 Trmax< 6.45
ψ 6 Trmax< 1.05	ψ 6 Trmax< 1.05	ψ 6 Trmax< 1.05	ψ 6 Trmax< 8.25	ψ 6 Trmax< 6	ψ 6 Trmax< 0.15	ψ 6 Trmax< 2.4	ψ 6 Trmax< 2.85
ψ 12 Trmax< 0.02	ψ 12 Trmax< 0.02	ψ 12 Trmax< 0.02	ψ 12 Trmax< 14.6	ψ 12 Trmax< 12	ψ 12 Trmax< 12	ψ 13 Trmax< 73.5	ψ 13 Trmax< 10.7
ψ 13 Trmax< 0.02	ψ 7 Prec< 2.35	ψ 7 Prec< 2.35	ψ 7 Prec< 2.25	ψ 7 Prec< 0.55	ψ 7 Prec< 0.55	ψ 7 Trmax< 7.5	ψ 7 Trmax< 10.9
ψ 14 Il. Prec< 0.25	ψ 14 Il. Prec< 0.25	ψ 14 Il. Prec< 85.5	ψ 14 Il. Prec< 18.1	ψ 14 Trmax< 89.9	ψ 14 Trmax< 16.6	ψ 14 Trmax< 14	ψ 14 B. Prec< 3.2
ψ 15 Trmax< 0.95	ψ 15 Trmax< 0.95	ψ 15 Trmax< 0.95	ψ 15 B. Prec< 0.95	ψ 15 Trmax< 0.95	ψ 15 Trmax< 0.95	ψ 15 Trmax< 1.75	ψ 15 Trmax< 1.75
1 Il. Prec< 0.05	1 Il. Prec< 0.05	1 Il. Prec< 0.05	1 Il. Prec< 0.35	1 Il. Prec< 0.05	1 Il. Prec< 0.35	1 Il. Prec< 0.35	1 Il. Prec< 0.25
ψ 2 Il. Prec< 0.05	ψ 4 Il. Prec< 0.05	ψ 4 Il. Prec< 0.05	ψ 2 Il. Prec< 0.15	ψ 2 Il. Prec< 0.15	ψ 2 Il. Prec< 0.15	ψ 2 Il. Prec< 0.15	ψ 2 Il. Prec< 0.25
ψ 4 Il. Prec< 0.05	ψ 8 Trmax< 14.1	ψ 8 Trmax< 13.7	ψ 8 Trmax< 7.3	ψ 4 Trmax< 3.75	ψ 4 Trmax< 1.65	ψ 4 Trmax< 0.05	ψ 4 Trmax< 0.4
ψ 8 Trmax< 13.7	ψ 9 D. Prec< 0.25	ψ 9 D. Prec< 0.25	ψ 8 Trmax< 8	ψ 8 Trmax< 8	ψ 8 Trmax< 0.05	ψ 8 Trmax< 0.05	ψ 8 Trmax< 0.05
ψ 9 D. Prec< 0.25	ψ 5 Trmax< 2.85	ψ 5 Trmax< 1.85	ψ 5 Trmax< 4.45	ψ 9 Trmax< 25.2	ψ 9 Trmax< 0.05	ψ 9 Trmax< 1.65	ψ 9 Trmax< 1.65
ψ 5 Trmax< 2.85	ψ 10 Trmax< 17.6	ψ 10 Trmax< 17.6	ψ 10 Trmax< 11.0	ψ 10 Trmax< 10.0	ψ 10 Trmax< 26.9	ψ 10 Trmax< 7.5	ψ 10 Trmax< 3.3
ψ 10 Trmax< 17.6	ψ 11 D. Prec< 13.7	ψ 11 D. Prec< 13.7	ψ 11 Trmax< 1.95	ψ 11 Il. Prec< 0.05	ψ 11 Trmax< 4.65	ψ 11 Trmax< 6.45	ψ 11 Trmax< 11.6
ψ 11 D. Prec< 13.7	ψ 3 Trmax< 3.05	ψ 3 Trmax< 3.15	ψ 3 Trmax< 5.15	ψ 3 Trmax< 12.6	ψ 3 Trmax< 0.45	ψ 3 Trmax< 0.85	ψ 3 Trmax< 0.05
ψ 6 Trmax< 0.95	ψ 6 Trmax< 1.3	ψ 12 Il. Prec< 1.65	ψ 12 Il. Prec< 1.65	ψ 6 Trmax< 9.93	ψ 6 Trmax< 0.25	ψ 6 Trmax< 88.6	ψ 6 Trmax< 6.45
ψ 12 Il. Prec< 3.65	ψ 13 Il. Prec< 0.05	ψ 13 Il. Prec< 0.05	ψ 13 Il. Prec< 1.61	ψ 12 Trmax< 2.40	ψ 12 Trmax< 2.40	ψ 12 Trmax< 86.9	ψ 12 Trmax< 6.05
ψ 13 Il. Prec< 0.05	ψ 7 Trmax< 1.05	ψ 7 Trmax< 1.05	ψ 7 Trmax< 1.05	ψ 7 Trmax< 19.2	ψ 7 Trmax< 26.2	ψ 7 Trmax< 21.1	ψ 13 Trmax< 4.9
ψ 7 Trmax< 1.05	ψ 14 Il. Prec< 0.9	ψ 14 Il. Prec< 0.9	ψ 14 Il. Prec< 17.2	ψ 14 Trmax< 17.2	ψ 14 Trmax< 7.3	ψ 14 Trmax< 27.6	ψ 14 RH< 69.8
ψ 14 Il. Prec< 0.9	ψ 15 D. Prec< 17.8	ψ 15 D. Prec< 17.8	ψ 15 Trmax< 12.4	ψ 15 Trmax< 14.2	ψ 15 RH< 67.3	ψ 15 Trmax< 17.1	ψ 15 Trmax< 19.6
1 Il. Prec< 0.25	1 Il. Prec< 0.25	1 Il. Prec< 0.25	1 Il. Prec< 0.35	1 Il. Prec< 0.25	1 Il. Prec< 0.25	1 Il. Prec< 0.25	1 Il. Prec< 0.25
ψ 2 Il. Prec< 0.25	ψ 4 Trmax< 5.55	ψ 4 Trmax< 29.2	ψ 4 Trmax< 23.8	ψ 4 Trmax< 23.6	ψ 4 Trmax< 2.45	ψ 4 Trmax< 0.05	ψ 4 Trmax< 0.4
ψ 4 Trmax< 5.55	ψ 8 Trmax< 24.1	ψ 9 Trmax< 8.05	ψ 8 Trmax< 1.95	ψ 8 Trmax< 1.95	ψ 8 Trmax< 1.95	ψ 8 Trmax< 1.95	ψ 8 Trmax< 1.95
ψ 9 Trmax< 24.1	ψ 5 Trmax< 0.1	ψ 5 Trmax< 4.45	ψ 5 Trmax< 1.45	ψ 5 Trmax< 1.45	ψ 5 Trmax< 8.95	ψ 5 Trmax< 0.85	ψ 5 Trmax< 0.85
ψ 10 RH< 81.5	ψ 11 Trmax< 3.55	ψ 10 Trmax< 4.45	ψ 10 Trmax< 2.47	ψ 10 Trmax< 2.47	ψ 10 Trmax< 79.2	ψ 10 Trmax< 29.9	ψ 10 Trmax< 29.9
ψ 11 Trmax< 3.55	ψ 3 Trmax< 7.15	ψ 3 Trmax< 9.95	ψ 3 Trmax< 9.5	ψ 3 Trmax< 9.5	ψ 3 Trmax< 0.05	ψ 3 Trmax< 12.25	ψ 3 Trmax< 2.95
ψ 3 Trmax< 9.95	ψ 6 Prec< 0.7	ψ 6 Prec< 0.7	ψ 6 Trmax< 3.3	ψ 6 Trmax< 2.25	ψ 6 Trmax< 0.05	ψ 6 Trmax< 0.75	ψ 6 Trmax< 9.75
ψ 6 Prec< 0.7	ψ 12 Trmax< 7.8	ψ 13 Trmax< 17.1	ψ 13 Trmax< 1.3	ψ 12 Trmax< 2.25	ψ 12 Trmax< 2.25	ψ 12 Trmax< 2.25	ψ 12 Trmax< 12.1
ψ 13 Trmax< 17.1	ψ 7 Trmax< 1.1	ψ 7 Trmax< 0.15	ψ 7 Trmax< 0.15	ψ 7 Trmax< 7.7	ψ 7 Trmax< 7.7	ψ 7 Trmax< 7.7	ψ 7 Trmax< 24.1
ψ 7 Trmax< 0.15	ψ 14 Prec< 4.1	ψ 14 Prec< 4.1	ψ 14 Prec< 4.1	ψ 14 Prec< 7.35	ψ 14 Prec< 10.1	ψ 14 Prec< 10.1	ψ 14 Trmax< 9.75
ψ 14 Prec< 4.1	ψ 15 Trmax< 5.05	ψ 15 Trmax< 5.05	ψ 15 Trmax< 5.05	ψ 15 Trmax< 13.1	ψ 15 Trmax< 13.1	ψ 15 Trmax< 13.1	ψ 15 Trmax< 11.1

3.B.2.3. Agaricus

	Bajo	Medio	Alto	Umbrales de concentración		Bajo	Medio	Alto	Umbrales de concentración	Bajo	Medio	Alto	Umbrales de concentración
				Muy bajo	Muy alto								
Barcelona	1 $T_{min} < 10.4$ 2 $T_{max} < 6.95$ 4 5 $RH < 75.3$ 6 $T_{max} \geq 11.15$ 7 $T_{min} > 18.6$ 10 $T_{max} < 24.9$ 13 $T_{max} \geq 19.2$ 14 $T_{max} \geq 22.1$	1 $T_{min} < 6.95$ 2 4 5 6 $T_{max} \geq 27.1$ 7 $T_{min} < 11.2$ 10 12 13 14 $T_{max} \geq 21.9$ 15 $T_{max} \geq 22.1$	1 $T_{min} < 1.1$ 2 $T_{min} < 1.25$ 4 5 6 $T_{max} \geq 14.9$ 7 $T_{min} < 11.2$ 10 11 12 13 14 $T_{max} \geq 5.25$ 15 $Prec \geq 1.05$	1 $T_{min} < 17.9$ 2 4 5 6 $RH < 66.8$ 7 $T_{max} < 70.5$ 8 9 10 11 $T_{min} < 14.9$ 12 13 14 $T_{max} < 2.01$ 15 $T_{max} < 20.1$	1 $T_{min} < 17.4$ 2 4 5 6 $RH < 61.2$ 7 $RH < 55.8$ 8 9 10 11 $T_{min} < 9.95$ 12 13 14 $T_{max} < 1.6$ 15 $RH < 72.5$	1 $T_{min} < 17.4$ 2 4 5 6 $RH < 64.5$ 7 $RH < 62.5$ 8 9 10 11 $T_{min} < 17.1$ 12 13 14 $T_{min} < 9.1$ 15 $RH < 72.5$	1 $T_{min} < 6.75$ 2 $T_{min} < 1.45$ 4 5 6 $RH < 68.5$						
Marresa	3 $T_{max} < 27.1$ 6 $T_{max} \geq 32.5$ 7 $T_{min} < 18.6$ 10 $T_{max} < 99.9$ 11 $B_Prec \geq 1.15$ 12 13 14 $T_{max} < 24.9$ 15 $T_{max} \geq 22.1$	3 $T_{max} \geq 32.6$ 6 7 $T_{min} < 11.2$ 10 12 13 14 15 $Prec \geq 1.05$	3 $T_{max} < 26.6$ 6 7 $T_{min} < 11.2$ 10 12 13 14 15 $Prec \geq 1.05$	3 $RH < 70.5$ 6 $RH < 46.8$ 7 $T_{min} < 20.1$ 10 12 13 14 15 $T_{max} < 20.1$	3 $RH < 72.5$ 6 7 $Prec \geq 0.75$ 10 12 13 14 15 $T_{max} < 16.9$	3 $RH < 64.5$ 6 7 $Prec \geq 0.15$ 10 12 13 14 15 $T_{max} < 15.8$	3 $RH < 62.5$ 6 7 $Prec \geq 0.15$ 10 12 13 14 15 $T_{max} < 15.8$						
Ellerera	3 $T_{max} \geq 31.2$ 6 $RH < 10.7$ 12 13 14 $T_{min} < 15.9$ 15 $RH < 71.1$	3 $RH < 68.8$ 6 $T_{min} \geq 12.9$ 12 13 14 15 $RH < 51.3$	3 $T_{max} \geq 15.1$ 5 6 $T_{min} < 14.2$ 10 11 12 13 14 15 $RH < 95.6$	3 $RH < 68.5$ 5 6 $T_{min} < 27.9$ 10 11 12 13 14 15 $Prec \geq 0.15$	3 $RH < 68.5$ 5 6 $T_{min} < 4.45$ 10 11 12 13 14 15 $T_{max} \geq 7.2$	3 $RH < 75.5$ 6 7 $Prec \geq 0.05$ 10 11 12 13 14 15 $T_{max} < 17.6$	3 $RH < 75.5$ 6 7 $Prec \geq 0.05$ 10 11 12 13 14 15 $T_{max} < 16.9$						
Revoltes-Torosa	3 $RH < 51.5$ 6 $RH < 1.65$ 12 13 14 $T_{min} < 11.6$ 15 $RH < 80.9$	3 $RH < 51.5$ 6 $RH < 95.6$ 12 13 14 15 $RH < 96.9$	3 $RH < 71.1$ 6 7 $Prec \geq 0.35$ 12 13 14 15 $RH < 80.6$	3 $RH < 71.1$ 6 7 $Prec \geq 0.4$ 12 13 14 15 $RH < 85.9$	3 $RH < 71.1$ 6 7 $Prec \geq 0.45$ 12 13 14 15 $RH < 75.5$	3 $RH < 75.5$ 6 7 $Prec \geq 0.05$ 12 13 14 15 $T_{max} < 21.6$	3 $RH < 75.5$ 6 7 $Prec \geq 0.05$ 12 13 14 15 $T_{max} < 22.1$						
Teragona	1 $T_{min} < 18.6$ 2 $RH < 49.1$ 4 5 $RH < 91.4$ 10 $T_{max} < 16.2$ 11 $RH < 67.1$ 13 $T_{min} \geq 18.9$ 16 $RH \geq 70.2$ 17 $Prec < 0.95$ 18 $T_{max} \geq 35.9$ 19 $RH < 63.6$ 20 $Prec \geq 0.15$ 21 $RH < 89.9$	1 $T_{min} < 18.6$ 2 $RH < 64.2$ 4 5 $RH < 56.5$ 6 $T_{min} < 12.6$ 7 $T_{max} < -1.1$ 8 $T_{min} \geq 7.7$ 9 $RH < 61.4$ 10 $T_{min} < 21.9$ 11 $T_{max} \geq 15.6$ 12 13 14 15 $RH < 0.05$	1 $T_{min} < 18.6$ 2 $RH < 64.3$ 4 5 $RH < 56.5$ 6 $T_{min} < 12.6$ 7 $T_{max} < -1.1$ 8 $T_{min} \geq 7.7$ 9 $RH < 61.4$ 10 $T_{min} < 21.4$ 11 $T_{max} \geq 19.6$ 12 13 14 15 $RH < 0.05$	1 $T_{min} < 19.9$ 2 4 5 6 $T_{min} < 64.3$ 7 8 9 10 11 $RH < 77.2$ 12 13 14 15 $RH < 78.3$	1 $T_{min} < 19.9$ 2 4 5 6 $T_{min} < 6.15$ 7 8 9 10 11 $RH < 82.8$ 12 13 14 15 $RH < 82.8$	1 $T_{min} < 15.9$ 2 4 5 6 $T_{min} < 12.3$ 7 8 9 10 11 $RH < 83.8$ 12 13 14 15 $T_{max} < 18.4$	1 $T_{min} < 82.8$ 2 4 5 6 $RH < 67.3$ 7 8 9 10 11 $RH < 72.1$ 12 13 14 15 $T_{max} < 9.2$						
Lleida	1 $T_{min} < 3.85$ 2 $T_{max} < 15.6$ 4 $T_{min} < -0.1$ 5 $T_{min} < 1.15$ 6 $RH < 0.15$ 7 $RH < 63.6$ 8 $Prec \geq 0.15$ 9 $T_{max} < 1.3$ 10 $RH < 20.4$ 11 $T_{max} < 16.7$ 12 $T_{min} < 10.1$ 13 $T_{max} < 37.5$ 14 $T_{max} < 21.6$ 15 $Prec \geq 0.15$	1 $T_{min} < 3.75$ 2 4 5 6 $T_{min} < 1.85$ 7 8 9 10 11 $T_{min} \geq 2.55$ 12 13 14 15 $RH < 0.05$	1 $T_{min} < 3.75$ 2 4 5 6 $RH < 60.1$ 7 8 9 10 11 $RH < 59.6$ 12 13 14 15 $RH < 10.4$	1 $T_{min} < 3.25$ 2 4 5 6 $T_{min} < 1.55$ 7 8 9 10 11 $RH < 61.3$ 12 13 14 15 $RH < 88.5$	1 $T_{min} < 4.65$ 2 4 5 6 $B_Prec \geq 0.1$ 7 8 9 10 11 $B_Prec \geq 3.1$ 12 13 14 15 $T_{max} < 19.6$	1 $T_{min} < 8.28$ 2 4 5 6 $T_{min} < 1.55$ 7 8 9 10 11 $B_Prec \geq 12.3$ 12 13 14 15 $T_{max} < 18.4$	1 $T_{min} < 8.28$ 2 4 5 6 $RH < 67.3$ 7 8 9 10 11 $RH < 72.1$ 12 13 14 15 $T_{max} < 9.2$						

3.B.2.4. *Ganoderma*

3.B.2.5. *Alternaria*

	Bajo	Medio	Alto	Umbrales de concentración		Medio	Alto	Muy alto						
				1 Trmn< 11.4	1 Trmn< 20.9	1 Trmn< 21.9	2 Trmn< 15.9	4	1 Trmn< 17.4	2 Trmn< 17.4	4	1 Trmn< 22.1	2 Trmn< 17.4	4
Barcelona	1 Trmn< 16.6			1 Trmn< 11.4		1 Trmn< 20.9		4	2 Trmn< 15.9		4	1 Trmn< 17.4		4
	2 RH≥ 75.5			2 RH≥ 75.9		2 RH≥ 75.9		4	2 Trmn< 15.9		4	1 Trmn< 17.4		4
	4 Trmn< 11.9			4 Trmn< 11.1		4 Trmn< 11.1		8	4 Trmn< 11.1		8	4 Trmn< 11.1		8
	8 RH≥ 95.3			8 RH≥ 88.1		8 RH≥ 88.1		9	8 Trmn< 11.6		9	8 Trmn< 11.6		9
	9 RH≥ 88.1			5 Trmn< 12.8		5 Trmn< 16.1		5	5 Trmn< 11.1		5	5 Trmn< 11.1		5
	10 RH≥ 52.4			10 RH≥ 58.6		10 RH≥ 58.6		10	10 RH≥ 58.6		10	10 RH≥ 69.3		10
	3 Trmn< 11.4			11 II_Prec< 0.00		11 II_Prec< 0.00		11	11 Trmn< 74.3		11	11 Trmn< -0.2		11
	6 RH≥ 84.7			3 Trmn< 14.9		3 Trmn< 14.4		3	3 Trmn< 14.8		3	3 Trmn< 9.55		3
	12 Trmn< 19.1			6 11_Prec< 9.1		6 11_Prec< 0.35		6	6 11_Prec< 0.35		6	6 Trmn< 6.45		6
	13 RH≥ 52.9			12 Trmn< 9.2		12 Trmn< 9.25		12	12 Trmn< 9.25		12	12 Trmn< 19.8		12
	7 Prec≥ 39.6			13 RH≥ 6.7		13 RH≥ 7.8		13	13 RH≥ 6.1.2		13	13 RH≥ 61.8		13
	13 II_Prec< 0.00			7 RH≥ 90.6		7 RH≥ 72.7		7	7 RH≥ 72.7		7	13 RH≥ 74.8		7
	14 Prec≥ 2.6			14 Prec≥ 6.7		14 Prec≥ 6.7		14	14 Prec≥ 6.7		14	14 Prec≥ 1.25		14
	15			15 12_Prec< 0.65		15 12_Prec< 0.45		15	15 12_Prec< 0.45		15	15 II_Prec< 1.35		15
Maresma	1 Trmn< 17.8			1 Trmn< 10.9		1 Trmn< 11.2		1	1 Trmn< 11.2		1	1 Trmn< 13.2		1
	2 RH≥ 70.3			2 Trmn< 15.9		2 Trmn< 17.6		4	2 Trmn< 17.6		4	2 Trmn< 9.55		4
	4 II_Prec≥ 4.09			4 RH≥ 68.7		4 RH≥ 68.7		4	4 RH≥ 68.7		4	4 II_Prec< 10.9		4
	8 Trmn< 16.4			8 Trmn< 2.75		8 Trmn< 9		8	8 Trmn< 9		8	8 Trmn< 2.15		8
	9 RH≥ 93.1			5 Trmn< 6.65		5 Trmn< 7.55		5	5 Trmn< 7.55		5	9 RH≥ 77.5		9
	5 Trmn< 10.6			10 Trmn< 2.41		10 Trmn< 2.41		10	10 Trmn< 10.4		10	5 Trmn< 87.5		5
	10 Trmn< 9.55			11 Trmn< 17.9		11 Trmn< 2.45		11	11 Trmn< 2.45		11	11 Trmn< 1.5		11
	11			3 Trmn< 21.4		3 Trmn< 21.4		3	3 Trmn< 21.4		3	3 Trmn< 27.2		3
	3 Trmn< 5.05			6 Trmn< 5.45		6 Trmn< 19.8		6	6 Trmn< 19.8		6	6 Trmn< 21.9		6
	6 RH≥ 79.9			12 Trmn< 20.1		12 Trmn< 20.1		12	12 Trmn< 20.1		12	12 Trmn< 26.4		12
	13 Trmn< 2.241			13 Trmn< 7.35		13 Trmn< 4.45		13	13 Trmn< 7.35		13	13 Trmn< 6.7		13
	7 Prec≥ 32.9			7 Prec≥ 6.48		7 Prec≥ 0.05		7	7 Prec≥ 0.05		7	7 Trmn< 22.9		7
	14			14 Trmn< 27.1		14 Trmn< 5.3		14	14 Trmn< 5.3		14	14 Trmn< 66.5		14
	15			15 Trmn< 1.15		15 Trmn< 25.9		15	15 Trmn< 25.9		15	15 II_Prec< 0.25		15
Rodellar-Torosa	1 Trmn< 20.1			1 Trmn< 23.9		1 Trmn< 13.6		1	1 Trmn< 19.8		1	1 Trmn< 21.9		1
	2 Prec≥ 4.65			2 Trmn< 16.6		2 Trmn< 20.2		2	2 Trmn< 20.2		2	2 Trmn< 64.1		2
	4 Imax< 14.9			4 Trmn< 4		4 Trmn< 19.9		4	4 Trmn< 19.9		4	4 Trmn< 15.6		4
	8 RH≥ 91.6			8 Trmn< 9		8 Trmn< 10.6		8	8 Trmn< 10.6		8	8 Trmn< 83.5		8
	9 Prec< 6.5			5 Trmn< 9.25		5 Trmn< 0.05		5	5 Trmn< 0.05		5	9 RH≥ 42.6		9
	16.9			10 Trmn< 3.7		10 Trmn< 0.6		10	10 Trmn< 0.6		10	5 RH≥ 64.2		5
	10 RH≥ 58.3			11 II_Prec≥ 1.64		11 II_Prec< 0.5		11	11 Trmn< 24.1		11	10 RH≥ 50.4		10
	3			6 Trmn< 9.55		3 Trmn< 13.1		3	3 Trmn< 78.9		3	11 RH≥ 55.6		11
	6 Trmn< 5.15			12 Trmn< 6.7		12 Trmn< 31.4		6	6 Trmn< 2.4		6	3 RH≥ 69.2		3
	12			13 Trmn< 67.8		13 Trmn< 2.25		12	12 Trmn< 2.25		12	12 Trmn< 80.3		12
	13			7		7 Trmn< 25.9		7	7 Trmn< 29.8		7	13 Trmn< 7.95		7
	14			14 Trmn< 0.3		14 Trmn< 0.5		14	14 Trmn< 0.5		14	14 Trmn< 1.9		14
	15			15 RH≥ 78.2		15 Trmn< 22.4		15	15 Trmn< 22.4		15	15 Trmn< 16.9		15
Tarragona	1 Trmn< 20.6			1 Trmn< 23.9		1 Trmn< 13.6		1	1 Trmn< 19.8		1	1 Trmn< 21.9		1
	2 Trmn< 8.85			2 Trmn< 9.45		2 Trmn< 14.6		2	2 Trmn< 7.78		2	2 Trmn< 69.1		2
	4 RH≥ 98.2			4 Trmn< 4		4 Trmn< 12.9		4	4 Trmn< 12.9		4	4 Trmn< 15.6		4
	8 Trmn< 1.82			8 Trmn< 9		8 Trmn< 10.6		8	8 Trmn< 10.6		8	8 Trmn< 83.5		8
	5 Trmn< 16.9			5 Trmn< 2.6		5 Trmn< 0.05		5	5 Trmn< 0.05		5	9 RH≥ 72.6		9
	10 Trmn< 3.7			10 Trmn< 1.9		10 Trmn< 1.9		10	10 Trmn< 1.9		10	5 RH≥ 25.5		5
	11 II_Prec≥ 1.64			11 II_Prec< 0.5		11 II_Prec< 0.5		11	11 Trmn< 15.1		11	5 Trmn< 9.85		5
	6			6 Trmn< 5.15		6 Trmn< 13.1		6	6 Trmn< 13.1		6	10 RH≥ 50.4		10
	12			12 RH< 72.5		12 RH< 72.5		12	12 RH< 72.5		12	11 RH≥ 55.6		11
	13			13 Trmn< 6.78		13 Trmn< 0.05		13	13 Trmn< 0.05		13	11 Trmn< 0.05		11
	7			7 Trmn< 29.8		7 Trmn< 29.8		7	7 Trmn< 10.9		7	7 Trmn< 12.6		7
	14			14 Trmn< 0.3		14 Trmn< 0.5		14	14 Trmn< 0.5		14	14 Trmn< 49.1		14
	15			15 RH≥ 78.2		15 Trmn< 22.4		15	15 Trmn< 22.4		15	15 Trmn< 16.9		15
Vellbaia	1 RH≥ 98.1			1 Trmn< 33.8		1 Trmn< 20.6		1	1 Trmn< 20.6		1	1 Trmn< 22.1		1
	2 Trmn< 7.45			2 Trmn< 4.85		2 Trmn< 9.45		2	2 Trmn< 9.45		2	2 Trmn< 65.5		2
	4 Trmn< 2.15			4 Trmn< 4.92		4 Trmn< 18.2		4	4 Trmn< 18.2		4	4 Trmn< 17.9		4
	8 Trmn< 1.82			8 Trmn< 9		8 Trmn< 3.75		8	8 Trmn< 3.75		8	8 Trmn< 88.5		8
	5 Trmn< 16.9			5 Trmn< 14.4		5 Trmn< 2.06		5	5 Trmn< 2.06		5	9 RH≥ 65.9		5
	10 II_Prec≥ 0.3			10 RH≥ 86.8		10 RH≥ 86.8		10	10 RH≥ 86.8		10	5 RH≥ 52.8		5
	11			11 Prec≥ 0.35		11 Prec≥ 0.75		11	11 Trmn< 0.75		11	11 Trmn< 15.6		11
	3 Trmn< 2.14			3 Trmn< 11.1		3 Trmn< 10.4		3	3 Trmn< 10.4		3	3 Trmn< 88.5		3
	6 Trmn< 2.55			6 Trmn< 75.2		6 Trmn< 73.2		6	6 Trmn< 73.2		6	6 Trmn< 61.6		6
	12 II_Prec≥ 4.45			12 Trmn< 6.35		12 Trmn< 3.25		12	12 Trmn< 3.25		12	12 Trmn< 90.2		12
	13 II_Prec≥ 5.5			13 Trmn< 5.5		13 Trmn< 85.8		13	13 Trmn< 85.8		13	13 Trmn< 14.4		13
	7			7 Trmn< 20.12		7 Trmn< 14.4		7	7 Trmn< 14.4		7	7 Trmn< 11.1		7
	14			14 Trmn< 0.12		14 Trmn< 0.15		14	14 Trmn< 0.15		14	14 Trmn< 10.9		14
	15			15 RH≥ 70.2		15 Trmn< 30.6		15	15 Trmn< 30.6		15	15 Trmn< 28.8		15

3.B.2.6. *Cladosporium*

	Bajo	Medio	Alto	Umbral de concentración	Bajo		Medio		Alto		Umbral de concentración	Muy alto
					1 Trin< 11.1	2 RH≥ 76.8	1 Trin< 11.6	2 RH≥ 74.5	4	2	1 Trin< 6.85	2 Trin< 2.45
Barcelona	1 Trin< 11.1	2 RH≥ 8.95	4	Trin< 95.2	8	9	Trin< 15.1	Trin< 5.55	10	RH≥ 35.5	RH≥ 7.25	Trin< 13.9
	5 Trin< 10.5	11 Trin< 0.05	11	RH< 58.3	12	Prec< 0.05	79.9	RH< 20.6	12	Prec< 1.95	RH≥ 72.8	Trin< 10.7
	3 Trin< 21.1	11 Trin< 0.15	11	RH< 81.1	12	Prec< 0.15	79.9	RH< 18.6	13	Prec< 0.25	RH≥ 13.1	Trin< 10.0
	6 RH< 58.3	12 Trin< 0.05	12	RH≥ 83.8	13	Prec< 0.05	81.1	RH< 20.9	14	Prec< 0.3	RH≥ 13.9	Trin< 10.5
	7 Prec≥ 9.7	12 Trin< 2.3	12	Prec≥ 1.8	14	Trin< 14.1	14	Trin< 13.4	15	Trin< 25.1	Trin< 9.5	Trin< 10.9
	1 Trin< 17.6	2 Trin< 0.75	2	Trin< 4.65	3	RH≥ 79.9	3	RH≥ 13.1	4	RH< 54.5	RH≥ 91.8	Trin< 10.4
	2 Trin< 16.4	4 Trin< 15.1	4	Trin< 8	5	Trin< 17.8	5	Trin< 12.6	6	RH< 12.6	RH≥ 73.7	Trin< 10.5
	9 RH≥ 48.1	5 Trin< 74.7	5	Trin< 9	6	RH< 20.6	6	RH< 60.3	7	Prec≥ 0.3	RH≥ 13.4	Trin< 10.6
	5 RH< 45	10 Trin< 7.55	10	Trin< 11.2	11	Prec< 0.15	11	Trin< 8.3	12	Prec< 0.05	RH≥ 13.4	Trin< 10.7
	3 Trin< 6.05	Trin< 18.8	3	Trin< 6	12	Prec< 0.05	12	Trin< 24.2	13	Trin< 0.05	RH≥ 13.4	Trin< 10.8
Girona	6 Trin< 2.35	11 Trin< 0.5	11	RH< 12.4	12	Prec< 0.5	12	Trin< 26.7	13	Trin< 2.50	RH≥ 13.4	Trin< 10.9
	12 Trin< 2.41	13 Trin< 0.05	13	Trin< 0.5	14	Trin< 20.6	14	Trin< 25.9	15	Trin< 1.15	RH≥ 13.5	Trin< 11.0
	7 Trin< 0.05	14 Trin< 22.1	14	Trin< 15	15	Trin< 19.8	15	Trin< 6.79	16	Trin< 31.1	RH≥ 13.5	Trin< 11.1
	1 Trin< 17.1	2 Trin< 15.4	2	Trin< 11.8	3	RH< 89.2	3	RH< 0.05	4	RH< 11.5	RH≥ 51.5	Trin< 11.2
	4 Trin< 11.8	5 Trin< 11.1	5	Trin< 9	6	RH< 15.1	6	RH< 0.05	7	RH< 11.5	RH≥ 39.5	Trin< 11.3
	8 RH≥ 82.7	10 RH< 67.8	10	Trin< 0.05	11	Trin< 1.3	11	Trin< 4.1	12	Prec< 0.05	RH≥ 57.5	Trin< 11.4
	11 Trin< 8.25	13 Trin< 0.6	12	Trin< 0.05	13	Trin< 20.1	13	Trin< 26.7	14	Trin< 2.50	RH≥ 57.5	Trin< 11.5
	6 Trin< 0.05	7 Trin< 0.05	7	Trin< 0.05	8	Trin< 20.6	8	Trin< 25.9	9	Trin< 0.05	RH≥ 57.5	Trin< 11.6
	1 Trin< 21.9	2 Trin< 16.6	2	Trin< 16.9	3	RH≥ 50.2	3	RH≥ 2.3	4	RH≥ 50.2	RH≥ 2.3	Trin< 11.7
	4 Trin< 11.8	5 Trin< 11.1	5	Trin< 9	6	RH< 11.1	6	RH< 2.6	7	RH< 11.1	RH≥ 34.5	Trin< 11.8
Tarragona	9 Trin< 2.6.5.1	10 RH< 67.8	10	Trin< 0.05	11	Trin< 1.3	11	Trin< 4.1	12	Prec< 0.05	RH≥ 43.2	Trin< 11.9
	5 RH< 67.8	11 Trin< 1.3	11	Trin< 1.3	12	Trin< 0.05	12	Trin< 4.1	13	Trin< 0.05	RH≥ 43.2	Trin< 12.0
	3 Trin< 8.25	4 Trin< 0.05	3	Trin< 0.05	6	Trin< 0.05	6	Trin< 0.05	7	Trin< 0.05	RH≥ 31.6	Trin< 12.1
	6 Trin< 0.05	7 Trin< 0.05	6	Trin< 0.05	8	Trin< 0.05	8	Trin< 0.05	9	Trin< 0.05	RH≥ 31.6	Trin< 12.2
	12 RH< 71.7	13 Trin< 0.5	12	Trin< 4.85	13	Trin< 0.05	13	Trin< 9.85	14	Trin< 0.05	RH≥ 62.8	Trin< 12.3
	13 Trin< 0.5	14 Trin< 10.6	13	Trin< 0.05	15	Trin< 14.9	15	Trin< 15.2	16	Trin< 0.05	RH≥ 70.2	Trin< 12.4
	7 Trin< 0.05	8 Trin< 14.1	8	Trin< 14.1	9	Trin< 17.9	9	Trin< 17.9	10	Trin< 0.05	RH≥ 73.2	Trin< 12.5
	14 Trin< 6.35	15 Trin< 14.9	15	Trin< 14.9	16	Trin< 15.2	16	Trin< 12.6	17	Trin< 0.05	RH≥ 73.2	Trin< 12.6
	1 Trin< 6.15	2 Trin< 1.85	2	Trin< 1.65	3	RH≥ 93.5	3	RH≥ 2.15	4	RH≥ 93.5	RH≥ 2.15	Trin< 12.7
	4 Trin< 8.55	5 Trin< 11.9	5	Trin< 9.12	6	RH< 63.5	6	RH< 6.35	7	RH< 6.35	RH≥ 65.4	Trin< 12.8
Lleida	10 Trin< 7.65	11 RH< 68.2	11	Trin< 91.7	12	Prec< 0.05	12	Prec< 0.05	13	Prec< 0.9	RH< 76.6	Trin< 12.9
	3 Trin< 17.1	4 Trin< 3.25	4	Trin< 10.6	5	Trin< 67.7	5	Trin< 63.5	6	Trin< 4.25	RH< 71.1	Trin< 13.0
	6 Trin< 9.55	7 Trin< 75.2	6	Trin< 72.3	8	RH< 68.8	8	RH< 14.6	9	Trin< 2.9	RH< 60.1	Trin< 13.1
	12 Trin< 0.7	13 Trin< 0.6	12	Trin< 4.30	13	Trin< 15.8	13	Trin< 5.55	14	Trin< 5.4	RH< 67.2	Trin< 13.2
	13 Trin< 0.6	14 Trin< 10.2	13	Trin< 9.45	15	Trin< 9.45	15	Trin< 12.6	16	Trin< 2.11	RH< 74.3	Trin< 13.3
	7 Trin< 0.5	8 Trin< 14.5	8	Trin< 14.5	9	Trin< 17.9	9	Trin< 17.9	10	Trin< 0.9	RH< 76.6	Trin< 13.4
	14 Trin< 3.3	15 Trin< 19.2	15	Trin< 19.2	16	Trin< 14.9	16	Trin< 15.2	17	Trin< 0.7	RH< 57.2	Trin< 13.5
	14 Trin< 3.3	15 Trin< 1.3	15	Trin< 0.5	16	Trin< 3.3	16	Trin< 3.3	17	Trin< 1.3	RH< 54.8	Trin< 3.05
	15 Trin< 3.3	16 Trin< 19.2	16	Trin< 19.2	17	Trin< 14.9	17	Trin< 14.9	18	Trin< 1.3	RH< 54.8	Trin< 3.05
	15 Trin< 3.3	16 Trin< 1.3	16	Trin< 0.5	17	Trin< 3.3	17	Trin< 3.3	18	Trin< 1.3	RH< 54.8	Trin< 3.05

Capítulo 4

**Tendencias temporales de los índices anuales de esporas de
hongos aerovagantes en Catalunya**

Resumen

Partiendo de la diversidad de características ambientales presentes en el territorio y los resultados obtenidos sobre la identificación de las esporas de hongos como indicadores del uso del suelo y fitoclima del capítulo 2, se decidió establecer un estudio sobre las variaciones a lo largo del tiempo en los índices anuales de dichas esporas. para ello se evaluaron las tendencias monotónicas presentadas por dicho índice en el periodo 1995-2013. La identificación de las tendencias significativas se realizó mediante los test no paramétricos de Spearman Rho y Mann-Kendall, mientras que la magnitud del cambio, con Theil-Sen. Finalmente, se analizó si esta magnitud (proporción de cambio anual) era significativamente diferente de cero con el test de Wilcoxon-Mann-Whitney. El análisis de la proporción de cambio anual mostró que 12 táxones presentan tendencias significativas crecientes y dos decrecientes. La zona central de Catalunya y *Agrocybe* muestran el mayor incremento significativo, mientras que la estación aerobiológica de Roquetes-Tortosa y el taxon *Torula*, los más bajos. La mayor proporción de cambio anual decreciente significativo corresponde a *Drechslera-Helminthosporium* y la menor a *Curvularia*. Teniendo en cuenta la diversidad de características geográficas y de usos del suelo estudiados, se puede establecer que el efecto del cambio de los patrones meteorológicos en los últimos años no es despreciable. Se postula que el aumento de las temperaturas y la inestabilidad de las precipitaciones reconocidos como efectos del cambio climático en Catalunya en los últimos 50 años podrían afectar la esporulación, estimulándola en las zonas montañosas y conteniéndola en el litoral catalán meridional.

Capítulo 4 203

Tendencias temporales de los índices anuales de esporas de hongos aerovagantes en Catalunya	203
4.1. Introducción	205
4.2. Material y métodos	206
4.2.1. Datos aerobiológicos	206
4.2.2. Área de estudio	206
4.2.3. Métodos estadísticos	206
4.3. Resultados y discusión	207
4.5. Conclusión	214
4.6. Referencias bibliográficas	214

Nota: Capítulo traducido al castellano y adaptado al formato de la tesis que corresponde a un artículo ya publicado: Vélez-Pereira AM, De Linares C, Delgado R, & Belmonte J (2016) Temporal trends of the airborne fungal spores in Catalonia (NE Spain), 1995–2013. Aerobiología 32:23–37. doi: 10.1007/s10453-015-9410-6.

4.1. Introducción

Las esporas de hongos son partículas biológicas aerovagantes presentes en el aire durante todo el año (Lacey 1981, Burch & Levetin 2002). Aunque sus niveles varían acorde con el clima, la estación, la hora del día, la cobertura vegetal y la localización (Grinn-Gofroń & Strzelczak 2008a), sus concentraciones en la atmósfera son el resultado de una compleja interacción de estos factores ambientales con los factores biológicos de cada taxón (como sus condiciones de crecimiento y esporulación). Las esporas de hongos pueden causar problemas en la salud humana (principalmente reacciones alérgicas) e infecciones en cultivos (fitopatología). Simon-Nobbe *et al.* (2008) reportan que más de 80 géneros de hongos han sido relacionados con la generación de alergias tipo I en personas susceptibles, así como otros autores han relacionado la presencia de esporas de hongos con la pérdida de cultivos, por ejemplo *Botrytis* en la fresa (Blanco *et al.* 2006) y la vid (Oliveira *et al.* 2009, Rodríguez-Rajo *et al.* 2010, Fernández-González *et al.* 2012, Leyronas & Nicot 2013), *Alternaria* en el olivo (Moral *et al.* 2008) o *Phakopsora* en la soja (Tao *et al.* 2009).

A pesar de que muchos estudios han mostrado la relación entre las condiciones meteorológicas y las concentraciones de esporas de hongos aerovagantes (p.e., Grinn-Gofroń & Strzelczak 2011, De Linares *et al.* 2010, Escuredo *et al.* 2011, Recio *et al.* 2012), pocos han examinado el efecto potencial del cambio o variabilidad climática en la concentración y diversidad de esporas de hongos (Beggs 2004). Un análisis sobre las consecuencias del cambio climático en las enfermedades humanas destaca la importancia de evaluar la dinámica del polen y las esporas de hongos en el aire a lo largo del tiempo (D'Amato & Cecchi 2008, Shea *et al.* 2008, Reid & Gamble 2009, Ziska & Beggs 2012, Barnes *et al.* 2013). Un estudio desarrollado en Derby y Cardiff (UK) muestra que *Aspergillus-Penicillium* tiende a incrementar su índice anual de concentración, mientras que *Alternaria* muestra tendencias a incrementar y disminuir respectivamente (Corden & Millington 2001, Corden *et al.* 2003, Millington & Corden 2005). Por otro lado, Damialis *et al.* (2015a,b) analizó la tendencias en 14 tipos de esporas de hongos en Salónica (Grecia) y encontró que las ascósporas son los únicos táxones que muestran un porcentaje positivo de cambio junto con *Alternaria*, que parece aumentar ligeramente su índice anual de esporas con el tiempo. Sin embargo, *Agrocybe*, *Botrytis*, *Cladosporium*, *Nigrospora* y el total de la concentración de las 14 esporas son los táxones que muestran tendencias significativas.

Teniendo en cuenta que muchos estudios han demostrado la incidencia de las variaciones climáticas en las concentraciones de polen (Rasmussen 2002, Breton *et al.* 2006, García-Mozo *et al.* 2006, Stach *et al.* 2007, Fernández-Llamazares *et al.* 2014), en este estudio se decidió analizar las tendencias en los índices anuales de las esporas de hongos para un periodo de 19 años (1995–2013) en Catalunya. Para ello se planteó un análisis estadístico de estas series cronológicas con el fin de:

1. Determinar si existe una tendencia monotónica temporal en el índice anual de esporas de hongos (AFSI por sus siglas en inglés, Annual Fungal Spore Index) estudiados mediante dos test no paramétricos: Mann-Kendall (MK) y Rho de Spearman (SR).
2. Evaluar y comparar la capacidad de los test MK y SR para detectar tendencias monotónicas basándose en la probabilidad de detectar correctamente una tendencia monotónica.

3. Analizar proporción anual de cambio (PAC año-1 por sus siglas en inglés, Proportional Annual Change) introducido por Ziello *et al.* (2012) y Fernández-Llamazares *et al.* (2014), y estudiar si es significativamente diferente de cero, ya sea positivo o negativo, mediante el test de Wilcoxon-Mann-Whitney en los diferentes criterios: por fitoclima, estación y taxon fúngico.

4.2. Material y métodos

4.2.1. Datos aerobiológicos

En el presente estudio se emplearon 20 tipos de esporas fúngicas: 5 ascósporas (*Chaetomium*, *Leptosphaeria*, *Pleospora*, *Venturiaceae*, *Xylariaceae*), 5 basidiósporas (*Agaricus*, *Agrocybe*, *Coprinaceae*, *Ganoderma*, *Thelephoraceae*) y 10 conidiósporas (*Alternaria*, *Arthrinium*, *Aspergillus-Penicillium*, *Cladosporium*, *Curvularia*, *Drechslera-Helminthosporium*, *Epicoccum*, *Pithomyces*, *Stemphylium*, *Torula*). Más información se presenta en el apartado IV de la Introducción. El periodo de tiempo analizado está comprendido entre 1995-2013.

2.2.2. Área de estudio

El área de estudio del presente capítulo se corresponde con las ocho estaciones aerobiológicas de la Xarxa Aerobiòlica de Catalunya, distribuidas en cuatro fitoclimas de Catalunya, descritas en el apartado III de la Introducción.

4.2.3. Métodos estadísticos

Para la determinación de las tendencias monotónicas en los índices anuales de las esporas de hongos estudiadas, se aplicaron los test no paramétricos basadas en el rango de Spearman's Rho (SR) y Mann-Kendall (MK), ambas desarrolladas para niveles de significación del 5 y 1%. Aunque los test paramétricos para la detección de tendencias significativas en las series temporales son más potentes que las no paramétricas, requieren que los datos sean independientes y estén normalmente distribuidos. La ausencia de normalidad en los datos aerobiológicos ya ha sido presentada por Grinn-Gofrón & Strzelczak (2008b, 2008a), Astray *et al.* (2010) y Scheifinger *et al.* (2013). A pesar de ello, se aplicó una prueba de Shapiro-Wilk (Shapiro & Wilk 1965) a todas las series de datos analizadas con el fin de confirmar la ausencia de normalidad en la distribución de los mismos. El test SR (Spearman 1904) se realizó mediante el cálculo del estadístico Rho (ρ) y se comparó con los p -valores críticos propuesto por Zar (1972). En relación al test de MK (Kendall 1938, Mann 1945), cuando el número de años estudiado era $n \leq 10$, el p -valor crítico empleado es obtenido de Gilbert (1987), mientras que para $n > 10$, los valores p -valor crítico asintóticos se pueden calcular utilizando la aproximación normal (Gaussiana) de la distribución estadística de Mann-Kendall (Kendall 1975). El estimador Theil-Sen (TS; Theil 1950, Sen 1968), que se expresa en número de esporas de hongos, se empleó para calcular el valor de la pendiente en la tendencia si y sólo si en al menos uno de los dos test anteriores se había obtenido una tendencia monotónica estadísticamente significativa. Con el fin de dar cumplimiento al segundo objetivo de comparar los dos test no paramétricos de MK y SR, se estableció un test McNemar's (McNemar 1947). Se trata de una prueba no paramétrica utilizada en datos nominales, aplicada en tablas de contingencia con características dicotómicas de 2 x 2, que

permite identificar si las frecuencias marginales de fila y columna son homogéneas en pares de datos independientes. En este caso puntual, el test se aplica para comparar el resultado dicotómico (tendencia significativa detectada o no) en los dos test (SP y MK).

El tercer objetivo propuesto estaba relacionado con el establecimiento de la proporción anual de cambio (PAC). Primero se estandarizaron cada uno de los índices anuales mediante la sustracción del valor medio anual respectivo del periodo y dividido por la desviación estándar correspondiente. Luego se calculó la pendiente de la regresión lineal de los índices estandarizados para cada estación con respecto al tiempo (años), y se dividió por el número total de años estudiados en la serie de cada taxón (Ziello *et al.* 2012, Fernández-Llamazares *et al.* 2014). El comportamiento de los valores de PAC se graficaron mediante boxplots, agrupados por fitoclima, estación y taxón estudiado. Para completar este análisis, se desarrolló un test de Wilcoxon–Mann–Whitney (Wilcoxon 1945, Mann & Whitney 1947) como lo propuso Ziello *et al.* (2012) y también fue aplicado por Fernández-Llamazares *et al.* (2014). Este test no paramétrico es homólogo con la prueba t- Student's para comparación de dos medias.

4.3. Resultados y discusión

Tal y como ya se ha presentado en la Tabla 2.6 de la sección 2.3.2., la espora fúngica más abundante es *Cladosporium*, seguido de Coprinaceae y *Agrocybe*. Entretanto, las menos abundantes son *Curvularia*, *Pithomyces* y *Chaetomium*. En cuanto a la distribución espacial, las estaciones del interior presentan los mayores AFSI (de mayor a menor: Lleida, Manresa, Girona y Bellaterra), seguidas de las de la zona litoral (Roquetas-Tortosa, Tarragona y Barcelona) y finalizando por la zona de montaña (Vielha). Una discusión más amplia de estas interacciones y resultados se presenta por táxones en el capítulo 2.

En cuanto a los resultados de las tendencias, se muestran en la Tabla 4.1 las que resultaron significativas, junto a los resultados de la proporción de cambio calculados por medio del estimador TS. En ella se observa que los 20 táxones estudiados presentan algún tipo de tendencia significativa en uno o más de un fitoclima o estación estudiada. Las estaciones del interior, asociadas al fitoclima Fresco-Continental Oriental-Semihúmedo (FCOSH), son las que presentan el mayor número de tendencias significativas, 17 de 20 táxones; seguidas por las del fitoclima del litoral (Fresco-Tethyco-Semiárido – FteSa), la zona interior occidental (Fresco –Transicional-Semiárido – FTrSa) y la zona de montaña (Fresco-Continental Oriental-húmedo – FCOH) con 15, 13 y 9 táxones respectivamente. En cuanto a los resultados de TS, los incrementos máximo y mínimo (65931.9 *Cladosporium* y 3.9 Venturiaceae) se presentaron en FTrSa (Lleida), mientras que el máximo y mínimo decrecimiento se reportó en FTeSa (-374.6 *Drechslera-Helminthosporium* en Roquetes-Tortosa y -1.2 *Pithomyces* en Tarragona). Asimismo, *Agrocybe* es el único taxón que muestra una tendencia significativa en todos los fitoclímas y estaciones estudiadas, con incrementos entre 20.8% (Vielha) y 6.8% (Bellaterra) si los expresamos en porcentajes; no obstante, si lo expresamos en el número de esporas de incremento por año, la estación de Vielha (5869) y Barcelona (678) serían los máximos y mínimos respectivamente. Con respecto a los otros táxones, la mayoría de ellos muestran un mismo tipo de tendencia en los fitoclímas, exceptuando *Alternaria* (decrece sólo en FCOSH); *Pithomyces*,

Stemphylium y *Torula* (incrementan sólo en FTrSa); y *Venturiaceae* (presenta diversos comportamientos en un mismo fitoclima).

Tabla 4.1 – Tendencias monotónicas significativas detectadas en los análisis de AFSI por estación de muestreo, fitoclímas y táxones de esporas de hongos y su magnitud del cambio.

Estación	Taxon (Nro. de años en la serie)	Promedio de AFSI	Spearman's Rho ^a	Mann-Kendall ^b	Theil-Sen ^c (Esporas)	Theil Sen como % del promedio de AFSI
FCOH	<i>Agaricus</i> (8)	2237	Inc**	Inc**	797.5	35.7%
	<i>Agrocybe</i> (8)	28264	Inc*		5868.7	20.8%
	<i>Alternaria</i> (9)	2010	Inc*		233.3	11.6%
	<i>Arthrinium</i> (8)	218	Inc**	Inc**	48.1	22.0%
	<i>Asper.-Penic.</i> (8)	3421	Inc**	Inc**	589.3	17.2%
	<i>Cladosporium</i> (9)	162172	Inc**	Inc**	27702.6	17.1%
	<i>Coprinaceae</i> (8)	33524	Inc**	Inc**	3864.4	11.5%
	<i>Drech.-Helmi.</i> (8)	681	Dec**	Dec**	-125.8	-18.5%
	<i>Venturiaceae</i> (6)	494	Inc*	Inc**	347.2	70.3%
Bellaterra	<i>Agrocybe</i> (18)	23484	Inc**	Inc**	1588.3	6.8%
	<i>Alternaria</i> (19)	11749		Dec*	-49.5	-0.4%
	<i>Asper.-Penic.</i> (18)	5241	Inc**	Inc**	583.8	11.1%
	<i>Chaetomium</i> (19)	183	Dec*	Dec**	-10.7	-5.9%
	<i>Cladosporium</i> (19)	300968	Inc**	Inc**	14825.5	4.9%
	<i>Coprinaceae</i> (18)	34679	Inc**	Inc**	1797.1	5.2%
	<i>Curvularia</i> (19)	93	Dec**	Dec**	-5.6	-6.0%
	<i>Drech.-Helmi.</i> (19)	2292		Dec**	-31.6	-1.4%
	<i>Ganoderma</i> (18)	3737	Inc**	Inc**	387.4	10.4%
	<i>Stemphylium</i> (19)	961		Dec**	-10.5	-1.1%
	<i>Venturiaceae</i> (18)	269		Dec**	-9.8	-3.6%
	<i>Xylariaceae</i> (19)	1674	Inc**	Inc**	149.0	8.9%
FCOSh	<i>Agaricus</i> (14)	8773	Inc**	Inc**	1230.9	14.0%
	<i>Agrocybe</i> (14)	26101	Inc**	Inc**	3631.0	13.9%
	<i>Asper.-Penic.</i> (14)	7591	Inc*	Inc*	749.8	9.9%
	<i>Chaetomium</i> (14)	149		Dec**	-2.5	-1.6%
	<i>Cladosporium</i> (14)	361354	Inc**	Inc**	21835.3	6.0%
	<i>Coprinaceae</i> (14)	50338	Inc*	Inc*	2220.4	4.4%
	<i>Curvularia</i> (13)	88	Dec*	Dec**	-8.4	-9.5%
	<i>Drech.-Helmi.</i> (14)	2572		Dec**	-133.3	-5.2%
	<i>Ganoderma</i> (14)	7476	Inc**	Inc**	787.4	10.5%
	<i>Leptosphaeria</i> (14)	6731		Dec**	-277.2	-4.1%
	<i>Stemphylium</i> (14)	944		Dec*	-10.9	-1.2%
	<i>Xylariaceae</i> (14)	3509	Inc*		292.4	8.3%
Manresa	<i>Agaricus</i> (13)	2214	Inc*		133.2	6.0%
	<i>Agrocybe</i> (13)	26391	Inc**	Inc**	4298.8	16.3%
	<i>Cladosporium</i> (14)	461694	Inc*		15098.2	3.3%
	<i>Curvularia</i> (13)	260	Dec**	Dec**	-43.3	-16.6%
	<i>Drech.-Helmi.</i> (13)	3499		Dec**	-297.2	-8.5%
	<i>Ganoderma</i> (13)	1382	Inc*	Inc*	94.7	6.9%
	<i>Leptosphaeria</i> (13)	8508		Dec**	-247.6	-2.9%
	<i>Pithomyces</i> (14)	181		Dec**	-4.2	-2.3%
	<i>Stemphylium</i> (13)	1769		Dec**	-144.3	-8.2%
	<i>Thelephoraceae</i> (13)	3510		Inc*	251.7	7.2%
	<i>Torula</i> (13)	1280		Dec**	-25.8	-2.0%
	<i>Venturiaceae</i> (13)	121	Inc*		14.7	12.1%
FTrSa	<i>Agrocybe</i> (17)	9852	Inc**	Inc**	678.3	6.9%
	<i>Asper.-Penic.</i> (17)	4991	Inc*		363.9	7.3%
	<i>Chaetomium</i> (19)	227		Dec**	-8.6	-3.8%
	<i>Cladosporium</i> (19)	197549	Inc**	Inc*	7266.9	3.7%
	<i>Curvularia</i> (17)	50	Dec**	Dec**	-3.7	-7.4%
	<i>Leptosphaeria</i> (19)	2077		Dec**	-43.5	-2.1%
	<i>Stemphylium</i> (19)	882		Dec**	-14.0	-1.6%
	<i>Venturiaceae</i> (15)	143		Dec**	-15.9	-11.1%
	<i>Xylariaceae</i> (19)	591	Inc**	Inc**	42.4	7.2%

Estación	Taxon (Nro. de años en la serie)	Promedio de AFSI	Spearman's Rho ^a	Mann-Kendall ^b	Theil-Sen ^c (Esporas)	Theil Sen como % del promedio de AFSI
Roquetes-Tortosa	<i>Agrocybe</i> (8)	16633		Inc*	4093.6	24.6%
	<i>Drech.-Helmi.</i> (8)	1859	Dec**	Dec**	-374.6	-20.1%
	<i>Ganoderma</i> (8)	1507	Inc*		174.1	11.6%
	<i>Torula</i> (8)	853	Dec*		-80.4	-9.4%
Tarragona	<i>Agaricus</i> (13)	1104	Inc*		129.5	11.7%
	<i>Agrocybe</i> (13)	14173	Inc**	Inc**	1251.0	8.8%
	<i>Alternaria</i> (13)	10451	Inc*	Inc*	492.0	4.7%
	<i>Asper.-Penic.</i> (13)	3853	Inc*		607.9	15.8%
	<i>Cladosporium</i> (13)	211120	Inc**	Inc**	19336.9	9.2%
	<i>Curvularia</i> (12)	38	Dec*	Dec**	-3.5	-9.2%
	<i>Drech.-Helmi.</i> (13)	2334	Dec*	Dec**	-182.5	-7.8%
	<i>Ganoderma</i> (13)	1565	Inc*	Inc*	121.2	7.7%
	<i>Pithomyces</i> (14)	119		Dec*	-1.2	-1.0%
	<i>Venturiaceae</i> (11)	35	Inc**	Inc*	5.6	16.0%
Lleida	<i>Agaricus</i> (13)	2872	Inc**	Inc**	415.8	14.5%
	<i>Agrocybe</i> (13)	8938	Inc**	Inc**	1241.8	13.9%
	<i>Alternaria</i> (14)	38046	Inc**	Inc**	3172.7	8.3%
	<i>Asper.-Penic.</i> (13)	5253	Inc**	Inc**	515.2	9.8%
	<i>Cladosporium</i> (14)	615415	Inc**	Inc**	65931.9	10.7%
	<i>Coprinaceae</i> (13)	30163	Inc**	Inc**	1928.4	6.4%
	<i>Drech.-Helmi.</i> (13)	4638	Dec*	Dec**	-344.6	-7.4%
	<i>Epicoccum</i> (13)	4151	Inc*		216.1	5.2%
	<i>Pithomyces</i> (13)	155		Inc*	9.8	6.3%
	<i>Pleospora</i> (13)	6346	Inc*		395.0	6.2%
	<i>Stemphylium</i> (13)	2125	Inc**	Inc**	84.8	4.0%
	<i>Torula</i> (13)	2935	Inc*	Inc*	153.1	5.2%
	<i>Venturiaceae</i> (12)	37	Inc**		3.9	10.6%

Inc: Incremento, **Dec:** Decrecimiento, **Promedio AFSI:** promedio del índice anual de la serie expresado en esporas de hongos, **FCOH:** Fresco-Continental Oriental-Húmedo, **FCOSH:** Fresco-Continental Oriental-Semihúmedo, **FTeSa:** Fresco-Tethyco-Semiárido, **FTrSa:** Fresh-Transicional-Semiárido.

* Significancia al 5%; ** Significancia al 1%

^a *p*-valor crítico (Zar 1972)

^b Test de Mann-Kendall, cuando $n \leq 10$: *p*-valor crítico por Gilbert (1987); $n > 10$: *p*-valor crítico por el estadístico estandarizado de Mann-Kendall

^c Estimador Theil-Sen del cambio en el AFSI (expresado como esporas de hongos) por año calculado cuando uno de los dos test muestra una tendencia monotónica significativa

La Tabla 4.2 muestra que *Agrocybe* presenta el mayor porcentaje de tendencias significativas en las estaciones de Catalunya (87.5% de tendencias significativas y crecientes en ambos test, SR y MK), seguido de *Cladosporium* (87.5% de tendencia crecientes con SR y 75% con MK) y *Drechslera-Helminthosporium* (50% de tendencias decrecientes con SR y 87.5% con MK), mientras *Epicoccum*, *Pleospora* y *Thelephoraceae* presentan los porcentajes más bajos en sus series sin tener en cuenta los taxones con porcentaje de tendencias significativas igual a cero (12.5% tendencias crecientes en uno de los test, 0% en la otra), seguido de *Arthrinium* (12.5% tendencias crecientes para ambos test), *Leptosphaeria* (37.5% tendencias decrecientes con MK, 0% con SR), y *Pithomyces* (12.5% tendencias crecientes y 25% decrecientes con MK, mientras 0% para ambos tipos de tendencias con SR). Si se considera los valores medios globales de los 20 taxones y las ocho estaciones, se puede inferir que sólo el 40% de los taxones muestran un tipo de tendencia por estación de muestreo.

Los resultados presentados en la Tabla 4.1 no muestran una diferencia significativa en el tipo de tendencia monotónica detectada por los test no paramétricos MK o SR, como se podía sospechar al observar los resultados presentados en la Tabla 4.2. Además, esto es confirmado por medio del test McNemar's (ver Tabla 4.3).

Tabla 4.2 – Distribución (en porcentaje) de las tendencias por cada taxón y test no paramétrico considerando las ocho estaciones de estudio.

Taxón	Test no paramétrico	Tendencias no significativas	Tendencias significativas	
			Creciente	Decreciente
<i>Agaricus</i>	Spearman's Rho	37.5%	62.5%	0.0%
	Mann Kendall	62.5%	37.5%	0.0%
<i>Agrocybe</i>	Spearman's Rho	12.5%	87.5%	0.0%
	Mann Kendall	12.5%	87.5%	0.0%
<i>Alternaria</i>	Spearman's Rho	62.5%	37.5%	0.0%
	Mann Kendall	62.5%	25.0%	12.5%
<i>Arthrinium</i>	Spearman's Rho	87.5%	12.5%	0.0%
	Mann Kendall	87.5%	12.5%	0.0%
<i>Aspergillus-Penicillium</i>	Spearman's Rho	25.0%	75.0%	0.0%
	Mann Kendall	50.0%	50.0%	0.0%
<i>Chaetomium</i>	Spearman's Rho	87.5%	0.0%	12.5%
	Mann Kendall	62.5%	0.0%	37.5%
<i>Cladosporium</i>	Spearman's Rho	12.5%	87.5%	0.0%
	Mann Kendall	25.0%	75.0%	0.0%
<i>Coprinaceae</i>	Spearman's Rho	50.0%	50.0%	0.0%
	Mann Kendall	50.0%	50.0%	0.0%
<i>Curvularia</i>	Spearman's Rho	37.5%	0.0%	62.5%
	Mann Kendall	37.5%	0.0%	62.5%
<i>Drechslera-Helminthosporium</i>	Spearman's Rho	50.0%	0.0%	50.0%
	Mann Kendall	12.5%	0.0%	87.5%
<i>Epicoccum</i>	Spearman's Rho	87.5%	12.5%	0.0%
	Mann Kendall	100.0%	0.0%	0.0%
<i>Ganoderma</i>	Spearman's Rho	37.5%	62.5%	0.0%
	Mann Kendall	50.0%	50.0%	0.0%
<i>Leptosphaeria</i>	Spearman's Rho	100.0%	0.0%	0.0%
	Mann Kendall	62.5%	0.0%	37.5%
<i>Pithomyces</i>	Spearman's Rho	100.0%	0.0%	0.0%
	Mann Kendall	62.5%	12.5%	25.0%
<i>Pleospora</i>	Spearman's Rho	87.5%	12.5%	0.0%
	Mann Kendall	100.0%	0.0%	0.0%
<i>Stemphylium</i>	Spearman's Rho	87.5%	12.5%	0.0%
	Mann Kendall	37.5%	12.5%	50.0%
<i>Thelephoraceae</i>	Spearman's Rho	100.0%	0.0%	0.0%
	Mann Kendall	87.5%	12.5%	0.0%
<i>Torula</i>	Spearman's Rho	75.0%	12.5%	12.5%
	Mann Kendall	75.0%	12.5%	12.5%
<i>Venturiaceae</i>	Spearman's Rho	50.0%	50.0%	0.0%
	Mann Kendall	50.0%	25.0%	25.0%
<i>Xylariaceae</i>	Spearman's Rho	62.5%	37.5%	0.0%
	Mann Kendall	75.0%	25.0%	0.0%
Promedio	Spearman's Rho	62.5%	30.6%	6.9%
	Mann Kendall	58.1%	24.4%	17.5%
Promedio global		60.3%	27.5%	12.2%

Tabla 4.3 – Comparación entre los tests de Mann–Kendall (MK) y Spearman's Rho (SR) para detectar algún tipo de tendencia monotónica.

Test de Spearman's Rho	Test de Mann-Kendall	
	Tendencias significativas	Tendencias no significativas
Tendencias significativas	46	14
Tendencias no significativas	21	79

El test de McNemar's es aplicada a una tabla de contingencia de 2 x 2 que tabula los resultados de los dos test para la detección de tendencia monotónica (MK y SR), en la muestra $n = 160$ casos (20 táxones x 8 estaciones).

En cuanto al test de McNemar's, el valor del estadístico (con corrección continua) es $\chi^2 = 1.21$, ya que $14 + 21 = 35 > 25$. El valor unilateral de p se obtiene de una distribución Chi-cuadrado con 1 grado de libertad, que es la distribución aproximada. Puesto que el p -valor = $0.27 > 0.05$, se establece que no existe una diferencia significativa entre los test MK y SR.

La Figura 4.1a y b muestra los boxplots para la PAC por fitoclima y estación, respectivamente, así como el *p*-valor para el test de Wilcoxon–Mann–Whitney. Los resultados muestran que el fitoclima FCOH (Vielha) presenta la mayor proporción de cambio positiva, conjuntamente con FTrSa, mientras que FCOSH y FTeSa (Barcelona, Tarragona y Roquetes-Tortosa) muestran la mayor estabilidad. Asimismo se observa que los resultados son estadísticamente significativos para los fitoclimas con una sola estación de monitoreo (FCOH y FTrSa, Figura 4.1a) y las estaciones de Vielha, Lleida, Tarragona (alta significación), Girona y Roquetes-Tortosa (Figura 4.1b). En la Figura 4.1c se presentan los resultados por taxón, los cuales son similares a los resultados anteriores de los test MK y SR. 12 esporas de hongos presentan incrementos significativos: todas las basidiósporas (*Agaricus*, *Agrocybe*, Coprinaceae, *Ganoderma* y *Thelephoraceae*); dos ascósporas (*Leptosphaeria* y Xylariaceae); y cinco conidiósporas (*Alternaria*, *Aspergillus-Penicillium*, *Cladosporium*, *Epicoccum* y *Torula*). *Agrocybe* presenta el mayor valor en la PAC, seguido de *Aspergillus-Penicillium* y *Cladosporium*. También dos conidiósporas presentan una tendencia significativa decreciente (*Drechslera-Helminthosporium* y *Curvularia*), y seis taxones no muestran ningún tipo de tendencia (tres ascósporas: *Chaetomium*, *Leptosphaeria* y *Venturiaceae*, y tres conidiósporas: *Arthrinium*, *Pithomyces* y *Stemphylium*).

Si comparamos los resultados del tipo de tendencias detectadas por los test de SR y MK (Tabla 4.1), se observa que en el 57.5% de los casos ambos test estiman un tipo de tendencia, mientras que en el 16.3% sólo muestra una tendencia significativa con SP (principalmente creciente) y un 26.3% sólo con MK (principalmente decreciente). No obstante, el test de McNemar's (Tabla 4.3) confirma que a pesar de las diferencias observadas en los casos no concordantes, ambos test son equivalentes en la práctica, lo cual también ha sido demostrado por Yue *et al.* (2002), Shadmani *et al.* (2012), Fernández-Llamazares *et al.* (2014) y Ahmad *et al.* (2015).

Si comparamos los resultados de las tendencias obtenidas en nuestro estudio (60% con tendencia significativa creciente, 10% decrecientes y un 30% sin tendencias significativas ver Tabla 4.1 y Figura 4.1c), con los resultados presentados por Damialis *et al.* (2015a,b) en Salónica Grecia (reportan una tendencia negativa en el 86% de las esporas de hongos estudiadas), se puede establecer que sólo se presentan similitudes en las tendencias decrecientes de *Drechslera-Helminthosporium*, *Leptosphaeria* y *Stemphylium*, y que hay discrepancias en los taxones de *Agrocybe*, *Cladosporium*, *Epicoccum*, *Pleospora* y *Torula*, que en nuestro caso presentan tendencias significativas crecientes. Estas diferencias observadas no son fáciles de explicar, puesto que ambas áreas de estudio se ven influenciadas por un clima mediterráneo. En este sentido, las hipótesis que se plantean como origen de estas diferencias podrían ser los valores de precipitación, que son más bajos en Salónica que en las estaciones de Catalunya (excepto Lleida), así como diferencias en la vegetación y el porcentaje del uso del suelo en cultivos de las áreas de influencia de los muestreadores.

Alternaria, un taxón importante tanto a nivel de salud pública como fitosanitario, muestra una tendencia creciente en tres de las estaciones estudiadas (Vielha, Tarragona y Lleida), mientras disminuye ligeramente en una (Bellaterra). En Salónica (Damialis *et al.* 2015a,b) *Alternaria* mostraba una tendencia ligeramente positiva. Asimismo, en el estudio desarrollado en Derby y Cardiff (Corden & Millington 2001, Corden *et al.* 2003) se obtuvo como conclusión que la abundancia de tierras cultivables cerca de Derby podría explicar la tendencia creciente de esporas de *Alternaria*, de igual modo que la proximidad al mar podría ser la razón de su tendencia decreciente en la ciudad litoral de

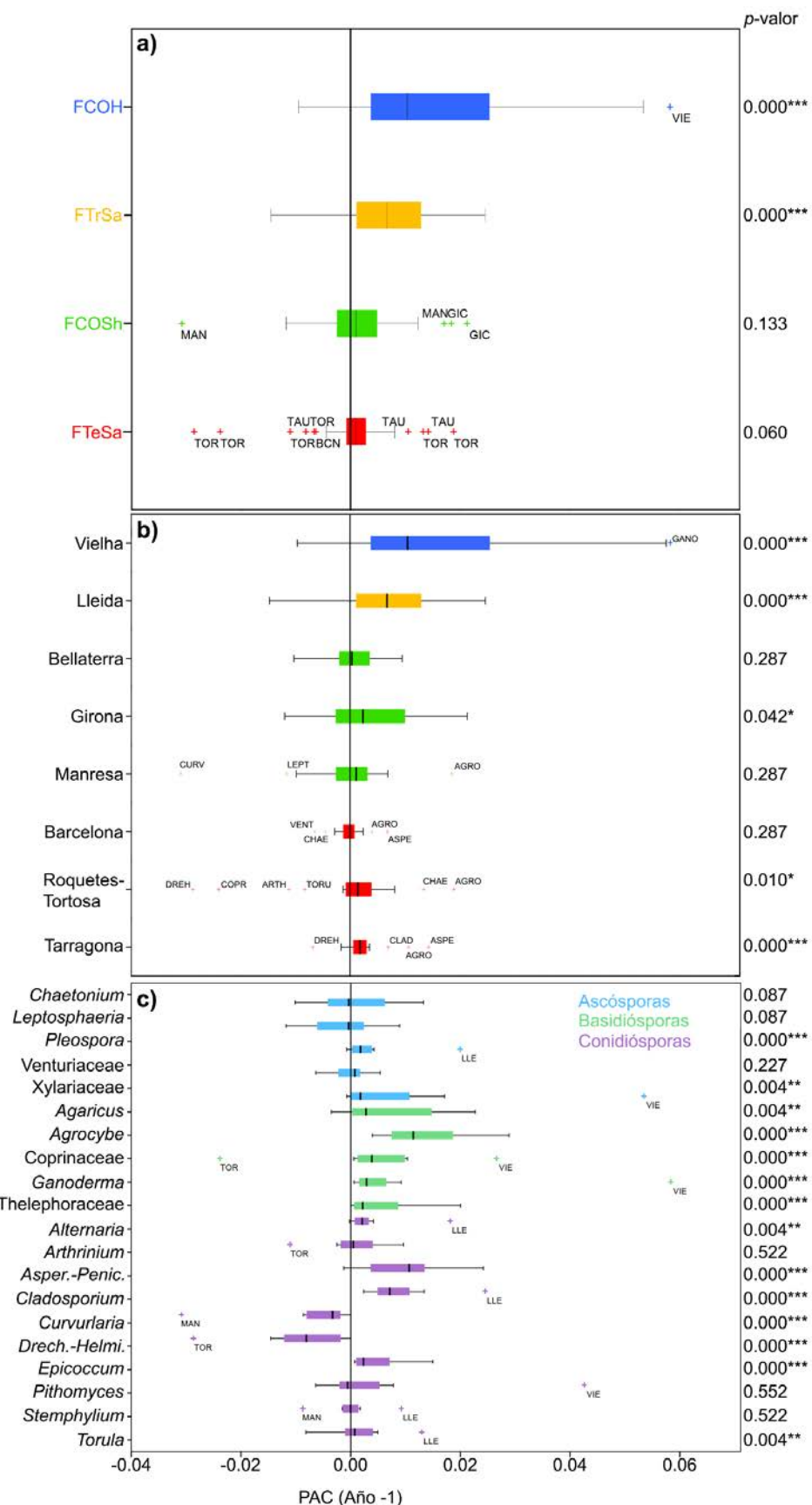


Figura 4.1 – Boxplots de la proporción de cambio anual (PAC año⁻¹) en el promedio del AFSI por a) fitoclima, b) estación de muestreo y c) taxon.

p-valor del test de Wilcoxon–Mann–Whitney. Diferencias significativas de cero; *** p-valor <0.001; ** p-valor <0.01;

* p-valor <0.05

Cardiff. Esta explicación no es completamente válida para el área objeto de estudio en este capítulo, donde una posible razón de la disminución de las esporas de *Alternaria* podría ser la creciente urbanización de la zona durante las últimas décadas y la consecuente pérdida y abandono de campos de cultivo. Asimismo, el aumento y posible disminución también pueden ser explicados por el cambio climático. Los estudios de este tipo desarrollados en Catalunya (Equip de Canvi Climàtic 2013) muestran que la temperatura media y máxima durante el periodo 1950–2013 ha aumentado significativamente en 0.22 y 0.27 °C por década respectivamente, mientras la precipitación ha sufrido una ligera disminución no significativa (-1.5 % por década). En este sentido, Vielha (FCOH) que es una estación de montaña con una baja temperatura promedio anual (menos de 10 °C) presenta el incremento más alto en el AFSI, probablemente por el aumento de las temperaturas ocasionado por el cambio climático, que posiblemente este generando una estimulación en los procesos de esporulación, puesto que permite un mayor desarrollo del hongo. Caso contrario se presenta en las estaciones del sur de Catalunya (FTeSA y FCOSH), que con un promedio de temperatura entre 15.1 y 17.6 °C, presenta las menores tendencias en la magnitud de cambio de sus AFSI, presumiblemente debido a que el incremento de las temperaturas puede estar limitando la esporulación.

La relación entre los cambios en la temperatura y la esporulación han sido recientemente demostrados por Damialis *et al.* (2015a,b), donde un descenso exponencial en la producción de esporas fue observado con el aumento en la temperatura. Además, Carlile *et al.* (2001) reportaron que el rango de temperaturas a las que los hongos tienden a esporular es más estrecho que el rango que permite su crecimiento y que la temperatura óptima para la esporulación es a menudo menor que la de crecimiento. Si esto es así, un aumento de la temperatura podría permitir el crecimiento de hongos, pero podría afectar a la esporulación. No obstante, este efecto de la temperatura podría ser positivo en las zonas frías y negativo en las zonas templadas o cálidas.

En concordancia con lo anterior, y teniendo en cuenta que las temperaturas durante el periodo de estudio son mayores y las precipitaciones menores a las reportadas por la caracterización fitoclimática de Allue Andrade (1990), se puede establecer que las tendencias de los táxones fúngicos que se muestran en la Figura 4.1 y en la Tabla 4.1, podrían estar total o parcialmente relacionadas con las condiciones meteorológicas cambiantes del periodo en estudio. Asimismo, la PAC en el AFSI podría establecerse como un referente acerca de los posibles cambios en la capacidad de reproducción fúngica y la biodiversidad en el futuro. En cuanto a las condiciones medioambientales de las estaciones estudiadas, las estaciones de muestreo rurales (Lleida, Manresa), presentan el AFSI más alto, mientras que la altitud (Vielha) y el tamaño de la zona urbana (Barcelona) parecen ser factores que disminuyen la presencia de esporas de hongos. Este hecho posiblemente tiene una relación con las PAC obtenidas, ya que en las estaciones estudiadas que muestran condiciones de ruralidad (Lleida) y altitud (Vielha) se presentan las PAC más significativas, mientras que Barcelona, la ciudad más grande estudiada, no la muestra.

El presente capítulo se trata de un primer estudio en Catalunya (NE de España) sobre la medición del cambio de la producción y diseminación de esporas de hongos a lo largo de las series anuales. La falta de estudios en este sentido dificulta la interpretación de los resultados. Por lo tanto, se hace necesaria más investigación para avanzar en el conocimiento del comportamiento de las esporas de hongos en el aire y el efecto que tienen los patrones meteorológicos cambiantes en su dinámica.

4.5. Conclusión

La diversidad de características de las localidades estudiadas ofrece la oportunidad de evaluar la variabilidad de las concentraciones de esporas de hongos y la magnitud de su cambio a lo largo del periodo de estudio en función del uso del suelo (urbanización *versus* agricultura) y la distancia al mar (interior o litoral), sin despreciar el potencial efecto del cambio en los patrones meteorológicos en los últimos años. El aumento de las temperaturas y la inestabilidad de las precipitaciones, reconocidos como signos del cambio climático en Catalunya en los últimos 50 años, podrían estar estimulando la esporulación en las zonas montañosas (Vielha) y limitándola en el litoral catalán meridional (Roquetes-Tortosa), afectando así la presencia de esporas de hongos aerovagantes.

4.6. Referencias bibliográficas

- Ahmad I, Tang D, Wang F, Wang M, & Wagan B (2015) Precipitation trends over time using Mann-Kendall and Spearman's Rho tests in swat river basin, Pakistan. *Adv Meteorol* 2015:1-15. doi: <http://dx.doi.org/10.1155/2015/431860>
- Allue Andrade JL (1990) Phytoclimatic atlas of Spain. Taxonomies. Instituto Nacional de Investigaciones Agrarias, Ministerio de Agricultura, Pesca y Alimentación, Madrid, España
- Astray G, Rodríguez-Rajo FJ, Ferreiro-Lage JA, Fernández-González M, Jato V, & Mejuto JC (2010) The use of artificial neural networks to forecast biological atmospheric allergens or pathogens only as *Alternaria* spores. *J Environ Monit* 12:2145–2152. doi: 10.1039/C0EM00248H
- Barnes C., Alexis NE, Bernstein JA, Cohn JR, Demain JG, Horner E, Levetin E, Nel A, & Phipatanakul W (2013) Climate change and our environment: the effect on respiratory and allergic disease. *J Allergy Clin Immunol Pract* 1:137–141. doi: 10.1016/j.jaip.2012.07.002
- Beggs PJ (2004) Impacts of climate change on Aeroallergens: past and future. *Clin Exp Allergy* 34:1507–1513. doi: 10.1111/j.1365-2222.2004.02061.x
- Blanco C, De Los Santos B, & Romero F (2006) Relationship between concentrations of *Botrytis Cinerea* conidia in air, environmental conditions, and the incidence of grey mould in strawberry flowers and fruits. *Eur J Plant Pathol* 114:415–425. doi: 10.1007/s10658-006-0007-3
- Breton MC, Garneau M, Fortier I, Guay F, & Louis J (2006) Relationship between climate, pollen concentrations of *Ambrosia* and medical consultations for allergic rhinitis in Montreal, 1994–2002. *Sci Total Environ* 370:39–50. doi: 10.1016/j.scitotenv.2006.05.022
- Burch M, & Levetin E (2002) Effects of meteorological conditions on spore plumes. *Int J Biometeorol* 46:107–117. doi: 10.1007/s00484-002-0127-1
- Carlile MJ, Watkinson SC, & Gooday GW (2001) 4 - Spores, dormancy and dispersal. In: Carlile MJ, Watkinson SC, & Gooday GW (eds) *The Fungi* (Second Edition). Academic Press, London, pp 185–243
- Corden JM, & Millington WM (2001) The long-term trends and seasonal variation of the aeroallergen *Alternaria* in Derby, UK. *Aerobiologia* 17:127–136. doi: 10.1023/A:1010876917512
- Corden JM, Millington WM, & Mullins J (2003) Long-term trends and regional variation in the aeroallergen *Alternaria* in Cardiff and Derby UK – are differences in climate and cereal production having an effect? *Aerobiologia* 19:191–199. doi: 10.1023/B:AERO.0000006529.51252.2f
- D'Amato G, & Cecchi L (2008) Effects of climate change on environmental factors in respiratory allergic diseases. *Clin Exp Allergy* 38:1264–1274. doi: 10.1111/j.1365-2222.2008.03033.x
- Damialis A, Mohammad AB, Halley JM, & Gange AC (2015a) Fungi in a changing world: growth rates will be elevated, but spore production may decrease in future climates. *Int J Biometeorol* 59:1157–1167. doi: 10.1007/s00484-014-0927-0

- Damialis A, Vokou D, Gioulekas D, & Halley JM (2015b) Long-term trends in airborne fungal-spore concentrations: a comparison with pollen. *Fungal Ecol* 13:150–156. doi: 10.1016/j.funeco.2014.09.010
- De Linares C, Belmonte J, Canela MA, Díaz de la Guardia C, Alba-Sánchez F, Sabariego S, & Alonso-Pérez S (2010) Dispersal patterns of *Alternaria* conidia in Spain. *Agric For Meteorol* 150:1491–1500. doi: 10.1016/j.agrformet.2010.07.004
- Equip de Canvi Climàtic (2013) Butlletí anual d'indicadors climàtics (Informe anual No. 7 (any 2013)). Servei meteorològic de Catalunya, Generalitat de Catalunya, Departament de Territori i Sostenibilitat, Catalunya
- Escuredo O, Seijo MC, Fernández-González M, & Iglesias I (2011) Effects of meteorological factors on the levels of *Alternaria* spores on a potato crop. *Int J Biometeorol* 55:243–252. doi: 10.1007/s00484-010-0330-4
- Fernández-González M, Rodriguez-Rajo FJ, Jato V, Aira MJ, Ribeiro H, Oliveira M, & Abreu I (2012) Forecasting ARIMA models for atmospheric vineyard pathogens in Galicia and Northern Portugal: *Botrytis cinerea* spores. *Ann Agric Enviro Med* 19:255–262.
- Fernández-Llamazares Á, Belmonte J, Delgado R, & De Linares C (2014) A statistical approach to bioclimatic trend detection in the airborne pollen records of Catalonia (NE Spain). *Int J Biometeorol* 58:371–382. doi: 10.1007/s00484-013-0632-4
- García-Mozo H, Galán C, Jato V, Belmonte J, Díaz de la Guardia C, Fernández D, Gutiérrez M, Aira MJ, Roure JM, Ruiz L, Trigo MM, & Dominguez-Vilches E (2006) *Quercus* pollen season dynamics in the Iberian Peninsula: response to meteorological parameters and possible consequences of climate change. *Ann Agric Enviro Med* 13:209.
- Gilbert RO (1987) Statistical methods for environmental pollution monitoring. John Wiley & Sons
- Grinn-Gofroń A, & Strzelczak A (2008a) Artificial neural network models of relationships between *Cladosporium* spores and meteorological factors in Szczecin (Poland). *Grana* 47:305–315. doi: 10.1080/00173130802513784
- Grinn-Gofroń A, & Strzelczak A (2011) The effects of meteorological factors on the occurrence of *Ganoderma* sp. spores in the air. *Int J Biometeorol* 55:235–241. doi: 10.1007/s00484-010-0329-x
- Grinn-Gofroń A, & Strzelczak A (2008b) Artificial neural network models of relationships between *Alternaria* spores and meteorological factors in Szczecin (Poland). *Int J Biometeorol* 52:859–868. doi: 10.1007/s00484-008-0182-3
- Kendall M. (1938) A new measure of rank correlation. *Biometrika* 81–93.
- Kendall MG (1975) Rank correlation methods. Hafner, New York
- Lacey J (1981) The aerobiology of conidial fungi. *Biology of Conidial fungi* 1:373–416.
- Leyronas C, & Nicot PC (2013) Monitoring viable airborne inoculum of *Botrytis cinerea* in the South-East of France over 3 years: relation with climatic parameters and the origin of air masses. *Aerobiologia* 29:291–299. doi: 10.1007/s10453-012-9280-0
- Mann HB (1945) Nonparametric tests against trend. *Econometrica* 13:245–259. doi: 10.2307/1907187
- Mann HB, & Whitney DR (1947) On a test of whether one of two random variables is stochastically larger than the other. *The annals of mathematical statistics* 18:50–60.
- McNemar Q (1947) Note on the sampling error of the difference between correlated proportions or percentages. *Psychometrika* 12:153–157. doi: 10.1007/BF02295996
- Millington WM, & Corden JM (2005) Long term trends in outdoor *Aspergillus/Penicillium* spore concentrations in Derby, UK from 1970 to 2003 and a comparative study in 1994 and 1996 with the indoor air of two local houses. *Aerobiologia* 21:105–113. doi: 10.1007/s10453-005-4180-1
- Moral J, De la Rosa R, León L, Barranco D, Michailides TJ, & Trapero A (2008) High susceptibility of Olive cultivar FS-17 to *Alternaria alternata* in Southern Spain. *Plant Dis* 92:1252–1252. doi: 10.1094/PPDIS-92-8-1252A
- Oliveira M, Guerner-Moreira J, Mesquita MM, & Abreu I (2009) Important phytopathogenic airborne fungal spores in a rural area: incidence of *Botrytis cinerea* and *Oidium* spp. *Ann Agric Enviro Med* 16:197–204.
- Rasmussen A (2002) The effects of climate change on the birch pollen season in Denmark. *Aerobiologia* 18:253–265. doi: 10.1023/A:1021321615254
- Recio M, Trigo MM, Docampo S, Melgar M, García-Sánchez J, Bootello L, & Cabezudo B (2012) Analysis of the predicting variables for daily and weekly fluctuations of two airborne fungal spores: *Alternaria* and *Cladosporium*. *Int J Biometeorol* 56:983–991. doi: 10.1007/s00484-011-0509-3

- Reid CE, & Gamble JL (2009) Aeroallergens, allergic disease, and climate change: impacts and adaptation. *Ecohealth* 6:458–470. doi: 10.1007/s10393-009-0261-x
- Rodríguez-Rajo FJ, Jato V, Fernández-González M, & Aira MJ (2010) The use of aerobiological methods for forecasting Botrytis spore concentrations in a vineyard. *Grana* 49:56–65. doi: 10.1080/00173130903472393
- Scheifinger H, Belmonte J, Buters J, Celenk S, Damialis A, Dechamp C, García-Mozo H, Gehrig R, Grewling L, Halley JM, Hogda K-A, Jäger S, Karatzas K, Karlsen S-R, Koch E, Pauling A, Peel R, Sikoparija B, Smith M, Galán C, Thibaudon M, Vokou D, & De Weger LA (2013) Monitoring, modelling and forecasting of the pollen season. In: Sofiev M, & Bergmann K-C (eds) *Allergenic pollen*, 1st edn. Springer Netherlands, New York, London, pp 71–126
- Sen PK (1968) Estimates of the regression coefficient based on Kendall's Tau. *J Am Stat Assoc* 63:1379–1389. doi: 10.1080/01621459.1968.10480934
- Shadmani M, Marofi S, & Roknian M (2012) Trend analysis in reference evapotranspiration using Mann-Kendall and Spearman's Rho Tests in arid regions of Iran. *Water Resour Manage* 26:211–224. doi: 10.1007/s11269-011-9913-z
- Shapiro SS, & Wilk MB (1965) An analysis of variance test for normality (complete samples). *Biometrika* 52:591–611. doi: 10.2307/2333709
- Shea KM, Truckner RT, Weber RW, & Peden DB (2008) Climate change and allergic disease. *J Allergy Clin Immunol* 122:443–453. doi: 10.1016/j.jaci.2008.06.032
- Simon-Nobbe B, Denk U, Rid R, & Breitenbach M (2008) The spectrum of fungal allergy. *Int Arch Allergy Immunol* 145:58–86. doi: 10.1159/000107578
- Spearman C (1904) "General intelligence", objectively determined and measured. *The American Journal of Psychology* 15:201–292. doi: 10.2307/1412107
- Stach A, García-Mozo H, Prieto-Baena JC, Czarnecka-Operacz M, Jenerowicz D, Silny W, & Galán C (2007) Prevalence of *Artemisia* species pollinosis in western Poland: Impact of climate change on aerobiological trends. *J Investig Allergol Clin Immunol* 17:39–47.
- Tao Z, Malvick D, Claybrooke R, Floyd C, Bernacchi CJ, Spoden G, Kurle J, Gay D, Bowersox V, & Krupa S (2009) Predicting the risk of soybean rust in Minnesota based on an integrated atmospheric model. *Int J Biometeorol* 53:509–521. doi: 10.1007/s00484-009-0239-y
- Theil H (1950) A rank-invariant method of linear and polynomial regression analysis. I, II, III. In: *Proc Koninklijke Ned Acad Wet.* pp 1397–1412
- Wilcoxon F (1945) Individual comparisons by ranking methods. *Biometrics bulletin* 80–83.
- Yue S, Pilon P, & Cavadias G (2002) Power of the Mann-Kendall and Spearman's rho tests for detecting monotonic trends in hydrological series. *J Hydrol* 259:254–271. doi: 10.1016/S0022-1694(01)00594-7
- Zar JH (1972) Significance testing of the Spearman rank correlation coefficient. *J Am Stat Assoc* 67:578–580.
- Ziello C, Sparks TH, Estrella N, Belmonte J, Bergmann KC, Bucher E, Brighetti MA, Damialis A, Detandt M, Galán C, Gehrig R, Grewling L, Gutiérrez Bustillo AM, Hallsdóttir M, Kochhans-Bieda M-C, De Linares C, Myszkowska D, Pálidy A, Sánchez A, Smith M, Thibaudon M, Travagliini A, Uruska A, Valencia-Barrera RM, Vokou D, Wachter R, de Weger LA, & Menzel A (2012) Changes to airborne pollen counts across Europe. *PLoS ONE* 7:e34076. doi: 10.1371/journal.pone.0034076
- Ziska LH, & Beggs PJ (2012) Anthropogenic climate change and allergen exposure: The role of plant biology. *J Allergy Clin Immunol* 129:27–32. doi: 10.1016/j.jaci.2011.10.032

Conclusiones

De los resultados obtenidos en esta tesis se resumen las siguientes conclusiones:

Capítulo 1

La revisión bibliográfica realizada muestra que la modelación espacio-temporal de polen y esporas de hongos aerovagantes es un proceso complejo en el que se debe establecer los criterios de partida para que los resultados tengan un alto nivel de confiabilidad. Además, este estudio ha permitido concluir que:

- ✓ Los modelos predictivos se ven afectados por la distribución de los datos y el alto contenido de ceros presentes en las series anuales aerobiológicas lo que dificulta el uso de algunas metodologías estadísticas para su desarrollo.
- ✓ Los modelos basados en la observación son los más empleados, enfocados principalmente en estimar las concentraciones futuras empleando para ello una amplia cantidad de variables meteorológicas (principalmente parámetros de temperatura y precipitación).
- ✓ Los modelos basados en la fenología, concentran una mayor diversidad y sencillos de aplicar, se enfocan principalmente en modelar el inicio del periodo de floración, y emplean frecuentemente la temperatura como parámetro principal. No obstante, la complejidad de los criterios de partida en estos modelos provoca una menor frecuencia de uso por lo que aún se requiere una mayor discusión para concertar dichos criterios de la modelación.
- ✓ Los modelos de dispersión son significativamente los menos empleados, atribuible a los altos requerimientos técnicos-científicos y el escaso avance que se tiene en el establecimiento de los flujos y fuentes de emisión. Un ejemplo de esta dificultad es que el mayor número de estudios de modelación es de tipo *backward* que no requiere del establecimiento de flujos de emisión.

Capítulo 2

Partiendo de la dificultad que presenta el desarrollo de modelos aerobiológicos debido a la distribución no normal de los datos, se ha valorado realizar un modelo de distribución gamma, del cual se puede concluir que:

- ✓ El modelo es válido para describir la distribución de los datos de una serie anual de concentraciones diarias de polen y esporas de hongos aerovagantes.
- ✓ El parámetro α del modelo a nivel espacio-temporal es estable y muestra, en el caso del polen, que dicho parámetro presenta una fuerte relación con la distribución ecológica de los taxones, mientras que para las esporas de hongos, permite identificar los taxones indicadores del uso del suelo o del bioclima.
- ✓ Gracias al parámetro α fue posible establecer una clasificación genérica agrupando las partículas aerovagantes en cinco categorías. Dicha clasificación aporta una mejora a la gestión de la base de datos aerobiológica de Catalunya, reduciendo el estudio de las dinámicas esporopolínicas

anuales y el desarrollo de modelos de predicción al de los taxones representativos, uno por cada categoría.

Capítulo 3

Tomando seis taxones de polen y seis de esporas de hongos de la clasificación genérica obtenida en el modelo gamma, se ha evaluado la capacidad y eficacia de la regresión logística y el árbol de regresión como metodologías para la obtención de un modelo de predicción basado en umbrales de concentración. Los principales hallazgos son:

- ✓ La regresión logística y el árbol de regresión son metodologías sencillas e intuitivas a la hora de interpretar sus resultados. Ambos modelos mostraron resultados similares en cuanto a la relación y/o influencia de los parámetros meteorológicos en los diferentes umbrales simulados, así como valores de validación altamente satisfactorios.
- ✓ Las predicciones aerobiológicas basadas en umbrales de concentración disminuyen los problemas ocasionados por el tipo de distribución de los datos (con un número elevado de ceros) y facilita la creación de alertas.
- ✓ La regresión logística ha mostrado ser más eficaz a la hora de establecer una predicción positiva. Teniendo en cuenta que es además mucho más sencilla de aplicar, se establece como el mejor método para predecir la superación de los umbrales de concentraciones futuras en las estaciones aerobiológicas de Catalunya.

Capítulo 4

Finalmente, la diversidad ecológica y climática del área estudiada permitió evaluar la varibilidad de concentraciones de esporas de hongos en Catalunya y la magnitud de cambio en el periodo 1995-2013. De este estudio se puede concluir que:

- ✓ Las pruebas no paramétricas Mann-Kendall y Spearman's Rho son válidas para detectar tendencias monotónicas en los índices anuales de esporas de hongos, ya que ambas presentan un potencial de detección equivalente.
- ✓ Las basidiósporas no están afectadas por los cambios en las precipitaciones y tienen mayor resistencia a las temperaturas cálidas, por lo cual pueden estar adaptándose a los procesos de variabilidad climática que presenta el territorio, mientras que conidiósporas si son moduladas con mayor intensidad por los cambios meteorológicos, y se ven afectadas por las variaciones climáticas, presentando el mayor número de taxones con tendencias decrecientes.
- ✓ El aumento de las temperaturas y la inestabilidad de las precipitaciones producto del cambio climático en Catalunya podrían estimular la esporulación en las zonas montañosas (Vielha) y limitándola en el litoral catalán meridional (Roquetes-Tortosa). Evidenciado en la proporción anual de cambio de 12 taxones con tendencias crecientes y de dos taxones con tendencias decrecientes.